

**KOCAELİ ÜNİVERSİTESİ
FEN BİLİMLERİ ENSTİTÜSÜ**

İNŞAAT MÜHENDİSLİĞİ ANABİLİM DALI

DOKTORA TEZİ

**SİLİNDİRLE SIKIŞTIRILMIŞ BETON YOL: KOCAELİ
İLİNDE BİR DURUM ÇALIŞMASI**

YAVUZ ABUT

KOCAELİ 2017

**KOCAELİ ÜNİVERSİTESİ
FEN BİLİMLERİ ENSTİTÜSÜ**

**İNŞAAT MÜHENDİSLİĞİ
ANABİLİM DALI**

DOKTORA TEZİ

**SİLİNDİRLE SIKIŞTIRILMIŞ BETON YOL: KOCAELİ
İLİNDE BİR DURUM ÇALIŞMASI**

YAVUZ ABUT

Doç.Dr. Salih Taner YILDIRIM

Danışman, Kocaeli Univ.

Prof.Dr. İsmail Özgür YAMAN

Jüri Üyesi, ODTÜ

Prof.Dr. Kemalettin YILMAZ

Jüri Üyesi, Sakarya Univ.

Doç.Dr. Burcu AKÇAY ALDANMAZ

Jüri Üyesi, Kocaeli Univ.

Doç.Dr. Aydın KAVAK

Jüri Üyesi, Kocaeli Univ.

Tezin Savunulduğu Tarih: 30.06.2017



ÖNSÖZ VE TEŞEKKÜR

Yol yapım ve rehabilitasyon faaliyetleri ile takip eden süreçlerde, maliyet unsurunun en önemli faktör olması ve birden fazla değişkene bağlı karmaşık bir yapı içerisinde ele alınan doğru kaplama tipi seçiminin, ancak kıt kamu kaynaklarının etkili ve sürdürülebilir projelere ayrılmaya mümkün olabileceği gibi nedenler, yol yapımında alternatif kaplama tiplerinin uygulanabilirliği konusunda meraklımı artırmış ve beni bu konuda araştırma yapmaya itmiştir. Çalışma sürecinde, gerek yurtçi rıjît ve esnek üstyapı seminerlerindeki izlenimlerimde ve gerekse uygulamacılar tarafından yol inşaatı yapım, onarım faaliyetleri ve kullanılan teknolojinin verimliliği konusundaki tartışmalarda en çok konuşulan tema, bir endüstrinin diğerine göre üstünlüğü konusu olmuştur. Ülkemizdeki yol inşaatı yapım stratejilerinde yapılan bu alternatif değerlendirmelerin olumlu ve olumsuz taraflarının birlikte, şeffaf ve bilimsel bir çerçevede tartışılmamasının daha doğru olacağı açıklıdır. Çalışmalarım ışığında, yapım teknolojileri ve yol kaplama malzemelerinin temsil ettiği endüstriler arasındaki rekabetin, kamu yararını gözetecek şekilde yeniden yapılandırılmasının ve karar verici pozisyondaki idare yetkililerinin kaplama tipi tercihlerini her endüstrinin belirli oranlarda kullanıldığı bir optimizasyon çözümü ile yapmasının, projeler üzerinde daha efektif ve doğru sonuçlar doğuracağı sonucuna vardım.

Bu yorucu süreçte, bilgi birikimiyle her türlü desteği sağlayan danışman hocam Doç.Dr. Salih Taner YILDIRIM'a, belirli zamanlarda bir araya geldiğimiz beton yol seminer ve uygulamalarında kendisinden aldığı bilgi, tavsiye ve motivasyonun yanında, ODTÜ Yapı Malzemeleri Laboratuvarı'nda eğilme deneyi için sağladığı kolaylık nedeniyle Prof.Dr. İsmail Özgür YAMAN'a, tez izleme toplantılarında bilgi ve tecrübeleri ile çalışmalarımı destek olan Doç.Dr. Burcu AKÇAY ALDANMAZ'a ve önerileri ile yoluma ışık tutan diğer değerli hocalarına teşekkürlerimi sunarım. Elde edilen bütün verileri kullanabilmem için sağladığı destek için Kocaeli Büyükşehir Belediyesi'ne, başta laboratuvar ortamında numune üretilmesi, araziden örnekler alınması ve test edilmesi süreçlerinde yoğun iş temposuna rağmen yardımcılarını esirgemeyen çalışma arkadaşım İsmail KANAT ve Feyzullah YILDIZ olmak üzere, ekonomik değerlendirmelerde katkısı bulunan meslektaşım Aydın GÜR ve Mustafa DURSUN'a zorlu yolculuğumda sağladıkları kesintisiz destek için müteşekkirim.

Zor dönemlerimde her zaman yanımdaya olarak beni hayatı hazırlayan, bana her zaman inanan, haklarını hiçbir zaman ödeymeyeceğim annem Ayten ABUT ve babam Hayrettin ABUT'a sonsuz şükranları sunarım.

Haziran – 2017

Yavuz ABUT

İÇİNDEKİLER

ÖNSÖZ VE TEŞEKKÜR	i
İÇİNDEKİLER	ii
ŞEKİLLER DİZİNİ	iv
TABLOLAR DİZİNİ	vii
SİMGELER VE KISALTMALAR DİZİNİ	ix
ÖZET	xi
ABSTRACT	xii
GİRİŞ	1
1. SİLİNDİRLE SIKIŞTIRILMIŞ BETON YOL	5
1.1. Genel Özellikler	7
1.1.1. Kıravam	10
1.1.2. İşlenebilirlik	11
1.1.3. Kuruma rötresi	12
1.1.4. Donma/çözülme direnci	13
1.1.5. Aşınma direnci	19
1.2. Geri Dönüşümlü Agrega Kullanımı	20
1.3. Karışım Tasarımı	22
1.3.1. Beton kıvamı yöntemi	23
1.3.2. Katı süspansiyon modeli	23
1.3.3. Optimum çimento hamuru hacim yöntemi	24
1.3.4. Zemin sıkıştırma yöntemi	24
1.4. Yapısal Tasarım	28
1.5. Üretim	29
1.6. Serme	31
1.7. Sıkıştırma	32
1.8. Derz Kesimi ve Kür	35
2. DENEYSEL ÇALIŞMA	36
2.1. Malzeme	36
2.2. Karışım Tasarımı	40
2.3. Mekanik Özelliklerin Belirlenmesi	44
2.4. Durabilite Özelliklerinin Belirlenmesi	47
2.4.1. Kuruma rötresi tayini	49
2.4.2. Ultrasonik ses dalgası hızı tayini	52
2.4.3. Donma/çözülme direnci tayini	53
2.4.4. Eğilme dayanımı tayini	60
2.5. RAP İçerikli SSB Yolun Yapısal ve Ekonomik Analizi	62
2.5.1. Yapısal tasarım için bir uygulama	63
2.5.2. Analiz sonuçları	65
3. TEST YOLU ÜZERİNDE LABORATUVAR VE SAHA ÇALIŞMALARININ KARŞILAŞTIRMALI ANALİZİ	68
3.1. Kocaeli İlinde Mevcut Durumun Tespiti	68
3.1.1. Konum ve nüfus dağılımı	68
3.1.2. İklim ve meteoroloji	69

3.1.3. Trafik altyapısı	69
3.2. Test Yolu İçin Güzergâh Seçimi	72
3.3. Zemin Taşıma Kapasitesinin Belirlenmesi	72
3.4. Yolun Yapısal Tasarımı	74
3.4.1. Servis yeteneği	75
3.4.2. Trafik.....	76
3.4.3. Gerekli plak kalınlığının bulunması.....	77
3.5. SSB Üretimi.....	78
3.6. Test Yolunun Yapılması	80
3.7. Laboratuvar Çalışmaları	82
3.7.1. Ultrasonik ses dalgası hızı.....	84
3.7.2. Kılcallık (Kapilarite).....	85
3.7.3. Yoğunluk, su emme ve porozite.....	90
3.7.4. Basınç ve yarmada çekme dayanımı	93
3.7.5. Aşınma direnci	95
4. YAŞAM DÖNGÜSÜ MALİYET ANALİZİ.....	98
4.1. İdeal Kaplama Tipinin Seçilmesi.....	98
4.1.1. Seçim komitesi	101
4.1.2. Eşdeğerlik için yaşam döngüsü stratejileri.....	102
4.1.3. Rekabetin rolü	102
4.2. Kaplama Analiz Periyodu ve Performansı.....	105
4.3. Yaşam Döngüsü Maliyet Analizinin Mukayeseli Bir Değerlendirmesi	110
4.3.1. İlk yapım maliyet mukayesesı.....	111
4.3.2. Yaşam döngüsü maliyet analizi	113
5. SONUÇLAR VE ÖNERİLER	117
KAYNAKLAR	123
EKLER.....	133
KİŞİSEL YAYIN VE ESERLER	157
ÖZGEÇMİŞ	158

ŞEKİLLER DİZİNİ

Şekil 1.1.	ABD'de SSB kullanımı.....	5
Şekil 1.2.	Geleneksel ve SSB için karışım oranları.....	7
Şekil 1.3.	Dayanım gelişiminin zamana göre değişimi	8
Şekil 1.4.	Kaplama tipine göre yüzey dokusu	10
Şekil 1.5.	Vebe süresi ve serbest su içeriği arasındaki ilişki.....	11
Şekil 1.6.	Betonun reolojisini etkileyen faktörler.....	12
Şekil 1.7.	SSB içyapılarında gözlemlenen çatlaklar [SEM, 40x].....	15
Şekil 1.8.	SSB için açıklık faktörü ve durabilite ilişkisi	16
Şekil 1.9.	Hava sürükleyleyi katkı ve çimento düzeyine göre hava içeriği değişimi	18
Şekil 1.10.	Son bitirme ve kür yönteminin aşınma direncine etkisi.....	20
Şekil 1.11.	SSB için tipik kuru birim ağırlık su içeriği ilişkisi	25
Şekil 1.12.	Kompaksiyon enerjisinin etkileri	26
Şekil 1.13.	Kompaksiyon enerjisindeki değişimin etkileri.....	26
Şekil 1.14.	Yük tekerrür sayısı ile yorulma ilişkisi	28
Şekil 1.15.	SSB üretimi için tasarlanmış bir planlama.....	30
Şekil 1.16.	Serme ve sıkıştırma işlerinde kullanılan iş makinaları.....	31
Şekil 1.17.	1. şeridi sıkıştmak için sıkıştırma şablonu	33
Şekil 1.18.	2. şeridi sıkıştmak için sıkıştırma şablonu	33
Şekil 1.19.	Son bitirme için sıkıştırma şablonu	34
Şekil 1.20.	Nükleer kaynaklı yoğunlukölçer cihazı.....	34
Şekil 1.21.	Beton yollar için önerilen kür yöntemleri	35
Şekil 2.1.	Karışım tasarımindan kullanılan agreja grupları ve RAP stok sahası.....	37
Şekil 2.2.	Harç çubuğunda günlere göre boy değişimi.....	39
Şekil 2.3.	K karışımına ait tane boyut dağılımı	41
Şekil 2.4.	Titreşimli tokmak (a), titreşimli plakalı zemin sıkıştırıcı (b).....	41
Şekil 2.5.	Kuru birim ağırlık ve kütlece su içeriğinin belirlenmesi	43
Şekil 2.6.	Kuru birim ağırlığın su içeriği ile değişimi	43
Şekil 2.7.	Elastisite Modülü test düzeneği	45
Şekil 2.8.	Prizmatik numune üretilmesi süreci.....	48
Şekil 2.9.	Kuruma rötresi tayininde kullanılan numuneler ve test düzeneği.....	49
Şekil 2.10.	Numune boyalarının günlere göre değişimi.....	50
Şekil 2.11.	Numune ağırlıklarının günlere göre değişimi	51
Şekil 2.12.	Prizmatik numunedeki UPV ölçümü.....	52
Şekil 2.13.	Donma/çözülme döngüsü için kurulan sistem	54
Şekil 2.14.	Dummy numune içerisinde sıcaklığın zamana bağlı değişimi	54
Şekil 2.15.	300 döngüde ağırlık değişimi	57
Şekil 2.16.	300 döngüde boy değişimi	57
Şekil 2.17.	300 döngüde Dinamik Elastisite Modülü değişimi	58
Şekil 2.18.	300 döngüde Dinamik Elastisite Modülü değişimi (%)	58
Şekil 2.19.	K ve RAP15 için deney önce ve sonrasında ait yüzey görüntüsü.....	60
Şekil 2.20.	MTS-793 yükleme çerçevesi.....	61
Şekil 2.21.	Numunelerin eğilme deneyinden sonrasında görüntüleri	62

Şekil 2.22. Plak üzerindeki yük konsantrasyonu ve düğüm noktaları.....	64
Şekil 2.23. Program için kullanılan işlem algoritması	65
Şekil 2.24. Farklı zeminler için beton tipine göre kaplama kalınlığı değişimi.....	66
Şekil 3.1. Kocaeli ili karayolu ve demiryolu ağı genel görünüm.....	70
Şekil 3.2. KBB sorumluluğundaki yol ağının kaplama tipine göre değişimi	71
Şekil 3.3. Yolun plan görüntüsü	72
Şekil 3.4. %CBR dağılımı yüzde değişimi.....	73
Şekil 3.5. Proje tipik en kesiti.....	78
Şekil 3.6. Beton santrali ve üretim prosesinden birkaç bölüm	79
Şekil 3.7. Numune alma ve deneye hazırlama	82
Şekil 3.8. Numune alma planlamasında belirlenmiş bölgeler	83
Şekil 3.9. Numunelerde UPV ve yoğunluk değişimi	84
Şekil 3.10. Su ile temas anından itibaren kılcallık olayı.....	85
Şekil 3.11. Su işleme derinliğinin zamana bağlı değişimi	86
Şekil 3.12. Numunelere su işleme derinliğinin zamana bağlı değişimi	87
Şekil 3.13. Numunelerde kılcallık hızı değişimi	88
Şekil 3.14. Numunelerde ilk kılcallık hızı değişimi	89
Şekil 3.15. Numunelerde ikinci kılcallık hızı değişimi	89
Şekil 3.16. Numunelerde porozite değişimi	92
Şekil 3.17. Porozitenin yoğunluk ile değişimi	92
Şekil 3.18. Porozitenin ilk kılcallık hızı ile değişimi	92
Şekil 3.19. Yoğunluğa göre sıkışma yüzdesi değişimi	93
Şekil 3.20. Numunelerde basınç dayanımı değişimi	95
Şekil 3.21. Numunelerde yarmada çekme dayanımı değişimi	95
Şekil 3.22. Basınç ve çekme dayanımının numune konumuna göre değişimi	95
Şekil 3.23. Böhme cihazı ve ekipmanları ile test numuneleri	97
Şekil 3.24. Numunelerde aşınma direnci değişimi	97
Şekil 4.1. Kaplama tipi seçimi için basitleştirilmiş bir diyagram	101
Şekil 4.2. Beton yol yapımının kaplama tipi maliyetine etkisi	103
Şekil 4.3. Bir kaplama tasarımlı için analiz süresi	106
Şekil 4.4. Performans eğrileri.....	108
Şekil 4.5. Harcama akımı şeması	108
Şekil 4.6. SSB test yolu maliyetinin iş kalemlerine göre dağılımı	112
Şekil 4.7. Yaşam döngüsü maliyetinin kaplama tipine göre mukayese.....	115
Şekil A.1. KENPAVE program arayüzü.....	134
Şekil A.2. Genel bilgi ekranı.....	134
Şekil A.3. Kırılma etkisi ve diğer fiziksel koşulların belirlenmesi	135
Şekil A.4. X eksene göre simetri noktaları.....	135
Şekil A.5. Y eksene göre simetri noktaları.....	136
Şekil A.6. Rijit plak özellikleri (kalınlık, Poisson oranı, elastisite modülü)	136
Şekil A.7. Dingil yükü konsantrasyonu ve büyülüğünün belirlenmesi.....	137
Şekil A.8. Referans alınan noktalar.....	137
Şekil A.9. X eksene göre simetri alınan noktalar	138
Şekil A.10. Y eksene göre simetri noktaları.....	138
Şekil A.11. Zemin koşullarının belirlenmesi.....	139
Şekil A.12. Rijit plak için eğilme mukavemeti	139
Şekil A.13. Sonsuz büyülükte dingil yükü etkisi	140
Şekil A.14. Analiz çıktısı (1)	141
Şekil A.15. Analiz çıktısı (2)	142

Şekil A.16. Analiz çıktısı (3)	143
Şekil B.1. Yolun boy profili	144
Şekil C.1. PMT tabakası (15 cm).....	145
Şekil C.2. Taşıyıcı tırdaki SSB malzemesinin finişere nakli.....	145
Şekil C.3. Malzemenin ilk şeride finişerle serilmesi (1. faz).....	146
Şekil C.4. Taze betonda yüzey görünümü	146
Şekil C.5. Vibrasyon sistemi düz çelik bandajlı silindirle sıkıştırma	146
Şekil C.6. Lastik (pnömatik) tekerlekli silindirle sıkıştırma işlemi	147
Şekil C.7. Eksende kaplama tabakası kalınlık kontrolü	147
Şekil C.8. Malzemenin ikinci şeride finişerle serilmesi (2. faz).....	147
Şekil C.9. Malzemenin ikinci şeride finişerle serilmesi (2. faz).....	148
Şekil C.10. Şerit ek yerlerinin 4 tonluk silindirle düzeltilmesi.....	148
Şekil C.11. Son silindiraj (mix-type compaction).....	148
Şekil C.12. Nükleer cihaz ile kuru birim ağırlık ve nem muhtevası ölçümü	149
Şekil C.13. Arazöz ile su kürü uygulaması.....	149
Şekil C.14. Derz uygulaması	149
Şekil C.15. Kaplama yüzey dokusunda görsel inceleme.....	150
Şekil C.16. Yolun yüzey dokusu	150
Şekil C.17. Proje tip kesite göre “V” tipi kanal yapılması	150
Şekil C.18. Yolun kuşbakışı görüntüsü.....	151
Şekil C.19. Kar küremeden sonra yol güzergâhının görünümü.....	151

TABLOLAR DİZİNİ

Tablo 1.1. Kaplama tipine göre karşılaştırmalar	9
Tablo 1.2. Çimento ve iri agrega düzeyinin kuruma rötresine etkisi	13
Tablo 1.3. SSB karışımlara ait parametreler	17
Tablo 1.4. Genel karışım tasarımları yöntemleri ve uygulamaları	23
Tablo 1.5. Gradasyon limitleri.....	24
Tablo 1.6. SSB karışım tasarımları için birkaç örnek.....	27
Tablo 1.7. Kalite kontrol eylem planı örneği	29
Tablo 1.8. SSB için önerilen homojenlik testleri	31
Tablo 2.1. Agrega ve RAP'e ait fiziksel özellikler.....	37
Tablo 2.2. İri agregaya ait diğer fiziksel özellikler.....	38
Tablo 2.3. Agrega ve RAP'e ait yüzde geçen değerleri	38
Tablo 2.4. Çimento fiziksel ve kimyasal özellikleri.....	38
Tablo 2.5. Her elek üstü malzeme miktarı	39
Tablo 2.6. 1 m ³ karışım için teorik ve gerçek malzeme miktarları	42
Tablo 2.7. Kür periyodu sonunda belirlenen kuru birim ağırlık ve su içeriği değerleri.....	43
Tablo 2.8. 1 m ³ K karışımı için malzeme miktarları	44
Tablo 2.9. 1 m ³ RAP katkılı karışım için malzeme miktarı ve yüzde oranları.....	44
Tablo 2.10. Mekanik deneylerde test sonuçları.....	45
Tablo 2.11. Prizmatik numuneler için deney planlaması	48
Tablo 2.12. Numunelerin belirli günlerde yapılan boy ve ağırlık ölçümleri	50
Tablo 2.13. UPV test sonuçları.....	53
Tablo 2.14. Donma/çözülme deneyi test okumaları.....	55
Tablo 2.15. Donma/çözülme deneyi test sonuçları	56
Tablo 2.16. Durabilite Faktörü'nün karışım tipine göre değişimi.....	59
Tablo 2.17. Eğilme deneyi test sonuçları	61
Tablo 2.18. Programa girilen bağımsız değişkenler	65
Tablo 2.19. RAP kullanılması durumunda ortaya çıkan fayda maliyet.....	66
Tablo 3.1. Kocaeli ili karayolu ulaşımında kaplama uzunlukları.....	70
Tablo 3.2. %CBR değerlerinin güzergâh boyunca değişimi	72
Tablo 3.3. %CBR frekans tablosu	73
Tablo 3.4. Tavsiye edilen taşit eşdeğerlik faktörleri	76
Tablo 3.5. 20 yıllık dingil yükü tekerrür sayısı analizi.....	76
Tablo 3.6. Projede kullanılan veriler	77
Tablo 3.7. İmalat miktarlarının günlere göre değişimi	80
Tablo 3.8. Sıkışma testi sonuçları.....	81
Tablo 3.9. Numune özellikleri ve uygulanan deneyler.....	83
Tablo 3.10. UPV test sonuçları.....	84
Tablo 3.11. Kılcallık hızı tespitinde kullanılan doğru denklemleri.....	87
Tablo 3.12. Yoğunluk, su emme ve porozite deney sonuçları	91
Tablo 3.13. Basınç ve yarmada çekme dayanımı sonuçları	94
Tablo 3.14. Böhme aşındırma deneyi sonuçları	97
Tablo 4.1. Beton yol yapımının kaplama tipi maliyetine etkisi	104

Tablo 4.2. Tavsiye edilen analiz periyodları	106
Tablo 4.3. Son iki yılda yapılan yollar için ilk yapım maliyet analizi	112
Tablo 4.4. Analiz süresi içerisinde planlanan bakım ve onarım stratejisi	113
Tablo 4.5. Yaşam döngüsü maliyet analizi	114
Tablo D.1. Numunelerde zamana bağlı su işleme derinlikleri.....	152
Tablo D.2. Beton kaplamada onarıma ait birim fiyat analizi.....	153
Tablo D.3. Asfalt yama yapılması işçiliğine ait birim fiyat analizi	154
Tablo D.4. Asfalt yama malzemesi temini ve nakliyesine ait birim fiyat analizi.....	155
Tablo D.5. Bazı ulaşırma hizmetleri için hedeflenen bütçe dağılımı.....	156
Tablo D.6. Yol yapım ve bazı ulaşırma hizmetleri için hedeflenen işler.....	156

SİMGELER VE KISALTMALAR DİZİNİ

Kısaltmalar

1No	:	4,75-19mm Boyutunda Kırmataş (Aselmaslar Taş Ocağı)
2No	:	9,50-25mm Boyutunda Kırmataş (Aselmaslar Taş Ocağı)
AASHTO	:	American Association of State Highway and Transportation Officials (Amerikan Devlet Karayolu ve Ulaşım Görevlileri Birliği)
ACI	:	American Concrete Institute (Amerikan Beton Enstitüsü)
ACPA	:	American Concrete Pavement Association (Amerikan Beton Üstyükiler Birliği)
ASR	:	Alkali Silika Reaksiyonu
ASTM	:	American Society for Testing and Materials (Amerikan Test ve Materyalleri Topluluğu)
BYŞ	:	Beton Yol Kaplamaları Teknik Şartnamesi
CBR	:	California Bearing Ratio (Kaliforniya Taşıma Oranı)
COV	:	Coefficient of Variation (Varyasyon Katsayısı)
CSA	:	Canadian Standards Association (Kanada Standartlar Birliği)
D/Ç	:	Donma/Çözülme
EDYTS	:	Eşdeğer Dingil Yükü Tekerrür Sayısı
EN	:	European Standard (Avrupa Standardı)
FHWA	:	Federal Highway Administration (Federal Karayolu İdaresi)
IS	:	Indian Standards (Hindistan Standardı)
JPCP	:	Jointed Plain Concrete Pavements (Derzli Donatısız Beton Kaplama)
K	:	KONTROL Numunesi/Karışımı
K(D/Ç)	:	Donma/Çözülme Çevrimine Maruz Kalmış KONTROL Numunesi
K1	:	0-4,75mm Boyutunda Kırmakum (Aselmaslar Taş Ocağı)
K2	:	0-4,75mm Boyutunda Kırmakum (Demirtaş Taş Ocağı)
KBB	:	Kocaeli Büyükşehir Belediyesi
KGM	:	Karayolları Genel Müdürlüğü
KTŞ	:	Karayolları Teknik Şartnamesi
LVDT	:	Linear Variable Differential Transformer (Lineer Değişken Fark Transformatörü)
NCHRP	:	National Cooperative Highway Research Program (Ulusal Otoyol Araştırmaları İşbirliği Programı)
PCA	:	Portland Cement Association (Portland Çimento Birliği)
PMT	:	Plentmiks Temel
RAP	:	Reclaimed Asphalt Pavement (Geri Dönüşüm Asfalt Agregası)
RAP15	:	Ağırlıkça % 15 Oranında RAP İçeren Numune/Karışım
RAP20	:	Ağırlıkça % 20 Oranında RAP İçeren Numune/Karışım
RCA	:	Recycled Concrete Aggregate (Geri Dönüşüm Beton Agregası)
S/Ç	:	Su / Çimento Oranı
SSB	:	Silindirle Sıkıştırılmış Beton
TÇMB	:	Türkiye Çimento Müstahsilleri Birliği
TEF	:	Taşit Eşdeğerlik Faktörleri

UPV : Ultrasonic Pulse Velocity (Ultrasonik Ses Dalgası Hızı)
USACE : United States Army Corps of Engineers
(Amerikan Ordusu Mühendisler Birliği)
YOGT : Yıllık Ortalama Günlük Trafik



SİLİNDİRLE SIKIŞTIRILMIŞ BETON YOL: KOCAELİ İLİNDE BİR DURUM ÇALIŞMASI

ÖZET

Silindirle Sıkıştırılmış Beton (SSB) dünya ölçüğünde bir karayolu kaplama alternatifi olarak yaygın bir şekilde uygulanmakta ve ülkemizdeki kullanımını her geçen gün artmaktadır. Ancak SSB için numune üretimi ve laboratuvar ile saha uygulamasının birbirleriyle mukayese edilmesi konusunda literatürde standart bir prosedürün olmaması, test sonuçlarının değerlendirilmesi sürecinde birtakım zorlukları ortaya çıkarmaktadır. Bu çalışmada, numune üretimindeki bu uyuşmazlıkların gerçek bir saha uygulaması yapılarak belirlendirilmesine katkıda bulunulması amaçlanmıştır. Çalışma kapsamında ilk aşamada SSB karışımında ağırlıkça %15-20 oranlarında RAP (Geri Dönüşümlü Asfalt Agregası) kullanımının betonun mekanik performansı üzerindeki görelî etkileri incelenmiş, RAP'in iyi derecelendirilmesi durumunda betonun dayanım ve dayanıklılık özelliklerinde bir azalma gerçekleşse bile, yol üst yapısı kaplaması için uygun performans düzeylerinin elde edilebileceği görülmüştür. İkinci bölümde, ilk aşamada özelliklerini belirlenen kontrol karışımı ile 2,2 km uzunluğunda bir test yolu yapılmış ve tahribatlı yöntemlerle numuneler alınarak, laboratuvara üretilenler ile karşılaştırmalı bir analizi yapılmıştır. Elde edilen sonuçlara göre, araziden alınan numunelerin laboratuvara üretilenlerden düşük dayanım göstergelerinde, daha yüksek aşınma ve geçirimlilik özelliklerinin olduğu Ultrasonik Ses Dalgası Hızı, basınç ve yarmada çekme dayanımı, kılcallık, yoğunluk, su emme, porozite ve aşınma deneyleri ile tespit edilmiştir. Basınç dayanımındaki farklılık %19-32 aralığında iken, yarmada çekme dayanımında bu fark %9,5-30 olarak saptanmıştır. En büyük farklılık %280-307 ile kılcallık deneyinde gözlenmiştir. İki farklı yöntemle elde edilen numunelerde değişkenliklerin oluşmasında, sıkıştırma tekniği, kür koşulları ve tek seferde sıkıştırılan malzeme hacminin farklı olmasının etkili olduğu anlaşılmıştır. Son olarak yapılan bir ekonomik değerlendirmede 43,6 TL/m² ile SSB yolun ilk yapım maliyetinin asfalt yoldan %39,4 daha ekonomik olduğu, yaşam döngüsü maliyeti ile bu oranın %46'ya çıktığı belirlenmiştir.

Anahtar Kelimeler: Geri Dönüşümlü Asfalt Agregası (RAP), Kaplama Maliyeti, Rehabilitasyon, Silindirle Sıkıştırılmış Beton, Yol Tasarımı.

ROLLER COMPACTED CONCRETE PAVEMENT: A CASE STUDY IN THE CITY OF KOCAELİ

ABSTRACT

Roller Compacted Concrete (RCC) is widely used as a highway pavement alternative around the world and its use in our country is increasing day by day. However, the lack of a standardized procedure in the literature for RCC sample production and comparison of laboratory and in-situ specimens with each other causes some difficulties in the process of evaluating the test results. In this study, it is aimed to contribute to the clarification of these disputes in sample production by an actual field application. As a first phase of this study, the use of RAP (Reclaimed Asphalt Pavement) at 15-20% by weight in the RCC mixture, the relative effects on the mechanical performance of concrete were investigated and it was observed that even though there is a reduction in strength and durability properties, satisfactory performance levels can be obtained for the pavement layer when RAP is well classified. In the second phase of the study, a test track of 2.2 km length was constructed with the control mixture optimized in the first phase and a comparative analysis of the samples taken from this track by destructive methods was performed with the samples produced in the laboratory. According to the results obtained by Ultrasonic Pulse Velocity, compressive and splitting-tensile strength, sorptivity, density, water absorption, porosity and abrasion tests, it was determined that the samples taken from the test track have lower strength properties, higher wear and permeability characteristics than the ones produced in the laboratory. While the difference in the compressive strength is in the range of 19-32%, this difference is found to be 9.5-30% in the splitting-tensile strength. The most difference was observed on the sorptivity test with 280-307%. It was observed that the compaction technique, curing conditions and the difference in volume of material compacted at one time are effective in the observed changes on the samples obtained by the two different methods. As a final economical assessment, it was determined that the initial construction cost of the RCC pavement with 43.6 TL/m² is more economical at 39.4% than the asphalt pavement, and this ratio has increased to 46% with life cycle cost.

Keywords: Reclaimed Asphalt Pavement (RAP), Pavement Cost, Rehabilitation, Roller Compacted Concrete, Pavement Design.

GİRİŞ

Günümüz yolculuk talepleri, araç sahiplikleri ile doğru orantılı olarak hızlı bir şekilde yükselmekte, artan bu ihtiyaca karşılık olarak da alternatif ulaşım politikaları sürekli gelişim göstermektedir. Bu amaçla hava, deniz, karayolu ulaşım modellerinin yanında, raylı sistemler, akıllı ve entegre taşıma türlerinin beraber kullanıldığı modern yol ağları, ihtiyaçları karşılamak adına optimize edilmektedir.

Yeni bir karayolu yapmak yerine mevcut üstyapıların doğru bakım onarım stratejileri sayesinde yenilenmesi, geri dönüşümlü malzeme kullanımı ile doğal kaynakların korunması gibi süreçler, bu kaynakların daha verimli kullanılması konusundaki çabalara örnek olarak verilebilir. Bu amaçla, mevcut üstyapıların daha yüksek kapasitelerde hizmet sağlayabilmesi için modernize edilmesi, günümüz çağdaş ulaşım politikalarında ön plana çıkan önemli konulardan biri haline gelmiştir. Her iki durum örneğinde de üstyapı tipinin seçimi büyük önem taşımaktadır. Üstyapı tipine karar verme konusu çok aşamalı bir çözümlemedir ve en önemli unsurlarından birisi de malzemedir. Bu duruma en çarpıcı örnek olarak, 1973'teki petrol krizinden sonra Fransa ve Almanya gibi birçok Avrupa ülkesinde beton yollara olan eğilimin artması verilebilir.

Beton üstyapılar, dünya ölçüğünde şehir içi yollar, sokaklar, otoyollar, havaalanı pistleri, park ve depo alanları, endüstriyel yapılar gibi birçok alanda özellikle ağır taşıt trafiğinin fazla, yerel zemin koşullarının zayıf olduğu bölgelerde esnek üstyapılara bir alternatif olarak tasarlanabilmektedir. Türkiye ölçüğünde ise, asfalt kaplamalı yol endüstrisi üstyapı inşaat sektörüne hâkim olmuş durumdadır. Karayolları Genel Müdürlüğü (KGM)'nın sorumluluğunda 1499 km bölünmüş yol, 2155 km otoyol, 19790 km devlet yolu olmak üzere toplamda 66774 km'lik yol ağı bulunmaktadır. Bu yol ağının %63'ü sathi kaplama, %31'i asfalt, %6'sı ise stabilize yoldur. Asfalt kaplamalı yollar ile kıyaslandığında beton yolların oranı mevcut verilere göre sadece %0,05 düzeyindedir. Ülke içinde yolcu taşımacılığının %95'i karayoluyla yapılmaktadır. Bu oran ABD'de %89, AB ülkelerinde ise %79 düzeyinde

seyretmektedir. Ülkemizde yük taşımacılığı alanında karayolu kullanım oranı ise %76 civarındadır. Bu oran ABD'de %69, AB ülkelerinde ise yaklaşık %45 mertebesindedir (Keçeci, 2006). Dolayısıyla karayolu projelerinde üstyapı yapım maliyetleri ile beraberinde gelen bakım ve onarım faaliyetlerinin ekonomik göstergelerinin tartışıılması önemli bir konu haline gelmektedir.

Silindirle Sıkıştırılmış Beton (SSB) teknolojisi büyük ölçüde baraj yapımında kullanılmasına rağmen, yol yapımında da kullanımını gün geçtikçe artmaktadır (Harrington ve dig., 2010). Ülkemizde ilk SSB yol uygulaması Antalya Büyükşehir Belediyesi tarafından, dâhil olduğu bir Avrupa Birliği 6. Çerçeve Projesi kapsamında Antalya'da gerçekleştirilmiştir. Kısaca "Ecolanes" olarak isimlendirilen ve İngiltere'deki Sheffield Üniversitesi tarafından yürütülen bu projede, araç lastiklerinden elde edilen çelik tellerin beton yollarda kullanılabilirliği, çeşitli laboratuvar deneyleri ve saha uygulamalarıyla gösterilmiştir (URL-1). Türkiye'deki gerçek anlamdaki ilk SSB yol uygulaması ise Denizli Büyükşehir Belediyesi tarafından 2011'de 9 etap halinde yapılmış ve kaplama miktarının 500.000 m²'yi aştiği bildirilmiştir (Yaman ve Ceylan, 2013). 2014 yılından bu yana ise Samsun ve Tekirdağ Büyükşehir Belediyeleri'nin toplamda 225 km uzunluğunda SSB yol yaptığı belirtilmektedir (TÇMB, 2017). Yakın zamanda da, Avrupa'nın birinci çimento üreticisi olan Türkiye'de, yıllık yaklaşık 10 milyon ton çimento ihracatı ve ülke genelinde 65 milyon ton civarlarında gerçekleşen iç satış ile beton yolların yerli sermaye noktasında oluşturacağı rekabet sayesinde, asfalt kaplamalı üstyapılara ciddi bir alternatif olabileceği tahmin edilmektedir (TÇMB, 2017).

SSB, geleneksel betona nazaran daha düşük su/bağlayıcı düzeyine sahip olması nedeniyle "kuru kıvam" özelliği taşımaktadır. Karışım optimizasyonunda standart bir test prosedürü olmamasına karşın, deneysel çalışmalarla zemin sıkıştırma yöntemi, kıvam testi yöntemi, katı süspansiyon modeli, optimum çimento hamuru hacim yöntemi gibi yaklaşık metodlar kullanılmaktadır. Bu yöntemlerde arzu edilen fiziksel sonuçlara göre karışım içeriğinde deneme yanılma yöntemiyle birtakım düzenlemeler yapılabilmektedir (Hansen ve Reinhardt, 1991; Pittman, 1993; USACE, 1995, 2000; Jittbodee ve Somnuk, 2003; Mehta ve Monteiro, 2006; Harrington ve dig., 2010; ACI, 2011).

Düşük hidratasyon ısısı, erken trafiğe açma, hızlı, kolay ve donatsız uygulanabilirliği sayesinde SSB kaplamaları, baraj, uçak pistleri, yol ve banket uygulamalarında ekonomiklik sağlamaktadır (Delatte ve diğ, 2003; Delatte, 2004; PCA, 2005).

Öte yandan gerek beton yollar gerekse SSB yol özelinde daha çevreci yaklaşımalar da son yıllarda yürütülmekte olan araştırma konuları arasındadır. Beton karışımında geri dönüşümlü agrega kullanımı; atıkların yönetimi, enerji ve doğal kaynaklardan tasarruf, ekolojik dengenin korunması, düşük CO₂ salınımı gibi çok sayıda alanda avantaj sağlama, birçok yapı idaresi bu malzemelerin kullanımı konusunda yüklenicilere teşvikler sunmaktadır. İnşaat yıkıntı ve molozlarından sonra çıkan Recycled Concrete Aggregate (RCA) ile eski veya hasar görmüş bitümlü sıcak karışımının yerinden kazılması sonucu oluşan Reclaimed Asphalt Pavement (RAP) birçok araştırmaya konu olmuş ve çalışmaların büyük bir çapında, geri dönüşümlü malzemelerin temel ve alttemel tabakalarında sınırlı düzeyde kullanılması gerektiği bildirilmiştir.

Bununla birlikte literatürde, SSB numune üretimi ve sonuçların değerlendirilmesi konusunda standart bir test prosedürünün olmaması, numune üretimi esnasında farklı enerji kapasitelerinde kompaksiyon yöntemlerinin kullanılması, laboratuvara üretilen numunelerin saha performansını yansıtamaması, SSB saha uygulamalarının daha çok baraj yapılarından alınan örneklerle yapılması, SSB yol çalışmalarıyla yapılan araştırmaların kısıtlı sayıda olması gibi hususlar, elde edilen sonuçların birbirleri ile kıyaslanması konusunda birtakım zorlukların ortaya çıkışına neden olmuştur.

Çalışmanın Amacı:

Bu çalışmada, öncelikle RAP kullanımının SSB beton özellikleri üzerindeki etkileri incelenecək, sonra bu ilk çalışmadan elde edilecek SSB karışımı gerçek bir saha uygulamasında kullanılacak, ardından da laboratuvar ortamında üretilen ve test yolu yapılarak kaplama gövdesinden alınan numunelerin, dayanım ve geçirimlilik özellikleri belirlenecektir. Kapsamlı bu çalışma sonucunda SSB karışımlarında literatürdeki saha ve laboratuvar çalışmalarının mukayesesine katkı sağlanması amaçlanmıştır. Aynı zamanda, klimatik etkilerle gelişen ıslanma-kuruma, soğuma-ısınma, donma-çözülme gibi etkilerin sebep olabileceği muhtemel zararlar, kaplama üzerinde eş zamanlı olarak gözlemlenebilecek, bu sayede ilerleyen zamanlarda gerçek zamanlı bakım ve onarım stratejilerinin geliştirilmesine imkân sağlanacaktır. Çalışmanın son aşamasında da,

Kocaeli İlinde yol kaplaması yapımı süreçlerinde yaşam döngüsü maliyet analizleri yapılarak, kaplama tipleri arasındaki mukayeseler sayesinde ekonomik faydaların ortaya konması hedeflenmiş, karışım içeriğinde belirli oranlarda RAP kullanılması durumunda oluşabilecek performans kayıplarına mukabil, elde edilecek mali kazançların tartışılması amaçlanmıştır.

Çalışmanın Kapsamı:

Çalışmanın ilk bölümünde, bütünlük bir yapı elemanı olan yol üstyapısının yapısal ve geometrik özellikleri, rijit üstyapılar özelinde tartışılmıştır. SSB karışımları ve betonda geri dönüşümlü agrega kullanımı konularında daha önce yapılan çalışmalar, SSB özellikleri, kullanım alanları, karışım tasarıımı, taşıma, yerleştirme, sıkıştırma, gerektiğinde derz yapımı, kür ve bakımı gibi konular ele alınmıştır.

Çalışma yönteminin ele alındığı ikinci bölümde, Laboratuvar ortamında gerçekleştirilen karışım optimizasyonu, karışım içeriğinde RAP kullanımı, betonun dayanım ve dayanıklılık özelliklerinin belirlenmesi gibi deneysel çalışmalar ve bu çalışmalardan elde edilen bulgular tartışılmıştır.

Üçüncü bölüm, saha şartlarında Kocaeli İli karayolu yapısı özelinde ilk defa uygulaması yapılan 2,2 km'lik bir test yolu için güzergâh seçimi, yapısal tasarım ve inşaat aşamalarını kapsamaktadır. Bölüm içerisinde ayrıca kaplamadan numune alınması ve değerlendirilmesi, laboratuvarda elde edilen ve sahadan alınan sonuçların kıyaslanması süreçlerine yer verilmiştir.

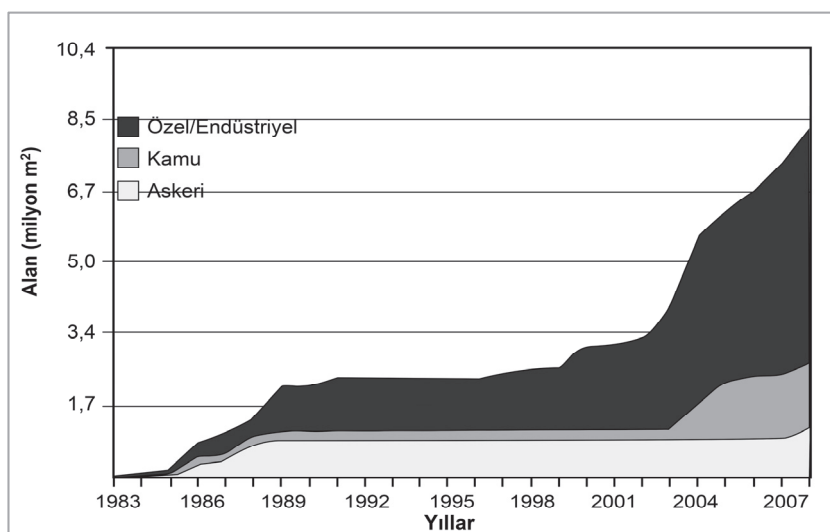
Dördüncü bölümde, ideal kaplama tipi seçiminde ekonomik yönden mukayeseler yapılarak, yaşam döngüsü maliyet analizlerine yer verilmiştir.

Son kısım olan beşinci bölümde ise, Laboratuvar ortamında ve sahadan elde edilen deneysel bulgular ışığında, test sonuçları arasındaki farklar tartışılarak, SSB karışım tasarımindan RAP kullanımı, SSB yol yapımı, onarım stratejileri ve kaplama tipi seçimi hakkında önerilerde bulunulmuştur.

1. SİLİNDİRLE SIKIŞTIRILMIŞ BETON YOL

SSB, çelik bandajlı ve lastik tekerlekli silindirlerle kuru kıvamındaki bir beton karışımının sıkıştırılarak sertleşmesi sonucunda ortaya çıkan bir rijit üstyapı teknolojisidir. Geleneksel betonlarla benzer dayanım ve kalıcılık özelliklerine sahiptir. Geleneksel beton karışımları ile arasındaki en büyük fark, SSB'de sıkışlaşmaya ve çökmeye olanak sağlayan ince agregaların daha yüksek oranda olmasıdır. Bu karışımlar titreşimli silindirler altında stabil kalacak kadar sert, ayrışma olmadan karışım içerisinde çimento hamurunun dağılmasına izin verecek kadar nemlidir. SSB, genellikle asfalt tipi serici ile serilir ve sonrasında silindir makineleriyle birkaç kez sıkıştırılır. Nihai sıkıştırma ilk 1 saat içerisinde sağlanır ve geleneksel beton yolların aksine hiçbir aşamada donatı kullanılmaz. Derz kesimi şart olmayıp ihtiyaç duyulması durumunda derz aralıkları geleneksel beton yollara göre daha geniş tutulur (Harrington ve dig., 2010).

Bu kaplamalar, liman, inter-modal ve askeri tesisler, karayolu kaplamaları, sokak ve otoyol yapımında birçok koşulda ekonomiklik sağlamaktadır. SSB, temel malzemesi olarak da kompozit sistemlerde kullanılabilir. Kamu ve özel sektörde, özellikle düşük hacimli yol ve park alanları yapımında son yıllarda kullanımı giderek artmaktadır (Şekil 1.1) (Pittman ve Anderton, 2009).



Şekil 1.1. ABD'de SSB kullanımı (Pittman ve Anderton, 2009)

SSB yollar, 1970'lerde Amerika ve Kanada'daki ilk kullanımından sonra, sert ve ılıman iklim bölgeleri, ağır tekerlek yükleri ve zor çalışma koşulları altında birçok bölgede uygulanmıştır. İlk etaplarda tomruk dağıtım depoları, çok amaçlı terminaller, nakliye depoları ve diğer endüstriyel uygulamalarda kullanılmasına rağmen, son 10 yıldır birçok geleneksel karayolu ve cadde kaplama inşaatında kullanımı artış göstermiştir.

SSB teknolojisi, Amerika ve Avrupa'da son 50 yıldır başarılı bir şekilde kullanılmasına rağmen, Türkiye'deki ilk uygulaması seksenli yılların başında Karakaya Barajı'nın mansap kısmında gerçekleşmiş, doksanlı yılların ortalarından itibaren baraj gövdelerinde tekrar kullanılmıştır (Öztürk ve Yıldız, 1998; Özcan, 2008). SSB yol ise son 4 yılda yerel yönetimler tarafından benimsenmiş, Kocaeli, Antalya, Denizli, Samsun ve Tekirdağ Büyükşehir Belediyeleri tarafından 2017 verilerine göre yaklaşık 225 km uzunluğunda kent içi ve kırsal bölgelerde uygulamalar yapılmıştır (TÇMB, 2017).

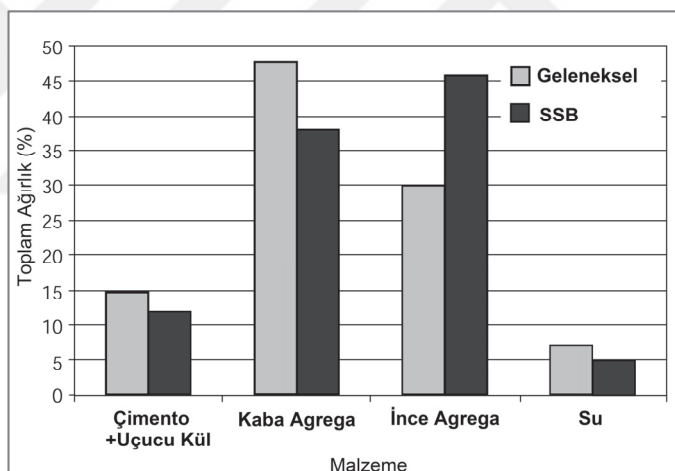
SSB yollar, esnek ve rıjît üstyapılarının birçok yönlerini ve uygulamalarını birleştirmektedir. Bu kaplamalar, her ne kadar bitümlü sıcak karışımalarla benzer agrega gradasyonuna sahip olsalar ve sıkıştırılsalar da, malzeme ve yapısal performansları bakımından geleneksel beton yollara benzemektedirler. İyi derecelendirilmiş agregalar, uygun çimento ve su içeriği ve yoğun sıkıştırma işlemleri ile düşük geçirgenlik dereceleri sağlanabilir, bu sayede geleneksel betona yakın düzeyde dayanım özellikleri elde edilebilir. Malzeme, serim işleminden sonra silindiri taşıyabilecek kadar kuru olmalı, öte yandan harçın homojen olarak dağılabilmesi için de yeteri miktarda nem barındırmalıdır. Harçın agrega yüzeylerini kaplaması ve boşlukların doldurulması için uygun karışım oranlarının elde edilmesi şarttır. Aynı zamanda yük transferinin aggregalar arasındaki kenetlenme ile sağlanabilmesi için, yüzeylerinin yeterli düzeyde çimento hamuruyla sarılması gereklidir.

Kompaksiyon (sıkıştırma), taneli malzemelerde aralardaki boşlukların özellikle de hava boşluklarının azaltılması ve yoğunluğun arttırılması işlemidir. Sıkıştırma işlemine hidratasyon başlangıcından hemen önce başlanmalıdır. Sıkıştırma esnasında uygun yoğunluğun elde edilmesi, eşit olmayan çökmelerin ve izole edilmiş zayıf bölgelerin oluşmasını engeller. Karışım içeriğine ve serim işleminde kullanılan iş

makinelerine bağlı olarak silindirlerle yapılan harici mekanik kompaksiyon, karışımın hacminde %5 ile %20 oranında bir azalmaya sebep olur. Karışımlardaki geçirimli hava boşluklarını en aza indirmek, dayanım ve dayanıklılık açısından önemlidir. Geçirimli hava boşlukları malzemenin zayıflamasına sebep olurken, aşırı su, donma/çözülmeye bağlı gerilmelere sebep olacaktır. En iyi performans özellikleri, karışımda ayırmaların olmadığı ve kaplamanın bütününde maksimum yoğunluğa ulaşacak şekilde sıkıştırmanın sağlandığı durumlarda elde edilmektedir (Harrington ve dig., 2010).

1.1. Genel Özellikler

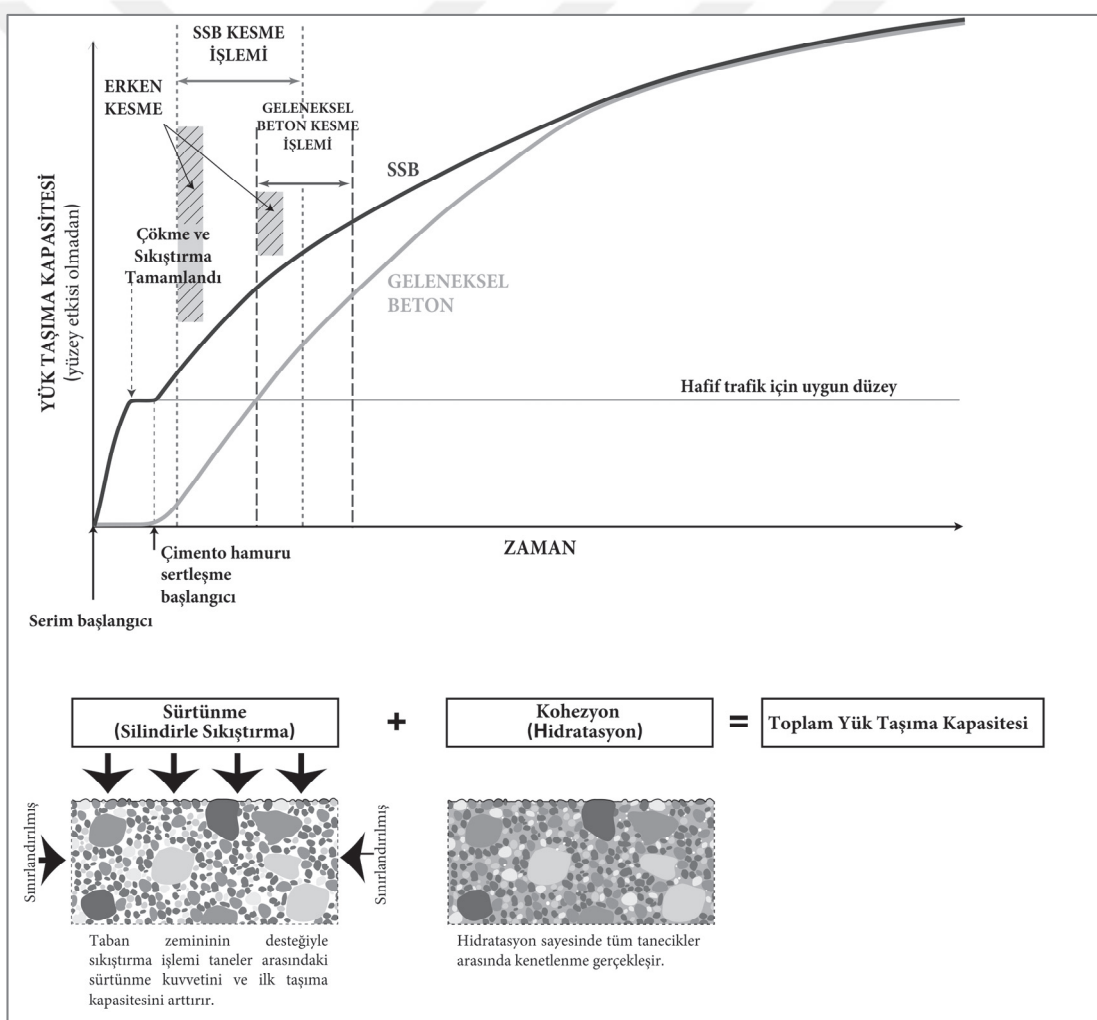
SSB karışımları, geleneksel beton karışımlarına göre daha az bağlayıcı malzeme (çimento + uçucu kül vb.), iri agregat ve su barındırmamasına rağmen, daha fazla ince agregata sahiptir (Şekil 1.2).



Şekil 1.2. Geleneksel ve SSB için karışım oranları
(Harrington ve dig., 2010)

SSB karışımında, geleneksel betona göre ince taneli agregatlar daha sıkı bir formda bir arada toplanmıştır. Bu sıkışma, taneler arasında agregat kenetlenmesi sayesinde daha yüksek sürtünme direnci sağlamakta, bu da başlangıç taşıma kapasitesinde artışlara neden olmaktadır (ACI, 2011). Bütün beton yol inşaatları mekanik (oturma) ve kimyasal (hidratasyon) prosesler içermektedir. Geleneksel beton karışımlarında oturma prosesi, serici (finişer) bünyesindeki dâhili titreşim sayesinde gerçekleşir ve ekstra bir sıkıştırma enerjisine gerek duyulmaz. SSB karışımları için ise oturma, geleneksel veya yüksek yoğunluklu sericilere müteakip, çelik bandajlı veya lastik

tekerlekli silindirlerle sağlanır. Geleneksel beton ve SSB serildikten sonra, zaman içerisinde farklı dayanım gelişimleri gösterir ve zamanla bu değişim birbirine benzemeye başlar (Şekil 1.3). Geleneksel beton, serim işleminden hemen sonra aggrega tanelerini birleştiren çimento hamurunun sertleşmesine sebebiyet veren hidrasyon süreci başlayıncaya kadar plastik kıvamdadır. Dolayısıyla hafif araç trafiği kapsamında yük taşıma kapasitesine erişilebilmesi için biraz daha zamana ihtiyaç duyulabilir. Bunun tersine SSB, serimden hemen sonra hafif araç trafik yükünü taşıyabilecek kapasiteye ulaşabilmektedir. Erken yük taşıma kapasitesi, aggrega taneleri arasında sürtünmeye ve kenetlenmeye sebep olan sıkıştırma enerjisi sayesinde sağlanmaktadır.



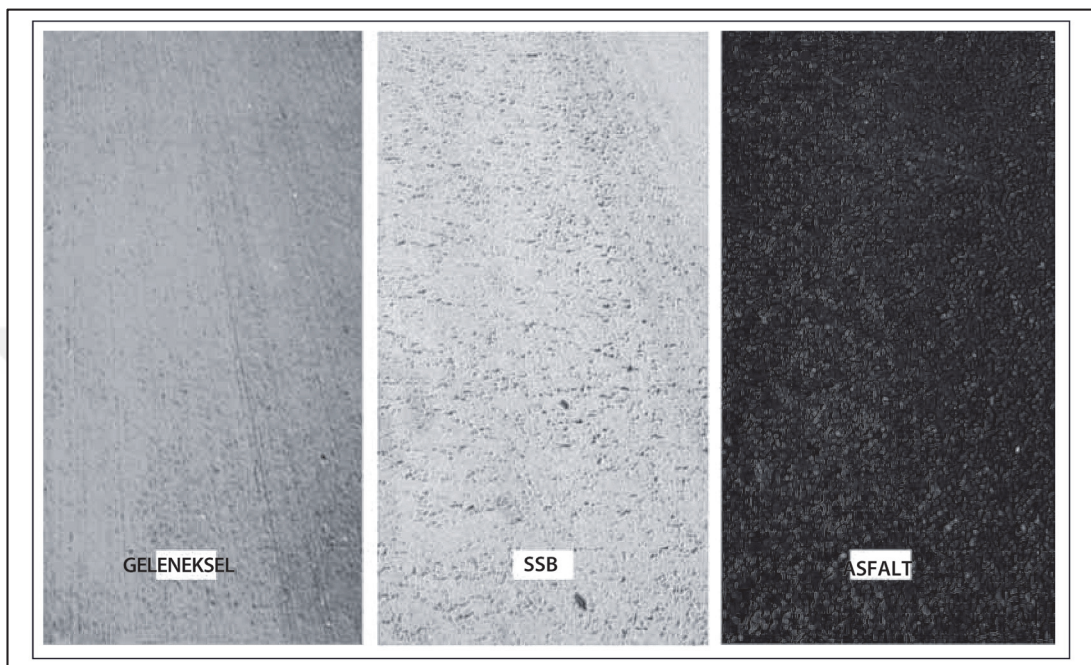
Şekil 1.3. Dayanım gelişiminin zamana göre değişimi (Harrington ve dig., 2010)

Geleneksel beton ile SSB beton yol arasında malzeme karakteristikleri, işçilik ve yapım sonrası yürütülen faaliyetlerde birtakım farklılıklar bulunmaktadır (Tablo 1.1).

Tablo 1.1. Kaplama tipine göre karşılaştırılmalar (Yaman ve Ceylan, 2013)

ÖZELLİKLER	GELENEKSEL BETON YOL	SİLİNDİRLE SIKIŞTIRILMIŞ BETON YOL
Karışım Oranları	Agrega, beton hacminin % 60-75'i düzeyindedir. Tipik s/c = 0,40-0,45.	Agregalar beton hacminin % 75-85' ini oluşturur. Tipik s/c < 0,40.
İşlenebilirlik	Karışım plastik ve akişkandır, çökme değeri yaklaşık 5 cm düzeyindedir	Karışımı nispeten kuru ve rijittir (Sıfır çökme değerindeki bir betondan daha rijit)
Kaplama Yapılması	Karışım, betonu titreşim aracılığıyla yayan, seviyelendiren, sıkıştırın ve çıkarın bir kayar kalıp beton sericinin önüne dökülmektedir.	Kendinden tarihlenen asfalt kaplama sericisi ile serme işlemi yapılır. Herhangi bir kalıp sistemi kullanılmaz.
Sıkıştırma	Sıkıştırma işlemi içsel olarak meydana gelir. Başlangıçta, sericilerdeki daldırma ve yüzey tipi vibratörleri taze betonu akişkanlaştırır ve sıkışmış havanın çıkışmasını sağlar. Beton sericiden sıkıştırılıp çıkışır, priz başlamadan önce katıların (çimento ve agregat) çökmesi ve suyun yüzeye yukarı doğru hareketi (terleme) aracılığıyla ilave bir sıkışma meydana gelir.	SSB'de esas sıkıştırma işlemi betonun silindirlerle dışardan sıkıştırılmasıyla, genellikle beton karıştırma işleminden sonraki ilk 60 dakika içerisinde beton sertleşmeye başlamadan önce gerçekleştirilir.
Yüzey Düzeltme	Beton yüzeyinin düzeltilmesi, beton priz almaya başlamadan önce gerçekleştirilir. Geleneksel beton yolda araç ile yol arasındaki sürtünmeyi artırmak için genellikle mekanik olarak bir yüzey pürüzlendirme işlemi yapılır.	SSB yol yüzeyi tipik bir asfalt yol gibi açık yüzeyli olmasına rağmen, daha küçük agregaların kullanılması ve/veya çimento ilavesi ile daha yoğun bir yüzey (geleneksel betona yakın) elde edilebilir. SSB yol yüzeyi elmas taşlama yöntemiyle de şekillendirilebilir.
Hidratasyon	Beton karışımının uygun hidratasyonu yol betonunun uzun süreli dayanıklılığı için oldukça önemlidir. Hidratasyona yardımcı olması için, betonun bakımı önemli bir gereksinimdir.	
Kür İşlemi	Yüzey düzeltme işleminden sonra kusursuz bir kür işlemi gereklidir. Betonun sertleşmesini ve dayanım kazanmasını sağlayan çimentonun hidratasyonunu mümkün kılabilmek için beton yüzeyinden suyun buharlaşmasının kontrol edilmesi önemlidir.	Silindirlerle sıkıştırma işleminden sonra kusursuz bir kür işlemi gereklidir. Betonun sertleşmesini ve dayanım kazanmasını sağlayan çimentonun hidratasyonunu mümkün kılabilmek için beton yüzeyinden suyun buharlaşmasının kontrol edilmesi önemlidir.
Çatlama, Yük Transferi ve Güçlendirme	Geleneksel derzli beton kaplamalarda çatlakların yeri sonradan kesilen derzlerle kontrol edilir. En az 20 cm veya daha kalın kaplamalarda yük transferi içinse bu derzlerdeki kayma donatıları ile aggregaların birbirine kenetlenmesine yardımcı olan boyuna çubuk donatılar kullanılır. Sürekli donatılı beton yol kaplamalarda ise daha kısa aralıklarla doğal olarak oluşan çatlakların oluşmasına izin verilerek yük aktarımında aggregaların birbirine kenetlenmesi ve çelik donatı birlikte yardımcı olur.	Endüstriyel uygulamalarda SSB yol derzleri genellikle kesilmezler. Bu gibi kesme işleminin istenmediği durumlarda 4,5 ile 9 m aralığında rastgele oluşan dar çatlaklar ve aggregaların birbirine kenetlenmesi aracılığıyla yük transferi sağlanır. Araba ve kamyon trafiği uygulamalarında ise rastgele beton çatlaklarının kontrolü için kesme işlemi istenir. SSB yollarda geleneksel beton yollara göre daha az derz kesilir. Enine derzler 4,5 ile 9 m aralıklarda yerleştirilir. SSB yollardaki sıkıştırma yönteminden dolayı derzlerde kayma donatısı yerleştirmek mümkün değildir.

SSB yüzey pürüzlülüği tipik olarak asfalt yüzeyine benzer, fakat geleneksel betona göre daha açık ve pürüzlüdür (Şekil 1.4). Buna rağmen, daha yoğun pürüzlü yüzeyler elmas kesme veya bileme (grinding) işlemleriyle elde edilebilir (Harrington ve dig., 2010)

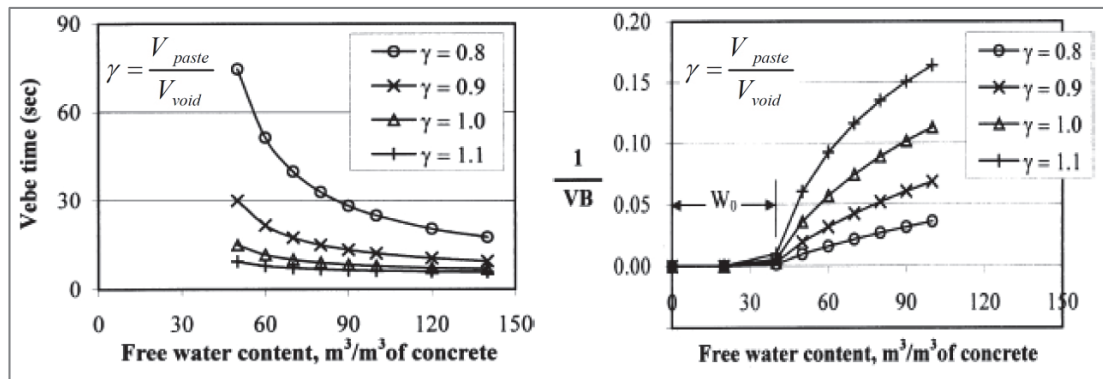


Şekil 1.4. Kaplama tipine göre yüzey dokusu (Harrington ve dig., 2010)

1.1.1. Kıvam

Betonun taze haldeki kıvamını etkileyen başlıca faktörün serbest su içeriği olduğu bildirilmiştir (Khunthiongkeaw ve Tangtermsirkul, 2003). Çünkü karışımıma su eklendiğinde katı danecikler arasındaki mesafe ve yağlanma etkisi artmaktadır. SSB gibi sert kıvamındaki karışımın kıvamını ölçebilmek için Vebe kıvam ölçerler kullanılmaktadır. Bu test, özellikle çok kuru karışım için iyi bir laboratuvar testidir. Buna ek olarak, betonun sahadaki yerleştirme yöntemini yansıtması açısından Vebe süresinin tespiti önemlidir.

Kıvam tahmin modelinin geliştirilmesi için yapılan bir çalışmada araştırmacılar, Vebe süresi ile karışımın serbest su içeriği arasında birtakım korelasyonlar geliştirmiştirlerdir. Bu ilişkiler Şekil 1.5'te gösterilmektedir (Khunthiongkeaw ve Tangtermsirkul, 2003).



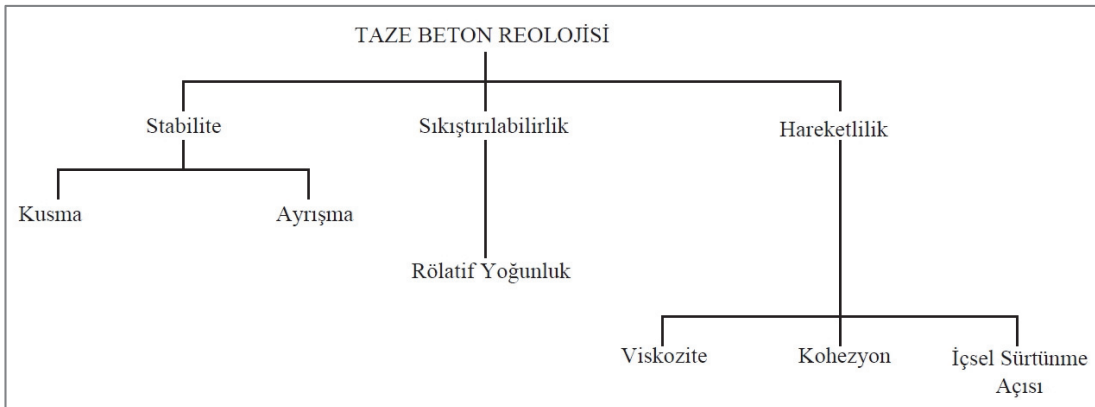
Şekil 1.5. Vebe süresi ve serbest su içeriği arasındaki ilişki (Khunthiongkeaw ve Tangtermsirkul, 2003)

Bu grafiklere göre;

- Karışımın serbest su içeriği belirli bir değerden düşükse, Vebe süresi önemli derecede artar. Bunun nedeni katı daneler arasındaki sürtünme ve yüzey kuvvetlerini aşmak için gerekli olan su miktarının yeterli olmamasıdır. Karışımın işlenebilir hale getirilmesi için gereken minimum serbest su miktarı, karışımındaki katı daneler arasındaki yüzey kuvvetlerinden doğrudan etkilenir.
- γ artışı ile Vebe süresi azalır. Bunun nedeni de, daha yüksek çimento hamuru içeriğine sahip karışımlarda agregalar iyi dağılmış haldeyken, hamur içinde daha büyük bir partiküler mesafeye sahip olmalarıdır. Bu durum, karışımın daha iyi şekil değiştirebilmesine ve daha kısa sürede tüm boşlukların dolmasına olanak tanımaktadır.

1.1.2. İşlenebilirlik

Betonun yerleştirilmesi maliyeti işlenebilirliğine bağlıdır ve üniform yapıda bir serim yapılabilmesi için karışımın ayrışma olmadan yeteri düzeyde akışkan olması gereklidir. Karışımın işlenebilirliği; s/c oranı, agrega gradasyonu, karışım türü ve dozaj dâhil olmak üzere birçok değişkenden etkilenmektedir. Betonun reolojisi, işlenebilirliğine karar vermede çok önemli bir rol oynamaktadır. Şekil 1.6, taze beton reolojisini etkileyen faktörleri göstermektedir (ACI, 1981).



Şekil 1.6. Betonun reolojisini etkileyen faktörler (ACI, 1981)

Kuru özelliği nedeniyle SSB karışımlarında kusma problemi görülmez, fakat tanecikli yapı nedeniyle karışımın ayıuşma yapma eğilimi vardır. Ayıuşma riski, iyi derecelendirilmiş agrega ve uygun ince dane içeriği ayarlanarak kontrol altına alınabilir. Daha yüksek çimento içeriğindeki karışımalar genellikle daha tutarlıdır ve ayıuşma olasılığı daha düşüktür (ACI, 1981).

Yüksek kompaksiyon enerjisi kullanılarak yüksek yoğunluklarda sıkıştırılmış aşırı kuru betonlarda, bazen uygun olmayan karışım oranları ve sıkıştırma nedeniyle gözenekli bir yapı oluşabilir. SSB karışımlarının sıkıştırılabilirlik ölçüm yöntemleri, ilk dolum hacim oranı (initial-filled volumes ratio), son dolum hacmi oranı (ultimate filled volumes ratio), konsolidasyon verimliliği ve enerji (consolidating efficiency and energy) şeklinde sıralanabilir. Bu indisler, yol kaplaması yapımında SSB karışımının uygunluğunu tahmin etmek için kullanılmaktadır (Kokubu ve Ueno, 1996; Kokubu ve diğ., 1993; Kokubu ve diğ., 1996).

1.1.3. Kuruma rötresi

Kuruma rötresi, çimento hamurunun yapısı, agreyanın sıkıştırılabilirliği, agreya içeriği, numune geometrisi, betonun yaşı ve beton çevresindeki bağıl nem gibi çeşitli faktörlerden etkilenmektedir. SSB karışımında yapılan birçok araştırmada 28 günlük kuruma rötresi seviyesi 250-300 microstrain düzeyinde tespit edilmiştir (Ghafoori ve Cai, 1998; Pittman ve Ragan, 1998; Jingfu ve diğ., 2009; Khayat ve Libre, 2014). İçeriğinde %25 uçucu kül bulunan iri, orta, ince olmak üzere üç farklı agreya gradasyonu ve karışımındaki su içeriğinin optimum, fazla (opt. +%)1 ve az (opt.

-%1) olmak üzere 3 farklı düzeyde seçildiği SSB numuneleri üzerinde yürütülen bir çalışmada aşağıdaki sonuçlar elde edilmiştir (Pittman ve Ragan, 1998);

- Geleneksel betona nazaran daha düşük bir kuruma rötresi düzeyi tespit edilmiştir (28 günlük ortalama 150 microstrain).
- SSB karışımlarında kuruma rötresi üzerinde, su içeriği ve agrega derecelendirmesinin bireysel etkileri olmamalarına karşın, birlikte etkilerinin olduğu tespit edilmiştir.
- İri gradasyon ve fazla su içeriğine sahip numunelerde maksimum rötre görülürken, optimum su içeriğindeki orta dereceli karışımlarda en az rötre düzeyi gözlemlenmiştir.

Başka bir çalışmada ise aşağıdaki bulgular elde edilmiştir (Dias, 2004);

- Sabit çimento düzeyinde, agrega içeriği tarafından daha yüksek oranlarda kenetlenme kuvveti sağlandığından, iri agrega içeriği arttıkça kuruma rötresi azalmıştır.
- Artan çimento hamuru içeriği ile kuruma rötresi artmıştır. Bu araştırma sonuçlarının bazıları Tablo 1.2'de gösterilmektedir.

Tablo 1.2. Çimento ve iri agrega düzeyinin kuruma rötresine etkisi (Dias, 2004)

Çimento İçeriği (%)	Ağırlıkça İri Agrega İçeriği (%)		
	50	55	60
	Kuruma Rötresi (microstrain)		
9	248	218	203
12	270	236	217
15	298	277	255

Çimento içeriğinin 403 - 438 kg/m³ olarak seçildiği bir çalışmada, SSB kaplama gövdesinden alınan prizmatik numunelerde, 112. gün sonunda 500–700 microstrain mertebesinde kuruma rötresi düzeyi tespit edilmiştir (Damrongwiriyapan ve diğ., 2012).

1.1.4. Donma/çözülme direnci

SSB gibi kuru karışımlar, geleneksel betonlara göre farklı bir iç yapıya sahiptirler. Geleneksel betonlarda geçerli olan donma/çözülme ile ilgili teorilerin kuru karışımlarda da uygulanabileceği net olarak ortaya konmuş değildir (Pigeon ve Pleau, 1995). Daha önce belirtildiği gibi SSB, iyi bir sıkılık elde edebilmek için doğru

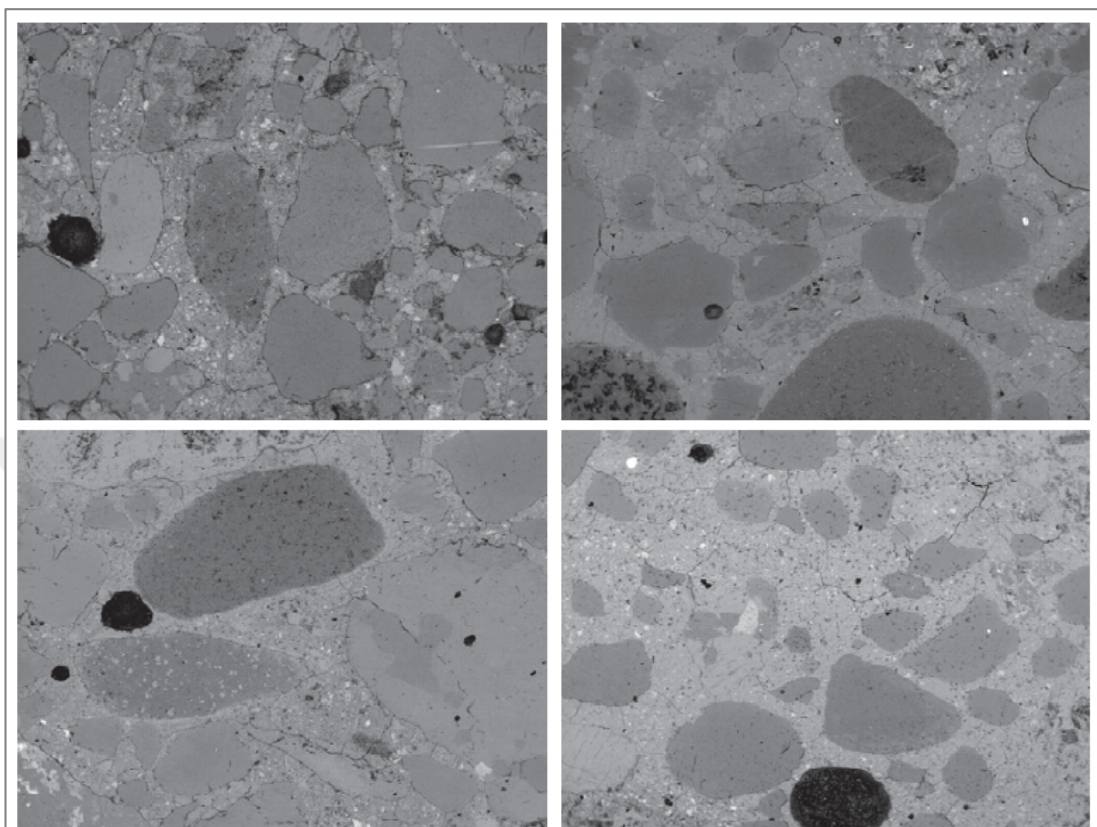
miktarda su ile düşük çimento hamuru formunda ortaya çıkan çok kuru ve sert bir kıvama sahiptir. Dolayısıyla büyük ölçüde kendinden konsolide olan geleneksel betonlardan farklı olarak, SSB karışımına şekil verilebilmesi için ek sıkıştırma enerjisine ihtiyaç duyulmaktadır (Pigeon ve Pleau, 1995).

SSB'nin mikroyapısı, mekanik, hidrolik ve fiziksel yük gibi farklı etkilere verilen tepkilerin belirlenmesinde önemli bir rol oynamaktadır. SSB karışımlarında kompaksiyon boşluklarının varlığı en belirgin farklardan biri olarak gösterilebilir. Geleneksel betonlarda hapsolmuş havanın dışarı atılması için titreşim uygulanır. Ancak SSB yapısının sıkı ve sert yapısı nedeniyle, kompaksiyon boşluklarına benzer bir şekilde gelişigüzel yayılmış hava boşluklarının atılması mümkün değildir. Kompaksiyon boşluklarının miktarı ve yapısı, çimento hamurunun kompozisyonu ve kararlılığına, betonun kıvamına, agrega dokusu ve şekline bağlıdır (Hazaree, 2007).

Geleneksel betonlara göre bir diğer farklılık, çimento hamurunun göreceli olarak heterojen bir yapıda olmasıdır. Karışımın daha düşük kıvamda olması ve agrega içeriğinin nispeten daha yüksek olması nedeniyle çimento tanelerinin homojen bir şekilde dağılması oldukça zordur (Pigeon ve Pleau, 1995). Dolayısıyla karışım, kuru çimento hamurunu ince bir tabaka gibi kaplayan agrega iskeleti gibi düşünülebilir. Bu danelerin derecelendirilmesi iyi optimize edilirse, kompaksiyon boşluklarının sayısı düşürülebilir. Aksi durumlarda, oran artabilir ve karışım içerisindeki bu boşluklar sürekli bir ağ oluşturabilirler (Pigeon ve Marchand, 1996).

Karışımın kuru bir kıvama sahip olması ve agreganın kısıtlayıcı etkisiyle sıkıştırma işlemi sırasında, geleneksel karışımlara nazaran agregalarda çok daha fazla kırılma olayı gerçekleşir. Buna bağlı olarak çok sayıda gözenekli ve kırık ara yüzey bölgesi oluşur (Şekil 1.7). Buna ek olarak, çimento hamurunun heterojen olması nedeniyle de daha geçirgen bir yapı oluşturabilir. Bu durum, donma esnasında hava boşluklarına suyun hareketini kolaylaştırır ve ara yüzey bölgesinin donma sırasında hassas bir noktaya erişmesine neden olabilir (Pigeon ve Marchand, 1996). SSB karışımlarının kuru ve sert yapıları, bu gözenekli ara yüzeylerin oluşumunda önemli etkiler ortaya çıkarmaktadır. Yüksek derecedeki sertliğe bağlı olarak, agrega daneleri etrafındaki çimento hareketi karıştırma sırasında sınırlı hale gelmektedir. Islak agrega yüzeyindeki su filmi karışım boyunca yeterince dağıtılamaz, böylece ara yüzeydeki

gözeneklilik artar. Yüksek kapasiteli karıştırıcıların bile agrega yüzeyindeki su filmini çıkarmada etkili olmadıkları tespit edilmiştir (Marchand ve diğ., 1996).

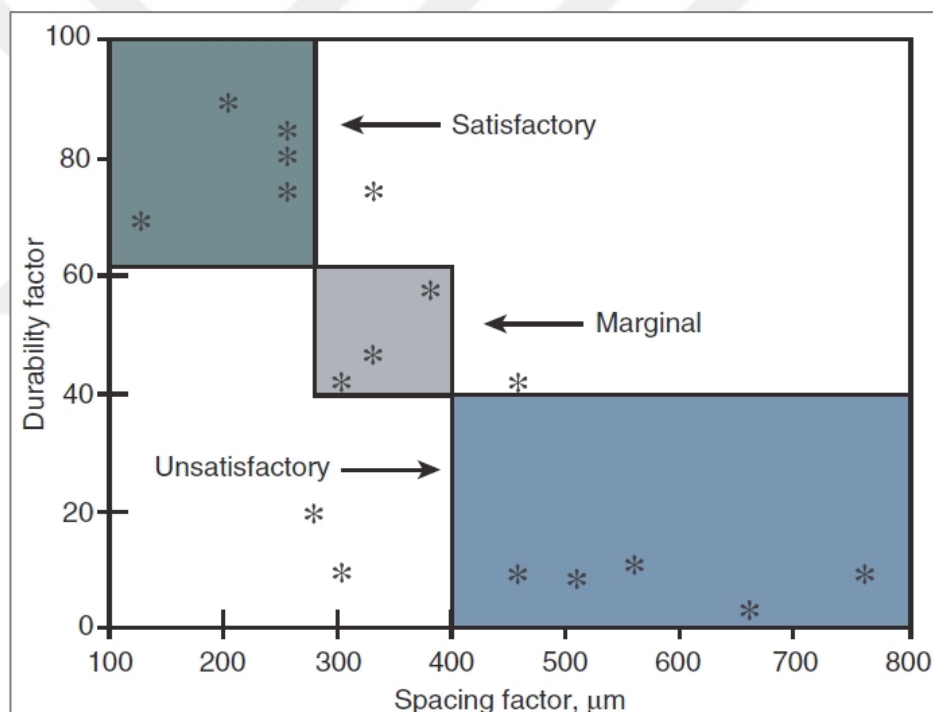


Şekil 1.7. SSB içyapılarında gözlemlenen çatlaklar [SEM, 40x] (Hazaree, 2007)

Betonun donma hasarına karşı korunması için bünyesindeki toplam hava içeriği en önemli parametredir ve konvansiyonel olarak sürükleşen hava, betonun donma/çözülme direncini yansitan bir parametre olarak karakterize edilir. Kuru karışımında, bu hava kabarcıklarının oluşabilmesi için bir çeşit yoğunlaşturma işlemi yapılır. Bu süreçte karıştırıcı enerjisinin düzeyi önemli bir yere sahiptir (Hazaree, 2007). Diğer taraftan vibrasyon uygulanması hava içeriğini azaltır, bu vesileyle büyük boşlukların oluşması kolay bir şekilde önlenebilir (Dolch, 1995). SSB gibi kuru karışımında hava sürükleşebilmek için, karıştırma sırası; çimento, su, hava sürükleşici katkı ve tek bir agrega fraksiyonu olarak seçilmelidir. Karıştırma işlemine, yeteri düzeyde hava boşluğu elde edildikten sonra geri kalan agregaların ilave edilmesiyle devam edilir (Andersson, 1987).

Bazı laboratuvar ve saha araştırmalarında, hapsolmuş hava miktarının kompaksiyon boşlukları ile geliştiği, bunun yanında hava sürükleşmiş boşluk formlarının da

karışımalar içerisinde gelişigüzel yer aldığı gözlemlenmiştir (Whiting, 1985; Marchand ve diğ., 1990). Ters akımlı pan-mikserlerin, SSB'de havanın tutulmasında etkili olduğu tespit edilmiştir (Marchand ve diğ., 1998). Bir araştırmada, SSB karışımalarında % 0,1 - 0,6 düzeyinde küresel hava kabarcığı tespit edilmiştir. Nispeten düşük oranda olan bu hava kabarcıklarının açıklık faktörü (spacing factor) $84 - 169 \mu\text{m}$ ve özgül yüzeyi (specific surface) $11,7 - 21,9 \text{ mm}^{-1}$ düzeyinde hesaplanmıştır (Delagrange ve diğ., 1997). 1976-1985 yılları arasında SSB kaplamalarında yapılan bir araştırmada durabilite özelliği, açıklık faktörü ile ilişkilendirilmiştir (Şekil 1.8). Mikroskopik incelemede, kaplamalarda belirgin miktarda hava kabarcığı bulunmadığı saptanmış ve donmaya karşı olan direncin, kompaksiyon ile oluşan boşluk sistemi ile sağlandığı tespit edilmiştir.



Şekil 1.8. SSB için açıklık faktörü ve durabilite ilişkisi (Ragan, 1986)

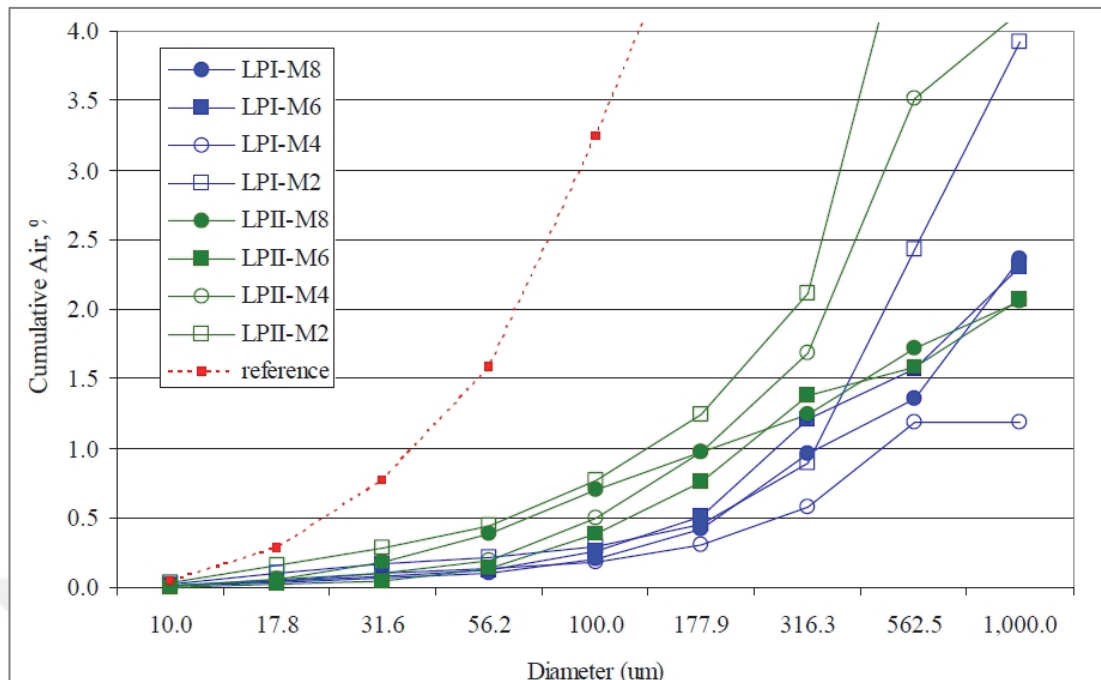
British Columbia (Lowe, 1988) ve New Hampshire'daki (Hutchinson ve diğ., 1987) bazı SSB yapılarında karışım içeriğine hava sürüklənməmiş olmasına rağmen, betonun donma/çözülmeye karşı dirençli olduğu, ancak tüm bölgelerde bunun geçerli olmadığı saptanmıştır. Fakat British Columbia'daki projeden alınan numuneler, ASTM C666 standardına göre laboratuvar testlerinde birtakım çelişkili sonuçlar doğrumuş, bu uyuşmazlık başka bir SSB çalışmasında da doğrulanmıştır (Liu, 1991).

Özetle, içsel çatlaklar ile beraber kompaksiyon boşlukları, hava sürükleyleici katkı kullanılarak elde edilen boşluklar gibi koruma sağlayabilir. SSB karışımlarında yüksek geçirimlilik özelliklerinin olmasının, donma sırasında hava boşluklarına hareket eden su akışı nedeniyle iç basıncın düşmesi gibi olumlu etkileri de vardır. Bununla birlikte kompaksiyon boşlukları her zaman yeterli bir koruma sağlayamayabilir (Pigeon ve Pleau, 1995).

Farklı çimento düzeylerinde ($150\text{-}450 \text{ kg/m}^3$) hazırlanan SSB karışımlarının donma/çözülme direncinin tespit edildiği bir çalışmada (Hazaree, 2007), SSB karışımlarında hava sürükleyleici katkı kullanılmasının mümkün olabileceği görülmüştür. Çalışmaya ait karışım parametreleri Tablo 1.3'de, boşluk analizi ise Şekil 1.9'da verilmiştir.

Tablo 1.3. SSB karışımlara ait parametreler (Hazaree, 2007)

	Kodu	Karışım	Çimento (kg/m^3)	İnce Agrega (kg/m^3)	İri Agrega (kg/m^3)	Su Azaltıcı (kg/m^3)	Hava Sürükleyici (kg/m^3)	Su/Çimento	V-e-Be (s)	Max. Kuru Birim Ağırlık (kg/m^3)	28 Günlük Basınç Dayanımı (MPa)	Kütlece Su Emme (%)	Porozite (%)
Kontrol	LPIM2	150	1103	982	2,3	0	0,85	50	2425	25,5	4,32	10,8	
	LPIM4	250	918	1087	3,8	0	0,50	43	2500	51,9	3,95	10,2	
	LPIM6	350	791	1137	5,3	0	0,35	39	2490	57,7	4,06	10,2	
	LPIM8	450	671	1176	6,8	0	0,27	40	2480	55,5	4,91	12,2	
Hava Sürüklendirme	LPIIM2	150	1104	984	2,3	1,2	0,85	42	2410	22,5	4,34	10,7	
	LPIIM4	250	924	1094	3,8	2,0	0,48	46	2536	45,3	3,70	9,6	
	LPIIM6	350	765	1142	5,3	2,8	0,34	38	2518	51,6	4,24	10,7	
	LPIIM8	450	676	1184	6,8	3,6	0,26	41	2430	50,9	5,20	12,7	



Şekil 1.9. Hava sürükleyici katkı ve çimento düzeyine göre hava içeriği değişimi (Hazaree, 2007)

Bu çalışma sonuçlarına göre, hava sürükleyici katkı kullanımıyla boşluk oranının arttığı tespit edilmiştir. ASTM C 666 ya göre yapılan donma/çözülme testlerinde ise, hava sürüklənmemiş ve çimento düzeyi 300 kg/m^3 ve yukarısı olan karışımlarda, Rölatif Dinamik Elastisite Modülü'nün 300 döngü sonunda %65 ve yukarısı seviyesinde olduğu saptanmıştır. Karışımlara hava sürüklendiğinde ise, sürüklənen hava sayesinde karışımlarda 300 döngü sonunda %9-22 arasında bir iyileşme sağlandığı tespit edilmiştir (Hazaree, 2007).

Farklı çimento düzeyleri ile elde edilen SSB karışımlarında donma/çözülme direnci açısından geleneksel beton düzeyinde veya daha iyi sonuçlar elde edildiği görülmüştür (Kuzu ve dig., 1990; Liu ve Tatro, 1995).

Kanada ve ABD'de inşa edilen 34 farklı SSB yol kaplamasında yapılan bir incelemede, 20 yıla yakın bir süredir hizmet sağlayan kısımlarda gelişigüzel oluşan enine çatlaklar ve ilk donma/çözülme sezonunda gerçekleşen ince agrega kaybı dışında yapısal bir hasar gözlemlenmemiştir (Piggott, 1999).

Pei-wei ve dig., (2006) tarafından yapılan bir çalışmada, Çin'de bulunan Longtan barajında kullanılan SSB betonunun donma/çözülme direnci ve hava boşluğu özellikleri ASTM C666 yöntemi kullanılarak incelenmiştir. Donma/çözülme

döngülerine tabi tutulmuş numunelerde dayanım ve kütle kayıpları arasında lineer bir korelasyon olduğunu belirlenmiştir. %50 uçucu kül ve %8 HNM (MgO-bearing expansive agent) içeren karışımında su/bağlayıcı oranı 0,48'den ve açıklık faktörü 0,4 mm'den düşükse, D₃₀₀ değerinin üzerinde bir durabilite faktörünün elde edilebileceği bildirilmiştir.

SSB karışımlarında geçirimlilik ve donma/çözülme direncinin araştırıldığı bir çalışmaya göre, çimentonun uçucu kül ile belirli oranlarda ikame edilmesi ile hazırlanan karışımlarda, ilk 90 güne kadar artan uçucu kül içeriği ile durabilite özellikleri olumsuz yönde etkilenmiştir. Bunun yerine belirli bir grup agreganın uçucu kül ile ikame edildiği karışımlarda ise, numunelerin durabilite performansının olumlu yönde geliştiği tespit edilmiştir (Mardani-Aghabaglou ve dig., 2013).

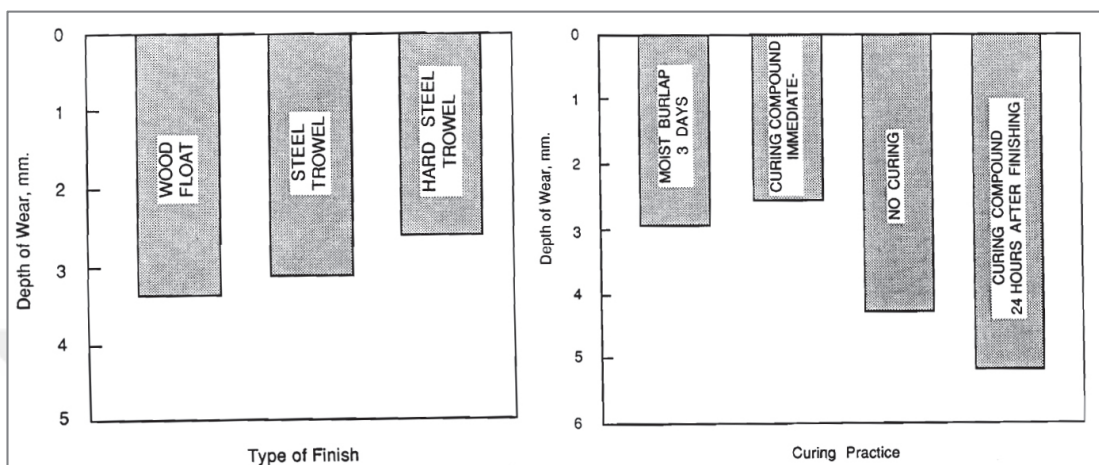
1.1.5. Aşınma direnci

Beton yüzeylerin aşınması çeşitli biçimlerde olabilir. Çoğunlukla zayıf tasarım detaylarından kaynaklanan kavitasyon, yüksek hızlarda akan sıvılardaki düşük basınç kabarcıklarının ani oluşumu ve çökelmesinden kaynaklanmaktadır (ACI, 2016). Erozyon, başka bir aşınma şekli olup, sıvılar tarafından taşınan aşındırıcı malzemelerin hareketinden kaynaklanmaktadır ve genellikle baraj, dolusavak, boru ve tünelerde meydana gelir. Beton kaplamalar ya da endüstriyel zeminlerde ise tekerlek direnci ile kaplama arasında sürtünme, sıyrılma, kayma veya nesnelerin beton yüzeylerde hareketlenmesi sonucu oluşan üçüncü bir aşınma türü gerçekleşir.

Deney yöntemleri aynı parti numuneleri üzerinde gerçekleştirilse bile, test sonuçları her durum için oldukça farklı olabilmektedir. Bu yüzden, ağırlık ve hacim kaybı, görsel muayene veya penetrasyon derinliği gibi kıstaslara bağlı olarak göreli aşınma mertebelerinin tespit edilmesi yeterli kabul edilir. Betonun aşınma direncini etkileyen başlıca faktörler, basınç dayanımı, agrega özellikleri, yüzey bitirme, kür ve yüzey sertleştiricilerinin kullanılması şeklinde sıralanabilir (Kettle ve Sadegzadeh, 1987).

Bir çalışmada, aynı partiden üretilmiş beton karışımlarda aşınma direnci üzerinde son bitirme işlemi ve kür uygulamalarının göreli etkisi incelemiştir. Son bitirme işlemlerinde ahşap mala, çelik mala ve sert çelik mala kullanılmıştır. Kürleme tekniği olarak da, üç gün süreyle nemli çuval uygulaması, yüzey bittikten hemen sonra

uygulanan kür kimyasalı, kürleme yapılmaması ve kür kimyasalının gecikmeli olarak uygulanması olacak şekilde seçilmiştir. Şekil 1.10'da görüldüğü gibi, farklı son bitirme işlemi ve farklı kür uygulamalarında betonun aşınma direncinin göreceli olarak değişebildiği tespit edilmiştir (Fentress, 1973).



Şekil 1.10. Son bitirme ve kür yönteminin aşınma direncine etkisi (Fentress, 1973)

Karışım içeriğindeki agreganın aşınma direnci, betonun aşınma direncinin belirlenmesinde bir başka önemli faktördür. Örneğin bazalt, kireç taşından daha serttir ve bu nedenle aşınmaya karşı daha dayanıklıdır. Betonun aşırı aşınmaya maruz kalması muhtemel durumlarda, üst katmanda sert agrega kullanılması betonun ömrünü büyük ölçüde uzatacaktır (ACI, 2016). Doğru zamanda ve teknikte yapılan yüzey bitirme işlemi ve kür uygulaması, betonun aşınma direncini önemli ölçüde arttırmır. En iyi sonuçlar, terleme suyunun yüzeye çıkması ve betonun yeterince sertleştiği zaman elde edilir. Betonun yeterli bir şekilde kürlenmesi, bitirme işlemi tamamlandıktan hemen sonra başlanmalı ve en az yedi gün boyunca devam ettirilmelidir (Kettle ve Sadegzadeh, 1987).

1.2. Geri Dönüşümlü Agrega Kullanımı

İnşaat yıkıntıları sonucunda ortaya çıkan RCA ve asfaltın yerinden kazınmasıyla ortaya çıkan RAP, SSB karışımıları içeriğinde birçok araştırmaya konu olmuştur;

RCA ve RAP içerikli karışımının temel tabakalarında kullanıldığı bir çalışmada, RCA içerikli karışımın daha düşük kalıcı deformasyon sergilediği çevrimisel üç eksenli

yorulma testleri sonucunda kurulan deformasyon modeli ile gösterilmiştir (Bennert ve diğ., 2000).

RCA içerikli karışımların temel tabakalarında kullanıldığı bir çalışmada, Elastisite Modülü'nün kompaksiyon enerjisi ve kür periyodu ile ilişkisi incelenmiştir. Belli bir düzeyden sonra uygulanan ekstra sıkıştırma enerjisinin dayanım özelliklerini geliştirse bile, elastik şekil değiştirmeler üzerinde olumsuz etkilere yol açabileceği tespit edilmiştir (Xuan ve diğ., 2012).

İspanya'da saha üzerinde gerçekleştirilen bir SSB granüler temel uygulamasında, çimento bağlayıcı kullanılarak elde edilen RCA içerikli karışımın, doğal agregat ile elde edilen karışımlar ile benzer mekanik sonuçlar verdiği belirtilmiştir (Perez ve diğ., 2013).

Farklı atık malzemelerin (RAP, RCA, tuğla kırığı, cam parçacıkları, atık kaya kütleleri) SSB granüler temel ve SSB alttemel karışımları içeriğinde belirli oranlarda kullanıldığı bir çalışmada karışımın sıkıştırılabilirlik özellikleri incelenmiştir. RCA, tuğla kırığı ve atık kaya kütlelerinin kullanıldığı temel ve alttemel tabakalarında gerekli kesme mukavemetinin sağlandığı belirtilmiştir (Arulrajah ve diğ., 2014).

RCA'nın maksimum dane çapının mekanik özellikler üzerinde etkisinin incelendiği bir SSB granüler temel çalışmasında, 0-8 mm boyutundaki karışımın 0-40 mm boyutundaki karışımlara nazaran daha iyi dayanım ve dayanıklılık performansı sergilediği tespit edilmiştir (Del Rey ve diğ., 2015).

RCA kullanımın kaba agregat yerine %50 ve %100 olarak kullanıldığı bir SSB çalışmasında, çimento dozajı ve trafik yoğunluğuna göre uygun optimizasyonlarda yol tabanında temel tabakası olarak kullanılabileceği saptanmıştır (Lopez-Uceda, 2016).

RAP içerikli SSB karışımının sıkıştırılabilirlik özelliklerinin doğal agregat ile hazırlanan SSB karışımlarla benzer olduğunun bildirildiği bir çalışmada, dayanım özelliklerindeki azalma nedeniyle RAP içerikli karışımın sadece SSB temel tabakalarında kullanılabilmesinin mümkün olabileceği belirtilmiştir (Courard ve diğ., 2010).

Bir çalışmada, farklı oranlarda RAP ve çelik lif kullanımıyla elde edilen SSB karışımlarında, lif içeriğinin artmasıyla tekrarlı yükler altında enerji yutma kapasitesinin

iyileştiğini gösteren viskoelastik bir kırılma modeli geliştirilmiştir. Çalışmalarda RAP malzemenin sınırlı oranlarda kullanılması durumunda mekanik özellikler üzerinde ciddi bir azaltıcı etkisinin olmadığı görülmüştür (Bilodeau ve dig., 2011; Bilodeau ve dig., 2012).

RAP içerikli SSB karışımı üzerinde yürütülen mikroskopik bir incelemede, RAP ile çimento hamuru arasında bulunan ince asfalt filminin, dayanım ve Elastisite Modülü üzerinde azaltıcı bir etkisinin olduğu bildirilmiştir (Sachet ve dig., 2013).

SSB içeriğinde %50 oranında RAP kullanılması durumunda, topluk ve enerji yutma kapasitelerinde ciddi oranlarda azalma meydana geldiği için, karışım içeriğinde bu oranlara yakın değerlerde RAP kullanılması durumunda, kaplamanın sadece temel veya alttemel düzeyinde kullanılabileceği belirtilmiştir (Sachet ve dig., 2011).

Hızlandırılmış test yöntemlerinin kullanıldığı bir proje çalışmasında, lif ve RAP içerikli SSB karışımının yorulmaya dayalı performansları gözlenmiş, ideal karışım optimizasyonundan sonra yol kaplama kalınlıklarının hesaplanabileceği bir dizayn kataloğu geliştirilmiştir (Nguyen ve dig., 2012).

İçeriğinde pirinç kabuğu külü ve RAP bulunan SSB karışımında, %3 oranında pirinç kabuğu külü kullanımının poroziteyi düşürdüğü ve 120 gün sonundaki yorulma direncini önemli ölçüde iyileştirdiği bildirilmiştir (Modarres ve Hosseini, 2014).

SSB karışımında mekanik özelliklerin ve durabilite performanslarının belirlendiği bir çalışmada, RAP içerikli SSB karışım içeriğinde %50 düzeyine kadar RAP kullanılmasının uygun olabileceği belirtilmiştir (Settari ve dig., 2015).

%16 RAP katkılı SSB karışımının kırılma özelliklerinin incelendiği bir çalışmada basınç dayanımları farklı olsa da, RAP katkılı örneklerin kırılma enerjisi özelliklerinin benzer olduğu saptanmıştır (Ferrebee ve dig., 2014).

1.3. Karışım Tasarımı

Kaliteli bir SSB karışımı elde edebilmek için, malzeme seçiminin yanı sıra bu malzemelerin doğru oranlarda kullanımı çok önemlidir. Dünya genelinde birçok karışım oranlama metodu başarıyla uygulanmaktadır. Uygulamada bu kadar fazla

yöntemin olması standart bir prosedürün oluşamamasını da beraberinde getirmiştir. Ancak genel itibariyle en yaygın yöntemler aşağıdaki iki yaklaşımın farklı varyasyonları şeklinde grupperlendirilebilir:

Zemin kompaksiyon modeli; kompaksiyon enerjisi kullanılarak karışım tasarımları, optimum su muhtevası ve maksimum kuru birim ağırlık parametreleri ile yapılır.

Kıvam veya işlenebilirlik modeli; su/çimento oranı yaklaşımı ile kıvam sabitlenerek, mutlak hacim yöntemi esaslarında karışım tasarımları yapılır.

Tablo 1.4'de karışım tasarımlında kullanılan yöntemler ve kullanım alanları verilmiştir.

Tablo 1.4. Genel karışım tasarımları yöntemleri ve uygulamaları (ACI, 2011)

YÖNTEM	UYGULAMA SAHASI
Zemin sıkıştırma yöntemi	Yollar (Amerika'da en yaygın yöntem)
Beton kıvamı yöntemi	Hidrolik yapılar (barajlar, dolu savaklar, vb.) ve yollar
Katı süspansiyon modeli	
Optimum çimento hamuru hacim yöntemi	

1.3.1. Beton kıvamı yöntemi

Beton kıvamı yöntemi, agrega, su veya çimento miktarı gibi özel karışım parametrelerinin önceden belirlenmesini gerektirir. Vede kıvam ölçer cihazıyla istenen kıvam seviyesine göre birtakım düzenlemeler yapılmaktadır. Bu yöntem esas olarak baraj yapılarında sıkılıkla kullanılmıştır (ACI, 2011).

1.3.2. Katı süspansiyon modeli

Son yıllarda, SSB karışım tasarımları için daha teorik ve temel bir yaklaşım olan katı süspansiyon modeli geliştirilmiştir. Bu model, karışımın kuru yoğunluğunu optimize etmek amacıyla her bir kuru içeriğin (çimento, uçucu kül, silis dumanı, kum ve iri agrega) karışım içeriğindeki oranını belirlemeyi esas almaktadır. Optimize edilmiş kuru yoğunluğun referans alınmasıyla malzemeler arasındaki boşlukları tümüyle kaplayacak su miktarı hesaplanabilmektedir. Malzeme özelliklerinin bilinmesi durumunda, bilgisayar yazılımları sayesinde karmaşık optimizasyonlar yapılabilmektedir. Katı süspansiyon modelinin en büyük avantajı, çok sayıda deneme

karışımılarına gerek kalmadan optimum karışım oranlarının tekrardan hesaplanabilmesidir.

1.3.3. Optimum çimento hamuru hacim yöntemi

Bu yöntem, büyük beton yapıları için kullanılacak SSB karışımının optimizasyonu için geliştirilmiştir. Tasarım, kompaksiyon altında granüler yapının maksimum yoğunluğa ulaşması için taneler arasındaki boşlukları dolduracak yeteri miktardaki çimento hamurunun tespit edilmesi felsefesine dayanır.

1.3.4. Zemin sıkıştırma yöntemi

Bu oranlama metodu, SSB karışımı için belirli su muhtevalarına sahip numuneler üzerinde maksimum birim ağırlığı elde etmek amacıyla yapılan sıkıştırma proseslerini dolayısıyla da su muhtevası ile yoğunluk arasındaki ilişkiyi içermektedir.

Yöntem, sırasıyla iyi derecelenmiş agreganın seçimi, orta seviyede bir çimento içeriğinin seçimi, su muhtevası-yoğunluk ilişkisi grafiğinin oluşturulması, basınç mukavemetinin ölçülmesi için numunelerin dökülmesi, gerekli çimento miktarının seçimi, karışım oranlarının hesaplanması adımlarından oluşmaktadır.

İlk adım, agreganın gradasyon, segregasyon ve sıkıştırılabilirlik açısından optimize edilmesidir. Agreganın tane boyut dağılımı, maksimum yoğunluktaki dizilime yaklaşmalıdır. Tablo 1.5’de bu şartlar için tavsiye edilen gradasyon limitleri verilmektedir.

Tablo 1.5. Gradasyon limitleri (PCA, 2004)

ELEKLER (mm)		Min (%)	Max (%)
25	1 in.	100,0	100,0
19	3/4 in.	90,0	100,0
12,5	1/2 in.	70,0	90,0
9,5	3/8 in.	60,0	85,0
4,75	No. 4	40,0	60,0
1,18	No. 16	20,0	40,0
0,15	No. 100	6,0	18,0
0,075	No. 200	2,0	8,0

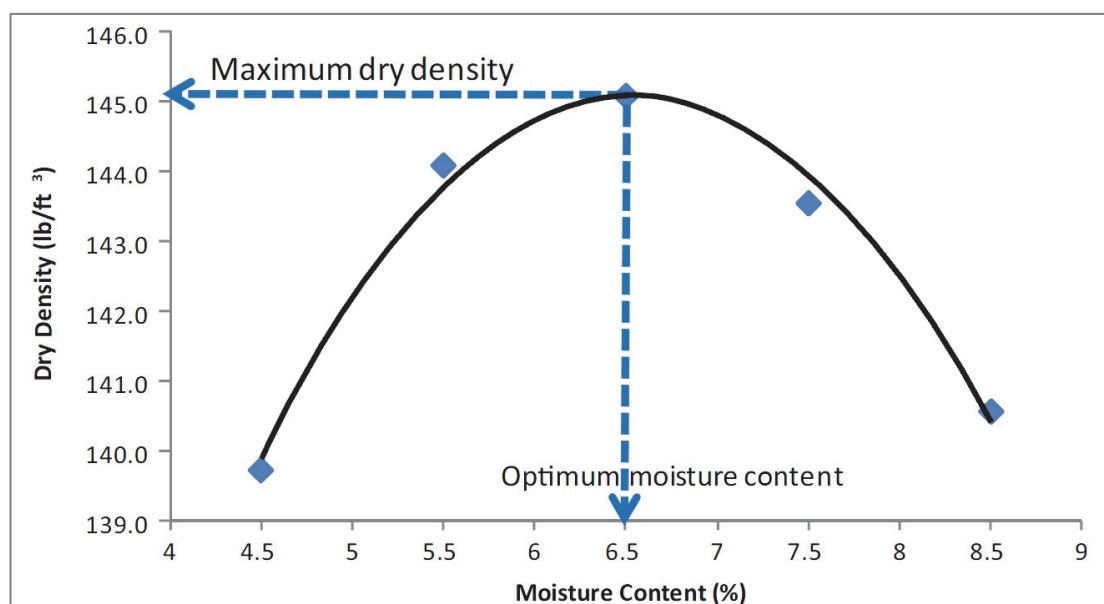
Bağlayıcı malzemenin seçimi proje özelliklerine, ekonomik bekentilere, malzemenin elde edilebilir olup olmadığına bağlıdır. Aşınma tabakası uygulamaları için herhangi bir katkı (uçucu kül, silis dumanı vb.) ilavesi olmadan ağırlıkça %11 ile %13 arası bir çimento düzeyi seçilebilir. Karışım içerisindeki çimento yüzdesi aşağıdaki formülle ifade edilir;

$$\text{Bağlayıcı malzeme (\%)} = \frac{\text{Bağlayıcı malzeme ağırlığı}}{\text{Bağlayıcı malzeme + kuru agregat ağırlığı}} \times 100 \quad (1.1)$$

Her bir çimento düzeyi için kuru birim ağırlık-su muhtevası eğrileri oluşturularak, maksimum kuru birim ağırlık ve optimum su içeriği tespit edilir. Üç farklı bağlayıcı içeriği için en az üç eğrinin çizilmesi gerektiği belirtilmiştir (ACI, 2011). Bu amaçla Proctor sıkıştırma prosedürleri kullanılacağı gibi, sarsma tablası yöntemi de bu ilişkilerin belirlenmesi için kullanılabilmektedir (ASTM D1557, ASTM D698, ASTM C1170 / C1170M). Karışım içeriğindeki su muhtevası şu şekilde ifade edilir;

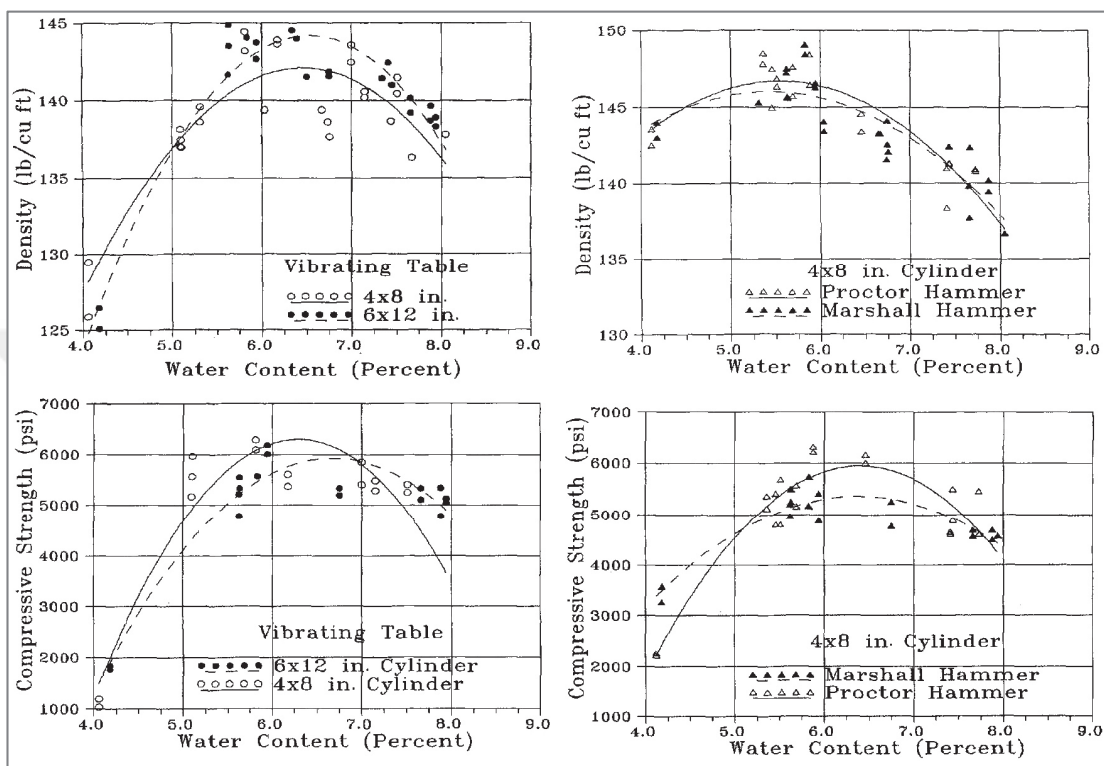
$$\text{Su Muhtevası (\%)} = \frac{\text{Su ağırlığı}}{\text{Bağlayıcı malzeme + kuru agregat ağırlığı}} \times 100 \quad (1.2)$$

Tipik bir kuru birim ağırlık/su içeriği değişimi grafiği Şekil 1.11'de verilmektedir.

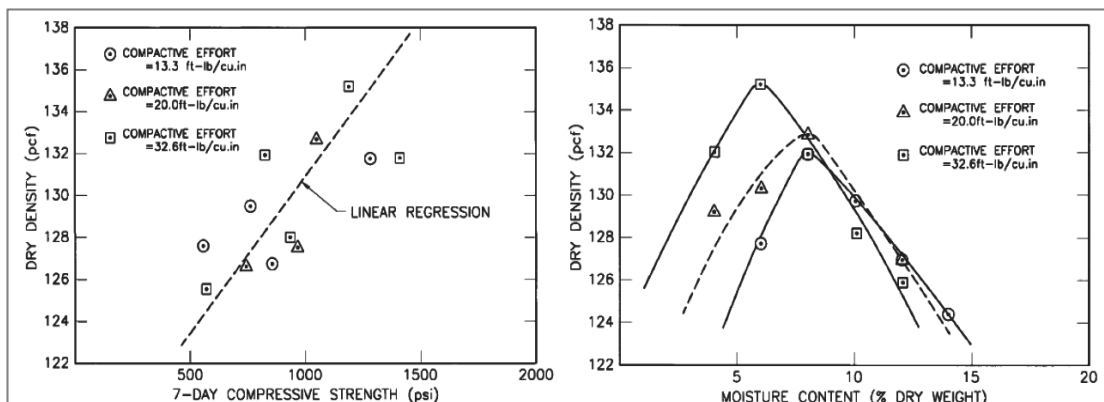


Şekil 1.11. SSB için tipik kuru birim ağırlık su içeriği ilişkisi (ACI, 2011; PCA, 2004; Harrington ve diğ., 2010)

Kompaksiyon enerjisi üzerine sınırlı sayıda yapılan çalışmada, numune boyutlarının sıkıştırma enerjisi ile korelasyonu üzerinde odaklanılmıştır. Şekil 1.12 ve 1.13, bu araştırmaların bazı sonuçlarını göstermektedir (Nanni ve Meamarian, 1993; Reeves ve Yates, 1985).



Şekil 1.12. Kompaksiyon enerjisinin etkileri (Nanni ve Meamarian, 1993)



Şekil 1.13. Kompaksiyon enerjisindeki değişimin etkileri (Reeves ve Yates, 1985)

Laboratuvar denemelerinde elde edilen kuru birim ağırlık daha yüksekse, saha'da elde edilen pratik yoğunlukla karşılaştırıldığında rölatif yoğunluk düşebilir. Dolayısıyla laboratuvara elde edilen maksimum kuru birim ağırlık, saha üzerinde hedeflenen yoğunluğa göre kalibre edilmelidir. Bununla ilgili bir diğer önemli husus, kalıp

cidarlarında sınırlandırmanın nispi miktarıdır. Bu durum, karışımın kıvamına ve numune boyutuna bağlı olarak yoğunlukları önemli miktarda değiştirebilir (Reeves ve Yates, 1985).

Optimum su muhtevası belirlenen karışımlarda basınç dayanımının belirlenmesi amacıyla, titreşimli tokmak veya sarsma tablası yardımıyla numuneler üretilir (ASTM C1435, ASTM C1170). Diğer taraftan su muhtevası değeri, deneylerde kullanılan çimento içeriğinin değişimi ile çok fazla değişmiyorsa, optimum su muhtevası enterpolasyon ile belirlenebilir. Optimum su muhtevası ve çimento içeriğinin nihai seçiminden sonra, güvenlik katsayıları kullanılarak proje için karışım oranları hesaplanabilir. Amerika ve Kanada'da uygulanmış SSB projelerindeki beton karışım oranları ve mühendislik özelliklerinden birkaçı Tablo 1.6'da verilmiştir.

Tablo 1.6. SSB karışım tasarımları için birkaç örnek (Harrington ve diğ., 2010)

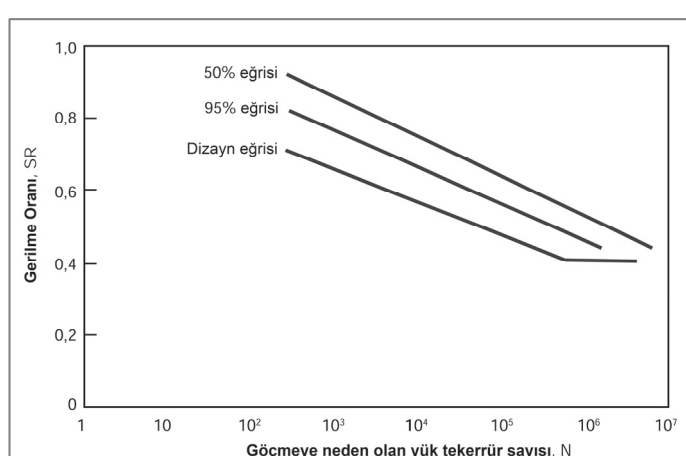
MALZEME VE KARIŞIM ÖZELLİKLERİ		BİRİMİ	Takoma Limanı	CTL Karışım	Chattanooga	Brownsville	Güney Karolina	Atlanta	Kanada
Bağlayıcılar	Çimento	(kg/m ³)	267	300	178	300	263	300	300
	Uçucu Kül	(kg/m ³)	59	0	89	0	0	0	0
Agregalar	Max. Agrega Dane Boyutu	(mm)	16	19	19	19	25	13	19
	İri Agrega	(kg/m ³)	1008	817	1251	763	1043	978	1255
	İnce Agrega	(kg/m ³)	1008	1249	983	1045	983	978	800
	İnce Malzeme (<75 µm)	(%)	3-7	2	3,6	2	-	-	-
Su	Su	(kg/m ³)	152	125	113	140	128	158	95
Kimyasal Katkılar	Su Azaltıcı / Priz Geciktirici	(kg)	-	-	0,504	-	-	0	1,148
	Hava Sürükleyici	(kg)	-	-	0	-	-	0	1,148
Karışım Parametresi	Yaş Yoğunluk	(kg/m ³)	2472	2435	-	2358	-	2408	2513
	Su/Çimento	-	0,47	0,42	0,42	0,47	0,49	0,53	0,32
	Agrega/Çimento (Ağırlık)	-	6,18	6,91	8,37	6,05	7,70	6,60	6,93
	İnce / Toplam Agrega	(%)	50,0	60,5	44,0	57,8	48,5	50,0	38,9
Dayanım	Basınç (MPa)	3 gün	12,7	-	-	21,3	25,0	27,1	-
		7 gün	-	38,2	35,6	-	-	-	-
		28 gün	42,4	55,3	42,7	34,6	36,5	36,1	58,6
	Eğilme (MPa)	3 gün	3,7	-	-	3,5	-	-	-
		7 gün	-	4,8	4,3	-	-	-	-
		28 gün	5,4	6,3	4,9	4,5	-	-	-
	Eğilme/Basınç Oranı, 28 Günlük	(%)	12,7	11,4	11,5	12,9	-	-	-

1.4. Yapısal Tasarım

SSB yollar, mühendislik özellikleri bakımından geleneksel beton yollara benzediğinden, kaplama kalınlığı hesaplanmalarında geleneksel beton kaplamalarda kullanılan yöntemler kullanılmaktadır. İki karışım arasındaki en büyük farklılık, SSB karışımıları daha az su ve çimento içeriğine sahip olduğu için, rötre mertebeleri daha düşüktür. Tasarım yöntemleri, esas olarak tekerlek yükleri nedeniyle meydana gelecek eğilme gerilmeleri ve kalıcı hasarların izin verilen sınırlar içerisinde olması esasına dayanmaktadır. Kaplama kalınlığı, dingil yükü, betonun eğilme dayanımı ve zemin özelliğinin bir fonksiyondur. Dolayısıyla tasarım yaklaşımı kaplamaların belirli bir büyülükte ve periyotta tekrarlanan yükleri, göçme olmadan taşıyabileceği esasına dayanmaktadır. Ağır endüstriyel uygulamalardaki kaplamalar için kalınlık tasarım yöntemleri, çoğunlukla PCA (Portland Cement Association) ve USACE (The United States Army Corps of Engineers) tarafından geliştirilmiştir. Yorulma ilişkisini tanımlamak için kullanılan gerilme oranı, kritik eğilme gerilmelerinin, malzeme eğilme dayanımına oranı şeklinde ifade edilmektedir;

$$\text{Gerilme Oranı} = \frac{\text{Uygulanan kritik eğilme gerilmesi}}{\text{Betonun eğilme mukavemeti}} \quad (1.3)$$

Buradaki eğilme mukavemeti, betonun 3 nokta yükleme deneyine tabi tutularak elde edilen eğilme dayanımını ifade etmektedir (ASTM C78, AASHTO T97, CAN/CSA-A23.2-8C-14). Şekil 1.14'de, 4 farklı SSB kaplama gövdesinden alınan kiriş numuneler üzerinde yapılan örnek bir yorulma testi grafiği görülmektedir.



Şekil 1.14. Yük tekerrür sayısı ile yorulma ilişkisi
(PCA, 1987)

Kaplama tasarımları, ACI (American Concrete Institute), PCA ve USACE tablolarından yapılacak gibi, WinPAS, Street-Pave, SSB-PAVE gibi yazılımlar yardımıyla da yapılabilmektedir. Tasarım programları kullanılırken programa önceden tanımlanmış yük transfer sınırlayıcılarının bilinmesi önem taşır. Tekerlek yükü nedeniyle meydana gelen gerilme, şekil değiştirme ve yorulma kaplamanın kenar ve birleşim noktalarında, kaplamanın iç bölgelerine göre daha fazladır (PCA, 1987). Bu nedenle birleşim performansı (etkili bir şekilde transfer edilen yükün yüzdesi) beton kaplamanın yorulma ömründe önemli bir rol oynar. Kenar bölgelerinde oluşan gerilmeleri azaltmak amacıyla, yükün kenarlardan taşıdığı varsayıma dayanarak, kaplama kalınlığı artırılır. Kaplama birleşim noktalarındaki gerilmeleri azaltmak için ise, yük transferinin etkili bir şekilde gerçekleşmesi amacıyla yeterli agrega kenetlenmesinin olması gerektiği bildirilmiştir (PCA, 1987).

1.5. Üretim

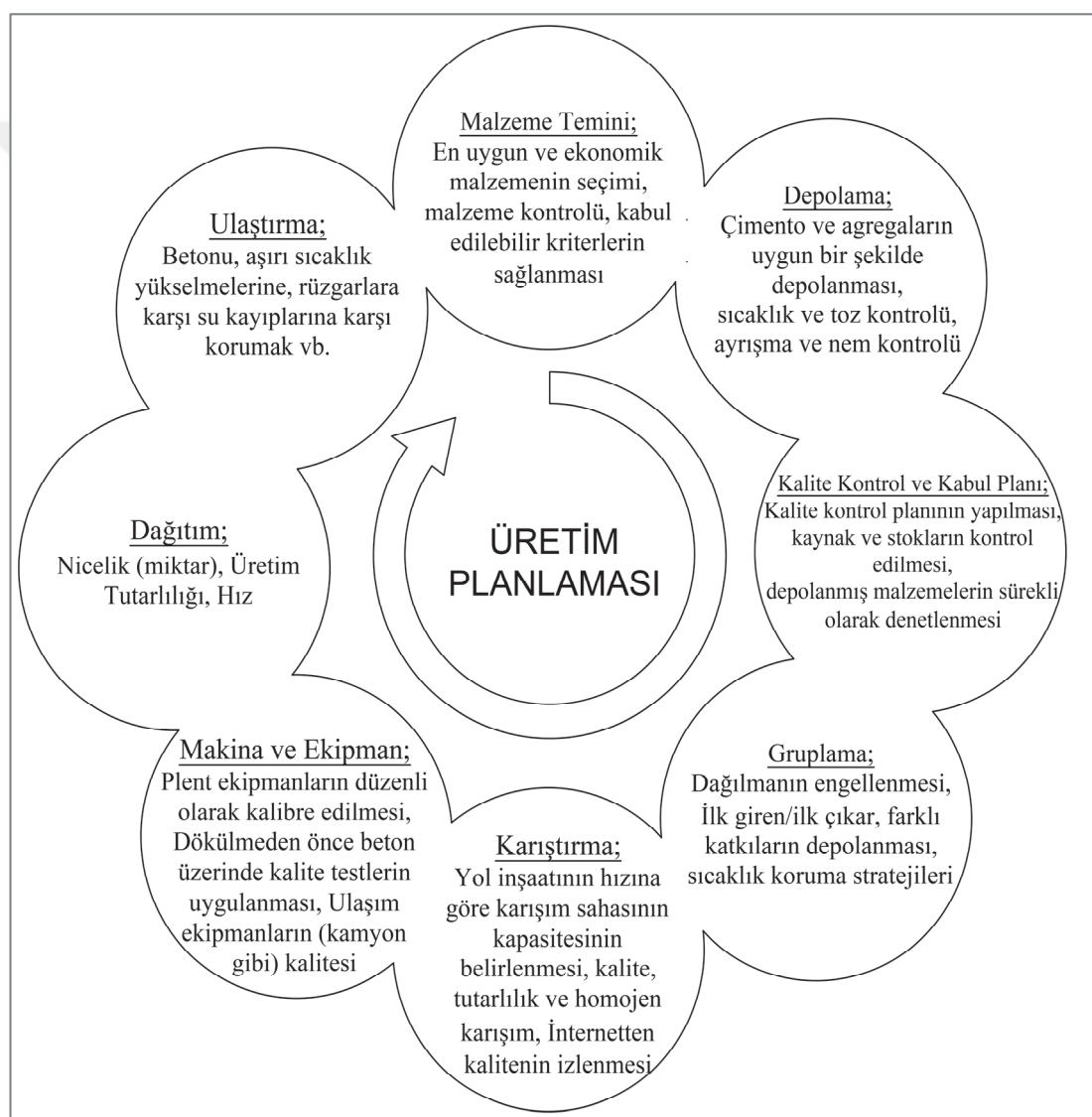
SSB üretimi, malzeme seçimi ve depolanması, kaynakların doğrulanması, malzemelerin karıştırılması, harmanlanması ve denetlenmesi, üretim planlaması, taşınması ve kalite kontrol gibi süreçleri kapsar. Karışım, merkezi harmanlama plentleri (ikiz şaft mikseri veya pan-mikser), kuru harmanlama plentleri, devamlı dönen mikserler (harç mikseri ve yatay shaft mikseri) ve tambur tipi mikserlerden üretilebilir. Üretimin sürdürülebilir bir şekilde sağlanabilmesi için bir planlamaya ve kalite eylem planına ihtiyaç vardır. Örnek bir kalite kontrol eylem planlı Tablo 1.7'de ve üretim planlaması Şekil 1.15'te verilmektedir. SSB yollar için, literatürde üretim süreçlerinde homojenliği (uniformluluk) test eden bir prosedür bulunmamaktadır. Ancak SSB teknolojisi kullanılarak inşa edilen dolu savak ve set tahlimat işlerinde homojenlik testlerinin yapılmasının zorunlu olduğu belirtilmiştir (PCA, 2000). Tavsiye edilen bu homojenlik testleri Tablo 1.8'de verilmektedir.

Tablo 1.7. Kalite kontrol eylem planı örneği (Harrington ve dig., 2010)

MALZEME	ÖZELLİK	STANDART	SIKLIK
Su	Kalite	ASTM C 1602	İmalattan önce veya istenildiğinde
		CSA A23.1	
Çimento	Fiziksel ve Kimyasal Özellikleri	ASTM C 150 veya dengi	Üreticinin onayı ile veya ön yeterlilik
		ASTM C 1595	
		ASTM C1157	
		CSA A3000	

Tablo 1.7. (Devam) Kalite kontrol eylem planı örneği (Harrington ve dig., 2010)

MALZEME	ÖZELLİK	STANDART	SIKLIK
Puzzolan	Fiziksel ve Kimyasal Özellikleri	ASTM C618 veya dengi	Üreticinin onayı ile veya ön yeterlilik
		CSA A3000	
Katkılar	Kimyasal içerikler	ASTM C494	Üreticinin onayı
		ASTM C260	
		CSA A23.1	
Agregalar	Kalite	ASTM C33	Proje başlangıcında haftalık veya aylık
		ASTM A23.1	



Şekil 1.15. SSB üretimi için tasarlanmış bir planlama (Harrington ve dig., 2010)

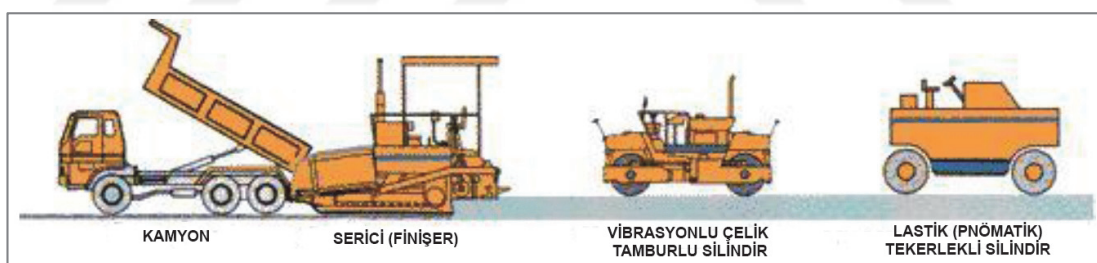
Tablo 1.8. SSB için önerilen homojenlik testleri (PCA, 2000)

Test	Max. Fark [*] (%)	Standart
Karışimdaki toplam su içeriği (ağırlıkça)	15	ASTM D 2216
Karışimdaki iri agregat (No.4 elek üstü) içeriği	15	ASTM C 94
Hava boşluğu içermeyen harçın birim hacim ağırlığı	2	ASTM C 94
Karışımın hava içeriği	100	ASTM C 231
Taze beton birim hacim ağırlığı	2	ASTM C 1170
7 günlük basınç dayanımı	25	ASTM C 39
Vebe süresi	15	ASTM C 1170

^{*}Max. Fark (%) = 100 x (max. değer - min. değer) / (3 testin ortalaması)

1.6. Serme

SSB, genellikle bir asfalt serici ile serilir, bazen de serici boyunca hareket eden nispeten büyük miktardaki malzemeyi yerleştirebilmesi için modifiye edilmiş başka sericiler kullanılır. Tipik bir SSB yol inşaatında kullanılan iş makinaları Şekil 1.16'da verilmiştir.



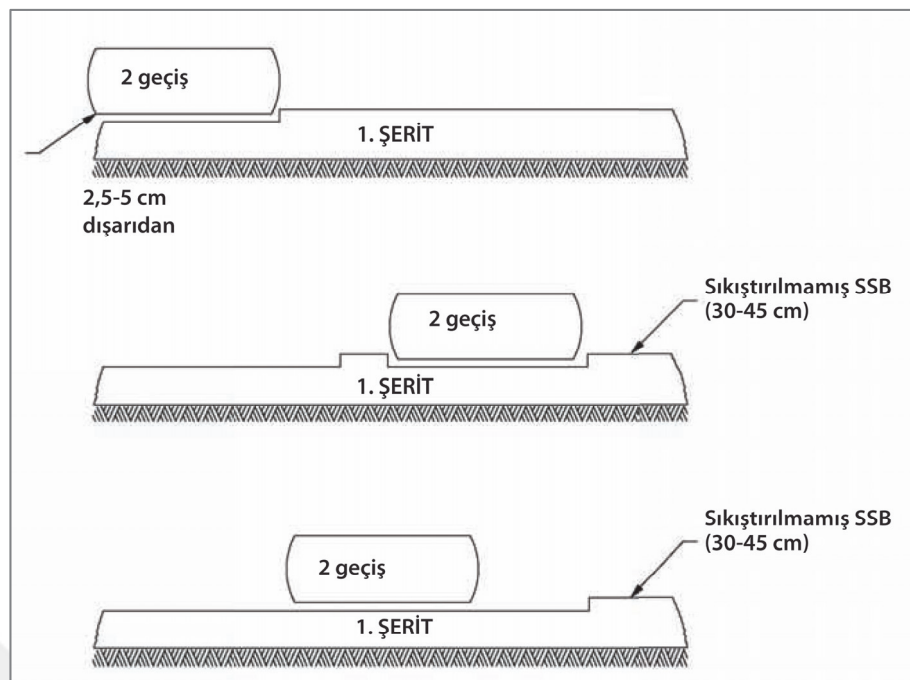
Şekil 1.16. Serme ve sıkıştırma işlerinde kullanılan iş makinaları

Büyük hacimli kaplama imalatlarında serici üzerindeki besleme haznesi, beton döküm mastarı arasındaki bölümler ve mastar önündeki helezonların döşeme hattı genişliği boyunca düzgün bir serim yapabilmesi için büyütülmesi gibi birtakım değişiklikler yapılmaktadır. Serici sayesinde kompaksiyon başlamadan önce döşeme genişliği boyunca ıslak yoğunluğun en az % 80'i mertebesinde sıkışma sağlanmış olur. Ondülsiyon riskini azaltmak amacıyla, mikserlerin üretim kapasitesinin en az 1,5 katı kadar serme kapasitesine sahip sericiler kullanılmalıdır. Yerleştirme boyunca segregasyonu önlemek amacıyla serici haznesi asla tamamen boşaltılmamalı, hazne tarafı asla yükseltilmemeli ve malzeme helezonların üzerini tamamen kaplayacak

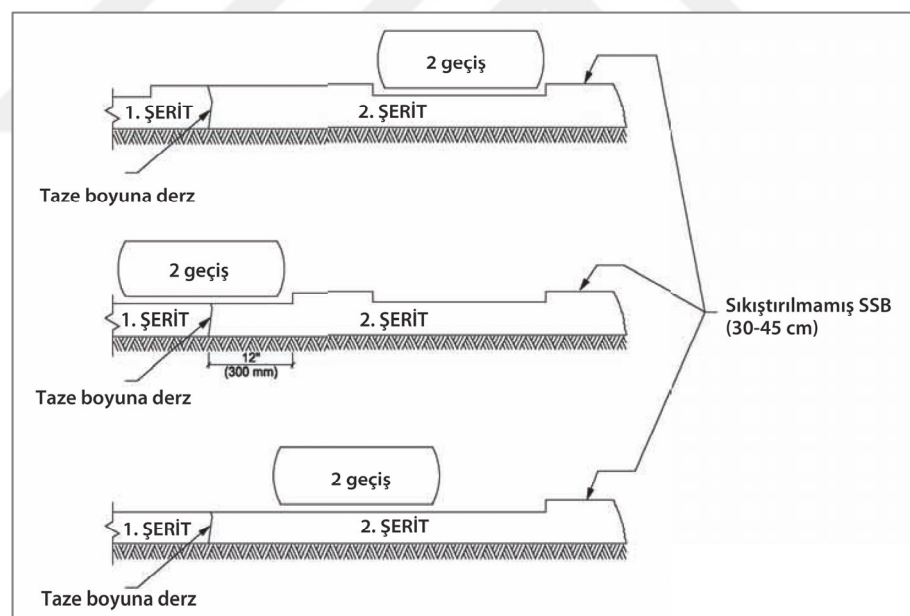
şekilde serim yapılmalıdır. Yerleştirme işlemi sırasında yüzey düzgünlüğü ve tabakanın gerekli kalınlığı mutlaka sağlanmalıdır. Kaplama kalınlığı otomatik olarak ayarlanabilen gergi sistemleri ve multi-plex seviye kontrol cihazlarıyla serim esnasında sürekli kontrol edilmelidir. Geleneksel asfalt sericiler ile tek seferde sıkışmış halde en fazla 15 cm kalınlığındaki kaplamaların serilmesi tavsiye edilmektedir (Harrington ve dig., 2010). Yüksek yoğunluklu asfalt serme makinaları, 25 cm kalınlığına kadar olan kaplamalar için başarıyla kullanılabilir (Harrington ve dig., 2010). Eğer birden fazla tabaka teşkil edilecekse, iki tabaka arasında yeterli bir bağ dayanımının gelişebilmesi için, ilk tabaka ile takip eden tabaka arasında 1 saatten fazla zaman geçmemesi gerekmektedir. Daha yüksek bağ dayanımlarının gerekli olduğu durumlarda ise iki tabaka arasında yüksek çökme değerlerine haiz harç veya sulu çimento harcı kullanılabilir. Serim işlemi ile serilen hattın sıkıştırılması arasındaki zaman farkı kaplamada yeterli yoğunluğun ve pürüzsüzlüğün elde edilmesi bakımından önemlidir. Çok tabakalı kaplamalarda, kaplama yüzeyinin yanı sıra her bir tabakanın kenarı, bir sonraki tabakayla kaplanıncaya ya da kür işlemi tamamlanıncaya kadar nemli tutulmalıdır.

1.7. Sıkıştırma

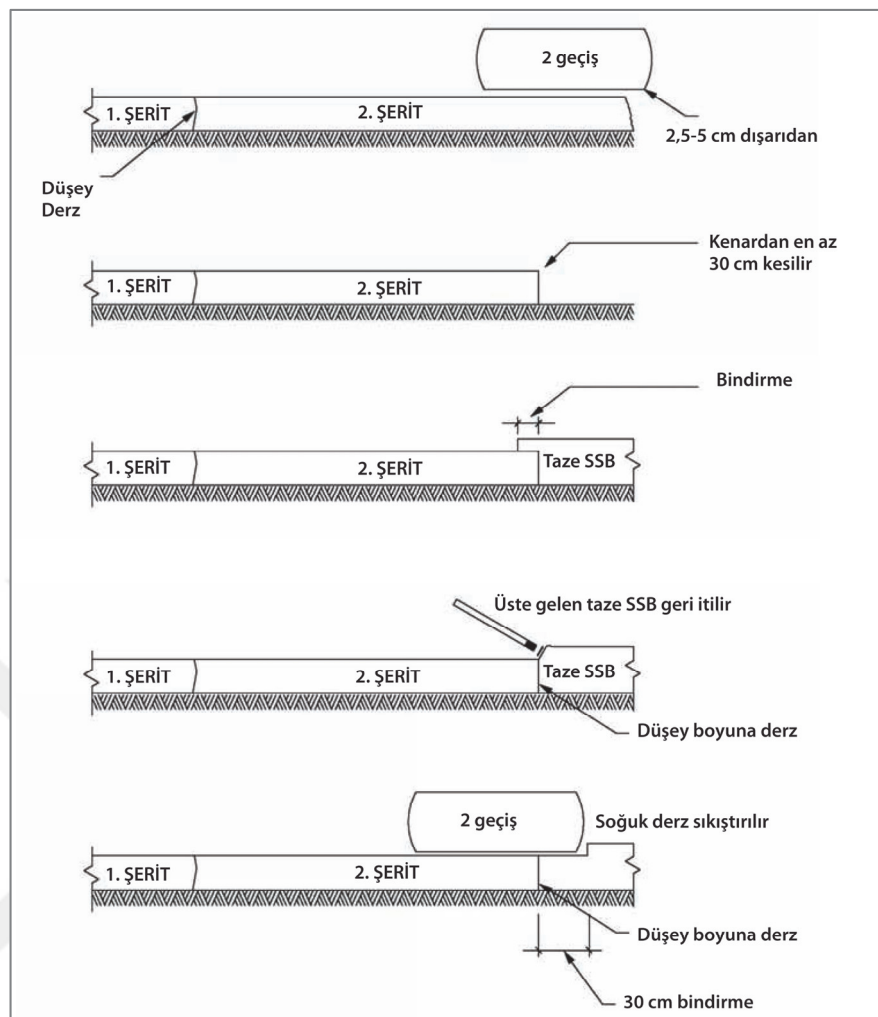
Sıkıştırmada çalışma ağırlığı en az 11 ton, statik çizgisel yükü 30 kg/cm'den büyük, iki frekanslı vibrasyon sistemli düz çelik bandajlı silindirler ve/veya lastik başına düşen yükü, en az 3,5 ton olan lastik tekerlekli sıkıştırıcılar kullanılır. Kullanılan malzeme ve çevresel faktörlere bağlı olarak serilen tabaka kalınlığına uygun olan sıkıştırma tekniği ve uygun pas sayısı, imalat başlangıcında bir deneme kesimi yapılarak belirlenmelidir. Sıkıştırma yol eksene paralel olarak yapılır ve düşük kotlu kenardan başlayarak eksene doğru kayan bir şablonu takip eder. Yatay kurplarda kurbun içinden başlanır ve kurbun dışına doğru devam edilir. Her geçişte bir önceki geçişte sıkıştırılan kısma silindir tambur genişliğinin %10'u kadar bindirme yapılır. Şekil 1.17-19'de örnek sıkıştırma şablonları verilmiştir.



Şekil 1.17. 1. şeridi sıkıştırmak için sıkıştırma şablonu (Harrington ve
diğ., 2010)

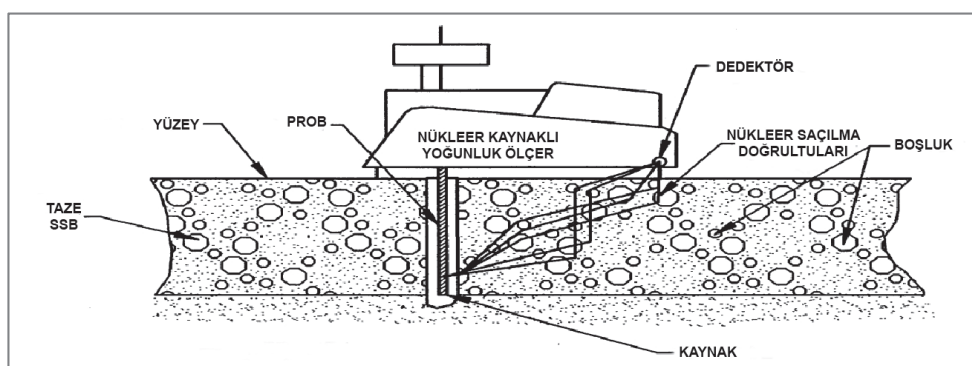


Şekil 1.18. 2. şeridi sıkıştırmak için sıkıştırma şablonu (Harrington ve
diğ., 2010)



Şekil 1.19. Son bitirme için sıkıştırma şablonu (Harrington ve diğ., 2010)

Kompaksiyon işlemlerinin akabinde kaplamada yeterli yoğunluğun sağlanıp sağlanmadığının kontrolü amacıyla nükleer yoğunluklu test cihazları kullanılmaktadır (Şekil 1.20). Laboratuvara elde edilen yoğunluğun %98 düzeyi ve yukarısı için rölatif sıkışma seviyesinin yeterli olduğu kabul edilmektedir (Harrington ve diğ., 2010).

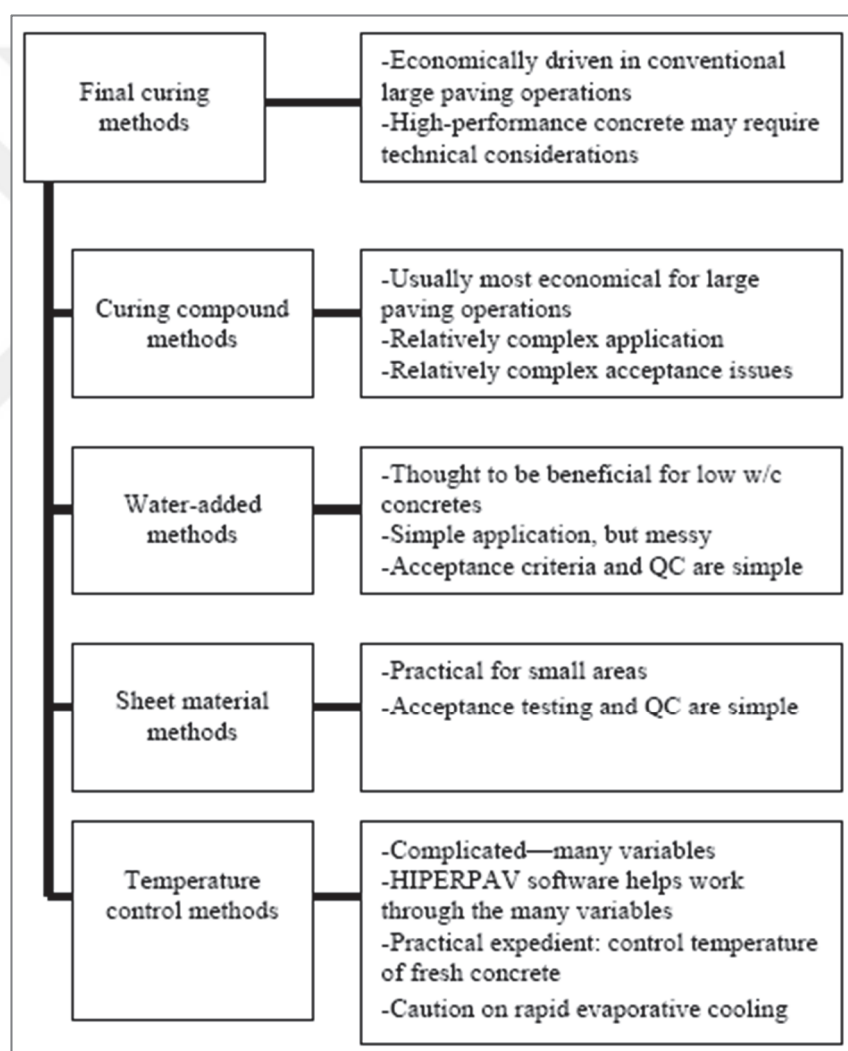


Şekil 1.20. Nükleer kaynaklı yoğunlukölçer cihazı (ACI, 2011)

1.8. Derz Kesimi ve Kür

SSB'nin rötreye karşı duyarlılığı geleneksel betonlara göre daha az olduğundan genellikle daha uzun mesafelerde derz kesimi tavsiye edilmektedir. Bakım ve kür uygulamaları ise geleneksel beton yollarda uygulanan süreçlerle benzerdir (PCA, 2004).

Kürleme yöntemleri, kimyasal püskürtme, su ile kürleme ve su tutucu yöntemler olmak üzere üç tipte sınıflandırılabilir. Poole (2005)'e göre tavsiye edilen kürleme yöntemleri Şekil 1.21'de gösterilmektedir.



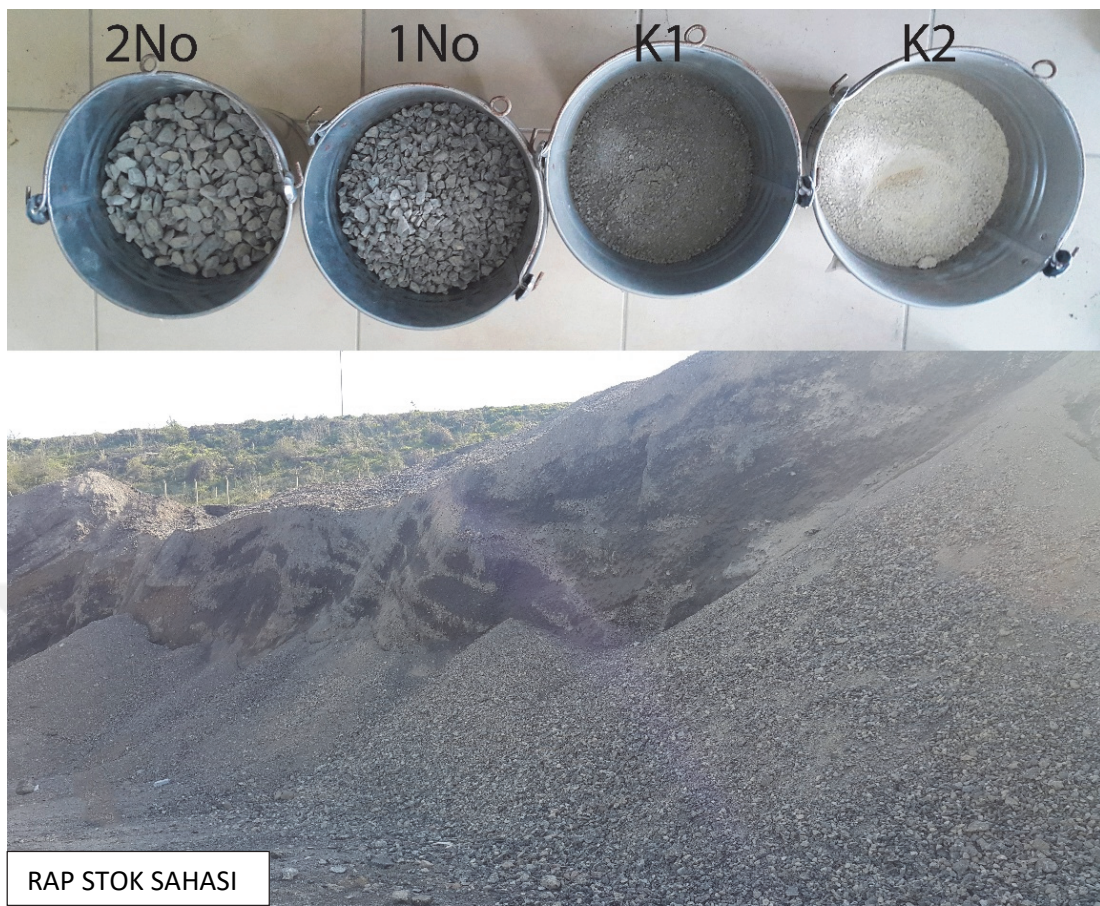
Şekil 1.21. Beton yollar için önerilen kür yöntemleri (Poole, 2005)

2. DENEYSEL ÇALIŞMA

Bu bölümde Kocaeli ili sınırları içerisinde ilk defa uygulaması yapılacak olan SSB test yolu için Laboratuvar ortamında bir karışım tasarımları yapılması hedeflenmiştir. Elde edilen karışım tasarımlına göre, SSB test yolu yapılması ve tahrifatlı yöntemlerle yol gövdesinden numuneler alınarak test sonuçlarının laboratuvara üretilenler ile kıyaslanması amaçlanmıştır.

2.1. Malzeme

Çalışma kapsamında birinci aşamada, agrega, RAP ve çimento temini konusunda bir dizi araştırma yapılmıştır. Kocaeli bölgesinde birçok geleneksel beton yol projesinde kullanılan Gölcük-Halidere mevki Aselmaslar taş ocağı (2No, 1No, K1) ile Bilecik-Osmaneli mevki Demirtaş taş ocağı (K2) agregalarının kolay ve hızlı bir şekilde temin edilebilmeleri nedeniyle SSB karışımında da kullanımının uygun olabileceği karar verilmiştir. RAP malzemesi Kocaeli Büyükşehir Belediyesi (KBB) Solaklar Asfalt Şantiyesi stok sahasından 19–4,75 mm elekler arasından elenerek temin edilmiştir (Şekil 2.1). Agregalara ve RAP malzemeye ait özgül ağırlık ve su emme deneyleri EN 1097-6'ya uygun yapılarak Tablo 2.1'de, iri agregaya ait fiziksel özellikler Tablo 2.2'de, tane boyut dağılımları da AASHTO T27'e uygun tespit edilerek Tablo 2.3'de verilmiştir. Bağlayıcı olarak Nuh Çimento'dan temin edilen EN 197-1'e uygun CEM I 42,5 R tipi çimento kullanılmıştır. Çimentoya ait kimyasal, fiziksel ve mekanik özellikler üretici tarafından sağlanmış olup Tablo 2.4'te verilmiştir.



Şekil 2.1. Karışım tasarımında kullanılan agrega grupları ve RAP stok sahası

Tablo 2.1. Agrega ve RAP'e ait fiziksel özellikler

Kodu	Tipi	Boyutu (mm)	Temin Edildiği Yer	Özgül Ağırlık (g/cm ³)	Su emme (%)	Gevşek Birim Ağırlık (kg/m ³)
2No	Kırmataş	9,5-25	Aselmaslar Taş Ocağı	2,72	0,8	1421
1No	Kırmataş	4,75-19	Aselmaslar Taş Ocağı	2,70	0,8	1445
K1	Kırmakum	0-4,75	Aselmaslar Taş Ocağı	2,63	1,1	1614
K2	Kırmakum	0-4,75	Demirtaş Taş Ocağı	2,65	1,2	1689
RAP	Geri Dönüşüm	4,75-19	KBB Solaklar Asfalt Şantiyesi	2,53	0,5	1323

Tablo 2.2. İri agregaya ait diğer fiziksel özellikler

DENEY	SONUÇ	STANDART
Cılalanma Değeri (%)	58,6	EN 1097-8
Hava Tesirlerine Karşı Dayanıklılık, ($MgSO_4$ ile kayıp) (%)	1,0	EN 1367-2
Los Angeles Aşınma Kaybı (%)	10,0	EN 1097-2
Yassılık İndeksi, (%)	8,0	BS 812-105
Metilen Mavisi Deneyi (%)	1,0	EN 933-9

Tablo 2.3. Agrega ve RAP'e ait yüzde geçen değerleri

Elek Açıklığı (mm)	2No	1No	K1	K2	RAP
25	1in.	100,0	100,0	100,0	100,0
19	3/4in.	87,4	100,0	100,0	100,0
12,5	1/2in.	20,4	91,9	100,0	100,0
9,5	3/8in.	8,2	68,3	100,0	100,0
4,75	No. 4	1,4	0,9	99,7	99,5
1,18	No. 16	0,0	0,0	54,0	49,8
0,15	No. 100	0,0	0,0	22,0	16,3
0,075	No. 200	0,0	0,0	18,0	12,7
					0,3

Tablo 2.4. Çimento fiziksel ve kimyasal özellikleri

Kimyasal Özellikler		Fiziksel ve mekanik özellikler	
İçerik (%)			
SiO ₂	20,5	Spesifik yoğunluk (g/cm ³)	3,14
Al ₂ O ₃	4,65	Blaine (cm ² /g)	4015
Fe ₂ O ₃	3,4	Le Chatelier Genleşme (mm)	1
CaO	62,7	Priz başlangıcı (dk)	158
Free CaO	1,71	Priz sonu (dk)	222
MgO	1,65	90 μ geçen (%)	0,3
SO ₃	2,94	45 μ geçen (%)	14,5
Na ₂ O	0,18	2 günlük dayanım (MPa)	27,8
K ₂ O	0,41	7 günlük dayanım (MPa)	49,2
Cl-	0,01	28 günlük dayanım (MPa)	57,6
Çözünmeyen Kalıntı	0,5		
Kızdırma Kaybı	3,36		

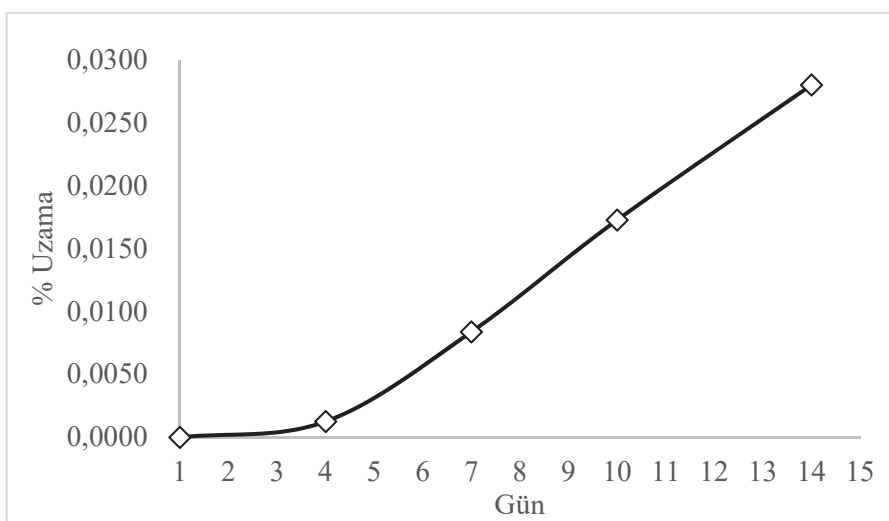
Saha betonlarında agrega ile çimento hamuru arasında, nemin de ortamda bulunması sonucunda oluşması muhtemel Alkali Silika Reaksiyonu (ASR) tespitinin mutlaka yapılması gerekmektedir (Harrington ve diğ., 2010). Bu bağlamda, ASTM C1260'a uygun, 25 x 25 x 285 mm boyutlarında prizmatik numuneler hazırlanarak, hızlandırılmış ASR testleri yapılmıştır. İki adet prizmatik numune için 293 g çimento, 138 g su, 660 g

kırma kum (%50 K1 ve %50 K2) kullanılmıştır. Agrega karışımı için deneye alınacak her elek üstü malzeme miktarı ilgili standarda uygun olarak Tablo 2.5'te verilmiştir.

Tablo 2.5. Her elek üstü malzeme miktarı

Geçen Elek	Kalan Elek	Malzeme (g)
No.4	No.8	66
No.8	No.16	165
No.16	No.30	165
No.30	No.50	165
No.50	No.100	99
Toplam		660

Numunelerin şartlandırılma süreçlerinde NaOH çözeltisi kullanılmıştır (1350 g su + 60 g NaOH). Prizmatik çubuklar, 13 lt kapasitesindeki polipropilen bir kap içerisindeki NaOH çözeltisine batırılmıştır. 80 °C'de su banyosu içerisinde daldırılan kap içerisindeki numunelerin 4, 7, 10 ve 14. günlerdeki boy okumaları ASTM C490'a uygun olarak yapılmıştır. Boy ölçümleri için 0,002 mm hassasiyetinde ve adım aralığı 0,001 mm olan dijital boy ölçer kullanılmıştır. Prizmatik numuneler üzerindeki boy uzama miktarı 14. gün sonunda ortalama %0,028 olarak tespit edilmiştir (Şekil 2.2). ASTM C1260'ta 14. gün sonunda boy uzama miktarının %0,1'den daha az olması durumunda, agreganın ASR açısından "zararsız" olduğu bildirilmiştir.



Şekil 2.2. Harç çubuğunda günlere göre boy değişimi

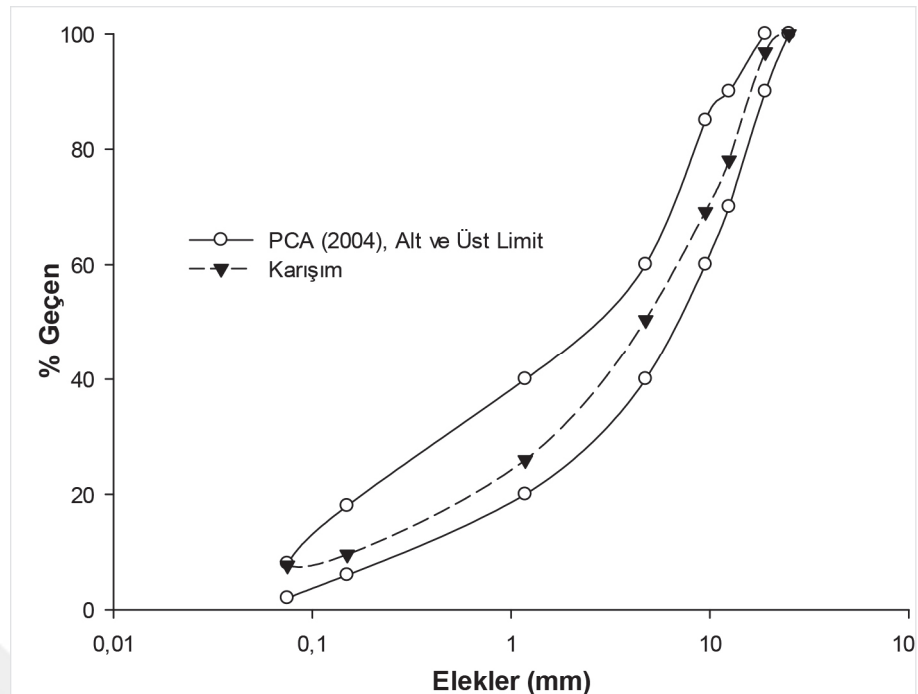
2.2. Karışım Tasarımı

Literatürde SSB karışım tasarıminda standart bir test prosedürü bulunmadığından, optimizasyonda zemin kompaksiyon modelinin uygulanabileceği ve sıkıştırma enerjisinin hesaplanması da ASTM D1557'e uygun Proctor Enerjisi'nin kullanabileceği belirtilmiştir (ACI, 2011; PCA, 2004; USACE, 2000; Harrington ve dig., 2010).

Karışım tasarımı, sırasıyla aşağıdaki adımlardan oluşmaktadır;

- Çimento düzeyi sabit (300 kg/m^3) alınarak, farklı S/C seviyelerinde karışımının hazırlanması,
- Karışımın titreşimli tokmak yardımıyla $\varnothing 150\text{mm}$, $h=300\text{mm}$ boyutundaki kalıplara üç tabaka halinde 20 s süreyle sıkıştırılması,
- Numunelerin 24 saat sonra kalıplarından çıkartılarak 28 gün süreyle suda kür edilmesi,
- Kür periyodunun sonunda, ASTM C642'ye uygun olarak her S/C seviyesi için kuru birim ağırlık ve kütlece su içeriğinin belirlenmesi,
- Elde edilen kuru birim ağırlık ve kütlece su içeriği değerleri arasındaki ilişki denkleminin (Proctor eğrisi) kullanılması ile maksimum kuru birim ağırlık ve optimum su içeriğinin belirlenmesi,
- Tespit edilen bu kuru birim ağırlık ve su içeriğinin hedeflenerek, deneme karışımının üretilmesi ve kür periyodunun sonunda gerekli eşleşmenin sağlanıp sağlanmadığının kontrolü.

KONTROL (K) karışımı hazırlamak amacıyla, PCA (2004) gradasyon limitlerine uygun olacak şekilde her bir agrega grubunun (2No, 1No, K1, K2) %25 oranında kullanılmasıyla, Şekil 2.3'deki gibi bir gradasyon eğrisi elde edilmiştir. Çimento içeriği sabit (300 kg/m^3) ve S/C oranı; 0,30, 0,35, 0,40, 0,45 düzeylerinde karışımın hazırlanması için her S/C oranında 3'er numune olacak şekilde toplamda 12 adet numune üretilmiştir. Numunelerin sıkıştırılmasında titreşimli tokmak metodu (ASTM C1435) referans alınarak, sıkıştırma işlemlerinde 11 kg ağırlık ve 900 W kapasiteye sahip, dakikada 2000 darbe vurma özelliği olan bir tokmak kullanılmıştır (Şekil 2.4a). Cihaz milinin uç kısmına takılıp çıkartılabilen, çapı $140 \pm 3 \text{ mm}$ ve ağırlığı 3,2 kg olan dairesel bir sıkıştırma plakası monte edilmiştir.



Şekil 2.3. K karışımına ait tane boyut dağılımı



Şekil 2.4. Titreşimli tokmak (a), titreşimli plakalı zemin sıkıştırıcı (b)

Malzemelerin homojen bir şekilde karıştırılması için, efektif karıştırma kapasitesi 56 litre olan laboratuvar tipi bir pan-mikser kullanılmıştır. Karışım sırası agrega, çimento ve karma suyu düzende ve her bir karışım süresi de 75 s olacak şekilde belirlenmiştir. Hazırlanan karışımlar Ø150mm, h=300mm boyutundaki kalıplara 3 tabaka şeklinde dökülmüş ve 20 s süreyle sıkıştırılmıştır. Her tabakada 15'er defa bir sonraki tabakaya geçecek şekilde şışleme yapılmıştır. Sıkıştırma plakası etrafında dairesel harç olduğu durumlarda sıkıştırma işlemine 20 s'den önce son verilmiştir. Eğilme dayanımında kullanılacak prizmatik numunelerin sıkıştırılmasında ise titreşimli plakalı zemin sıkıştırıcı kullanılmıştır (Şekil 2.4b). 1 m³ beton için karışına girecek olan teorik ve gerçek malzeme miktarları Tablo 2.6'da verilmiştir.

Tablo 2.6. 1 m³ karışım için teorik ve gerçek malzeme miktarları

	N o	Çimento (kg)	2 No (kg)	1 No (kg)	K1 (kg)	K2 (kg)	Su (kg)	Boşluk (%)	Toplam (kg)	S/C
TEORİK	1	300	553,8	549,8	535,5	539,6	90,0	0	2569	0,30
	2	300	543,6	539,6	525,6	529,6	105,0	0	2544	0,35
	3	300	533,4	529,5	515,8	519,7	120,0	0	2518	0,40
	4	300	523,2	519,4	505,9	509,8	135,0	0	2493	0,45
GERÇEK	1	285,2	526,6	522,7	509,1	513,0	85,6	4,92	2442	0,30
	2	293,9	532,6	528,7	515,0	518,9	102,9	2,03	2492	0,35
	3	298,7	531,1	527,2	513,5	517,4	119,5	0,43	2507	0,40
	4	299,5	522,3	518,5	505,1	508,9	134,8	0,17	2489	0,45

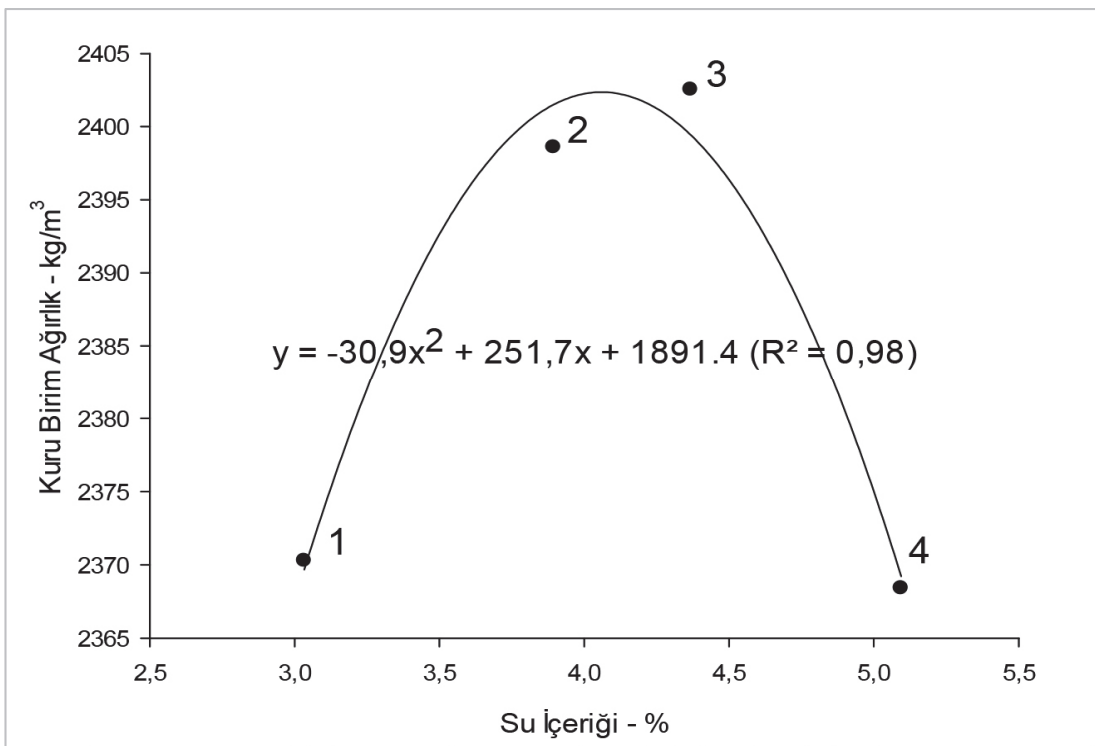
Numunelerin 28 günlük kür sonucunda ASTM C642'ye uygun, kuru birim ağırlık ve kütlece su içeriği değerleri belirlenmiştir (Şekil 2.5), (Tablo 2.7). Her set için 3 adet numunenin ortalaması olarak verilen bu değerler yardımıyla Şekil 2.6'daki gibi bir ilişki (Proctor eğrisi) tespit edilmiş ve regresyon denklemi yardımıyla maksimum kuru birim ağırlık = 2402 kg/m³ ve optimum su içeriği = % 4,06 olarak hesaplanmıştır.



Şekil 2.5. Kuru birim ağırlık ve kütlece su içeriğinin belirlenmesi (ASTM C642)

Tablo 2.7. Kür periyodu sonunda belirlenen kuru birim ağırlık ve su içeriği değerleri

No	110 °C Fırın Kurusu Kütle (kg)	Doygun Kütle (kg)	Su İçerisindeki Kütle (kg)	Kütlece Su İçeriği (%)	Kuru Birim Ağırlık (kg/m ³)
	A	B	C	[(B-A)/A] x 100	[A/(B-C)]
1	12,941	13,333	7,873	3,03	2370
2	13,201	13,719	8,215	3,92	2398
3	13,287	13,867	8,335	4,37	2402
4	13,189	13,861	8,291	5,10	2368



Şekil 2.6. Kuru birim ağırlığın su içeriği ile değişimi (Proctor eğrisi)

Proctor eğrisi yoluyla belirlenen bu maksimum kuru birim ağırlık ve optimum su içeriği değerleri hedeflenerek, Tablo 2.8'de verilen malzeme miktarları ile bir “deneme karışımı” hazırlanmıştır. Bu deneme karışımında 28 günlük kür periyodunun sonunda (ASTM C642 prosedürüne göre) kuru birim ağırlık = 2410 kg/m^3 ve su içeriği = % 4,01 değerleri ile Proctor eğrisi yoluyla elde edilen değerlere yakın seviyeler elde edildiğinden, K karışımlarında 1 m^3 beton için bu oranların kullanılabilirliğinin mümkün olabileceği saptanmıştır.

Tablo 2.8. 1 m^3 K karışımı için malzeme miktarları

Karışım Tipi	Çimento (kg)	2 No (kg)	1 No (kg)	K1 (kg)	K2 (kg)	Su (kg)	Toplam (kg/m ³)	S/Ç
K	300	540,0	536,0	522,1	526,1	110,4	2535	0,368

K karışımları için belirlenen S/Ç oranının kullanılmasıyla, toplam agregadan %15 ve %20 oranında eksiltme yapılarak RAP ilave edilmiş, sırasıyla RAP15 ve RAP20 karışımları hazırlanmıştır. RAP içerikli karışımlarda 1 m^3 beton için karışma girecek olan malzeme miktarı ve yüzde oranları Tablo 2.9'da verilmiştir.

Tablo 2.9. 1 m^3 RAP katkılı karışım için malzeme miktarı ve yüzde oranları

Karışım	Çimento (kg)	2 No (kg)	1 No (kg)	K1 (kg)	K2 (kg)	RAP (kg)	Su (kg)	Toplam (kg/m ³)	S/Ç
RAP15	300	540,0	214,4	522,1	526,1	301,3	110,4	2514	0,368
RAP20	300	540,0	107,2	522,1	526,1	401,8	110,4	2508	0,368
<hr/>									
RAP15	(%)	25	10	25	25	15			
RAP20	(%)	25	5	25	25	20			

2.3. Mekanik Özelliklerin Belirlenmesi

Tablo 2.8 ve Tablo 2.9'da verilen oranlara göre K, RAP15 ve RAP20 karışımları hazırlanarak mekanik özellikleri belirlenmiştir. Her setten 6'sar adet EN 12390-3'e uygun basınç dayanımı, 3'er adet de EN 12390-6-Part 3'e uygun yarmada çekme dayanımı tespiti için toplamda 27 adet Ø150mm, h=300mm silindirik numune hazırlanmış ve 7 ile 28 günlük kür sonucunda test edilmiştir.

Elastisite Modülü ve Poisson oranı tayini için ASTM C469'a uygun olacak şekilde her setten 3, toplamda 9 adet Ø150mm, h=300mm silindirik numune hazırlanmıştır. Şekil değiştirme miktarının tespitinde, silindirik olarak hazırlanan numunelere monte edilen dairesel çerçeveler ve 2 adet (yatay ve düşey) analog komparatör saatinden faydalanyılmıştır. Yükleme 2000 kN'luk test presinde, hızı ASTM C469'da belirtildiği gibi yaklaşık olarak 241 kPa/s'ye yakın olacak şekilde gerçekleştirılmıştır (Şekil 2.7).



Şekil 2.7. Elastisite Modülü test düzeneği

Eğilme dayanımı kontrolü için EN 12390-6-Part 4'e uygun olacak şekilde 9 adet 150 x 150 x 600 mm boyutlarında prizmatik numuneler hazırlanmış ve eğilme dayanımının tespitinde dört nokta eğilme prosedürü uygulanmıştır. Numunelere ait mekanik test sonuçları Tablo 2.10'da toplu şekilde verilmiştir.

Tablo 2.10. Mekanik deneylerde test sonuçları

Karışım Tipi	Numune No	7 Günlük Basınç Dayanımı (MPa)	28 Günlük Basınç Dayanımı (MPa)	28 Günlük Yarında Çekme Dayanımı (MPa)	28 Günlük 4 Nokta Eğilme Dayanımı (MPa)	Elastisite Modülü (GPa)	Poisson Oranı
K	1	32,4	40,9	6,01	6,20	43,3	0,204
	2	31,7	39,3	5,98	5,91	41,9	0,201
	3	33,6	35,9	6,16	6,78	41,1	0,201
Ortalama (MPa)		32,6	38,7	6,05	6,30	42,1	0,202
COV (%)		3,0	6,6	1,6	7,0	2,6	0,0
RAP15	1	28,4	33,8	5,67	5,64	30,3	0,240
	2	30,2	35,1	5,23	5,12	31,1	0,239
	3	29,2	34,9	5,20	5,96	33,1	0,241
Ortalama (MPa)		29,3	34,6	5,37	5,57	31,5	0,240
COV (%)		3,1	2,0	4,9	7,6	4,6	0,0
RAP20	1	24,5	29,5	4,87	4,97	29,1	0,241
	2	28,1	30,1	5,12	5,55	27,1	0,243
	3	25,5	28,6	5,03	5,72	31,3	0,240
Ortalama (MPa)		26,0	29,4	5,01	5,41	29,2	0,241
COV (%)		7,1	2,6	2,5	7,3	7,2	0,0

Tablo 2.10'a göre, Sachet ve diğ. (2013)'de bildirildiği gibi RAP yüzeyindeki asfalt filmi nedeniyle mekanik özellikler üzerinde azaltıcı etkilerin geliştiği tespit edilmiştir. Bu etki Elastisite Modülü üzerinde en fazla, RAP15 ve RAP20 için sırasıyla %25 ve %31 düzeyindedir. 28 günlük basınç, yarmada çekme ve eğilme dayanımlarındaki azalma miktarları RAP15 için sırasıyla %11, %11, %12 ve RAP20 için sırasıyla %24, %17 ve %14 düzeyindedir. 7 ve 28 günlük basınç dayanımları arasındaki dayanım gelişmesi bütün karışımlarda %84 ve üzerindedir.

RAP malzemenin 4,75-19 mm eleklerden elenerek SSB içeriğinde kullanıldığı bir çalışmada, 267 kg/m^3 çimento düzeyi ve doğal agrega ile hazırlanan numunelerin 14 günlük basınç ve yarmada çekme dayanımları sırasıyla 38,3 MPa ve 4,16 MPa olarak ölçülmüştür. Ağırlıkça %16 oranında RAP içeren karışımlarda ise 14. gün sonunda sırasıyla 28,1 MPa ve 3,50 MPa dayanım seviyeleri elde edilmiştir. Dolayısıyla, SSB karışımında ağırlıkça %16 oranında RAP kullanılması durumunda, basınç dayanımında %26,7, yarmada çekme dayanımında ise %15,9 düzeyinde bir azaltıcı etki saptanmıştır (Ferrebee ve diğ., 2014). Bu çalışmadan elde edilen sonuçlara göre ise, %15 oranında RAP kullanılması durumunda, Ferrebee ve diğ. (2014)'e kıyasla, basınç ve yarmada çekme dayanımındaki azaltıcı etkinin daha düşük olduğu görülmektedir.

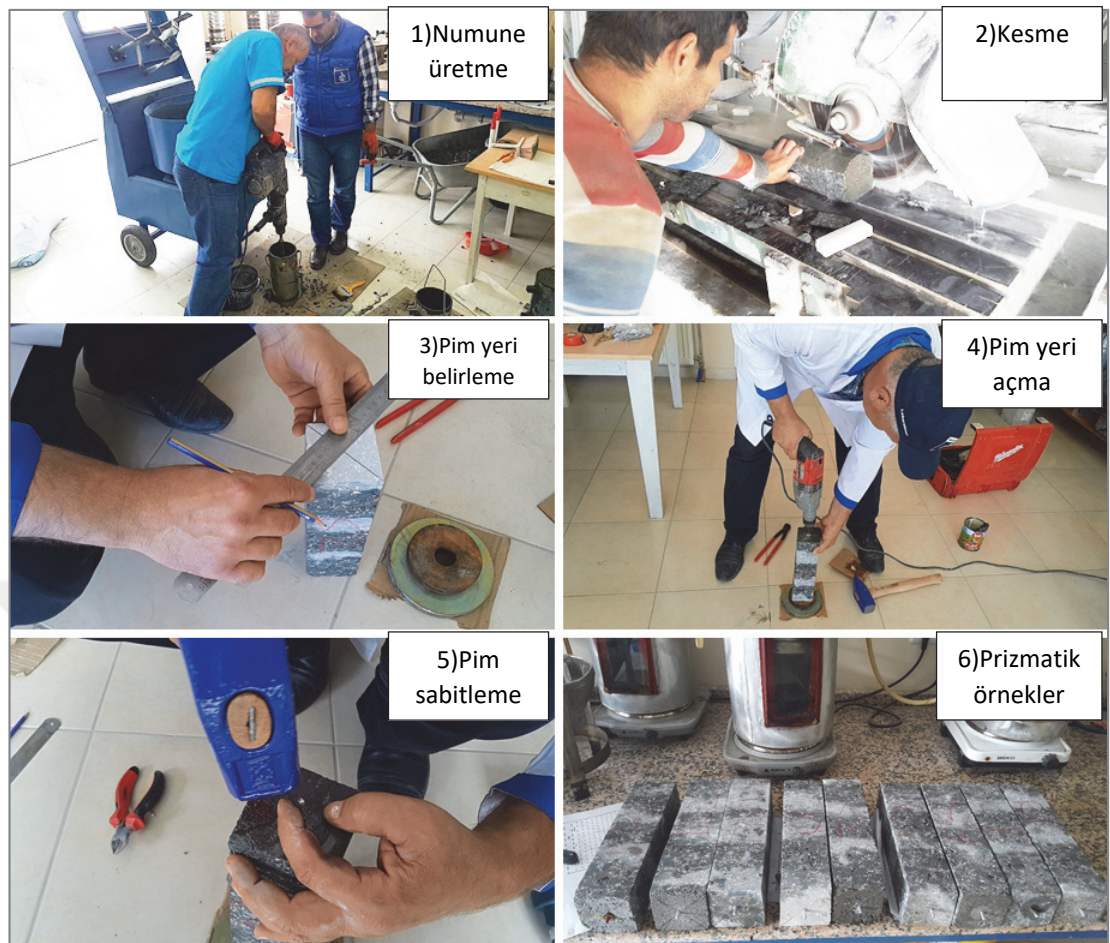
RAP içerikli SSB karışımları ile yapılan çalışmalarda, herhangi bir eleme prosesinden geçirilmeden elde edilen RAP malzemesinin, ağırlıkça %50 seviyelerine kadar karışım içeriğinde kullanılması durumunda, mekanik özelliklerde ciddi oranlarda azaltıcı etkiler tespit edilmiştir. Bu nedenle, RAP malzemesinin SSB içeriğinde sadece granüler temel veya alttemel düzeyinde kullanılabileceği bildirilmiştir (Courard ve diğ., 2010; Sachet ve diğ., 2011; Settari ve diğ., 2015). Bu çalışmada ise, ekonomik göstergelerin birbirine yakın olması istenen durumlarda, karışım içeriğinde %15 oranında RAP kullanılması halinde, mekanik özelliklerde bir azalma gerçekleşse bile, BYŞ (2016)'e göre 35 MPa düzeyinde bir beton için yeterli basınç ve çekme gerilmeleri ile 7 ve 28 günlük basınç dayanımları arasında yeterli dayanım gelişmesi elde edilmiştir. RAP20 karışımlarının ise basınç dayanımı istenilen düzeyde olmamasına karşın, uygun optimizasyonlarla ve benzer ekonomik şartlarda daha düşük hacimli yollarda kullanılması uygun olabilir.

RAP'in iyi derecelendirilmesi durumunda, uygun basınç ve çekme dayanımlarının sağlanabileceği ve SSB üstyapısında kaplama tabakalarında da ağırlıkça %20 düzeyine kadar kullanılabileceği tespit edilmiştir. RAP içerikli SSB yolun tekrarlı dingil yükleri altında yapısal ve ekonomik yönden analizi Kısım 2.5'te ele alınmıştır.

2.4. Durabilite Özelliklerinin Belirlenmesi

Çevresel etkiler altında sertleşmiş betonun durabilite özelliklerinin belirlenebilmesi amacıyla, sırasıyla aynı örekler kuruma rötresi, ultrasonik ses dalgası hızı (UPV), donma/çözülme direnci ve dört nokta eğilme dayanımı testleri uygulanmıştır. Bu testlerin uygulanabilmesi için 75 x 75 x 285 mm boyutlarında numuneler üretilmesi gerekmektedir. Fakat SSB karışımı kuru olduğundan ve bu boytlardaki bir kalıba bu malzemenin sıkıştırılması için standart bir prosedür bulunmadığından aşağıdaki gibi bir yol izlenmiştir;

Her karışımından 3'er adet olmak koşuluyla toplamda 9 adet silindirik ($\varnothing 150\text{mm}$, $h=300\text{mm}$) numune hazırlanmıştır. İlk etapta titreşimli tokmak kullanılarak numuneler üretilmiş, 24 saat sonra kalıplarından sökülmüş ve 28 gün boyunca standart koşullarda kür edilmiştir. Kür periyodunun sonunda, mermer tezgâhında 75x75x285 mm boyutlarında kesilerek prizmatik numuneler elde edilmiştir. Son aşamada ise, prizmatik örneklerin uç noktalarına matkap ve çekiç yardımıyla pimler (gage studs) yerleştirilerek deneyler için uygun geometrik koşullar sağlanmıştır (Şekil 2.8). Numuneler, Tablo 2.11'de gösterildiği sıra, belirtilen standartlara göre deneye tabi tutulmuş ve test sonuçları numune set ortalamaları olarak verilmiştir.



Şekil 2.8. Prizmatik numune üretilmesi süreci

Tablo 2.11. Prizmatik numuneler için deney planlaması

Set	Numune	Karışım Tipi	Kuruma Rötresi	UPV	Donma/Çözülme Direnci	Dört Nokta Eğilme Dayanımı
			ASTM C157	ASTM C597	ASTM C666	EN 12390-6
1	1	K	✓	✓	✓	✓
	2	K	✓	✓	-	✓
	3	K	✓	✓	-	-
2	4	RAP15	✓	✓	✓	✓
	5	RAP15	✓	✓	-	✓
	6	RAP15	✓	✓	-	-
3	7	RAP20	✓	✓	✓	✓
	8	RAP20	✓	✓	-	✓
	9	RAP20	✓	✓	-	-

2.4.1. Kuruma rötresi tayini

Kuruma rötresi tayini, 28 gün boyunca 23 ± 2 °C suda kürlenen numunelerin, kür periyodu bittikten sonra laboratuvar ortamında bekletilmesi ve açık havada belirli periyotlarda boy ölçümlerinin yapılmasını kapsamaktadır. Bu deneyin yürütülmesinde, 0,002 mm hassasiyetinde ve adım aralığı 0,001 mm olan dijital komparatör kullanılmıştır (Şekil 2.9). Numunelerin 1, 4, 7, 28, 56 ve 112. gün sonundaki boy okumaları ve ağırlık değişimleri tespit edilmiş (ASTM C157), Tablo 2.12, Şekil 2.10 ve Şekil 2.11'de verilmiştir. Boy değişimini veren ifade aşağıdaki eşitlik kullanılmıştır;

$$L_C = \frac{L_2 - L_1}{G} \times 100 \quad (2.1)$$

Burada,

L_C : Boy değişimi (%) (n. gündeki)

L_1 : Komparatör okuması (0. gündeki)

L_2 : Komparatör okuması (n. gündeki)

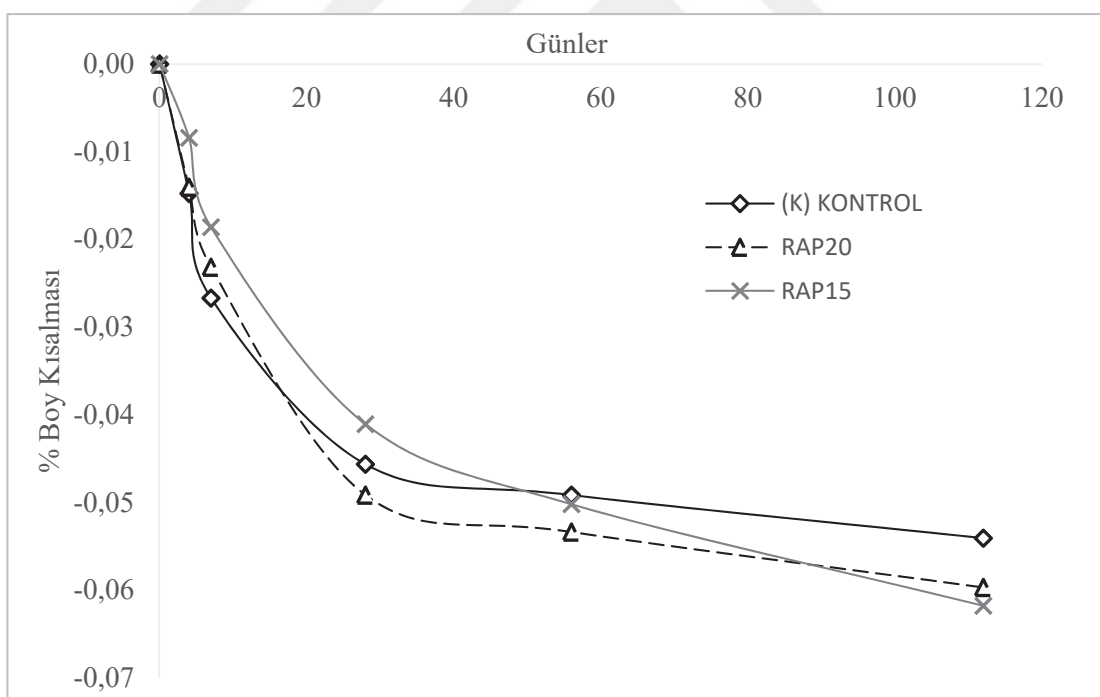
G : Numune boyu [285 mm]



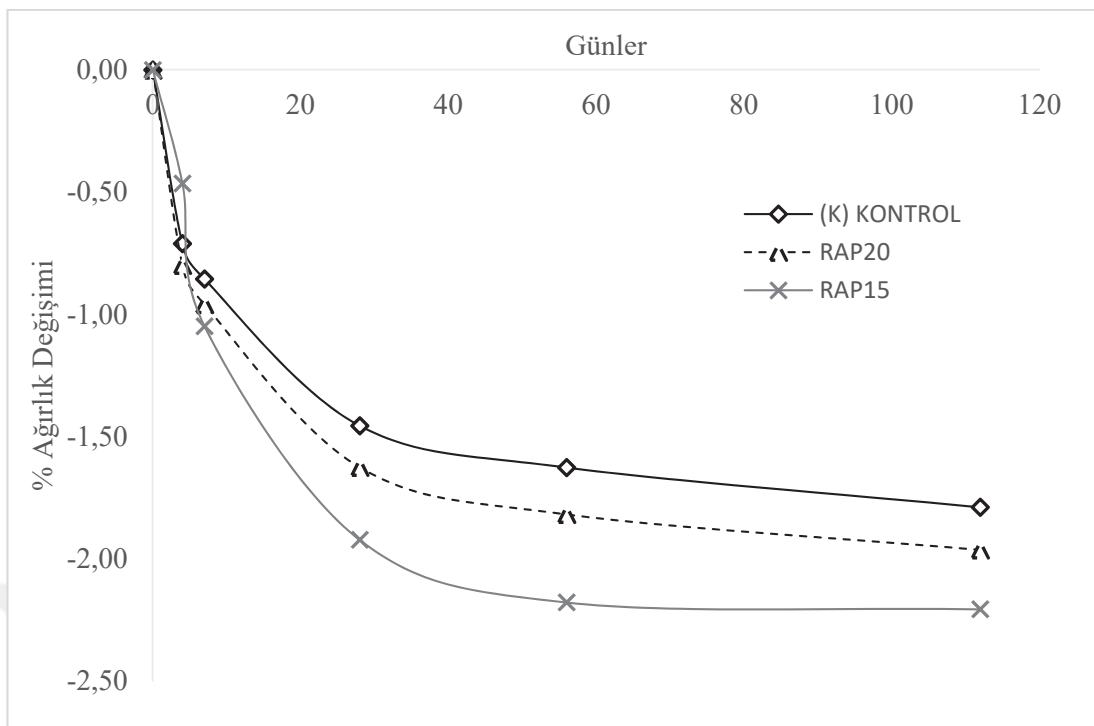
Şekil 2.9. Kuruma rötresi tayininde kullanılan numuneler ve test düzeneği

Tablo 2.12. Numunelerin belirli günlerde yapılan boy ve ağırlık ölçümüleri

Günler (28+)	K		RAP15		RAP20	
	Ağırlık (g)	Komparatör Okuması	Ağırlık (g)	Komparatör Okuması	Ağırlık (g)	Komparatör Okuması
1.	3890,30	6,602	3826,50	5,454	3744,71	3,550
4.	3862,67	6,560	3808,74	5,430	3714,81	3,510
7.	3857,04	6,526	3786,40	5,401	3708,80	3,484
28.	3833,70	6,472	3752,98	5,337	3683,87	3,410
56.	3827,06	6,462	3743,19	5,311	3676,66	3,398
112.	3820,73	6,448	3742,12	5,278	3671,22	3,380
Boy ve Ağırlık Değişimi (%)						
1.	0	0	0	0	0	0
4.	-0,71	-0,015	-0,46	-0,008	-0,80	-0,014
7.	-0,85	-0,027	-1,05	-0,019	-0,96	-0,023
28.	-1,45	-0,046	-1,92	-0,041	-1,62	-0,049
56.	-1,63	-0,049	-2,18	-0,050	-1,82	-0,053
112.	-1,79	-0,054	-2,21	-0,062	-1,96	-0,060



Şekil 2.10. Numune boylarının günlere göre değişimi



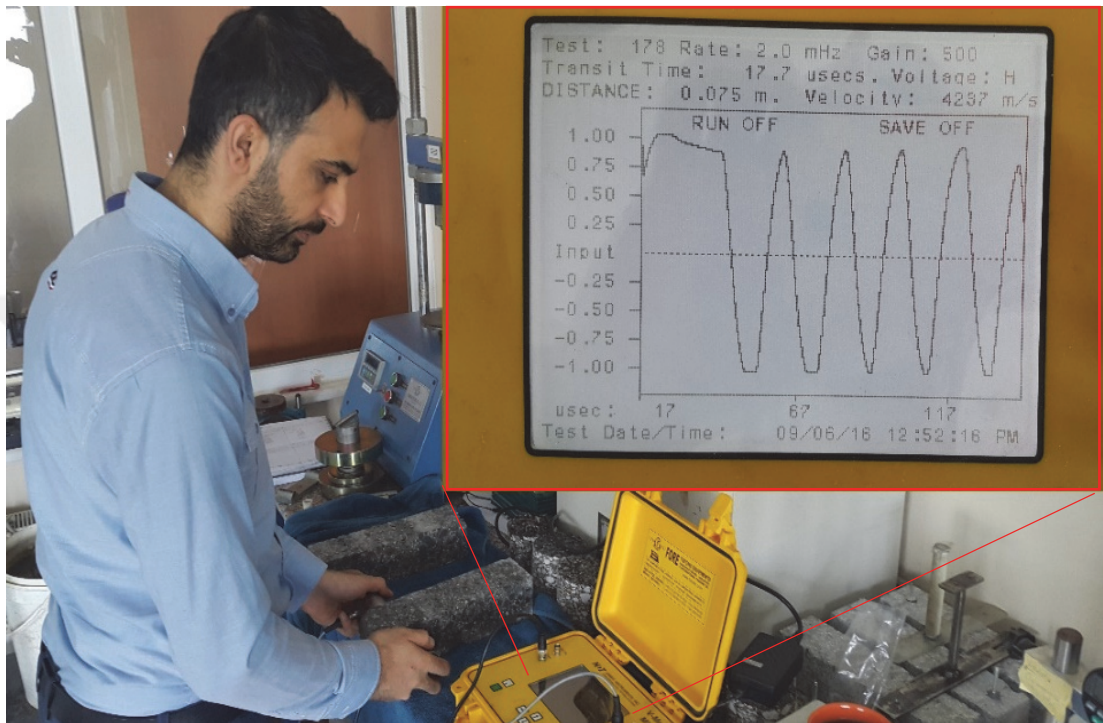
Şekil 2.11. Numune ağırlıklarının günlere göre değişimi

K karışımılarında 112. gün sonunda boy değişimi %0,050 (500 microstrain), RAP15 ve RAP20 karışımılarında ise %0,060 (600 microstrain) düzeyindedir. Ağırlık kayipları ise her 3 numunede %2 seviyesindedir. Elde edilen rötre miktarının, Ghafoori ve Cai (1998), Pittman ve Ragan (1998), Jingfu ve diğ. (2009) ile kıyaslandığında fazla olduğu görülmektedir (28. gün sonunda 250-300 microstrain). Kaba agregat miktarı ve çimento düzeyinin sonuçlar üzerinde bu denli farklılıklar ortaya çıkarabileceği tahmin edilmektedir. Ancak Damrongwiriyapan ve diğ. (2012)'e göre SSB test yolu gövdesinden alınan numunelerle benzer sonuçlar elde edildiği tespit edilmiştir (112. gün sonunda 500 – 700 microstrain).

RAP içerikli SSB karışımılarında kuruma rötresinin tayini ile elde edilen bulgular ise, bu karışımalar için hacim sabitliği özelliklerinin belirlenmesinde literatüre katkıda bulunacaktır. Zira literatürde RAP içerikli SSB karışımı kapsamında kuruma rötresi çalışmaları oldukça sınırlıdır. RAP karışımılarında kuruma rötresi miktarının bir miktar fazla çıkması ise, RAP içerisinde bitümle kaplı yüzeylerin bir rezervuar oluşturması, bu sayede de büzülme esnasında çimento hamurunun daha kolay deformasyon yapabileceği alanların oluşması ile açıklanabilir.

2.4.2. Ultrasonik ses dalgası hızı tayini

UPV değerlerinin hesaplanmasında, numunelerin uzun kenar düzlemlerinde 3 farklı noktada okuma yapılmış ve bu değerlerin ortalaması alınmıştır (ASTM C597) (Şekil 2.12).



Şekil 2.12. Prizmatik numunedeki UPV ölçümü

Dinamik Elastisite Modülü'nün hesaplanması Denklem (2.2) kullanılmıştır (ASTM C597);

$$E_d = \rho V^2 \frac{(1+\mu)x(1-2\mu)}{(1-\mu)} \quad (2.2)$$

Burada,

E_d : Dinamik Elastisite Modülü (Pa)

μ : Poisson oranı

ρ : Birim hacim ağırlığı (kg/m^3) (ASTM C642)

V : Ultrasonik ses dalgası hızı (m/s)

Tablo 2.13'de test sonuçları verilmiştir. UPV değeri betonun birçok karakteristik özelliğinden (yaş, su içeriği, boşluk yapısı, agregat tipi, agregat ile çimento arasındaki faz) etkilenmektedir. Deneysel çalışmalarında durabilite özellikleri bakımından UPV değerinin 4500 m/s yukarısı için çok iyi, 4500-3500 m/s arasında iyi, 3500-3000 m/s arasında orta, 3000 m/s altında ise zayıf beton olarak derecelendirilebileceği belirtilmiştir (IS 13311-1, 1992; Ryall, 2001). Karışımında UPV değerleri 4600-4900 m/s arasında değişmekte, RAP içeriğindeki bitümle kaplı agregat yüzeyinin karışım içeriğinde boşlukları artırması nedeniyle UPV değerlerinin azaldığı görülmektedir.

Tablo 2.13. UPV test sonuçları

Karışım Tipi	Birim Hacim Ağırlık (ASTM C642) (kg/m ³)	Poisson Oranı	Ultrasonik Ses Dalgası Hızı Ortalaması (m/s)	Dinamik Elastisite Modülü (GPa)
K	2384	0,202	4923	51,9
RAP15	2333	0,240	4702	43,8
RAP20	2291	0,240	4660	42,2

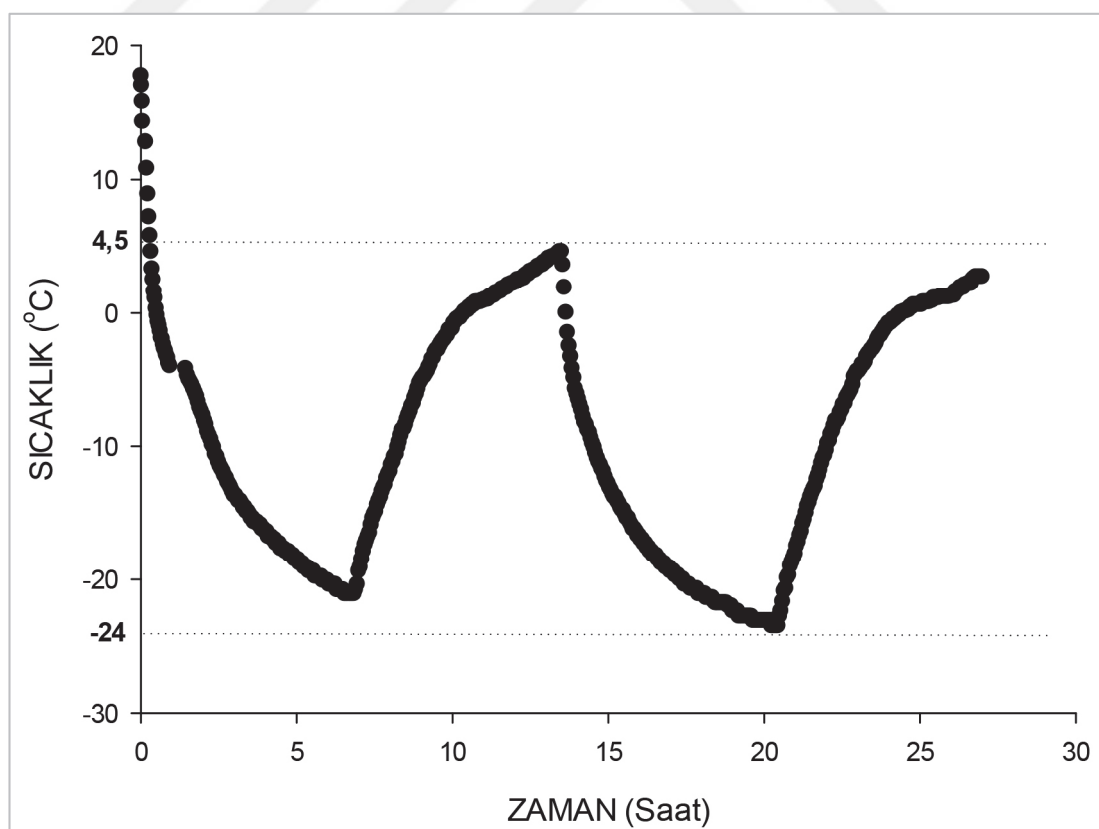
2.4.3. Donma/çözülme direnci tayini

ASTM C666'ya uygun donma/çözülme testi için, 230 lt kapasiteli bir derin dondurucu kullanılmıştır. Derin dondurucuya 6 saat süreyle çalışıp kapanmasını sağlayan bir zaman saati (elektrik rölesi) monte edilmiştir. Numunelerin iç noktalarındaki sıcaklıkların ölçülmesi için numunelerle aynı boyut ve özelliklere haiz "dummy" numune içerisinde bir termal sensör yerleştirilmiş ve sıcaklık değerleri bir yazılım sayesinde sürekli kayıt altına alınmıştır (Şekil 2.13). Dummy numune içerisindeki 1 günlük sıcaklık değerleri Şekil 2.14'te verilmiştir. Numunelere 300 döngü donma/çözülme tatbik edilmiş ve her 60 döngüde bir okuma yapılmıştır. Zaman saati sayesinde 6 saat donma ve 6 saat çözülme (On/Off) otomatik olarak uygulanarak, numunelerin iç noktalarındaki sıcaklıkları dummy numune sayesinde sürekli kayıt altına alınmıştır. Her 60 döngüde bir aşağıdaki ölçüm ve hesaplamalar yapılarak kaydedilmiştir;

- Ağırlık değişimi (%)
- Boy değişimi (%) (ASTM C157)
- UPV (m/s) (ASTM C597)
- Dinamik Elastisite Modülü (E_d), (ASTM C597)
- Durabilite Faktörü (D_f)



Şekil 2.13. Donma/çözülme döngüsü için kurulan sistem



Şekil 2.14. Dummy numune içerisinde sıcaklığın zamana bağlı değişimi

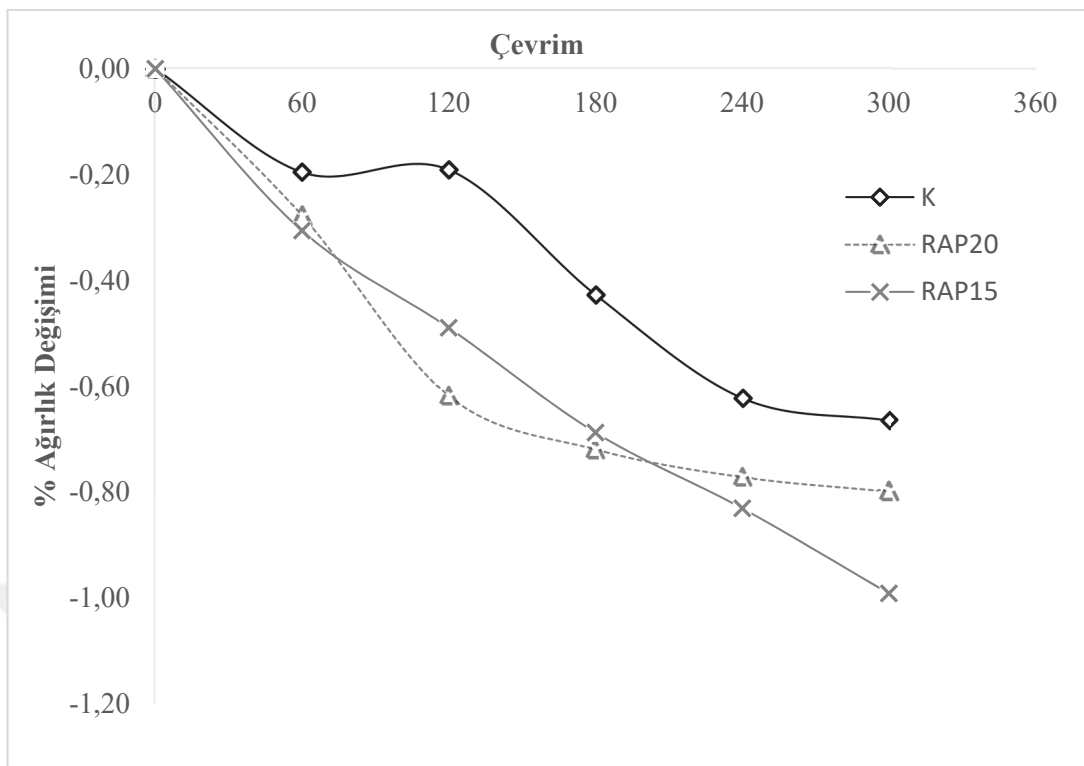
Donma/çözülme deneyi sonuçları Tablo 2.14, Tablo 2.15 ve Şekil 2.15-18'de verilmiştir.

Tablo 2.14. Donma/çözülme deneyi test okumaları

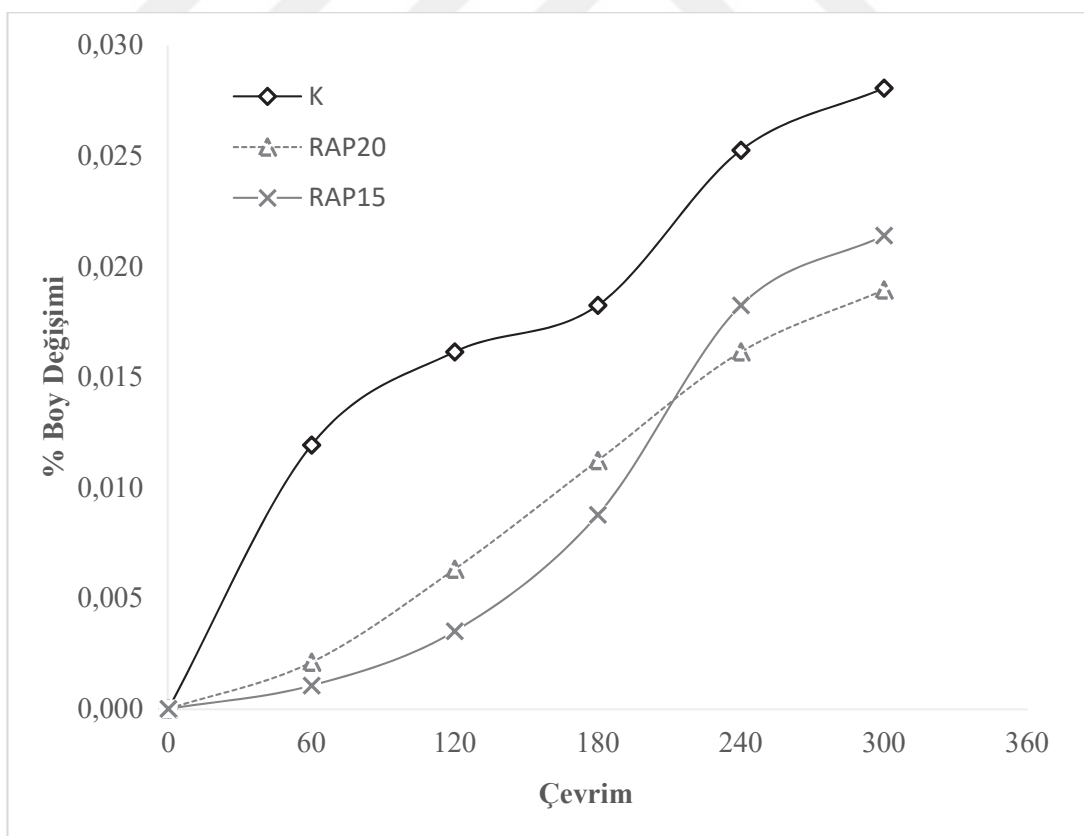
K						
Çevrim	Test Tarihi	Ağırlık (g)	Birim Hacim Ağırlık (kg/m ³)	Poisson Oranı	Komparatör Okuması	UPV (m/s)
0	01.06.2016	3822,35	2384	0,202	0,888	4923
60	01.07.2016	3814,87	2380	0,202	0,922	4678
120	01.08.2016	3815,04	2380	0,202	0,934	4538
180	01.09.2016	3806,03	2374	0,202	0,940	4232
240	01.10.2016	3798,60	2369	0,202	0,960	4246
300	01.11.2016	3797,00	2368	0,202	0,968	4205
RAP15						
Çevrim	Test Tarihi	Ağırlık (g)	Birim Hacim Ağırlık (kg/m ³)	Poisson Oranı	Komparatör Okuması	UPV (m/s)
0	01.06.2016	3741,42	2334	0,240	2,315	4702
60	01.07.2016	3729,98	2327	0,240	2,318	4686
120	01.08.2016	3723,12	2322	0,240	2,325	4532
180	01.09.2016	3715,71	2318	0,240	2,340	4331
240	01.10.2016	3710,36	2314	0,240	2,367	4109
300	01.11.2016	3704,34	2311	0,240	2,376	4012
RAP20						
Çevrim	Test Tarihi	Ağırlık (g)	Birim Hacim Ağırlık (kg/m ³)	Poisson Oranı	Komparatör Okuması	UPV (m/s)
0	01.06.2016	3673,90	2292	0,240	3,402	4660
60	01.07.2016	3663,72	2285	0,240	3,408	4547
120	01.08.2016	3651,21	2278	0,240	3,420	4301
180	01.09.2016	3647,52	2275	0,240	3,434	4238
240	01.10.2016	3645,60	2274	0,240	3,448	4038
300	01.11.2016	3644,60	2273	0,240	3,456	3946

Tablo 2.15. Donma/çözülme deneyi test sonuçları

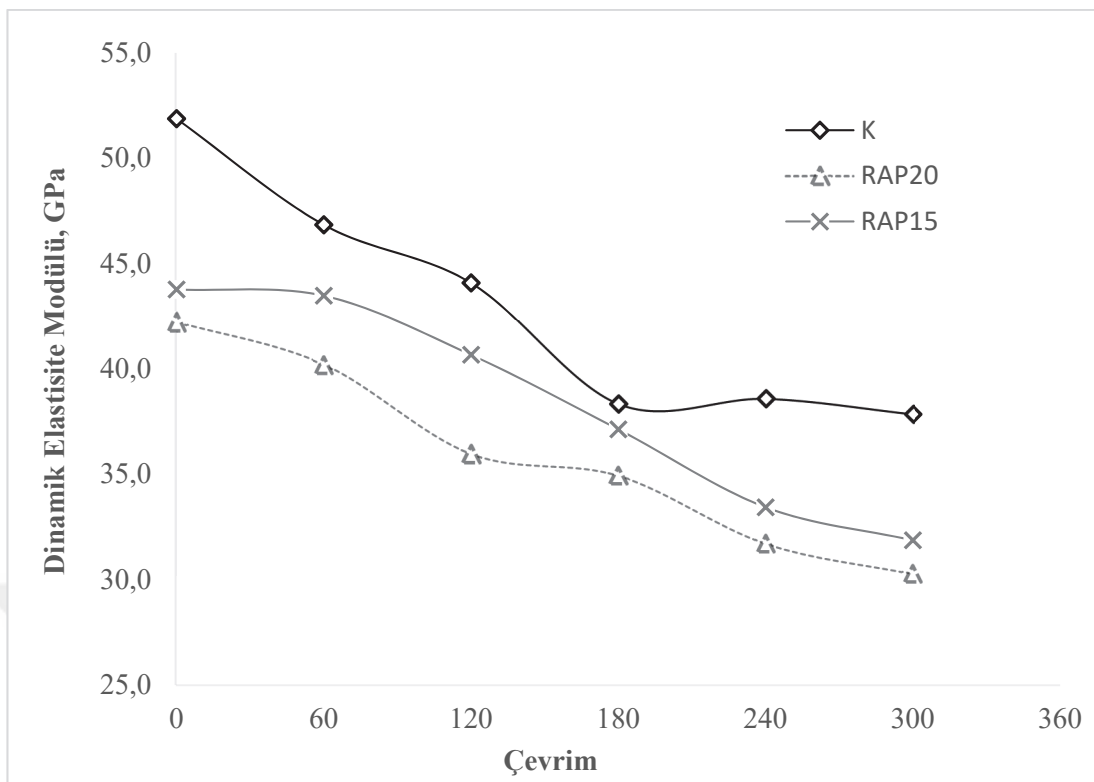
K					
Çevrim	Test Tarihi	% Ağırlık Değişimi	% Boy Değişimi	Dinamik Elastisite Modülü (E_d) (GPa)	E_d Değişimi (%)
0	1.06.2016	0,00	0,000	51,9	0
60	1.07.2016	-0,20	0,012	46,8	-10
120	1.08.2016	-0,19	0,016	44,1	-15
180	1.09.2016	-0,43	0,018	38,3	-26
240	1.10.2016	-0,62	0,025	38,6	-26
300	1.11.2016	-0,66	0,028	37,8	-27
RAP15					
Çevrim	Test Tarihi	% Ağırlık Değişimi	% Boy Değişimi	Dinamik Elastisite Modülü (E_d) (GPa)	E_d Değişimi (%)
0	1.06.2016	0,00	0,000	43,8	0
60	1.07.2016	-0,31	0,001	43,5	-1
120	1.08.2016	-0,49	0,004	40,7	-7
180	1.09.2016	-0,69	0,009	37,1	-15
240	1.10.2016	-0,83	0,018	33,4	-24
300	1.11.2016	-0,99	0,021	31,9	-27
RAP20					
Çevrim	Test Tarihi	% Ağırlık Değişimi	% Boy Değişimi	Dinamik Elastisite Modülü (E_d) (GPa)	E_d Değişimi (%)
0	1.06.2016	0,00	0,000	42,2	0
60	1.07.2016	-0,28	0,002	40,2	-5
120	1.08.2016	-0,62	0,006	36,0	-15
180	1.09.2016	-0,72	0,011	34,9	-17
240	1.10.2016	-0,77	0,016	31,7	-25
300	1.11.2016	-0,80	0,019	30,3	-28



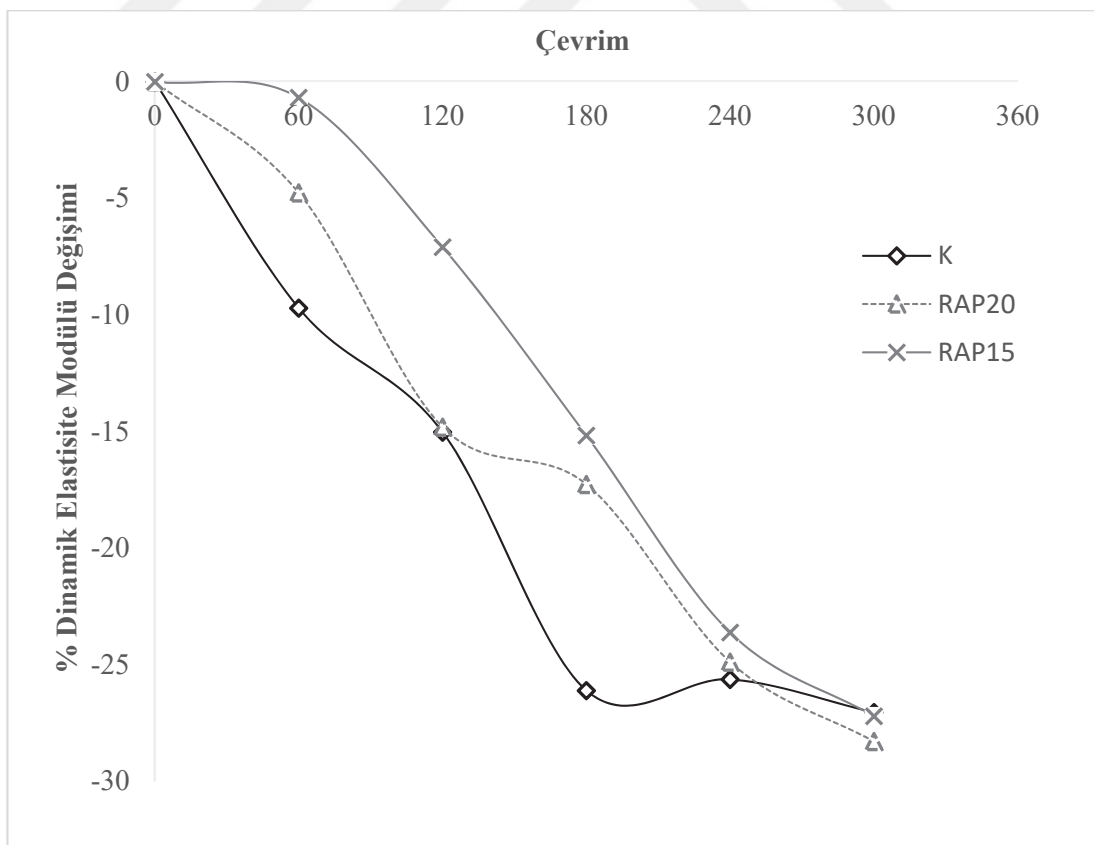
Şekil 2.15. 300 döngüde ağırlık değişimi



Şekil 2.16. 300 döngüde boy değişimi



Şekil 2.17. 300 döngüde Dinamik Elastisite Modülü değişimi



Şekil 2.18. 300 döngüde Dinamik Elastisite Modülü değişimi (%)

Neville (2010), Durabilite Faktörü'nü (D_f) aşağıdaki gibi tanımlanmaktadır;

$$D_f = \frac{E_{dn}}{E_{d0}} \times \frac{n}{3} \quad (2.3)$$

Burada,

E_{dn} : 300 döngü sonrası Dinamik Elastisite Modülü (MPa)

E_{d0} : Başlangıç Dinamik Elastisite Modülü (MPa)

n : 300 döngü

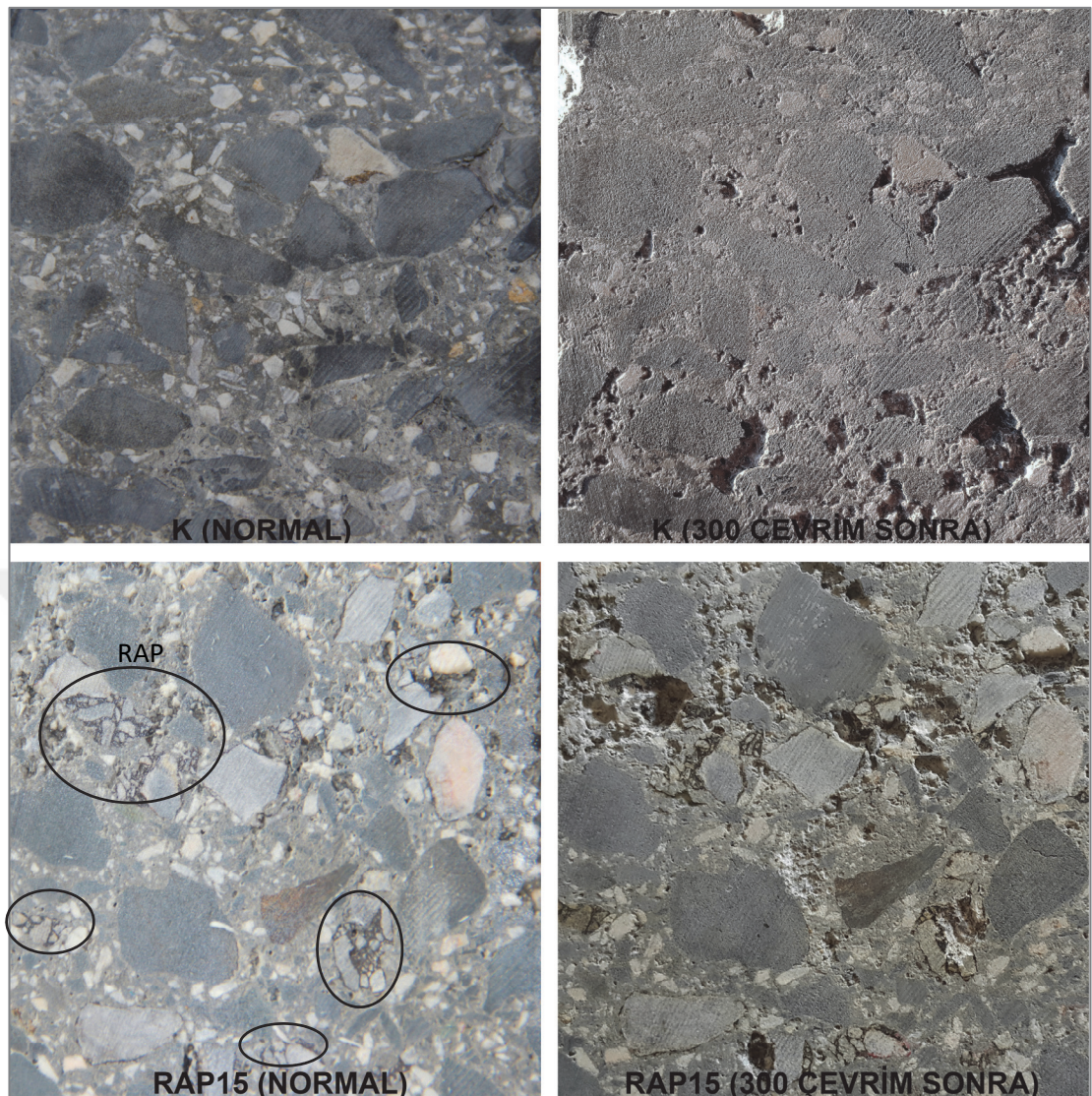
Sertleşmiş betonda Durabilite Faktörü'nün 40'ın altında olması yetersiz, 40 ile 60 arasında şüpheli, 60 yukarısında ise tatmin edici olduğu bildirilmiştir (Neville, 2010).

Hazaree (2007) ile Mardani-Aghabeglou ve diğ. (2013)'e göre, içeriğinde hava sürüklənməmiş ve çimento düzeyi 250-300 kg/m³ ve yukarısı olan SSB karışımlarında Durabilite Faktörü'nün 300 döngü sonunda %65 veya yukarısı seviyesinde olduğu saptanmıştır. Bu çalışmada ise bütün karışımlarda yaklaşık %73 düzeyinde bir Durabilite Faktörü tespit edilmiştir (Tablo 2.16). Bu temel farklılığın numune üretme konusunda farklı sıkıştırma prosedürlerinin uygulanması ve farklı boyutlarda numunelerin kullanılması etkili olmuştur.

Donma/çözülme test sonuçları, RAP içerikli malzemelerin SSB karışım içeriğinde ağırlıkça %20 düzeyine kadar kullanılması durumunda, donma/çözülme direnci açısından önemli bir farklılık ortaya çıkarmadığını göstermiştir. K ve RAP15 numunelerine ait normal ve 300 çevrim sonrasında ait yüzey görüntüsü Şekil 2.19'da verilmiştir.

Tablo 2.16. Durabilite Faktörü'nün karışım tipine göre değişimi

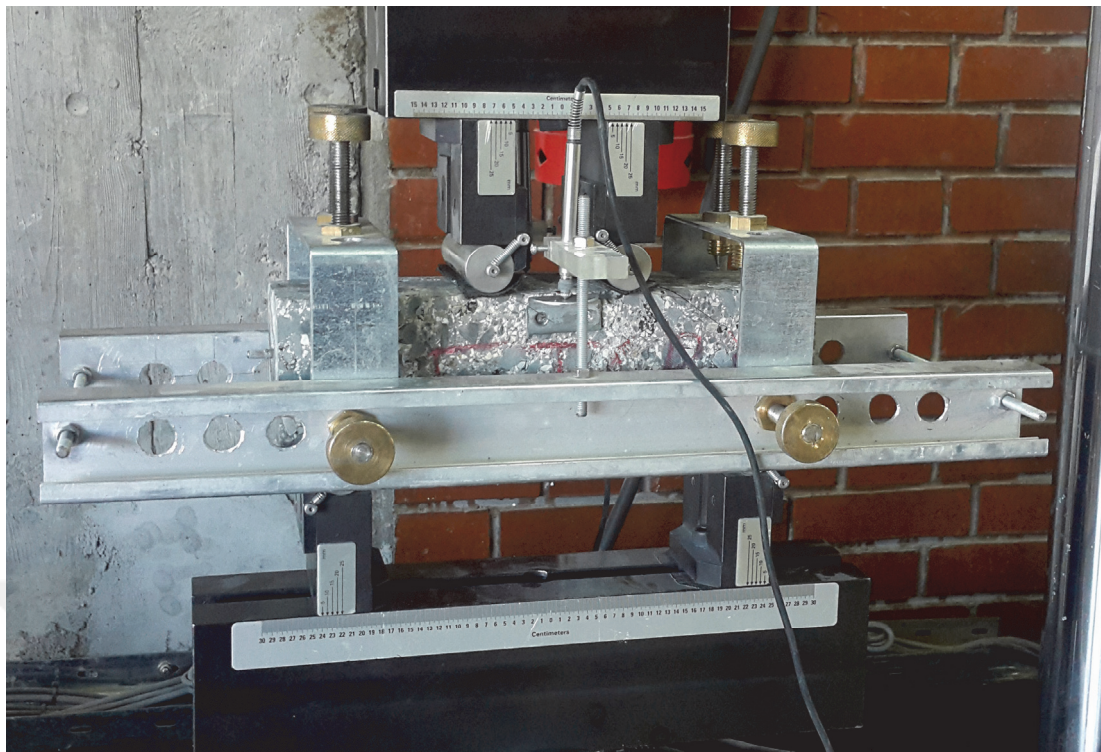
Karışım Tipi	Başlangıç Dinamik Elastisite Modülü (GPa)	300 Döngü Sonrası Dinamik Elastisite Modülü (GPa)	n	Durabilite Faktörü (D_f)
K	51,9	37,8	300	72,8
RAP15	43,8	31,9	300	72,8
RAP20	42,2	30,3	300	71,8



Şekil 2.19. K ve RAP15 için deney önce ve sonrasına ait yüzey görüntüsü

2.4.4. Eğilme dayanımı tayini

Prizmatik numunelerin dört nokta eğilme altındaki gerilme ve şekil değiştirme deneyleri, ODTÜ Yapı Malzemeleri Laboratuvarı’nda MTS-793 cihaz ile numunelerin iki yüzeyine monte edilen LVDT’ler yardımıyla, sehim kontrollü olacak şekilde gerçekleştirilmiştir (Şekil 2.20). Donma/çözülme deneyi sonunda elde edilen numuneler ile laboratuvar ortamında bekletilen numuneler olmak üzere iki grup arasında bir kıyaslama yapılmıştır. Bu sayede donma/çözülme etkisinin eğilmede çekme dayanımına olan azaltıcı etkisinin farklı karışım tiplerinde gözlemlenebilmesi hedeflenmiştir.



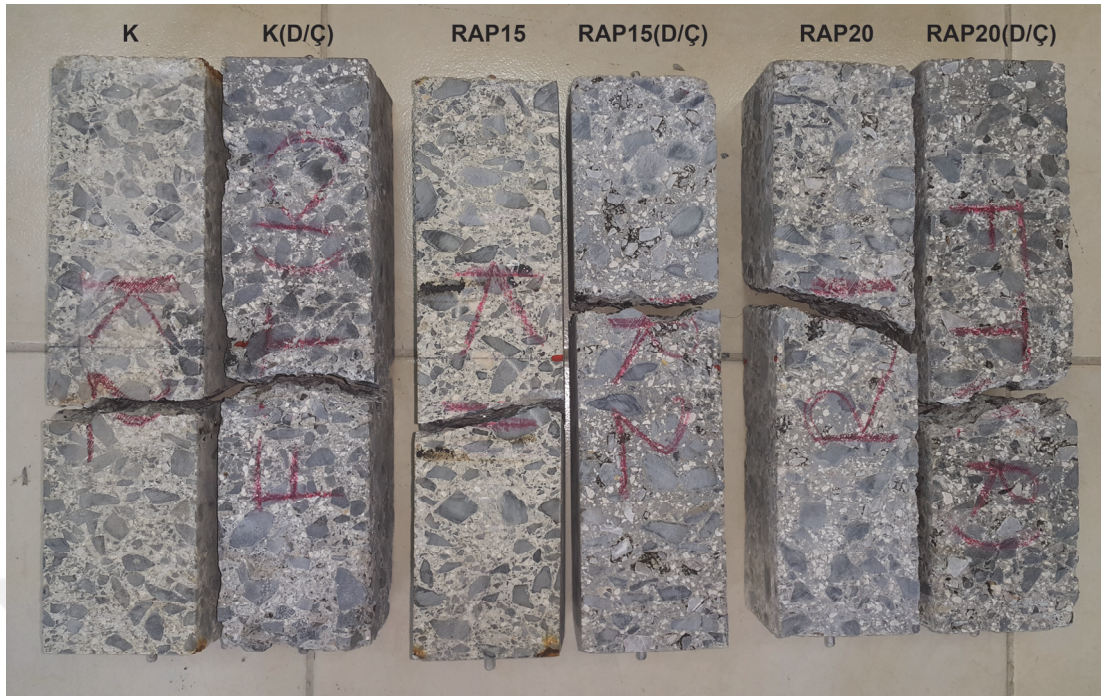
Şekil 2.20. MTS-793 yükleme çerçevesi

Prizmatik örneklere ait test sonuçları Tablo 2.17'de verilmiştir. Tabloda, donma/çözülme etkilerine maruz kaldıkten sonra test edilen numunelere "D/Ç" kodu eklenmiştir.

Tablo 2.17. Eğilme deneyi test sonuçları

Karışım Tipi	Ağırlık (kg)	Max. Yük (kN)	Max. Yükteki Sehim (mm)	Eğilme Dayanımı (MPa)	300 Döngü Sonunda Eğilme Dayanımındaki Azalma (%)
K	4,057	16,72	0,032	9,34	6,9
K(D/Ç)	3,914	15,57	0,021	8,69	
RAP15	3,786	10,46	0,037	5,84	22,4
RAP15(D/Ç)	3,701	8,11	0,031	4,53	
RAP20	3,749	7,13	0,045	3,98	17,6
RAP20(D/Ç)	3,786	5,88	0,029	3,28	

Donma/çözülme olayının eğilme dayanımı üzerindeki etkisi incelendiğinde, eğilme dayanımı için K karışımılarında yaklaşık %7, RAP içerikli karışımlarda ise %17-22 düzeyinde bir azaltıcı etki saptanmıştır (Tablo 2.17). Numunelerin deney sonrasındaki görüntüleri Şekil 2.21'de gösterilmektedir.



Şekil 2.21. Numunelerin eğilme deneyinden sonrakı görüntüleri

2.5. RAP İçerikli SSB Yolun Yapısal ve Ekonomik Analizi

Bu bölümde, karışım içeriğinde RAP kullanılması durumunda ekonomik ve yapısal kayıpların göz ardı edilip edilmeyeceği, farklı zemin koşullarında bir yolun yapısal tasarımı çerçevesinde incelenmiştir.

SSB yolların yapısal tasarımında birtakım dizayn prosedürleri kullanılmaktadır (PCA, 1987, 2002, 2005). Bu tasarım rehberlerinde dingil yüklerinde bağlı olarak, kaplama tabakasının eğilme dayanımı ve yorulmaya dayalı birtakım amprik bağıntılar sayesinde üstyapı kalınlıkları tespit edilebilmektedir. KENPAVE, 1985'te Huang tarafından sonlu elemanlar yöntemi kullanan bir yazılım olarak geliştirilmiştir (Huang, 1993). Dingil yükleri ve zemin reaksiyonları düşey yük olarak sisteme girilerek, gerilme, şekil değiştirme ve sehim gibi parametreler hesaplanabilmektedir. Taban zemininin likit veya katı olarak tanımlanıldığı bu yazılımda, beton kaplamalar bağlı (bonded) veya bağısız (unbonded) olarak köşe, kenar ve orta yük etkileri altında analiz edilebilmektedir. Sonlu elemanlara bölünen rijit plak için, aşağıdaki veriler KENPAVE'e veri olarak girilmektedir (Huang, 1993);

- Tabaka sayısı ve yükseklikleri,
- Malzeme esneklik modülü, eğilme dayanımı ve Poisson oranları,

- Etki eden dingil yükü sayısı,
- Tekerlek konumu, yarıçapı, kuvveti ve basıncı,
- Gerilme ve şekil değiştirme değeri istenen koordinatlar,
- Performans kriterleri (yorulma, tekerlek izi, deplasman seviyesi vb.).

Packard ve Tayabji (1985) tarafından aşağıda beton plaktaki yorulmayı ifade eden eşitliklerden kritik olanının, kaplama için performans kriteri olarak seçilmesi tavsiye edilmektedir.

$$\frac{\sigma}{S_c} \geq 0,55 \text{ ise } \log N_f = 11,737 - 12,077 \left(\frac{\sigma}{S_c} \right) \quad (2.4)$$

$$0,45 < \frac{\sigma}{S_c} < 0,55 \text{ ise } N_f = \left(\frac{4,2577}{\frac{\sigma}{S_c} - 0,4325} \right)^{3,268} \quad (2.5)$$

$$\frac{\sigma}{S_c} \leq 0,45 \text{ ise } N_f = \text{sınırsız (unlimited)} \quad (2.6)$$

Burada,

N_f : Kabul edilebilir dingil yükü tekerrür sayısı

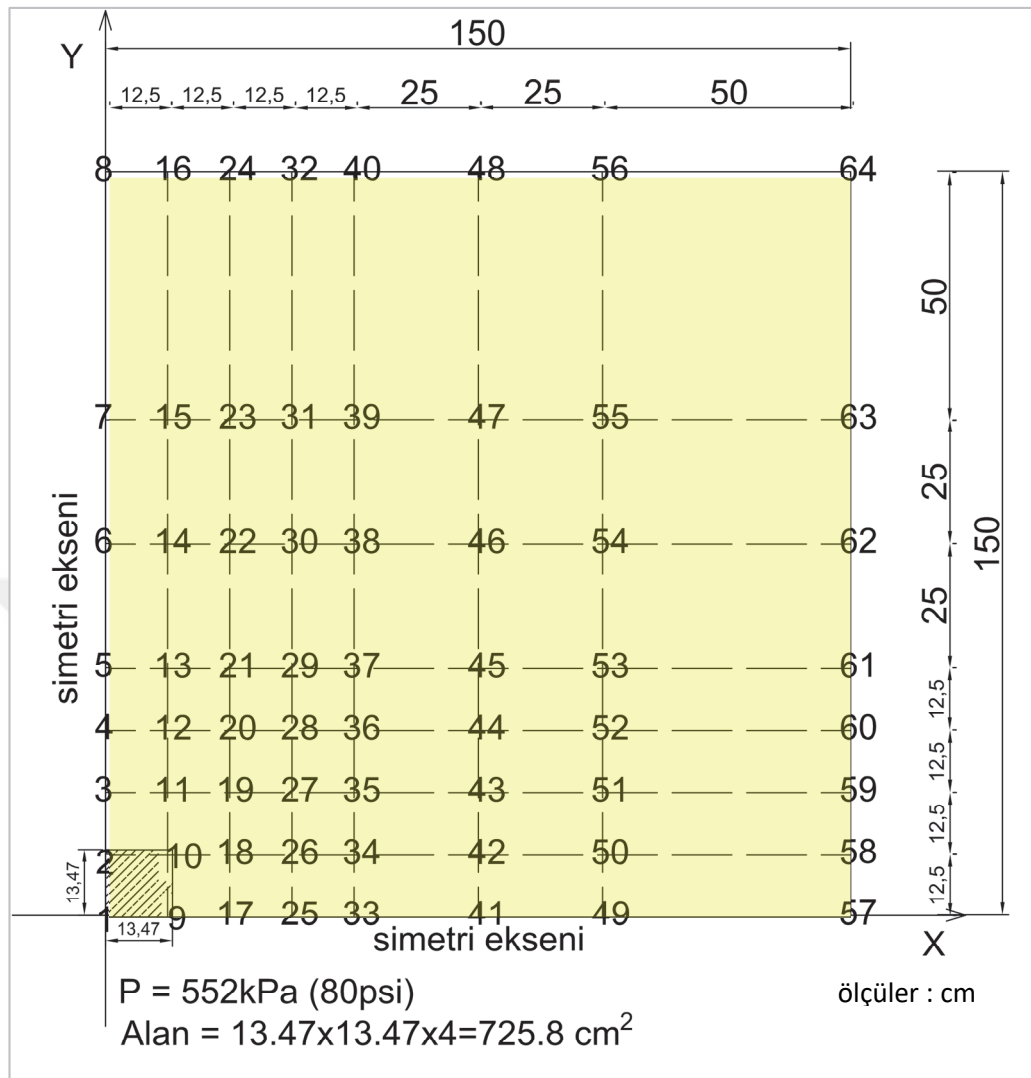
σ : Kaplamada oluşan eğilme gerilmesi (MPa)

S_c : Betonun eğilmede çekme mukavemeti (MPa)

Rijit üstyapıların tasarımında beton plak, elastik zemine oturan bir kaplama olarak düşünülür ve sonlu elemanlara bölünerek yük yoğunlukları kaplamanın tamamına dağıtilır. Kaplama kesiti bir bütün olarak sisteme aktarabileceği gibi, sadece x, y veya hem x hem y ekseni göre simetrisi alınarak da tanıtlabilir (Huang, 1993).

2.5.1. Yapısal tasarım için bir uygulama

3 x 3 m boyutundaki rijit plak, x - y ekseni simetri olacak şekilde (1,5 x 1,5 m) Şekil 2.22'de gösterildiği gibi 64 nokta ve 49 dikdörtgen elemana bölünerek KENPAVE yazılımına tanıtılmıştır.

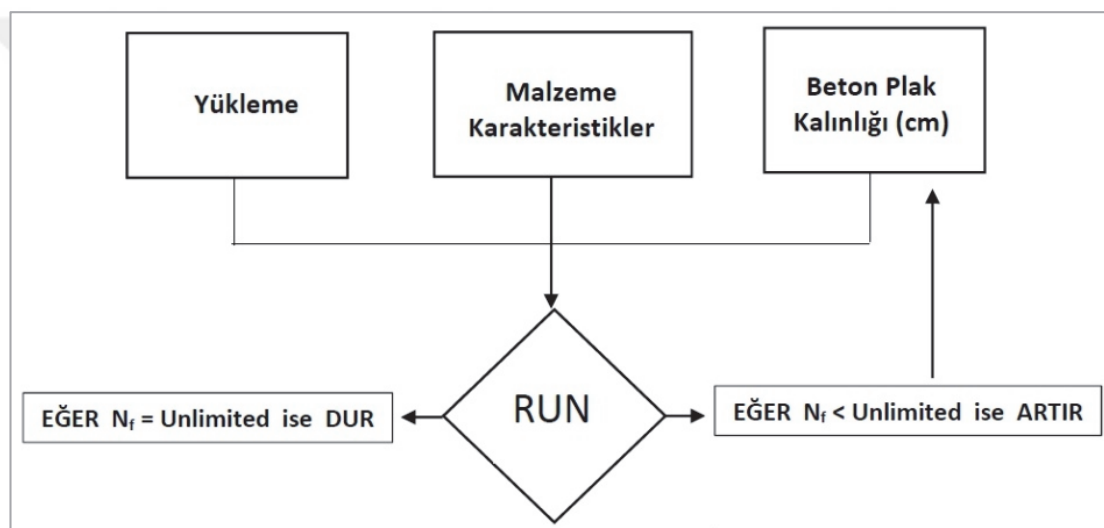


Şekil 2.22. Plak üzerindeki yük konsantrasyonu ve düğüm noktaları

Tasarımda 3 farklı zemin ihtimali göz önüne alınmıştır. Bütün zemin sınıfları için Poisson oranı sabit ve 0,4 olarak, temel Esneklik Modülü (M_R) değerleri Düşük Zemin: 34,5 MPa (5000 psi), Orta Zemin: 69 MPa (10000 psi) ve Yüksek Zemin: 138 MPa (20000 psi) olacak şekilde kabul edilmiştir. Tekerlek basıncı ve alanı, Kenis (1978)'e uygun olarak sırasıyla 552 kPa (80 psi) ve $725,8 \text{ cm}^2$ (kare şeklinde) alınmıştır. Performans kriterinde ise, kaplama üzerinde "sınırsız" bir dingil yükü tekerrürü arzu edildiğinden Denklem (2.6) esas alınmıştır. Kullanılacak veri setinde, deneysel çalışmalarda K, RAP15 ve RAP20 karşımları için tespit edilen dayanım değerleri kullanılmıştır. Giriş verisi 9 run olacak şekilde Tablo 2.18'de, izlenilecek işlem algoritması ise Şekil 2.23'te gösterilmektedir. Ek A'da 9. sıradaki kombinasyon için programın işleyışı hakkında görseller verilmiştir.

Tablo 2.18. Programa girilen bağımsız değişkenler

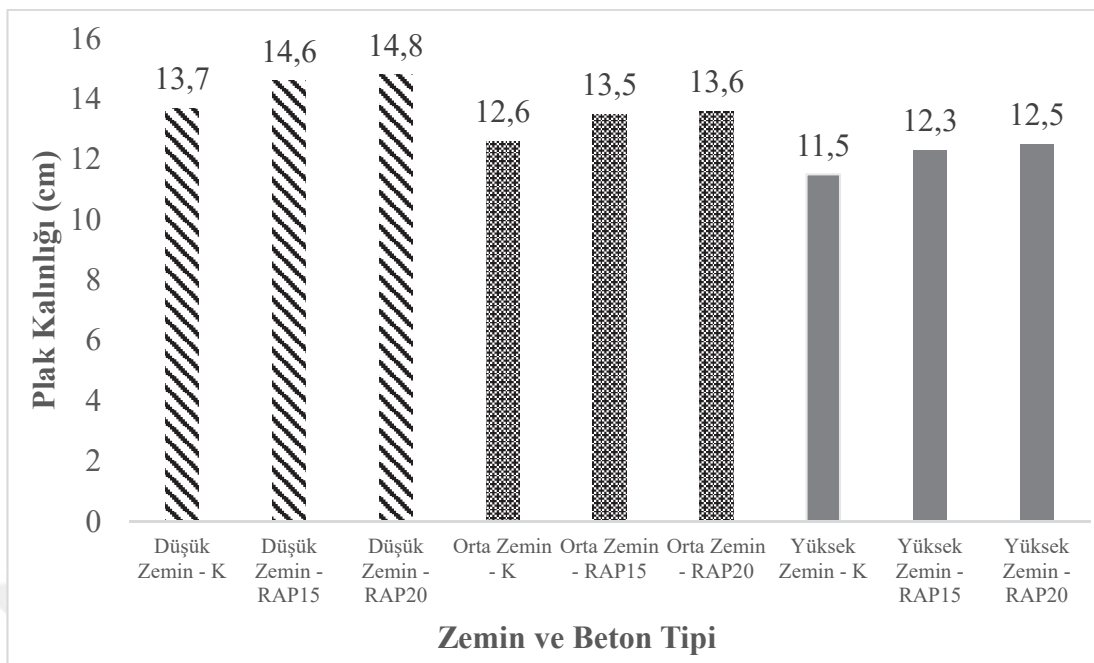
Run	Karışım Tipi	Temel Esneklik Modülü (M_R), MPa	Beton Elastisite Modülü (E_c), GPa	Poisson Oranı (ν_R), ν	Betonun Eğilmede Çekme Mukavemeti (S_c), MPa
1	K	34,5	42,1	0,202	6,30
2	K	69	42,1	0,202	6,30
3	K	138	42,1	0,202	6,30
4	RAP15	34,5	31,5	0,240	5,57
5	RAP15	69	31,5	0,240	5,57
6	RAP15	138	31,5	0,240	5,57
7	RAP20	34,5	29,2	0,240	5,41
8	RAP20	69	29,2	0,240	5,41
9	RAP20	138	29,2	0,240	5,41



Şekil 2.23. Program için kullanılan işlem algoritması

2.5.2. Analiz sonuçları

RAP15 ve RAP20 karışımımlarda beton plak kalınlığı her zemin koşulu için yaklaşık 1 cm artırıldığında servis ömrü (dingil yükü tekerrür sayısı) K karışımımlardaki gibi “sınırsız” olmaktadır. Bir başka deyişle, aynı tasarım ömrünün sağlanabilmesi için RAP15 ve RAP20 karışımımlarda beton plak kalınlığı Düşük, Orta, Yüksek dayanımlı zeminler için sırasıyla %6,6, %7,1 ve %6,9 oranında artırılmalıdır. Zemin sınıfına göre bir değerlendirme yapıldığında ise, düşük dayanımlı zemin yerine orta dayanımlı bir zemin kullanımı bütün karışımlarda beton plak kalınlığında yaklaşık 1 cm'lik bir ekonomiklik kazandırmıştır. Bu oran düşük dayanımlı zeminden yüksek dayanımlı zemine geçişte yaklaşık 2 cm düzeyindedir (Şekil 2.24).



Şekil 2.24. Farklı zeminler için beton tipine göre kaplama kalınlığı değişimi

Bu analizlere göre, K karışımlarında zemin durumu ne olursa olsun belirlenen yorulma ömrüne göre (örneğin 15 cm plak kalınlığı tespit edilirse) RAP15 ve RAP20 kullanıldığı durumda aynı yorulma ömrünün sağlanabilmesi için yaklaşık olarak 16 cm plak kalınlığı gerekli olur. Beton karışımında agrega maliyeti Türkiye şartlarında 2017 verilerine göre 20TL/ton civarındadır. İki kaplama arasında ekonomik bir değerlendirme yapıldığında, RAP kullanılması durumunda 1 km x 6,5 m yol için (1000 x 6,5 x 0,6) 3900 TL'lik bir kazanç elde edileceği anlaşılmaktadır (Tablo 2.19).

Tablo 2.19. RAP kullanılması durumunda ortaya çıkan fayda maliyet

AGREGA TİPİ	K	RAP	FAYDA & ZARAR
2No (ton/m ³)	0,540	0,540	0
1No (ton/m ³)	0,536	0,214	+ 0,322
K1 (ton/m ³)	0,522	0,522	0
K2 (ton/m ³)	0,526	0,526	0
Agrega Maliyeti (TL/ton)	20,0	20,0	0
Agrega Maliyeti (TL/m ³)	42,48	36,05	+ 6,43
1 m ² Yol Hacmi (m ³)	0,15	0,16	- 0,01
1 m ² Yol Maliyeti (TL)	6,37	5,77	+ 0,6

Deneysel çalışmalarдан edinilen bilgiler ışığında RAP içerikli SSB yol uygulaması ile ilgili aşağıdaki çıkarımlar elde edilmiştir:

SSB içeriğinde RAP'in kullanımı, ekonomik getirisinin yanında doğal kaynakların korunması, enerji ve kaynak verimliliğinin sağlanması, atık yönetimi, daha düşük karbon ve sera gazı emisyonu gibi belirgin faydalari ile yol kaplaması uygulamalarında verimliliğin artmasında etkin rol oynayabilmektedir. RAP'in istenen boyutlarda elenmesi ve nakliyesi için yol yapım otoriterleri tarafından uygun fırsat ve teşvikler sağlandığı takdirde, çeşitli saha uygulamalarının yapılabilmesi mümkün olacak ve kaplamaların uzun dönem saha performansı gözlemlenebilecektir. İşletme yetersizliği, yasal mevzuatın olmaması, şartname limitleri, RAP içeriğindeki agrega/bitüm oranındaki değişkenlik ve ülkemizde bu konuda geçmiş deneyimlerin olmaması gibi nedenler, bu malzemelerin kullanılması konusundaki handikapları oluşturmaktadır.

Çalışmanın bu bölümünde, gerekli bu şart ve yasal mevzuatlar sağlandığı takdirde, RAP'in iyi derecelendirildiği sürece daha pahalı olan doğal agreganın yerini alabilecek düzeyde iyi bir alternatif malzeme haline dönüşebileceği, dayanım / dayanıklılık testleri ve tekrarlı yükler altında yapılan mekanistik bir analiz sonucunda tespit edilmiştir.

3. TEST YOLU ÜZERİNDE LABORATUVAR VE SAHA ÇALIŞMALARININ KARŞILAŞTIRMALI ANALİZİ

3.1. Kocaeli İlinde Mevcut Durumun Tespiti

3.1.1. Konum ve nüfus dağılımı

Kocaeli ili, Marmara Bölgesi'nin Çatalca-Kocaeli Bölümü'nde, $29^{\circ} 22'$ — $30^{\circ} 21'$ doğu boylamı, $40^{\circ} 31'$ — $41^{\circ} 13'$ kuzey enlemi arasında yer alır. Doğu ve güneydoğusunda Sakarya, güneyinde Bursa illeri, batısında Yalova ili, İzmit Körfezi, Marmara Denizi ve İstanbul ili, kuzeyde de Karadeniz'le çevrilidir. İl merkezi İzmit'in doğusundan geçen 30° doğu boylamı Türkiye saatı için esas kabul edilir.

2015 yılı Adrese Dayalı Nüfus Kayıt Sistemi sonuçlarına göre nüfusu 1.780.055 olup, yıllık nüfus artış hızı binde 32,7'dir. Büyükşehir sınırlarının il mülki sınırları olarak değiştirilmesi ve 6360 ve 6447 sayılı Kanunlar uyarınca, köy tüzel kişiliğinin kalkması ve köylerin mahalleye dönüşmesi nedeniyle nüfusun tamamı şehirlerde yaşamaktadır. İlde, 1'i Büyükşehir 12'si ilçe belediyesi olmak üzere 13 belediye, 472 mahalle bulunmaktadır. 1993 yılından itibaren büyükşehir belediyesi olarak faaliyet gösteren İzmit Büyükşehir Belediyesi'nin ismi, 2004 yılında çıkarılan 5216 sayılı Kanun ile Kocaeli Büyükşehir Belediyesi olarak değiştirilmiş ve aynı Kanun ile KBB'nin sınırları il mülki sınırı olarak kabul edilmiştir (KBB, 2016).

Kocaeli, 1/50000 ölçekli Çevre Düzeni Planı araştırma raporundaki arazi kullanım verilerine göre 350500 hektar alana sahiptir. Toplam alanın büyük bir bölümünü % 52'lik oranla Gebze ilçesinin kuzeyinde ve doğusunda, İzmit, Gölcük ve Karamürsel ilçelerinin güneyinde kalan orman alanları oluşturmaktadır. Bunu %29,4'lük bir oranla tarım alanları ve meralar izlemektedir. İl genelinde tarım alanları dağılımında en büyük payı 29449 ha ile Kandıra ilçesi almaktadır. Yollar için arazi kullanımı ise %1,13 seviyesindedir (Demirel, 2015).

3.1.2. İklim ve meteoroloji

İklim; Karadeniz ve Akdeniz iklimlerinin tesiri altındadır. İlde yazlar sıcak ve az yağışlı, kışlar ise yağışlı ve görece ılık geçer. Yağışlar her mevsim görülmekle birlikte düzensiz olup, kuzeyden güneye doğru inildikçe azalmaktadır ve yaz ile kış aylarında rutubet derecesi yüksektir. Yılın en soğuk ayları olan Ocak ve Şubat aylarında sıcaklıklar -5 C° 'yi geçmez. 1982-2015 yılları arasında Marmara bölgesindeki 0 C° 'nin altındaki gün sayısı analizlerine göre, ortalama yıllık donma/çözülme olayının 12 defa gerçekleştiği tespit edilmiştir (URL-2).

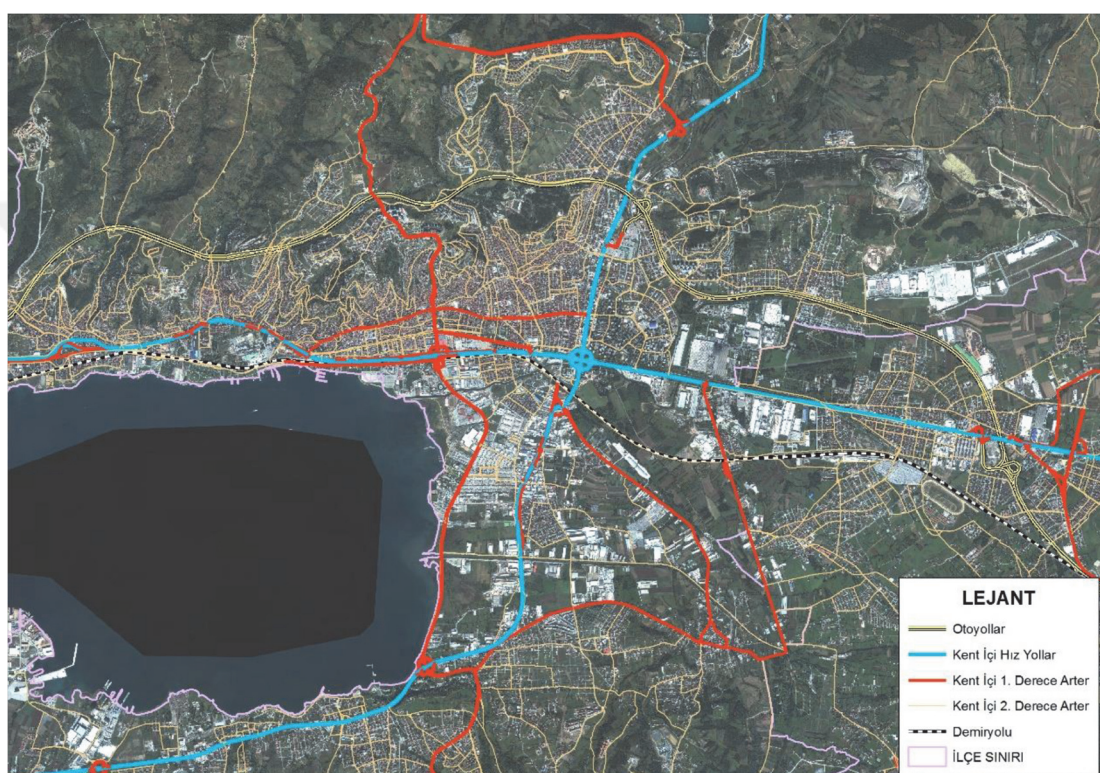
3.1.3. Trafik altyapısı

Kocaeli, İstanbul'un İç Anadolu, doğu ve güney bölgelerle bağlantısının sağlandığı önemli bir karayolu kavşak noktasıdır. Kocaeli merkez ilçesi olan İzmit, Derince, Körfez ve Gebze ilçeleri ile birleşmiş bir yapıda İzmit Körfezinin kenarında doğrusal bir kent formunda İstanbul sınırlarına kadar uzanan bir kıyı kentidir. Kent merkezi kentin güneyinde deniz kıyısını izleyen İstanbul-Ankara D-100 Karayolu ile kuzeydeki yamaçlar arasında sıkışmış bir konumdadır. Bu yamaçların daha kuzeyinden E-6 (TEM) Otoyolu geçmektedir. D-100 Karayolunun güneyinden, karayoluna paralel olarak devam eden demiryolu ise, kentin denizle bağlantısını kısıtlayan bir konumdadır. D-100 Karayoluna paralel uzanan ve kent merkezinin omurgasını oluşturan ana caddelerden İstasyon, Hürriyet, Cumhuriyet ve İnönü Caddeleri doğu-batı doğrultusunda ana damarları oluşturmaktadır (Demirel, 2015).

Kocaeli ili, 486 km'si KGM, 3334 km'si ise KBB sorumluluğunda olmak üzere toplamda 3820 km dolaylarında bir karayolu ağına sahiptir. Otoyollar, devlet yolu ve il yolları, Karayolları 17. ve 1. Bölgelerine bağlıdır. Kaplama tipi 1,6 km'lik Karamürsel kent geçişindeki beton yolun dışında asfalt kaplamadır. Yol sınıfına göre karayolu dağılımı Tablo 3.1'de, toplam ulaşım ağına ait genel bir görünüm ise Şekil 3.1'de verilmektedir.

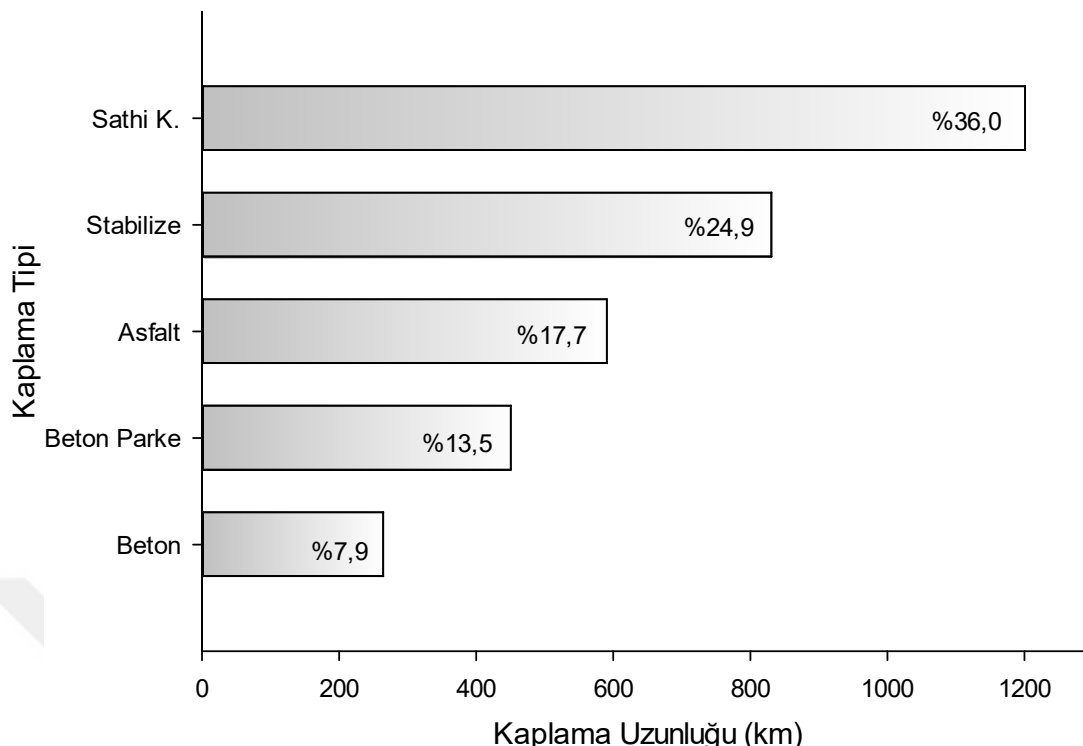
Tablo 3.1. Kocaeli ili karayolu ulaşımında kaplama uzunlukları

KGM Sorumluluğundaki Yollar	Asfalt Yol (km)	Sathi Kaplama (km)	Beton Yol (km)	Stabilize Yol (km)	Parke Yol (km)	Bölünmüş Yol Oranı (%)
Devlet Yolu	231	-	-	-	-	55,7
İl Yolu	140	-	1,6	-	-	12,2
Otoyol	115	-	-	-	-	100
Genel Toplam	486	-	1,6	-	-	53,5



Şekil 3.1. Kocaeli ili karayolu ve demiryolu ağı genel görünüm (Demirel, 2015)

KBB sorumluluğunda ise 2016 verilerine göre toplamda 3334 km'lik bir karayolu ağı bulunmaktadır. Kaplama tipine göre dağılımı Şekil 3.2'de verilmektedir. Asfalt kaplamalı yol ağı % 17,7 iken beton kaplamalı yol ağı %7,9 düzeyindedir (KBB, 2010-2016).



Şekil 3.2. KBB sorumluluğundaki yol ağının kaplama tipine göre değişimi (KBB, 2010-2016)

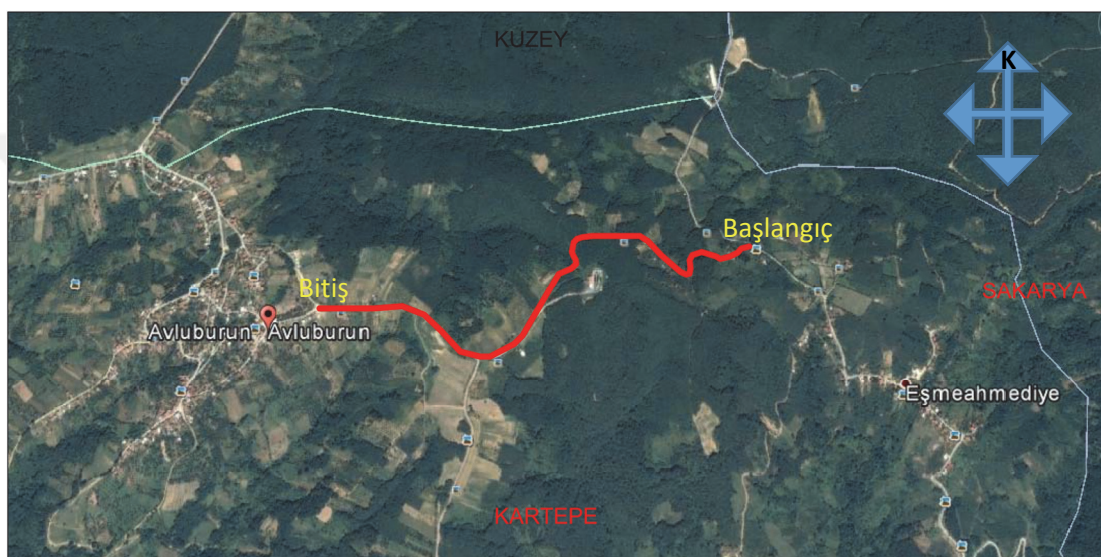
Beton kaplamalı yol imalatlarının ilerleyen dönemlerde sathi kaplamalı yol güzergâhlarında kullanılacağı, bu sayede iki kaplama tipi arasındaki bu farkın da zamanla azalacağı beklenmektedir (Abut ve Cankaya, 2016).

Dolayısıyla SSB test yolunun yapılmasıından sonraki süreçte, bu test yolundan alınacak mühendislik verileri ve olacak mali tabloların değerlendirilmesi hem Kocaeli kenti, hem de Türkiye için önem taşımaktadır. Bu vesileyle Kocaeli İlinde yol yapımı süreçlerinde yaşam döngüsü maliyet analizlerinin yapılarak kaplama tipleri arasındaki mukayeseler ile ekonomik faydaların ortaya konması hedeflenmiştir.

Ayrıca, test yolunun yapılması ile SSB karışıntılarında literatürdeki saha ve laboratuvar çalışmalarının mukayesesine katkı sağlanabilecektir. Aynı zamanda, mevsim döngüleri sonucunda gelişen ıslanma-kuruma, soğuma-ısınma, donma-çözülme gibi reel etkilerin sebep olabileceği muhtemel zararlar, kaplama üzerinde eş zamanlı olarak gözlemlenebilecek, bu sayede ilerleyen zamanlarda gerçek zamanlı bakım ve onarım stratejilerinin geliştirilmesine imkân sağlanacaktır.

3.2. Test Yolu İçin Güzergâh Seçimi

Kocaeli İli, Kartepesi'nde Avluburun - Eşmeahmediye mahallelerini birbirine bağlayan eski sathi kaplama yol gövdesi üzerine inşa edilen SSB yolun plan görüntüsü Şekil 3.3'te verilmektedir (Başlangıç, Enlem: 40°46'26,9"K - Boylam: 30°13'37,6"D ve Bitiş, Enlem: 40°46'18,2"K - Boylam: 30°12'27,4"D). Boyuna ve enine eğimlerin sıkılıkla değiştiği platform, yoğun kar alan bir bölge üzerinde yaklaşık olarak 450 m rakımda konumlanmaktadır. Yolun boy profilini gösterir grafik Ek B'da verilmiştir.



Şekil 3.3. Yolun plan görüntüsü

3.3. Zemin Taşıma Kapasitesinin Belirlenmesi

Arazi jeolojik yapısı sert kayaçlardan oluşmaktadır ve platform gövdesinde yer yer bozulmuş sathi kaplama olmasına rağmen hizmet sağlamaktadır. 2,2 km'lik güzergâh boyunca zemin taşıma kapasitesinin belirlenmesi amacıyla CBR (California Bearing Ratio) araştırması yapılmıştır. Deneysel yollarla elde edilen %CBR değerleri Tablo 3.2'de verilmiştir.

Tablo 3.2. %CBR değerlerinin güzergâh boyunca değişimi

Sıra No	km	%CBR
1	0+000	45
2	0+200	50
3	0+400	35
4	0+600	50
5	0+800	63

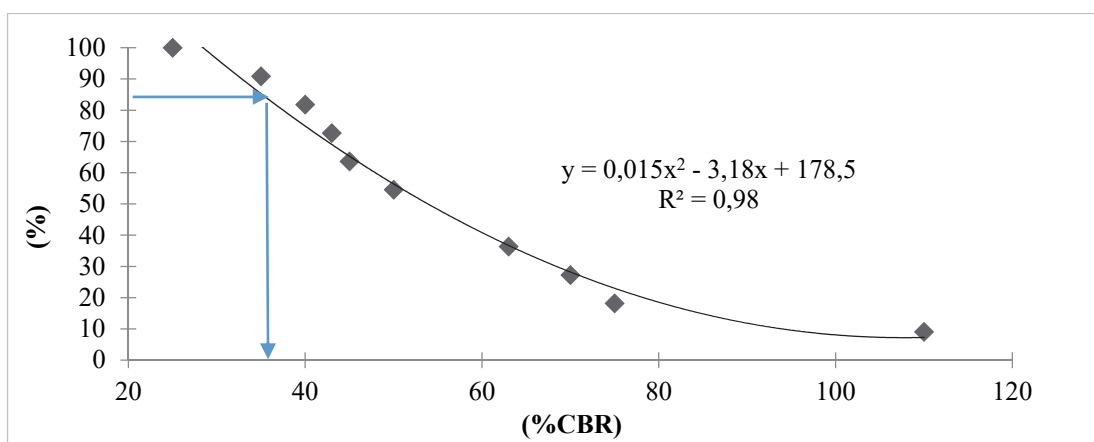
Tablo 3.2. (Devam) %CBR değerlerinin güzergâh boyunca değişimi

Sıra No	km	%CBR
6	1+000	25
7	1+200	40
8	1+400	43
9	1+600	70
10	1+800	75
11	2+000	110

Tespit edilen %CBR değerleri büyükten küçüğe doğru sıralanarak ve her birinden büyük veya eşit %CBR sayısı yüzdesi bulunarak Tablo 3.3'teki gibi bir frekans cetveli oluşturulmuştur. Frekans cetveli, Şekil 3.4'teki gibi bir grafik üzerinde gösterildikten sonra, belirlenen güvenilirlik düzeyine göre proje %CBR değeri grafik üzerinden seçilmiştir. Proje kapsamında kırsal bölgelerde yapılan düşük hacimli yollar için önerilen %85 güvenilirlik düzeyi seçilmiş ve proje %CBR değeri 35 olarak tespit edilmiştir (Şekil 3.4) (AASHTO, 1993).

Tablo 3.3. %CBR frekans tablosu

%CBR	Eşit Veya Büyük Değer Sayısı	Eşit Veya Büyük Değer %'si
110	1	9
75	2	18
70	3	27
63	4	36
50	6	55
45	7	64
43	8	73
40	9	82
35	10	91
25	11	100



Şekil 3.4. %CBR dağılımı yüzde değişimi

3.4. Yolun Yapısal Tasarımı

Hesap yönteminde elastik zemine oturan rijit plak davranışları göz önüne alınarak AASHTO (1993) Tasarım Metodu kullanılmıştır. Bu empirik metotta, Derzli Donatısız Beton Kaplama (JPCP, Jointed plain concrete pavements) kalınlığının bulunmasında AASHTO yol deneyinden yararlanılarak hazırlanan ve üstyapıya etkileyen faktörleri içeren aşağıdaki “AASHTO Deney Yolu Denklemi” kullanılmıştır.

$$\log_{10} W_{18} = Z_R S_0 + 7,35 \log_{10}(d+1) - 0,06 + \frac{\log_{10} \left[\frac{\Delta \text{PSI}}{14,5-1,5} \right]}{1 + \frac{1,624 \times 10^7}{(d+1)^{8,46}}} + (4,22 - 0,32 P_T) \log_{10} \left[\frac{S_c C_d (d^{0,75} - 1,132)}{215,63 J \left[d^{0,75} - \frac{18,42}{[E_c/k]^{0,25}} \right]} \right] \quad (3.1)$$

Burada,

W_{18} : Eşdeğer Dingil Yükü Tekerrür Sayısı (EDYTS)

d: Kaplama Kalınlığı (inc)

S_c : Beton Eğilme Dayanımı (psi)

E_c : Betonun Elastisite Modülü (psi)

k: Zemin Reaksiyon Modülü (lb/inc³)

R: Güvenilirlik (%)

Z_R : Normal Standart Sapma

S_0 : Toplam Standart Sapma

ΔPSI : Servis Yeteneği Kaybı

P_I : İlk Servis Yeteneği

P_T : Son Servis Yeteneği

C_d : Drenaj Katsayı

J: Yük Transfer Katsayı

Tasarım için aşağıdaki işlem algoritması takip edilir;

- Son servis yeteneği indeksi (P_T) seçilir,
- Trafik analiz süresi (T) seçilir,
- Proje trafiği hesaplanır,
- Betonun eğilmede çekme emniyet gerilmesi (S_c) seçilir,
- Taban zeminin reaksiyon modülü (k) belirlenir,

- P_T , T , S_c , k , ve proje trafiği değerlerine karşılık gelen beton plak kalınlığı, Denklem (3.1) yardımıyla tespit edilir.

3.4.1. Servis yeteneği

Bir üstyapının yüksek hız ve hacimdeki trafiğe hizmet edebilme yeteneğine servis yeteneği denmektedir. Servis yeteneği, servis yeteneği derecesi ile servis yeteneği indeksinin bir fonksiyonu olarak tanımlanmaktadır (AASHTO, 1993).

Servis yeteneği derecesi, karayolu mühendisliği konularında uzun süreli deneyimi olan seçme uzmanlardan oluşan bir kurulun, karayolundan yararlanan kimseler sıfatı ile yola verdikleri bireysel değerlendirmelerin ortalamasıdır. Servis yeteneği derecesi için (0) ile (5) arasında değişen bir ölçek tespit edilmiştir. Burada (5) değeri en yüksek, (0) değeri ise en düşük servis yeteneği derecesini gösterir.

Servis yeteneği indeksi, yol yüzeyinin belirli fiziksel özelliklerinin (tekerlek izi, çatlak uzunluğu, yama miktarı, boyuna geometrik düzgünlük, vb.) ölçülmesi ile elde edilen amprik bir ifadedir. Bu kavramlar sayesinde, çeşitli istatistiksel analizler yapılarak yolun farklı fiziksel özelliklerinin ölçümlü ile konfor arasındaki ilişkiyi ortaya koymak mümkün olmaktadır.

Üstyapı tasarımı için ilk ve son servis yeteneği indekslerinin seçilmesi gereklidir. İlk servis yeteneği indeksi (P_1) olup, yapımdan hemen sonra kullanıcı tarafından değerlendirilir. AASHTO deneme yolunda gözlenen (P_1) değerleri rıjît üstyapılar için 4,2 kabul edilmektedir. Otoyol, ekspres yol gibi yüksek standartlı yollarda (P_1) = 4,4 – 4,5 olarak alınabilir. Son servis yeteneği indeksi (P_T) olup, tekrar yapımdan önce veya takviye tabakası yapımından önce kabul edilebilir en düşük değerdir. Bu indeks anayollarda 3,0 – 2,5 ve düşük sınıfı yollarda 2,0 olarak alınabilir. Daha düşük sınıfı yollarda, ekonomik şartların da gerektirmesi durumunda 1,5 alınabilir (AASHTO, 1993).

Proje kapsamında, anayol sınıfı kapasiteleri göze alınarak bu indeks (P_T) = 2,5 alınmıştır.

3.4.2. Trafik

Üstyapı projelendirmesinde tabaka kalınlıklarına etki eden en önemli faktörlerden biri de kaplamaya etki eden dingil yükleridir. Projelendirmelerde kaplamaya etki eden bu yükler, 8,2 tonluk standart dingil yüklerle dönüştürülürler. Bu dönüştürme işlemlerinde Taşıt Eşdeğerlik Faktörleri (TEF) kullanılır. Tablo 3.4’te çeşitli taşıt grupları için TEF verilmiştir (Sağlık ve Güngör, 2008). Bu verilerden hareketle, bir treylerin geçişi sırasında kaplamada oluşacak olan gerilmenin, otomobile kıyasla yaklaşık 6800 kat fazla olduğu söylenebilir.

Tablo 3.4. Tavsiye edilen taşıt eşdeğerlik faktörleri (Sağlık ve Güngör, 2008)

Taşıt Grubu	Taşıt Eşdeğerlik Faktörleri (TEF)
Treyler	4,10
Kamyon	2,90
Otobüs	3,20
Orta Yüklü Ticari Taşıt	0,60
Otomobil	0,0006

Güzergâh için çeşitli taşıt kategorileri kapsamında yapılan trafik analiz ve araştırmalarına göre, 20 yıllık süre içerisinde gerçekleşmesi tahmin edilen standart dingil yükü tekerrür sayısı yaklaşık 8,6 milyon olarak tespit edilmiştir (Tablo 3.5).

Tablo 3.5. 20 yıllık dingil yükü tekerrür sayısı analizi

Yol Sınıfı	2	Şerit Sayısı (i x j)	2	Güvenilirlik (%)	85		
Son Servis Kabiliyeti (P_T)	2,5	Yön Sayısı (i)	2	Standart Normal Sapma (Z_R)	-1,037		
Hesap Şerit Faktörü (n)	0,9	Aynı Yön. Şerit Sayısı (j)	1	Toplam Standart Sapma (S_o)	0,3		
YOGT (YILLIK ORTALAMA GÜNLÜK TRAFİK)		Treyler	Kamyon	Orta Yüklü Ticari Taşıt	Otobüs	Otomobil	TOPLAM
	0	400		200	100	200	900
Trafik Artış Katsayısı r (%)	4	4		5	5	5	
İlk Trafik t_0	0	416		210	105	210	
Son Trafik $T_s = t_0 \times (1+r)^t$	0	912		557	279	557	
Proje Trafiği $T_p = 0,434(T_s - T_0)/\log(T_s/T_0)$	0	632		356	178	356	1521
Taşıt Eşdeğerlik Faktörü (TEF)	4,1	2,9		0,6	3,2	0,0006	

Tablo 3.5. (Devam) 20 yıllık dingil yükü tekerrür sayısı analizi

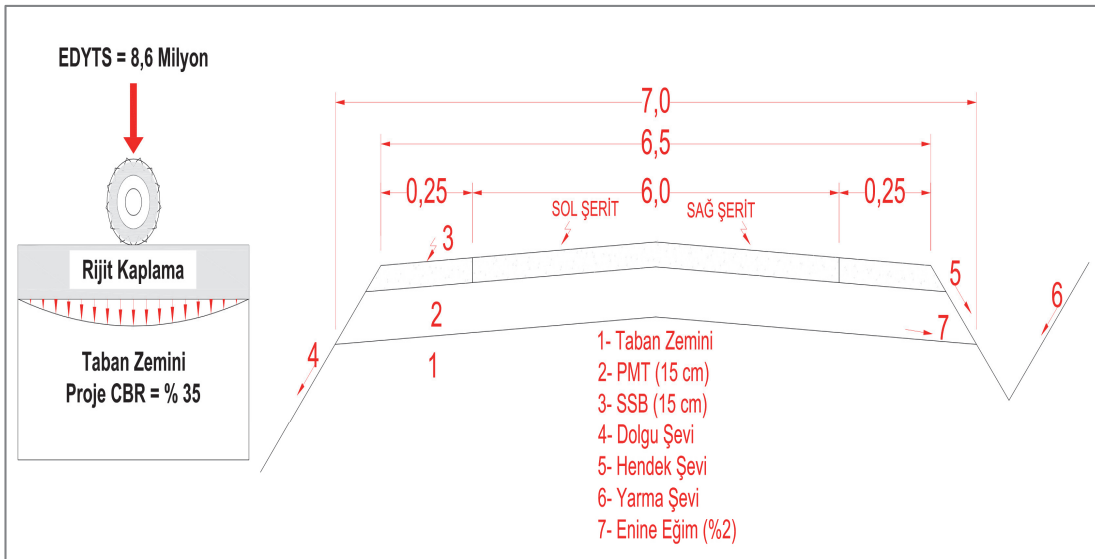
YOGT (YILLIK ORTALAMA GÜNLÜK TRAFİK)	Treyler	Kamyon	Orta Yüklü Ticari Taşıt	Otobüs	Otomobil	TOPLAM
Hesap Şeridine Düşen Günlük Ortalama Standart Dingil Yükü Tekerrür Sayısı $(W_g)=(T_p/i)x(TEF)x(n)$	0	824	96	256	0,096	1177
W_{18} : Eşdeğer Dingil Yükü Tekerrür Sayısı (EDYTS) $T_{8,2}=W_g \times 365 \times 20$				8.589.992		

3.4.3. Gerekli plak kalınlığının bulunması

AASHTO yol denklemine (Denklem (3.1)) göre plak kalınlığı 14,2 cm olarak tespit edilmiştir. Güvenli yönde kalınması amacıyla proje kesiti 15 cm olarak belirlenmiştir. Proje toplu sonuçları Tablo 3.6'da, proje en kesiti Şekil 3.5'te verilmiştir.

Tablo 3.6. Projede kullanılan veriler

PARAMETRE	DEĞER
Kaplama Kalınlığı (cm)	15,0
Proje Süresi (yıl)	20
20 yıllık Eşdeğer Dingil Yükü Tekerrür Sayısı (EDYTS)	8.600.000
Güvenilirlik (%)	85
Normal Standart Sapma (Z_R)	-1,037
Toplam Standart Sapma (S_0)	0,30
Servis Yeteneği Kaybı (ΔPSI)	1,7
İlk Servis Yeteneği (P_I)	4,2
Son Servis Yeteneği (P_T)	2,5
Drenaj Katsayısı (C_d)	1,0
Yük Transfer Katsayısı (J)	2,0



Şekil 3.5. Proje tipik en kesiti

3.5. SSB Üretimi

Hazır beton, Kocaeli ilinde Nuh Beton'un Köseköy santralinden sağlanmıştır (Şekil 3.6). Beton santralinde karışım reçetesi olarak Bölüm 2, Tablo 2.8'de 1 m^3 K karışımı için verilen agrega, su ve çimento miktarları kullanılmıştır. Arazi ve laboratuvar şartlarında reel kıyaslamaların yapılabilmesi için üretim sürecinin tamamında aynı agrega formasyonu, karışım oranları ve su/çimento düzeyinin kullanılması hedeflenmiştir.



Şekil 3.6. Beton santrali ve üretim prosesinden birkaç bölüm

18.11.2016 tarihinde yapımına başlanan SSB test yolu çalışmasının, 2016 yılı içerisinde ilk etapta 625 m'lik kısmı tamamlanmış, kış sezonu nedeniyle ara verilen kaplama imalatı 2017 Mart ayı içerisinde yaklaşık 2,2 km olarak tamamlanmıştır. 2016 yılında 4, 2017 yılında de 9 gün olmak üzere toplamda 13 gün süreyle SSB yol imalatı yapılmıştır. İmalat miktarlarının günlere göre değişimi ve gece ile gündüz hava sıcaklık farkları Tablo 3.7'de verilmiştir.

Tablo 3.7. İmalat miktarlarının günlere göre değişimi

Gün No	Uygulama Tarihi	km	Uzunluk [6,5 x 0,15 m en kesit için] (m)	SSB Hacmi (m ³)	SICAKLIK (°C)	
					En Yüksek	En Düşük
1	18.11.2016	0+120	120	119	(17)	(2)
2	20.11.2016	0+300	180	176	(16)	(3)
3	22.11.2016	0+450	150	143	(17)	(7)
4	24.11.2016	0+650	200	187	(15)	(5)
5	08.03.2017	0+780	130	132	(21)	(2)
6	11.03.2017	1+000	220	220	(10)	(7)
7	12.03.2017	1+060	60	55	(8)	(7)
8	16.03.2017	1+300	240	231	(9)	(3)
9	17.03.2017	1+360	60	68	(6)	(-1)
10	18.03.2017	1+700	340	330	(13)	(0)
11	19.03.2017	1+800	100	99	(16)	(-1)
12	20.03.2017	2+090	290	275	(16)	(3)
13	21.03.2017	2+200	110	110	(10)	(2)
TOPLAM			2200	2145		

Agrega tartımlarında doygun kuru yüzey ağırlıklar baz alınmış ve gerekli nem düzeltmeleri yapılmıştır. Karıştırma işleminin Tek Milli Mikser (Single Shaft Mixer) ile gerçekleştirildiği üretim prosesinde, SSB karışımının kuru olması nedeniyle geleneksel beton ile kıyaslandığında saatlik kapasitede %50 oranında azalma tespit edilmiştir. Bu azalmada, geleneksel betonda 30s / 2m³ (15 s/m³) olan karıştırma süresinin, SSB harmanında 50s / 1,75m³ (28,6 s/m³) ile %90 oranında artması etkili olmuştur.

Hazır beton saatte yaklaşık 50-60 m³ üretimle, 11 m³'lük sevkiyatlar halinde proje toplamında 195 sefer ve günlük ortalama 165 m³ üretim yapılarak, 21 km uzaklıktaki şantiye sahasına damperli kamyonlarla ulaştırılmıştır.

3.6. Test Yolunun Yapılması

Sonbahar ve ilkbahar aylarında hava sıcaklıklarının ortalama 13 °C'de seyretmesi nedeniyle karışımın taşınması sırasında nem kayipları gözlemlenmemiştir. Rüzgar etkisi gibi nedenlerden ötürü karışımın kurumaması için, tır dorseleri koruyucu membranla kapatılmış ve yolculuk boyunca sürekli kapalı kalması sağlanmıştır. Çift dingilli ve istihap haddi 25-30 ton olan tırlar vasıtasiyla inşaat sahasına nakledilen

malzeme, asfalt serici ile projesinde verilen kotlara göre serilmiş ve 2 farklı silindir yardımıyla sıkıştırılmıştır. Önce 11 ton ağırlığındaki vibrasyon sistemli düz çelik bandajlı silindir, hemen arkasından da tekerlek başına düşen yükü 3,5 ton olan lastik tekerlekli silindir kullanılmıştır. 6,5 m genişliğindeki beton yol gövdesi, trafiği aksatmamak adına sağ ve sol şerit olmak üzere iki fazda serilip sıkıştırılmıştır. Sıkıştırma, yol eksene paralel olarak yapılmış ve düşük kotlu kenardan başlayarak eksene doğru kayan bir şablon takip edilmiştir. Yatay kurplarda ise, kurbun içinden başlanmış ve kurbun dışına doğru devam edilmiştir. Her geçişte bir önceki geçişte sıkıştırılan kısma, silindir tambur genişliğinin %10'u kadar bindirme yapılmıştır. Aliyman kısımlarının sıkıştırılmasında ise Şekil 1.17-19'da verilen sıkıştırma paternleri kullanılmıştır. AASHTO T238 prosedürüne göre, malzemenin sıkışma derecesi ve su muhtevası günlük imalatlar bazında kontrol edilmiş olup Tablo 3.8'de verilmiştir. Titreşimli tokmak metodu ile laboratuvara daha önceden tespit edilen maksimum kuru birim ağırlığın (2402 kg/m^3) %98'i düzeyinde sıkışma sağlanmadan bir sonraki tabakaya geçilmemiştir.

Tablo 3.8. Sıkışma testi sonuçları

Gün No	Uygulama Tarihi	km	Nükleer Cihaz İle Ölçülen Yoğunluk (kg/m^3)	Laboratuvara Tespit Edilen Yoğunluk (kg/m^3)	Rölatif Sıkışma Mertebesi
1	18.11.2016	0+120	2380	2402	99,08%
2	20.11.2016	0+300	2376	2402	98,92%
3	22.11.2016	0+450	2404	2402	100,08%
4	24.11.2016	0+650	2398	2402	99,83%
5	08.03.2017	0+780	2375	2402	98,88%
6	11.03.2017	1+000	2356	2402	98,08%
7	12.03.2017	1+060	2379	2402	99,04%
8	16.03.2017	1+300	2396	2402	99,75%
9	17.03.2017	1+360	2345	2402	97,63%
10	18.03.2017	1+700	2376	2402	98,92%
11	19.03.2017	1+800	2354	2402	98,00%
12	20.03.2017	2+090	2342	2402	97,50%
13	21.03.2017	2+200	2378	2402	99,00%

İki şerit arasındaki imalatın zaman farkı ortalama 0,5-1 saat arasında değişmektedir. Yapıldan itibaren 6 saat sonra arazöz ile su kürü uygulanmış ve 5 gün boyunca kürleme devam etmiştir. Derzler ise yapıldan itibaren 1 gün sonra kesitin 1/3'ü

oranında ve 6 m aralıklarla elmas uçlu disk testere ile teşkil edilmiştir. Kaplama bir gün sonra hafif trafige açılmış ve herhangi bir segregasyon gözlemlenmemiştir. Ek C'de test yolu ile ilgili yapım süreçlerini gösterir resimler verilmiştir.

3.7. Laboratuvar Çalışmaları

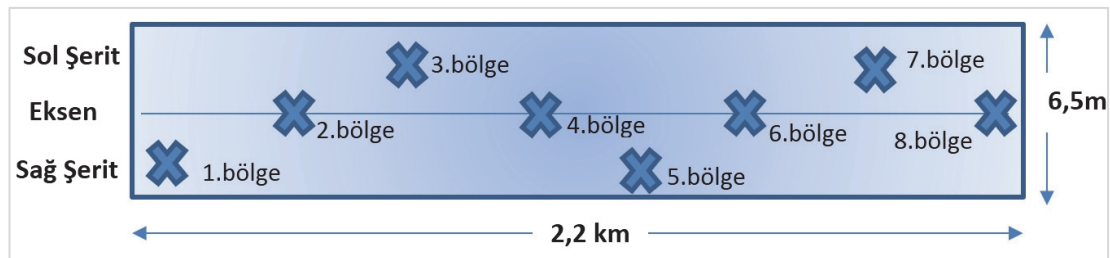
Saha ve laboratuvar gibi iki farklı ortamdan elde edilen numunelerin, mekanik ve geçirimlilik özelliklerinin karşılaştırılabilmesi amacıyla kaplama gövdesinden numuneler alınmıştır. Bu sayede serme ve sıkıştırma etkisi, kür koşulları, boyut etkisi gibi faktörlerin görece mukayesesini amaçlanmıştır. Deney planlamasındaki hedeflerden biri de, sağ ve sol şerit olmak üzere iki fazda serilip sıkıştırılan kaplamanın orta bölgesinde meydana gelen soğuk derzden dolayı mekanik özellikler üzerinde olacak olan etkilerin tespit edilmesidir.

Bu amaçla yapımı tamamlanmış kaplamadan, 28 gün sonra 90 mm çapında silindir ve bir kenarı 70 mm olan küp numuneler alınmış, deneyler için uygun geometrik koşulların sağlanması için laboratuvar tipi disk testere kullanılmıştır (Şekil 3.7).

Kaplama gövdesinde 8 bölge belirlenerek (çift sayılar eksen), Şekil 3.8'de gösterildiği gibi bir doğrultu izlenmiş ve Tablo 3.9'da verilen sıra ile deneyler gerçekleştirilmiştir. Her bölgeden 3 adet silindir, 1 adet küp numune olmak koşuluyla toplamda 24 adet silindir, 8 adet küp numune kesilerek çıkarılmıştır. Silindir numunelerde test sonuçları 3 adet numunenin ortalaması olarak verilmiştir.



Şekil 3.7. Numune alma ve deneye hazırlama



Şekil 3.8. Numune alma planlamasında belirlenmiş bölgeler

Tablo 3.9. Numune özellikleri ve uygulanan deneyler

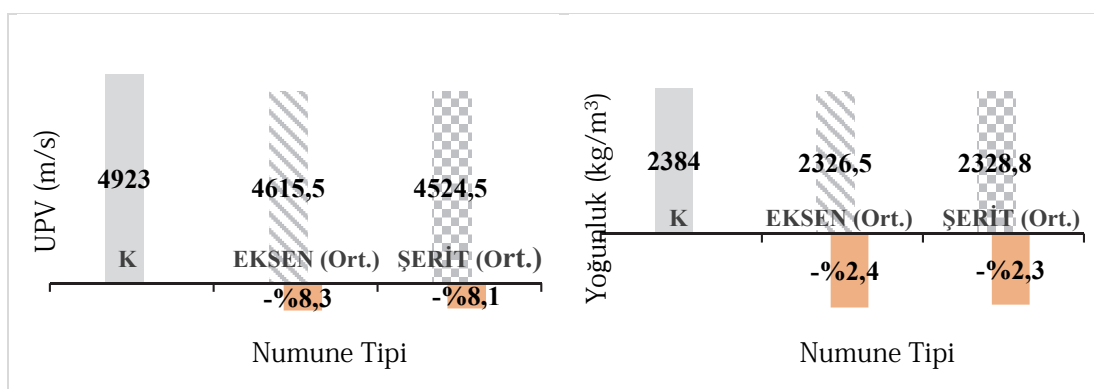
NUMUNE ÖZELLİKLERİ						UYGULANAN DENEYLER						
Bölge No	Kaplamamın Yapıldığı Tarih	km	Alındığı Yer	Tip	Boyut (mm)	UPV	Kılcallık	Yoğunluk, Su Emme ve Porozite	Başınç Deneyi	Yarmada Çekme Deneyi	Aşınma Direnci	
1	18.11.2016	0+000	Sağ Serit	Silindir	90 x 90	✓	✓	✓	✓			
			Sağ Serit	Küp	70 x 70 x 70						✓	
2	22.11.2016	0+400	Eksen	Silindir	90 x 90	✓	✓	✓	✓			
			Eksen	Küp	70 x 70 x 70						✓	
3	11.03.2017	0+800	Sol Serit	Silindir	90 x 90	✓	✓	✓	✓			
			Sol Serit	Küp	70 x 70 x 70						✓	
4	16.03.2017	1+200	Eksen	Silindir	90 x 90	✓	✓	✓	✓			
			Eksen	Küp	70 x 70 x 70						✓	
5	18.03.2017	1+400	Sağ Serit	Silindir	90 x 90	✓	✓	✓		✓		
			Sağ Serit	Küp	70 x 70 x 70						✓	
6	18.03.2017	1+600	Eksen	Silindir	90 x 90	✓	✓	✓		✓		
			Eksen	Küp	70 x 70 x 70						✓	
7	19.03.2017	1+800	Sol Serit	Silindir	90 x 90	✓	✓	✓		✓		
			Sol Serit	Küp	70 x 70 x 70						✓	
8	21.03.2017	2+200	Eksen	Silindir	90 x 90	✓	✓	✓		✓		
			Eksen	Küp	70 x 70 x 70						✓	
K	LABORATUVAR		Silindir	90 x 90	✓	✓	✓	✓				
K	LABORATUVAR		Silindir	90 x 90	✓	✓	✓			✓		
K	LABORATUVAR		Küp	70 x 70 x 70							✓	

3.7.1. Ultrasonik ses dalgası hızı

UPV değerlerinin hesaplanması silindir numunelerin karşılıklı yüzeylerinden 3 defa hız okuması yapılmış ve bu değerlerin ortalamaları alınmıştır. Dinamik Elastisite Modülü değeri için Denklem (2.2) kullanılmıştır. Test sonuçları, Tablo 3.10'da verilmektedir. UPV açısından şerit ve eksen bölgelerinden alınan numunelerde Laboratuvara üretilen numunelere kıyasla, yaklaşık olarak %8,2 oranında azaltıcı bir etki tespit edilmiştir. Burada araziden alınan örneklerin daha boşluklu bir yapıya sahip olduğu anlaşılmaktadır. Eksen ve şerit bölgelerinde ise anlamlı bir farklılık olmadığı görülmektedir. Benzer ilişki yoğunluk üzerindeki %2,3 oranındaki azaltıcı etki ile de görülmüştür (Şekil 3.9). Laboratuvar ve yapım metodolojisindeki %2'lik bu fark, kabul edilebilir bir sınır mertebe olarak değerlendirilmektedir (ACI, 2011; PCA, 2004; Harrington ve dig., 2010).

Tablo 3.10. UPV test sonuçları

No	Alındığı Yer	Boyut (mm)	UPV (m/s)	Yoğunluk (kg/m ³)	Poisson Oranı	Dinamik Elastisite Modülü (GPa)
1	Sağ Şerit	90 x 90	4543	2342	0,202	43,4
2	Eksen	90 x 90	4564	2309	0,202	43,2
3	Sol Şerit	90 x 90	4557	2360	0,202	44,0
4	Eksen	90 x 90	4502	2379	0,202	43,3
5	Sağ Şerit	90 x 90	4113	2282	0,202	34,7
6	Eksen	90 x 90	4125	2289	0,202	35,0
7	Sol Şerit	90 x 90	4885	2331	0,202	49,9
8	Eksen	90 x 90	4875	2329	0,202	49,7
K	LABORATUVAR	90 x 90	4923	2384	0,202	51,9



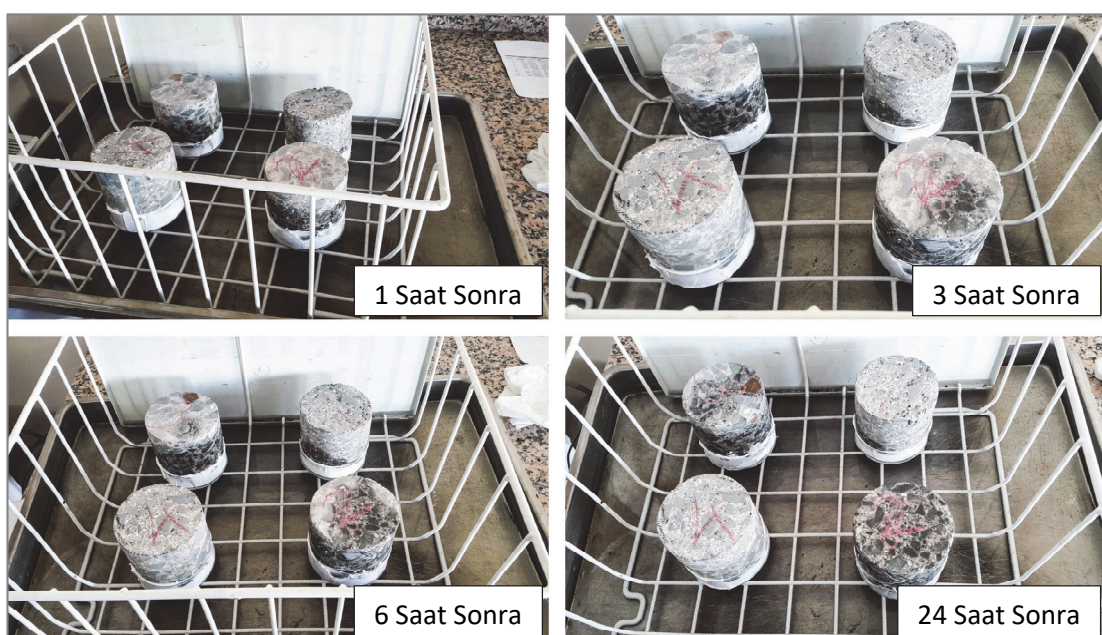
Şekil 3.9. Numunelerde UPV ve yoğunluk değişimi

3.7.2. Kılcallık (Kapilarite)

Kılcallık olayı, temas anından itibaren suyun zamanla beton içeriğindeki kılcal boşluklar vasıtasiyla iç bölgelere yayılması olarak ifade edilebilir ve bu yayılma zamanın bir fonksiyonu şeklinde ifade edilebilir. ASTM C1585 standardına göre kılcallık deneyi, 100 mm çap ve 50 mm yüksekliğinde olan silindirik numunelere uygulanmaktadır.

Silindirik örnekler uygun geometrik koşullara getirildikten sonra bir desikatörün içinde 3 gün boyunca 50 °C'lik bir etüvde bekletilmiştir. Bu periyodun sonunda, desikatörden çıkarılan numuneler 15 gün boyunca laboratuvar şartlarında (25 °C) açık havada bekletilmiştir. Numune çapı dört farklı noktadan 0,1 mm hassasiyetle ölçülerek kaydedilmiştir. Numune yan yüzeylerine sıvı geçisi olmaması için silikon uygulaması ile su yalıtımı sağlanmış ve bu aşamadan sonra ilk ağırlıklar 0,01 g hassasiyetli teraziyle belirlenerek kaydedilmiştir.

Su işleme derinliğinin zamana bağlı değişimini tespit edebilmek amacıyla, üst seviyesine kadar (yaklaşık 3 mm) 23 °C su ile dolu olan plastik ızgaralı bir tepsı kullanılmıştır (Şekil 3.10). Numuneler, su ile temas anından itibaren 1., 5., 10., 20., 30. dakika, 1., 2., 3., 4., 5., 6. saat ve 1., 2., 3., 4., 5., 6., 7., 8. günlerde tepsiden alınarak ağırlık artışları tespit edilmiştir. Periyodik tartımlar yapılırken, ızgara üzerinden alınan numunelerin alt yüzeylerindeki serbest sular kâğıt bir havlu ile kurulanmıştır.



Şekil 3.10. Su ile temas anından itibaren gelişen kılcallık olayı

Su işleme derinliğinin hesaplanması Denklem (3.2)'de verilen eşitlikten faydalanyılmıştır;

$$I = \frac{\Delta m}{a \times \rho} \quad (3.2)$$

Burada,

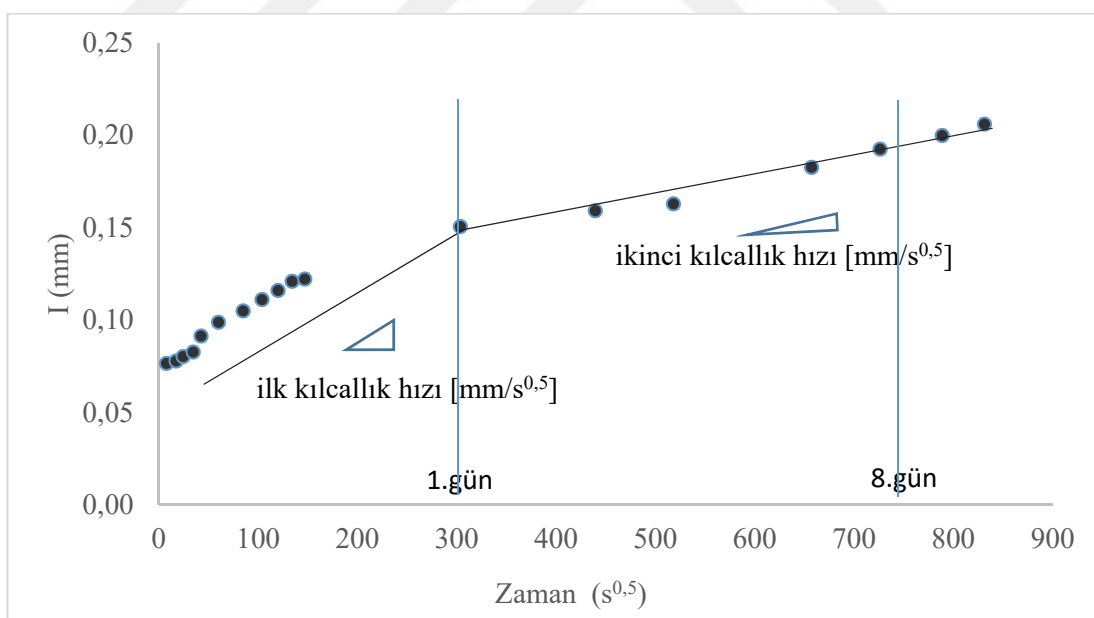
I : Su işleme derinliği (mm)

Δm : Ağırlık farkı (g)

a : Numune temas alanı (mm^2)

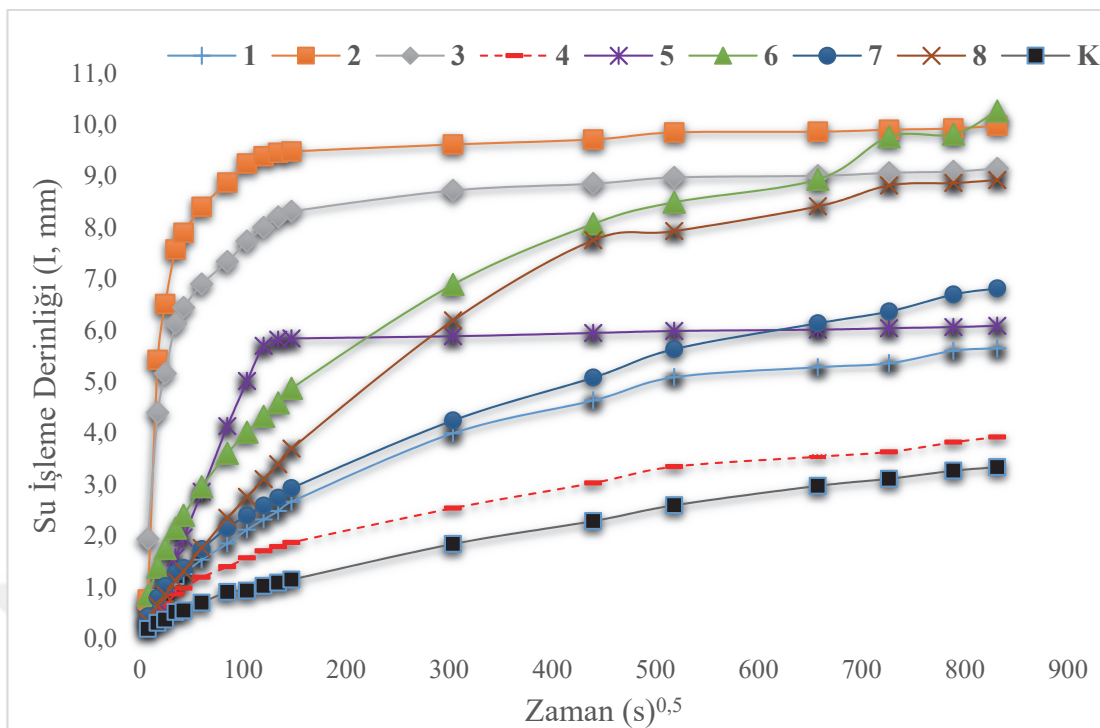
ρ : Suyun yoğunluğu (g/mm^3)

Su işleme derinliğinin zamana bağlı değişimi tipik olarak Şekil 3.11'de verilmiştir. Elde edilen bu grafik yardımıyla 1. gün sonuna kadar olan doğrunun eğimi ile ilk kılcallık hızı (initial sorptivity rate, [$\text{mm}/\text{s}^{0.5}$]) ve 1. ile 8. gün arasında kalan doğrunun eğimi ile de ikinci kılcallık hızı (secondary sorptivity rate, [$\text{mm}/\text{s}^{0.5}$]) değerleri hesaplanabilmektedir.



Şekil 3.11. Su işleme derinliğinin zamana bağlı değişimi

Kılcallık deneyinde ($s^{0.5}$) cinsinden zamana bağlı ölçülen su işleme derinliği değerleri EK D, Tablo D.1'de verilmiştir. 8 günlük su işleme derinliğinin zamana bağlı değişimi ise Şekil 3.12'de verilmektedir.

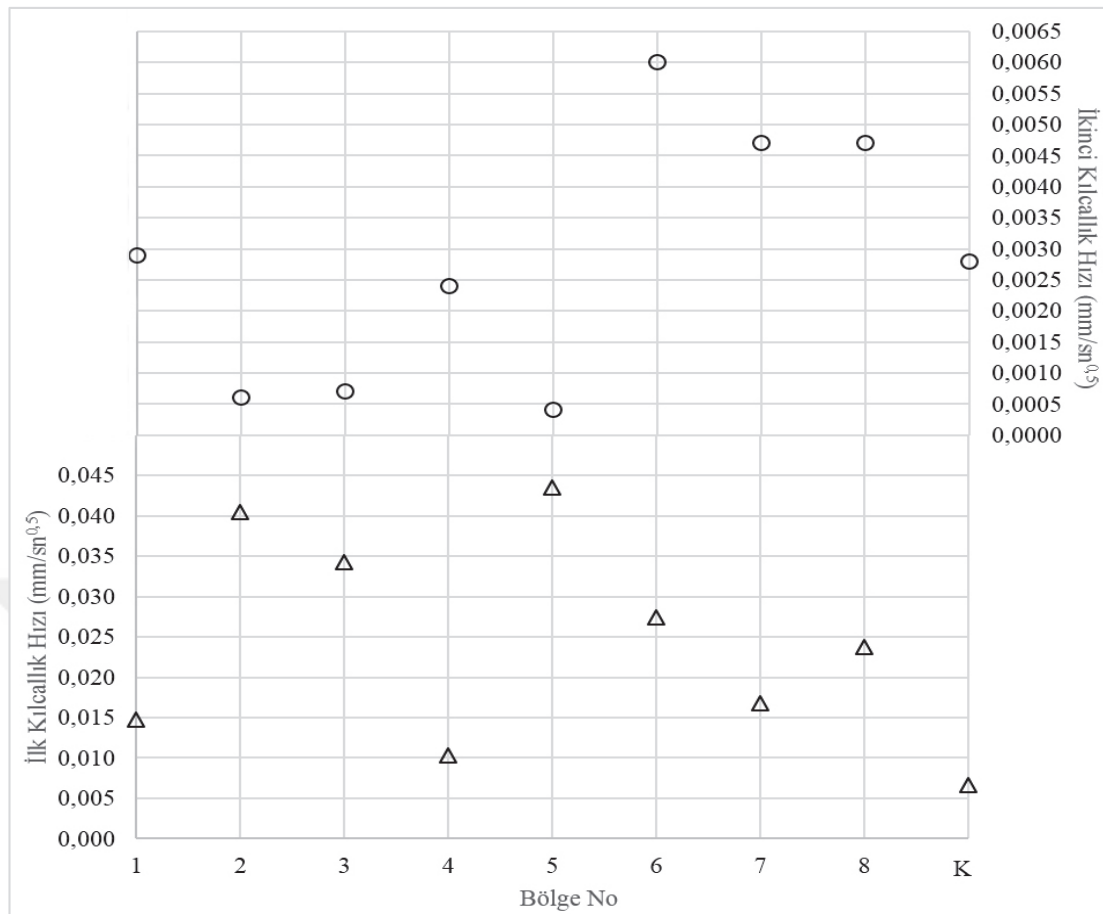


Şekil 3.12. Numunelere su işleme derinliğinin zamana bağlı değişimi

0-1 ve 1-8 günler arasında kalan doğru denklemleri kullanılarak, sırasıyla birinci ve ikinci kılcallık hızı ($mm/s^{0.5}$) değerleri hesaplanmıştır (Tablo 3.11). Tespit edilen kılcallık hızları, Şekil 3.13'te grafik şeklinde gösterilmiştir.

Tablo 3.11. Kılcallık hızı tespitinde kullanılan doğru denklemleri

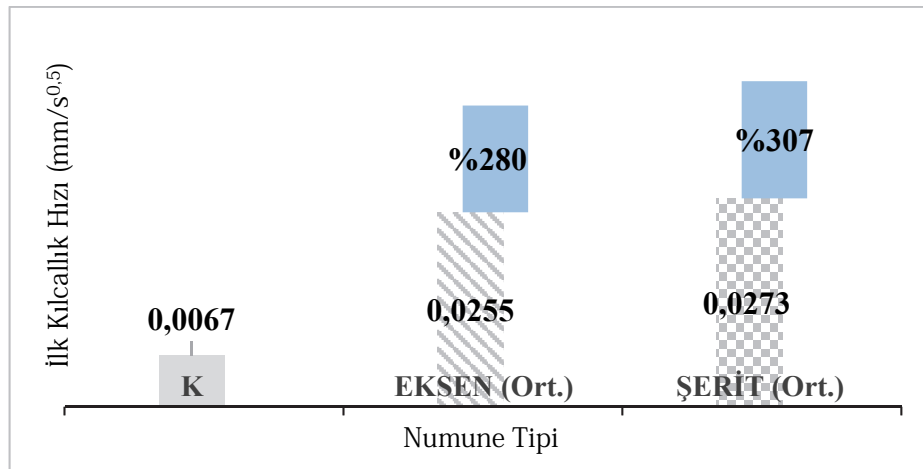
No	1. kılcallık hızı denklemi ($mm/s^{0.5}$)	2. kılcallık hızı denklemi ($mm/s^{0.5}$)
1	$y = 0,0147x + 0,5635 (R^2=0,99)$	$y = 0,0029x + 3,3007 (R^2 = 0,93)$
2	$y = 0,0405x + 4,6851 (R^2 = 0,59)$	$y = 0,0006x + 9,4493 (R^2 = 0,93)$
3	$y = 0,0342x + 4,0037 (R^2 = 0,76)$	$y = 0,0007x + 8,5277 (R^2 = 0,95)$
4	$y = 0,0103x + 0,4578 (R^2 = 0,97)$	$y = 0,0024x + 1,9183 (R^2 = 0,96)$
5	$y = 0,0435x + 0,1024 (R^2 = 0,98)$	$y = 0,0004x + 5,7858 (R^2 = 0,98)$
6	$y = 0,0274x + 1,0525 (R^2 = 0,97)$	$y = 0,006x + 5,253 (R^2 = 0,97)$
7	$y = 0,0168x + 0,5795 (R^2 = 0,97)$	$y = 0,0047x + 2,9648 (R^2 = 0,98)$
8	$y = 0,0237x + 0,2676 (R^2 = 0,99)$	$y = 0,0047x + 5,2498 (R^2 = 0,89)$
K	$y = 0,0067x + 0,2315 (R^2 = 0,97)$	$y = 0,0028x + 1,0468 (R^2 = 0,99)$



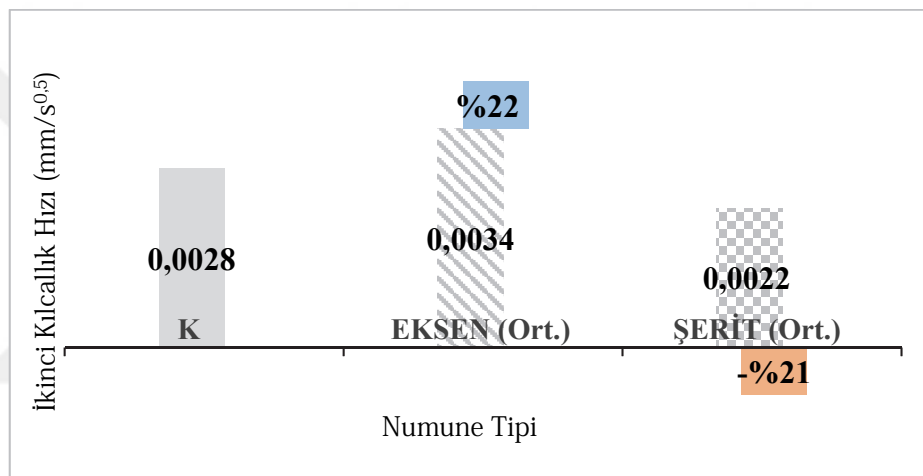
Şekil 3.13. Numunelerde kılcallık hızı değişimi

Sahadan alınan örnekler incelendiğinde, en yüksek ilk kılcallık hızı $0,0435 \text{ mm/s}^{0.5}$ ile 5 nolu numunede, en düşük ilk kılcallık hızı ise $0,0103 \text{ mm/s}^{0.5}$ ile 4 nolu numunede tespit edilmiştir. Ortalamada ise, $0,0242 \text{ mm/s}^{0.5}$ düzeyinde ilk kılcallık hızı hesaplanmıştır. İkinci kılcallık hızında ise en yüksek değer 6 nolu numunede $0,006 \text{ mm/s}^{0.5}$, en düşük değer ise 5 nolu numunede $0,0004 \text{ mm/s}^{0.5}$ düzeyinde gerçekleşmiştir. Ortalamada ise $0,0028 \text{ mm/s}^{0.5}$ düzeyinde ikinci kılcallık hızı saptanmıştır.

Laboratuvar ortamında üretilen SSB numunelerinin ilk kılcallık hızının $0,0067 \text{ mm/s}^{0.5}$ ile eksen ve şerit bölgelerinden alınan numunelere kıyasla %280-307 oranında daha düşük olduğu görülmektedir (Şekil 3.14). Numunelerdeki zamana bağlı doygunluk dereceleri arttıkça 1. gün sonundan itibaren bu seviyeler azalma eğilimine geçmiştir (Şekil 3.15).



Şekil 3.14. Numunelerde ilk kılcallık hızı değişimi



Şekil 3.15. Numunelerde ikinci kılcallık hızı değişimi

Hazaree (2007)'e göre, farklı çimento seviyeleri ile Laboratuvara üretilen SSB numunelerinde ilk kılcallık hızının $0,01\text{-}0,002 \text{ mm/s}^{0.5}$ arasında değiştiği belirlenmiş ve kompaksiyon karakteristiğine ve kür koşullarına göre bu seviyelerin değişim能力和ası bildirilmiştir. Çimento düzeyinin 300 kg/m^3 ve s/c oranının 0,60 olarak seçildiği başka bir geleneksel beton karışımında ise, ilk kılcallık hızı $0,0153 \text{ mm/s}^{0.5}$ olarak tespit edilmiş ve farklı kür koşullarının kılcallık üzerinde %300 seviyesine kadar etkisinin olabileceği bildirilmiştir (Taşdemir, 2003).

Bu çalışmalarla kıyaslandığında, Laboratuvara elde edilen SSB numunelerinin geleneksel betona göre daha düşük kılcallık özelliği gösterdiği, ancak kür koşullarının ve sıkıştırma parametrelerinin arazi koşulları ile değişmesi sonucunda sahadan elde edilen SSB numunelerinde ciddi oranlarda kılcallık artışları gözlemlenebileceği tespit edilmiştir.

3.7.3. Yoğunluk, su emme ve porozite

Yöntem sertleşmiş betonda yoğunluk, su emme ve porozitenin tespitini kapsamaktadır. Standarda göre test edilen numune hacmi 350 cm^3 'ten az olmamalıdır (ASTM C642).

Deney, sırasıyla yapılan dört ağırlık tartımından oluşmaktadır;

- 24 saat süreyle 110°C 'lik bir etüvde kurumaya bırakılan numune, bu sürecin sonunda etüvden çıkarılarak soğumaya bırakılır ve $20-25^\circ\text{C}$ 'de tartılır. İki tartım arasındaki fark $\%0,5$ 'i geçmiyorsa ise ilk tartım kaydedilir (A: Fırın Kurusu Kütle, g).
- 48 saat süreyle 21°C 'lik su içerisinde daldırılan numuneler, bu sürecin sonunda, sudan çıkarılıp temiz bir havlu ile kurulanarak ağırlıkları kaydedilir (B: Doygun Kütle, g).
- İkinci aşama tamamlandıktan sonra numuneler 5 saat boyunca kaynayan bir suda şartlandırılır. Bu sürecin sonunda kaynayan sudan çıkarılan numuneler denge sıcaklığına ($20-25^\circ\text{C}$) gelene kadar 14 saat süreyle açık havada bekletilir ve bu süreç sonunda tartılır (C: Kaynatmadan Sonraki Doygun Kütle, g).
- Numuneler su içerisinde Arşimet prensibine göre tartılarak ağırlıkları kaydedilir (D: Su İçerisindeki Kütle, g).

ρ : Suyun yoğunluğu (g/cm^3) olmak üzere,

$$\text{Doğal halde kütlece su emme; \% } [(B-A)/A] \times 100 \quad (3.3)$$

$$\text{Kaynatmadan sonraki kütlece su emme; \% } [(C-A)/A] \times 100 \quad (3.4)$$

$$\text{Kuru yoğunluk; } \text{g}/\text{cm}^3 [A/(C-D)].\rho \quad (3.5)$$

$$\text{Doygun haldeki yoğunluk; } \text{g}/\text{cm}^3 [B/(C-D)].\rho \quad (3.6)$$

$$\text{Kaynatmadan sonraki doygun yoğunluk; } \text{g}/\text{cm}^3 [C/(C-D)].\rho \quad (3.7)$$

$$\text{Zahiri yoğunluk; } \text{g}/\text{cm}^3 [A/(A-D)].\rho \quad (3.8)$$

$$\text{Porozite; \% } [(C-A)/(C-D)] \times 100 \quad (3.9)$$

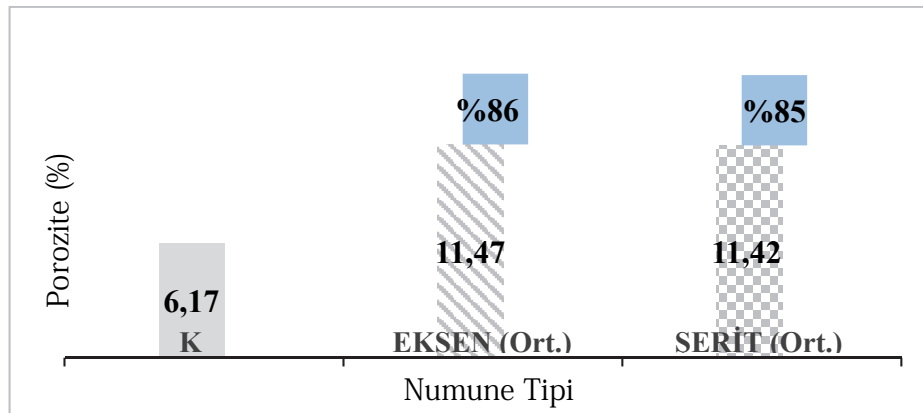
Deney sonuçları Tablo 3.12'de verilmiştir.

Tablo 3.12. Yoğunluk, su emme ve porozite deney sonuçları

No	A	B	C	D	$\frac{[(B-A)/A] \times 100}{100}$	$\frac{[(C-A)/A] \times 100}{100}$	$\frac{[A/(C-D)] \cdot p}{p}$	Kuru yoğunluk, g/cm ³	$\frac{[B/(C-D)] \cdot p}{p}$	$\frac{[C/(C-D)] \cdot p}{p}$	$\frac{[A/(A-D)] \cdot p}{p}$	$\frac{[(C-A)/(C-D)] \times 100}{100}$	Zahiri yoğunluk, g/cm ³	Porozite, %
1	1328,58	1361,80	1388,57	821,20	2,50	4,52	2,342	2,400	2,447	2,619	10,57			
2	1335,48	1386,68	1406,39	828,00	3,83	5,31	2,309	2,397	2,432	2,632	12,26			
3	1399,14	1443,33	1464,42	871,47	3,16	4,67	2,360	2,434	2,470	2,652	11,01			
4	1431,35	1463,35	1487,32	885,65	2,24	3,91	2,379	2,432	2,472	2,623	9,30			
5	1375,06	1431,06	1452,52	849,98	4,07	5,63	2,282	2,375	2,411	2,619	12,86			
6	1363,27	1411,00	1438,80	843,20	3,50	5,54	2,289	2,369	2,416	2,621	12,68			
7	1428,50	1470,87	1497,33	884,44	2,97	4,82	2,331	2,400	2,443	2,626	11,23			
8	1419,63	1465,52	1490,46	880,90	3,23	4,99	2,329	2,404	2,445	2,635	11,62			
K	1444,04	1469,03	1481,43	875,62	1,73	2,59	2,384	2,425	2,445	2,540	6,17			

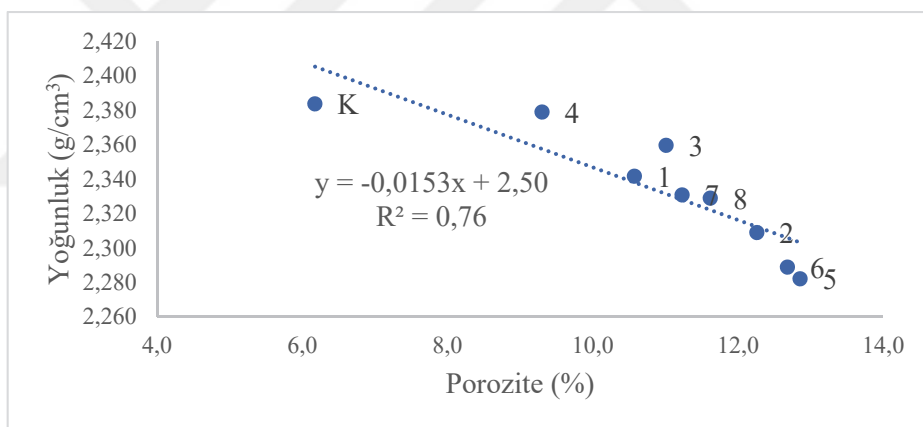
Sahadan alınan ve laboratuvara üretilen numunelerden elde edilen sonuçlar incelendiğinde, doğal halde kütlece su emme %1,73 ile %4,07 arasında, kaynatmadan sonra ise %2,59 ile %5,63 arasında değişmektedir. Numunelerin kaynayan suda şartlandırılması, geçirgen boşluklarda su işleme derinliğini %1-2 oranında artırmıştır. Sertleşmiş betonda bu seviyelerdeki su emme oranlarının durabilite açısından “iyi” sayılabilecek bir düzeyde olduğu kabul edilmektedir (<%3: Çok iyi, 3-5%: İyi, >%5: Zayıf) (CEB, 1989).

Porozitenin %6,17 ile %12,86 arasında değiştiği görülmektedir. Bu sonuçlar ile, SSB karışımılarında geçirimlilik özelliklerinin araştırıldığı diğer çalışmalarla benzer sonuçlar elde edilmiştir (Hazaree, 2007; Lopez-Uceda, 2016; Mardani-Aghabaglu ve dig., 2013). Sahadan alınan numunelerde %85-86 düzeyinde daha fazla geçirgen boşluk tespit edilmiştir (Şekil 3.16). Burada iki farklı numune gurubunda farklı sıkıştırma tekniğinin kullanılması ve tek tabakada farklı kalınlıklarda numune sıkıştırılmasının etkisi görülmektedir.

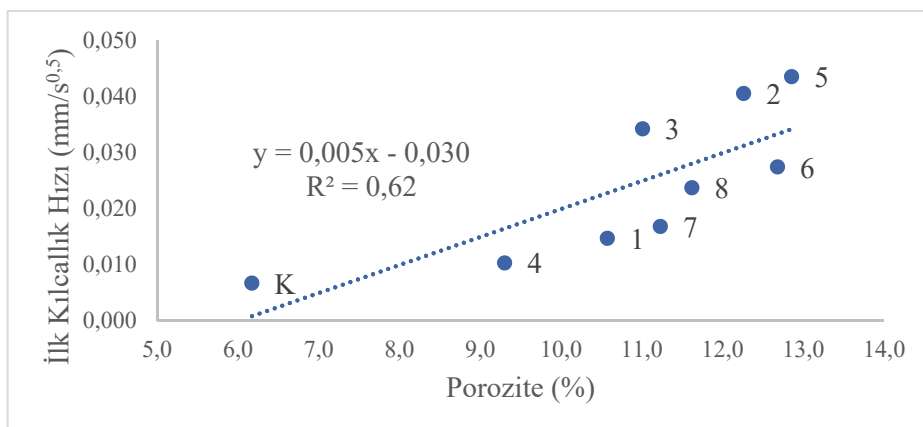


Şekil 3.16. Numunelerde porozite değişimi

Porozitenin, yoğunluk ve ilk kılcallık hızı ile olan değişimi sırasıyla Şekil 3.17 ve Şekil 3.18'de verilmiştir. Burada porozitenin artmasıyla yoğunluk düşmektedir ($R^2=0,76$), ilk kılcallık hızı ise artmaktadır ($R^2=0,62$). Geçirgen boşlukların zamanla suyla dolması süreci ile ikinci kılcallık hızında porozite ile olan bu ilişkinin kaybolduğu gözlenmiştir.

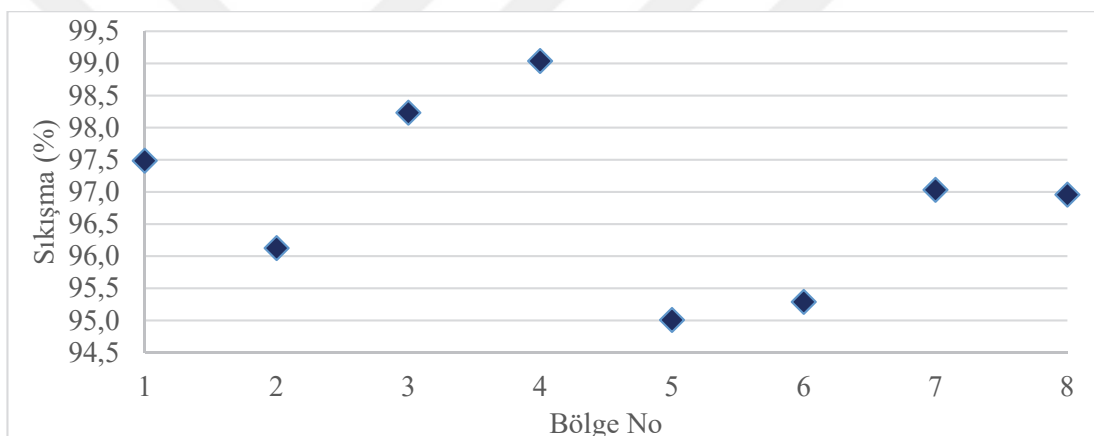


Şekil 3.17. Porozitenin yoğunluk ile değişimi



Şekil 3.18. Porozitenin ilk kılcallık hızı ile değişimi

Sahadan alınan numunelerde kuru yoğunluk ortalama $2,327 \text{ g/cm}^3$ seviyesindedir. Bölgeler düzeyinde tespit edilen yoğunlıkların Bölüm 2'de laboratuvara titreşimli tokmak ile elde edilen kuru birim ağırlığı (2402 kg/m^3) oranlanmasıyla elde edilen rölatif sıkışma düzeyleri Şekil 3.19'da verilmiştir. Üstyapı kaplamalarında yerinden kesilerek alınan karot örnekler için tek değerde % 96, ortalamada ise % 97-98 aralığında sıkışma düzeyi sağlanmasıının yeterli olabileceği belirtilmektedir (KTŞ, 2013). Şekil 3.19'a göre 5. ve 6. bölgelerde sıkışma düzeyinin %96'nın altında olduğu görülmektedir. Bu sonuçlar nükleer cihazla taze betonda yerinde sıkışma kontrollerinin sağlıklı bir şekilde tespit edilebilmesine karşın, bölgesel farklılıklar nedeniyle aynı noktayı temsil etme konusunda iki test metodunun karşılaştırılmasının her zaman mümkün olamayabileceğini göstermektedir.



Şekil 3.19. Yoğunluğa göre sıkışma yüzdesi değişimi

3.7.4. Basınç ve yarmada çekme dayanımı

Silindirik numunelere EN 12390-3'e uygun basınç dayanımı ve EN 12390-6'ya uygun yarmada çekme dayanımı testleri uygulanmıştır. Karot örneklerin yüzeyleri aşındırma kullanılarak düzeltilmiştir. Basınç dayanımının tespitinde 2000 kN, yarmada çekme dayanımının tespitinde ise 200 kN'luk test presi kullanılmıştır. Test sonuçları Şekil 3.13'te verilmektedir.

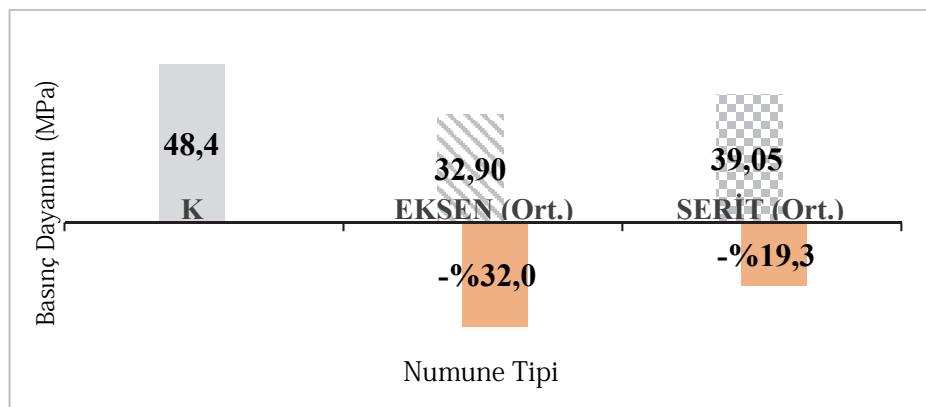
Tablo 3.13. Basınç ve yarmada çekme dayanımı sonuçları

No	Alındığı Yer	Boyut (mm)	Basınç Dayanımı (MPa)	Yarmada Çekme Dayanımı (MPa)
1	Sağ Şerit	90 x 90	38,6	-
2	Eksen	90 x 90	34,5	-
3	Sol Şerit	90 x 90	39,5	-
4	Eksen	90 x 90	31,3	-
5	Sağ Şerit	90 x 90	-	3,7
6	Eksen	90 x 90	-	3,1
7	Sol Şerit	90 x 90	-	3,9
8	Eksen	90 x 90	-	2,8
K	LABORATUVAR	90 x 90	48,4	4,2

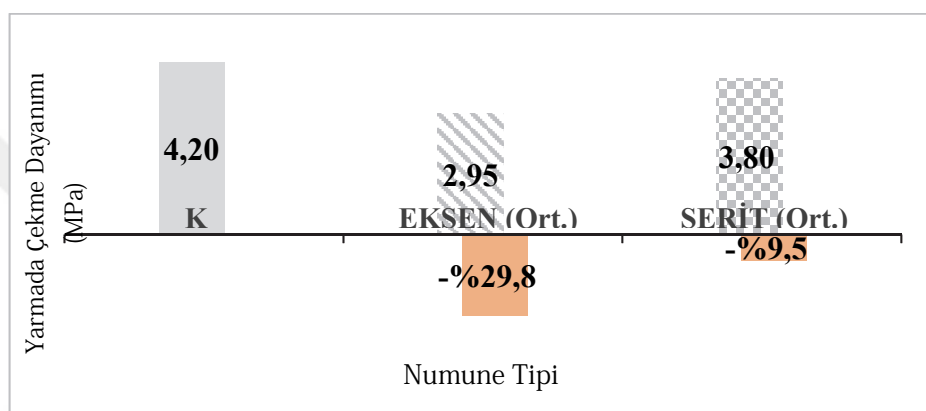
BYŞ (2016)'ya göre C30 sınıfındaki bir yol betonu için, basınç dayanımında ard arda gelen 4 numune test sonucunun 34 MPa'dan ve herhangi bir değerin de 26 MPa'dan büyük olması gerekmektedir. Yarmada çekme dayanımında ise ard arda gelen 4 numune ortalamasının 3,5 MPa'dan ve herhangi bir değerin de 2,5 MPa'dan büyük olmasının gerektiği bildirilmiştir. Kaplama gövdesinden alınan numunelerde ortalama basınç dayanımında 36 MPa (en düşük 31,3 MPa) ve ortalama yarmada çekme dayanımında 3,4 MPa (en düşük 2,8 MPa) düzeyinin tespit edilmesi ile C30 sınıfı bir beton için uygun seviyelerin elde edildiği anlaşılmaktadır.

Kaplama alınan numunelerin laboratuvara üretilen numunelerle kıyaslanması durumunda, basınç dayanımında eksen bölgelerinde %32 ve şerit bölgelerinde %19 düzeyinde azaltıcı bir etki tespit edilmiştir. Bu oran yarmada çekme dayanımında sırasıyla %30 ve %9,5 seviyesindedir (Şekil 3.20,21). SSB karışımlarında saha ve laboratuvar koşullarında hazırlanan kırış numuneleri üzerinde yapılan başka bir çalışmada bu azaltıcı etki düzeyi, %20 olarak bildirilmiştir (Şengün ve diğ.,). Test yolundan alınan numunelere ait deney sonuçlarının daha düşük olmasına, iki örnek arasında kür koşulları, sıkıştırma enerjisi, sıkıştırma tipi ve tek seferde sıkıştırılan malzeme miktarlarının farklı olmasının etkili olduğu anlaşılmaktadır.

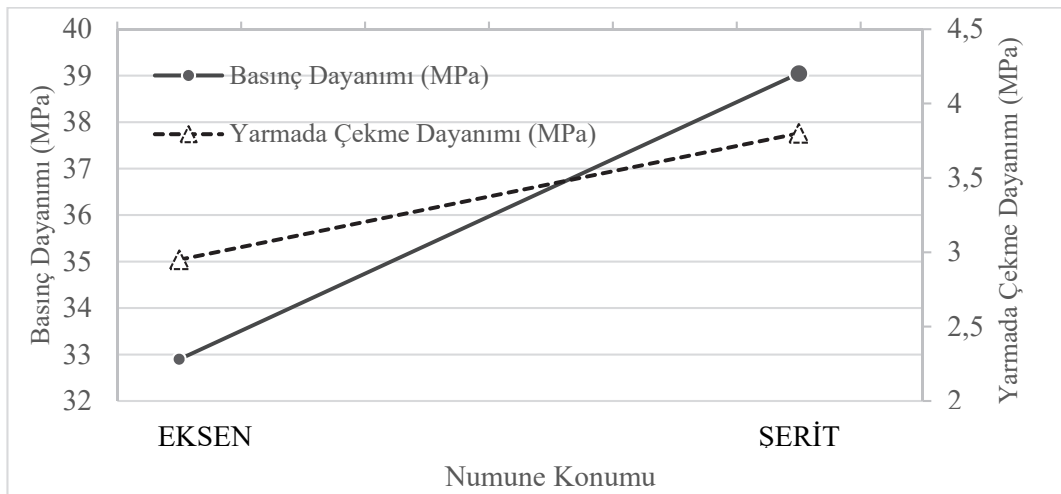
Şerit ve eksen bölgelerinde mekanik özelliklerin rölatif olarak değişimi Şekil 3.22'de gösterilmektedir. Eksen bölgelerinden alınan numunelerin dayanım mertebelerinin şerit bölgelerinden alınanlardan daha düşük olması, iki fazda yapılan şerit imalatları arasında oluşan zaman farkından dolayı meydana gelen soğuk derz ve buna dayalı yapısal süreksizliklerle açıklanabilir. Soğuk derze bağlı düşey faylanma, imalat zaman farkları ve farklı kompaksiyon enerjisinin bu duruma neden olduğu anlaşılmaktadır.



Şekil 3.20. Numunelerde basınç dayanımı değişimi



Şekil 3.21. Numunelerde yarmada çekme dayanımı değişimi



Şekil 3.22. Basınç ve çekme dayanımının numune konumuna göre değişimi

3.7.5. Aşınma direnci

Beton kaplamalarda aşınma kaybı, EN 1338 standardında Böhme cihazı yardımıyla numune hacmindeki azalma olarak tayin edilebilmektedir. Numune, $(110 \pm 5)^\circ\text{C}$ 'de

sabit kütleye kadar kurutulur ve yoğunluğu tayin edilir. Deney izine 20 g standart aşındırıcı olarak erimiş alüminyum (suni korundum) konur. Numuneye, her biri 22 dönüşten meydana gelen 16 çevrim uygulanır. 16 çevrim sonunda aşınma miktarı, numune hacmindeki azalma (ΔV) olarak aşağıda verilen eşitlik yardımıyla hesaplanır;

$$\Delta V = \frac{\Delta m}{\rho_r} \quad (3.10)$$

Burada,

ΔV : 16 çevrimden sonra hacim kaybı, (cm^3)

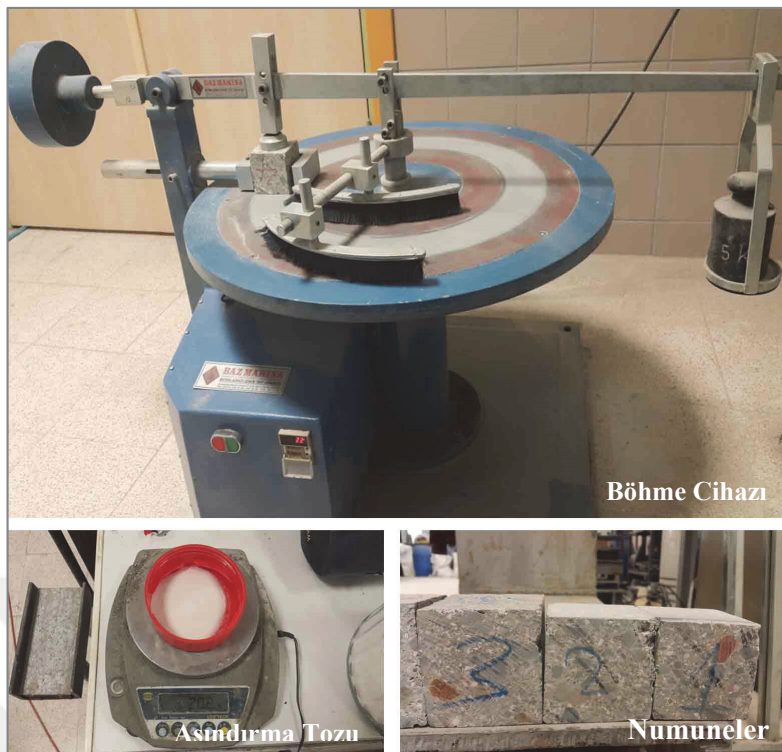
Δm : 16 çevrimden sonra kütle kaybı, (g)

ρ_r : Numunenin kuru yoğunluğu, (g/cm^3)

Test yolu gövdesinden daha önce belirlenmiş 8 bölgeden prizmatik numuneler alınmış ve disk testere ile $70 \times 70 \times 70$ mm olan deney boyutlarına getirilmiştir. Kaplama doğal yüzeyleri, aşındırma deney yüzeyi olarak seçilmiştir. Laboratuvara üretilen numuneler ise standart silindir numunelerden aynı boyutlarda kesilerek elde edilmiştir. Deneyde kullanılan Böhme cihazı, aşındırma işleminde kullanılan toz ve aşınmış haldeki numuneler Şekil 3.23'te görülmektedir.

Tablo 3.14'e göre, kaplamadan alınan numunelerde aşınan hacim miktarı 49 cm^2 'lik yüzeyde 21,60 ile $26,40 \text{ cm}^3$ arasında değişmektedir. Ortalamada $23,50 \text{ cm}^3$ olan aşınma değeri, EN 1338'de belirtilen minimum 3. Sınıf aşınmaya karşı direnç kategorisi olan 20 cm^3 değerine yakındır. Laboratuvar ortamında üretilen ve yüzeyleri kesilerek test edilen numunelerde ise 2. Sınıf aşınma direnci, $18,13 \text{ cm}^3$ ile sağlanmıştır.

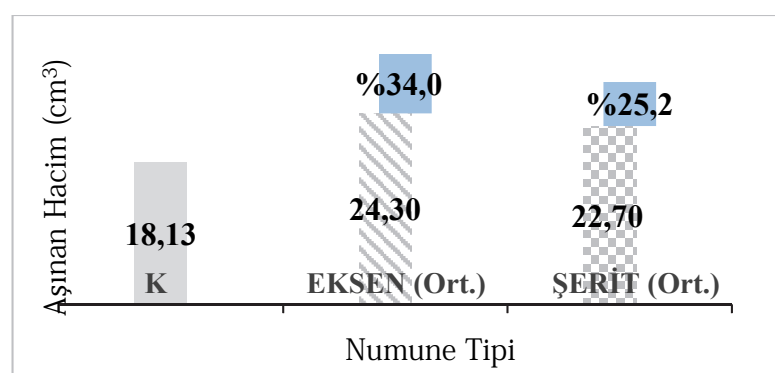
Test yolunda %25-34 arasında değişen oranlarda daha yüksek aşınma kayıplarının yaşandığı görülmektedir (Şekil 3.24). Son bitirme işlemi ve farklı kür koşullarının aşınma direnci üzerinde etkili olduğu bildirilmiştir (Fentress, 1973). Kaplamalarda arazöz ile kürleme dışında başka bir metot uygulandığı takdirde (kimyasal püskürtme, sisleme, telis bezi serme vb.), yüzeyde daha sert bir doku oluşması bu vesileyle de aşınma direncinin artabileceği anlaşılmaktadır.



Şekil 3.23. Böhme cihazı ve ekipmanları ile test numuneleri

Tablo 3.14. Böhme aşındırma deneyi sonuçları

Bölge No	İlk Ağırlık (g)	16 Çevrimden Sonraki Ağırlık (g)		Fark Ağırlık (g)	Yoğunluk (g/cm ³)	Aşınan Hacim (cm ³)
		m_1	m_2		ρ_r	
1	799,25	743,04		56,21	2,342	24,00
2	856,49	803,38		53,11	2,309	23,00
3	854,58	801,01		53,57	2,360	22,70
4	801,60	745,69		55,91	2,379	23,50
5	787,65	736,31		51,34	2,282	22,50
6	798,25	737,82		60,43	2,289	26,40
7	815,56	765,21		50,35	2,331	21,60
8	827,13	770,54		56,59	2,329	24,30
K	865,34	822,12		43,22	2,384	18,13



Şekil 3.24. Numunelerde aşınma direnci değişimi

4. YAŞAM DÖNGÜSÜ MALİYET ANALİZİ

Bu bölümde Kocaeli İli’nde ilk defa uygulaması yapılan 2,2 km’lik SSB yol için bir yaşam döngüsü maliyet analizi yapılarak, kaplama yapımı stratejilerinde tercihin asfalt yerine SSB olması durumunda ortaya çıkacak olan ekonomik göstergeler Kocaeli ili özelinde tartışılmıştır. SSB yol için 20 yıllık hizmet süresi boyunca bakım, onarım ve rehabilitasyon planlaması 30 yıllık bir analiz süresi baz alınarak yapılmış, ekonomik parametrelerin belirlenmesinde KBB’nin 5 yıllık stratejik plan ölçüğünde karayolu yapım ve onarımı için yaptığı harcamalar temel alınmıştır.

4.1. İdeal Kaplama Tipinin Seçilmesi

Kaplama tipi seçimi, otoritelerin karşılaştığı zorlu ve tartışmalı kararlardan biridir (Wathne, 2014). Bu süreç, başlangıç ve yaşam döngüsü maliyetleri kapsamında malzeme, işçilik ve uzun vadeli performans gibi mühendislik faktörlerini içermektedir. Yol yapımı ve rehabilitasyonuna yapılan önemli kamu harcamaları göz önüne alındığında, son yıllarda artan ihtiyaçlar, araç sahipliklerindeki yükselen trend ve kaynakların giderek azalması gibi nedenler, kaplama tipi seçim sürecinin öz sermayesi ve verimliliği hakkında duyulan endişeleri gün yüzüne çıkarmıştır. Vergi mükellefi olan halkın, karayolu harcamalarının tam değerini anlayabilmesini sağlamak için, mümkün olan en uygun yapım, bakım ve onarım stratejilerini içermeye çalışan bir kaplama tipi seçim sürecinin belirlenmesi önem taşımaktadır. Bu süreç, kaplama tasarımları eşdeğerliliğinin belirlenmesi, yaşam döngüsü maliyet analizi, şeffaflık ve en önemlisi üstyapı otoriteleri (beton ve asfalt yol) arasındaki sağlıklı rekabetin ortaya çıkaracağı faydalar açısından önem taşımaktadır (Wathne, 2014).

Kaplama tipi seçimi ile ilgili en eski yayınlardan biri, 1960 yılında AASHO tarafından yayımlanmıştır. "Bilgilendirici Proje Prosedürleri Rehberi" adını taşıyan bu belge, ulaşım mühendisleri ve diğer yetkililerin seçilen kaplama türleri hakkında bilinçli ve şeffaf kararlar vermelerine yardımcı olması amacıyla zamanla geliştirilmiştir.

Bu belge, eyalet karayollarının ulus sisteminin inşasına olanak sağlayan ciddi kamu yatırımlarını içermesi nedeniyle önemli sayılmıştır. Kılavuzda, kapsamlı ve gerçekçi bir değerlendirme prosedürünün geliştirilebilmesi için, bir dizi önkosuluun sağlanması gereği vurgulanmıştır (AASHO, 1960);

- Benzer trafik ve hava koşullarında karşılaştırılabilir bir hizmet sunabilmek için, rıjıt ve esnek üstyapılar için geliştirilmiş tasarım yöntemlerinin iyi analiz edilmesi,
- Kaplama türünün bakım masrafları da dahil olmak üzere güvenilir maliyet muhasebesi verilerinin mevcudiyeti,
- 1950'lerin sonunda yapılan yol testleri ile ilgili kaplama performansı ve uygulanan yüklerin daha iyi anlaşılması.

Rehberde üstyapı tasarımcılarının aşina oldukları trafik, zemin parametreleri, hava durumu, geçmiş kaplama performansı ve fayda/maliyet karşılaştırmaları gibi özellikler bulunmaktadır. Bununla birlikte, kaplama tipi seçiminde yer alan ve tasarımcıya tanındık gelmeyen bazı yabancı faktörler de vardır. Bu faktörlere, agregaların korunması, yerel malzemelerin bulunabilirliği, kaynak verimliliği, sürdürülebilirlik ve rekabet örnek olarak verilebilir. 1960 yılında AASHO Proje Yöntemleri Özel Komitesi tarafından geliştirilen faktörlerin tam listesi ise şu şekilde sıralanabilir; trafik, zemin özellikleri, hava durumu alan içerisindeki benzer kaplama performansı, ekonomi veya maliyet karşılaştırması, bitişik nizam kaplamalar, kademeli inşaat, çukurlu yüzey veya yükseltilmiş tasarım, otoyol sistemi, agregaların korunması, rekabetin teşvik edilmesi, inşaat hususları, belediye tercihi ve yerel sanayinin tanınması, trafik güvenliği, yerel malzemeler ile ticari olarak üretilen karışımaların mevcudiyeti ve adaptasyonu.

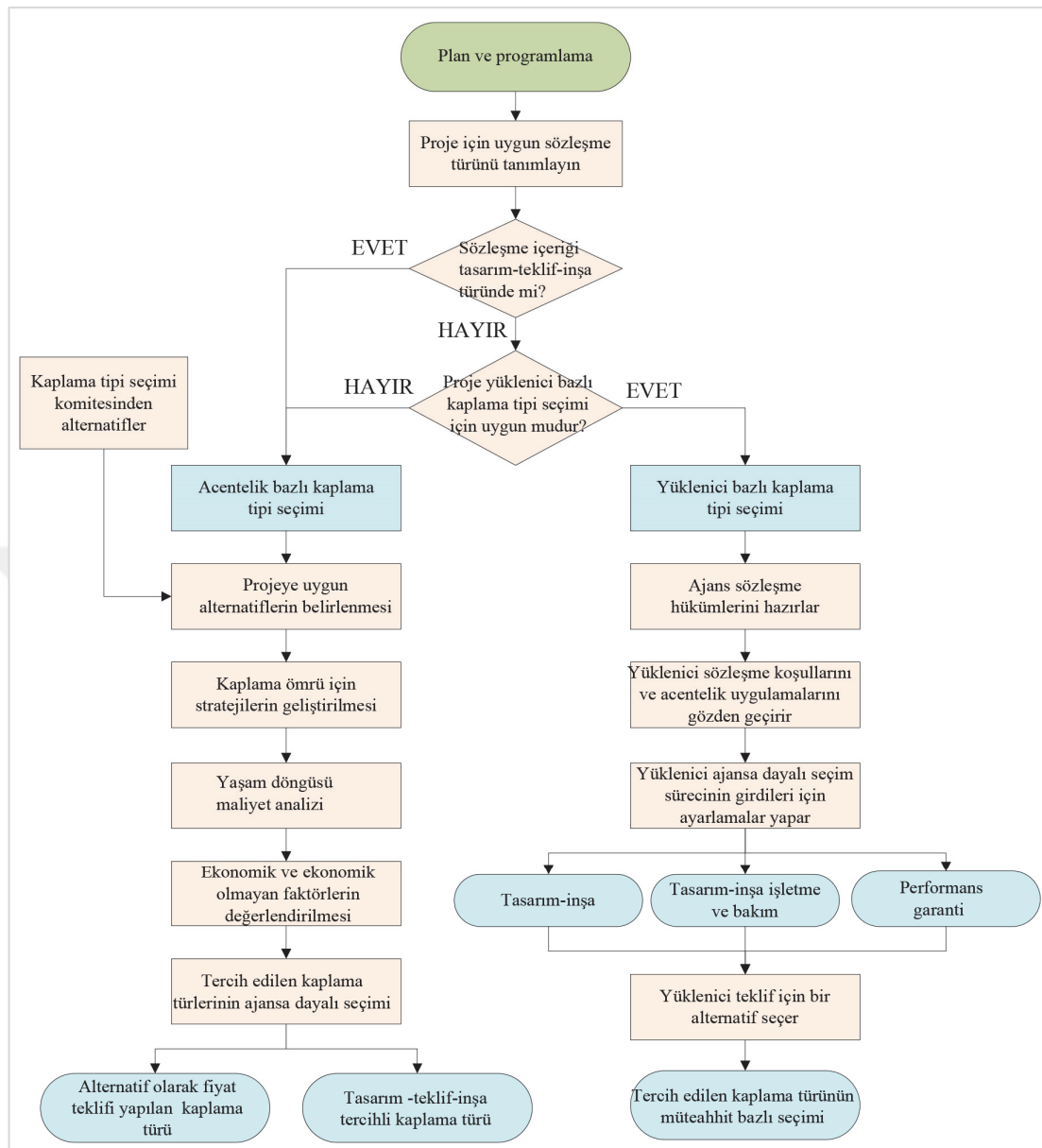
1960'da açıklanan bu faktörlerin bugün hala önemli hususlar olduğu dikkat çekici bir konudur. Bununla birlikte, bu faktörlerin birçoğunu anlama ve karakterize etmede son yıllarda önemli derecede yol kat edilmiştir. Yapısal tasarım yöntemleri, kaplama performans modellemesi ve maliyet analizi, onlarca yıllık araştırma, deney, gözlem ve optimizasyon sonucunda önemli bir şekilde gelişmiştir. Tasarım ve performans modellemesindeki gelişmelere örnek olarak AASHTOWare'nin Pavement ME Design ve ACPA'nın StreetPave yazılımı verilebilir. Maliyetlerin karşılaştırmalı analizlerinde ise, FHWA'nın RealCost yazılımı gibi araçların kullanılması büyük kolaylıklar sağlamaktadır. Bu önemli modelleme ve analitik gelişmelere rağmen, en uygun

kaplama tipi seçimi için güvenilir ve anlamlı karşılaştırmalarının yapılmasında zorluklar halen devam etmektedir (Wathne, 2014).

2011 yılında Ulaştırma Araştırma Kurulu, Ulusal Otoyol Araştırmaları İşbirliği Programı (NCHRP) Project 10-75 kapsamında Kaplama Tipi Seçim Kılavuzu'nu yayımlamıştır (TRB, 2011). Bu doküman, otoyol accentelerinin kaplama tipi seçim politikaları ve süreçlerini geliştirmek için kullanabilecekleri kapsamlı bir prosedür seti sunmaktadır. Projenin en büyük amacı, hem yol kullanıcıları hem de mükellefler için uzun vadede maksimum faydayı sağlayabilmektir. Belgede ekonomik göstergeler, mühendislik ve çevresel faktörlerin dikkatli ve rasyonel olarak ele alınması gerektiği belirtilmektedir. Rehberin ana teması, büyük ölçüde AASHO (1960) belgesinde sunulan yönetim faktörlerinin listesine dayanmaktadır. Kaplama tipi seçim süreci TRB (2011) çalışma bulgularına dayanarak aşağıdaki bileşenleri içermelidir;

Kaplama tipi alternatiflerin tespiti için dikkate alınması gereken resmi süreç, hem işletmeci hem de yüklenici personeli içermeli ve şeffaf olmalıdır. Yaşam döngüsü maliyet analizi için analiz periyodu, uygun iskonto oranları ve kullanıcı maliyetlerinin yönetimi gibi faktörlerin oluşturulmasını içeren bir çerçeve içinde ele alınmalıdır.

Rehberde ekonomik faktörleri değerlendirmek için alternatif bir tarama matrisinin kullanılması istenmektedir. Eğer bu faktörlerin analizi net bir tercih unsuru değilse, eşdeğer performans gösteren diğer projeler için alternatif tekliflerin kullanılması gerekmektedir. Karar verilen kaplama tipi ile teklif fiyatı arasında önemli bir sürenin geçtiği durumlarda, koşulların ve maliyetlerin kayda değer bir şekilde değişmediğinden emin olmak için seçilen kaplama tipi tekrar gözden geçirilmelidir. Ekonomik değeri en üst düzeye çıkarmak için rekabeti teşvik eden ve yenilikçi yaklaşımlar içeren başka alternatifler de düşünülmelidir. Kaplama tipi seçim sürecini gösteren basitleştirilmiş bir akış şeması Şekil 4.1'de verilmiştir.



Şekil 4.1. Kaplama tipi seçimi için basitleştirilmiş bir diyagram (TRB, 2011)

4.1.1. Seçim komitesi

Süreç sistematik, tarafsız bir şekilde değerlendirme ve alternatif geniş bir yelpaze sunabilmek için bir araya gelmiş bir kaplama tipi seçim komitesi ile başlar. Komite, kaplama tasarımları, malzemeler, inşaat, bakım, onarım gibi hususlarda uzman üyelerden oluşur. Kaplama alternatiflerinin değerlendirilmesinde tüm nedenlerin eksiksiz bir şekilde özetlenmesi ve açıklanması gerektiğinden, bu komite faaliyetlerinde şeffaf olmalıdır.

4.1.2. Eşdeğerlik için yaşam döngüsü stratejileri

Seçim komitesi tarafından belirlenen her alternatif, aynı trafik koşulları, hizmet ömrü ve güvenilirlik için tasarlanmalıdır ve bütün parametreler yol kullanıcısına eşdeğer bir performans sunmalıdır. Her alternatifin yaşam döngüsü stratejileri, gerekli bakım ve rehabilitasyon faaliyetleri ve bunların programlanması süreçlerini içermelidir. Düşünülen alternatiflerden herhangi birinin yaşam döngüsü maliyeti, diğerlerinden % 15 daha düşükse o alternatif seçilmelidir. Değilse, ömür maliyetleri % 15'in altında olan tüm alternatiflerin teklif olarak verilmesi gereklidir ve tüm bu alternatifler maliyet eşdeğeri olarak kabul edilir (TRB, 2011).

Alternatif tekliflerin değerlendirilebilmesi için, işlemin yanlışlıkla düşük teklif sürecinin bütünlüğünden ödün vermemesi önemlidir. Bu süreçte önemli hususlar arasında, yaşam döngüsü maliyeti teklif ayarlama faktörünün dâhil edilmesi, ticari eşya fiyat ayarlamaları kullanılmasının ve eşdeğer ücret kalemi sayılabilir. Karar verildikten sonra, verilen nihai kararın proje dosyasında detaylı bir şekilde belgelendirilmesi kritik önem taşımaktadır. Bu şeffaflık perspektifi sayesinde ottoyol yetkilileri, ilerde olumsuz bir süreci denetleyebilir ve alınan önlemlerin uygunluğunu belirleyebilirler.

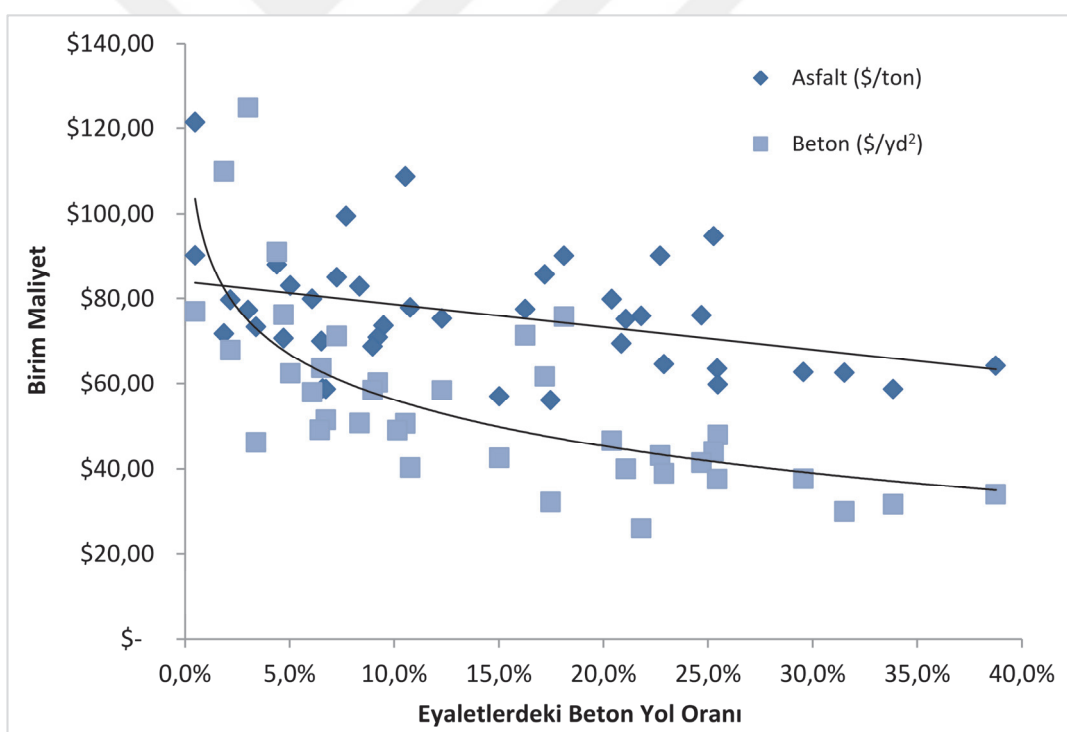
4.1.3. Rekabetin rolü

Hatırı sayılır ekonomik kısıtlamalar ve artan altyapı ihtiyaçları göz önüne alındığında, karayolu yapım şirketleri altyapı yatırımlarını daha da ileriye taşıyabilmek adına çok fazla fırsat elde edememişlerdir. Son 50 yıl içerisinde kaplama tipi seçimi için yayınlanan rehberde kabul edilen ve belgelenen yol yapım şirketleri arasındaki rekabetin sağlanması, bu konuda önemli bir katkı sağlayabilir.

Nakliye ve inşaat pazarındaki şirketler arasındaki rekabet önemlidir, çünkü maliyetleri düşürerek en yüksek yatırım getirisini sağlayabilirler. Ayrıca rekabetin olması, seyahat eden halka olan değeri daha da arttıran yenilikleri teşvik etmesi açısından da önemlidir. Dahası, farklı kaplama tipleri inşa eden yükleniciler arasındaki rekabet, sadece bir kaplama materyalinin düzenli veya münhasır olarak kullanıldığı durumlarda kamu yararına pozitif bir boyut kazandırmaktadır. Ekonominin her kesiminden (otomobil, elektronik, yazılım, inşaat vb.) tüketiciler, hem ürün geliştirmelerinden, hem de

maliyet tasarrufundan faydalananabilmek için, endüstri ve ürünler arasında rekabeti değerlendirme fırsatı yakalayabilirler.

Rekabetin yol kaplaması sektöründe geçerliliğini sorgulamak adına, Oman Systems tarafından 45 tane eyalet veri tabanından alınan otoyol acenteliği teklif maliyetlerinin kaplama tipi ile değişimi Şekil 4.2'de verilmiştir. Ortalama beş yıllık kaplama maliyeti verileri, asfalt ve beton kaplama tiplerini daha dengeli kullanan eyaletlerin, sadece asfalt kaplama kullananlara kıyasla daha iyi ekonomik göstergeler elde ettiğini göstermektedir. Yaşam döngüsü maliyet analizlerinin kullanılmasına veya en son kaplama tasarım araçlarının benimsemiş olmasına bakılmaksızın yapılan analizlerde, her iki kaplama türünün de düzenli olarak inşa edildiği eyaletlerde, nitelikli personel ile sağlıklı endüstrilerin geliştiği, inşaat kalitesinin iyileştiği ve daha düşük maliyetlerde kaplama yapımı alternatiflerinin ortaya çıktığı görülmüştür.



Şekil 4.2. Beton yol yapımının kaplama tipi maliyetine etkisi (Wathne, 2014)

Şekil 4.2'de kaplama endüstrileri arasında rekabet arttıkça, hem beton hem de asfalt kaplama için ortalama birim maliyetlerin giderek azaldığı görülmektedir. Bu rekabet, yüklenicilerin ayakta kalabilmek için mevcut bütçelerini artırmalarına, daha fazla yol yapılmasına ve ulaşım sistemlerine uzun ömürlü çözümler geliştirmelerine olanak tanımaktadır. Endüstriler arasında değişen seviyelerde ortaya çıkan rekabetin (beton

ve asfalt yol yapımı dengesinde) ortaya koyabileceğι ekonomik faydayı bulabilmek için mukayeseli birim fiyat analizleri de yapılabilir. Tablo 4.1'de mukayeseli bir fiyat analizi görülmektedir.

Tablo 4.1. Beton yol yapımının kaplama tipi maliyetine etkisi (Wathne, 2014)

Toplam Bütçe (Milyon\$)	Beton Yol Payı (%)	Asfalta Yapılan Harcama (Milyon\$)	Asfalt Birim Maliyeti (\$)	Kullanılan Asfalt Miktarı (ton)	Betona Yapılan Harcama (Milyon\$)	Beton Birim Maliyeti (\$)	Kullanılan Beton Miktarı (m ²)
200	0	200	83,88	2.384.232	--	--	--
200	5	190	81,24	2.338.829	10	66,94	124.882
200	10	180	78,59	2.290.282	20	56,13	297.879
200	15	170	75,94	2.238.558	30	49,81	503.563
200	20	160	73,29	2.182.989	40	45,32	737.909
200	25	150	70,65	2.123.255	50	41,84	999.135
200	30	140	68,00	2.058.869	60	38,99	1.286.418
200	35	130	65,35	1.989.266	70	36,59	1.599.465

Örneğin, bir eyaletin kaplama öğeleri için yılda 200 milyon dolar harcadığını ve kaplama bütçesinin %100'ünün asfalta ayrıldığını varsayıyalım. Bu seviyede, endüstriler arasında bir rekabet olmadan asfaltın ton başına yaklaşık maliyeti 83,88 \$ seviyesinde olacaktır. Böylece, 200 milyon dolarlık bütçe için yaklaşık olarak 2,4 milyon ton asfalt satın alınabilecektir. Eyaletin alternatif teklifler alarak, programlı seçim ya da başka yollarla beton kaplama kullanımını tercihi ile daha fazla rekabet başlattığını varsayıyalım. Eyalet, aynı mikardaki 200 milyon doların % 15'ini beton kaplamalara harcansa, bu rekabet asfalt ünitesini ton başına 75,94 \$ 'a düşürmeye ve m² başına 49,81 \$ beton yol yapılabilmesini mümkün kılmaktadır. Aynı 200 milyon dolarlık bütçeyle hala aynı tonaja yakın asfaltın kullanılmasının yanında, 500.000 m²'lik bir beton kaplamadan da yararlanıldığı söylenebilir. Bütçenin %30'u beton kaplama olarak düşünüldüğünde ise, asfalt birimi fiyatı ton başına 68,00 \$'a düşmeye ve yüklenici beton kaplama için m² başına 38,99 \$ ödemeyi düşünmektedir.

Şekil 4.2 ve Tablo 4.1'de sunulan örnekler halka açık olarak cereyan etmiş gerçek tekliflerden alınan veri analizlerine dayanmaktadır. Özellikle beton kaplamanın payı %20'den az olduğunda verilerde belirgin bir saçılma olduğu görülmektedir. Bu durumun oluşmasında asfalt ve beton birim fiyatlarındaki belirsizlikler, toplam teklif veren sayısı, toplam kaplama hacmi ve piyasanın büyüklüğü etkili olmuş olabilir.

Özellikle beton yol oranının % 20'den az olduğu durumlarda, beton payının birim fiyatlar üzerindeki etkisini net bir şekilde ölçebilmek için, daha derinlemesine bir analizin yapılması gerekecektir. Şartlar ne olursa olsun verilerle ilgili aşağıdaki gözlemler yapılabilir:

Asfalt ve beton için kaplama harcamalarının payı %0'dan % 35'e doğru yükseldiğinde hem asfalt hem de beton için daha düşük birim fiyatlar elde edilebilmektedir. Her iki malzemenin birim fiyatlarındaki değişkenlik, artan rekabet seviyesine bağlı olarak azalmaktadır. Daha yüksek rekabet seviyelerine sahip olan eyaletler, sürdürülebilir, istikrarlı ve öngörlülebilir bir kaplama (asfalt ve beton) yapım programına sahip olma eğilimindedir. Rekabet, bir devlet karayolu otoritesi için iyi bir ticaret uygulamasıdır. Devlet otoyolu projeleri için rekabet etmek üzere iki sağlıklı endüstriyi teşvik etmek için herhangi bir dezavantaj bulunmamaktadır.

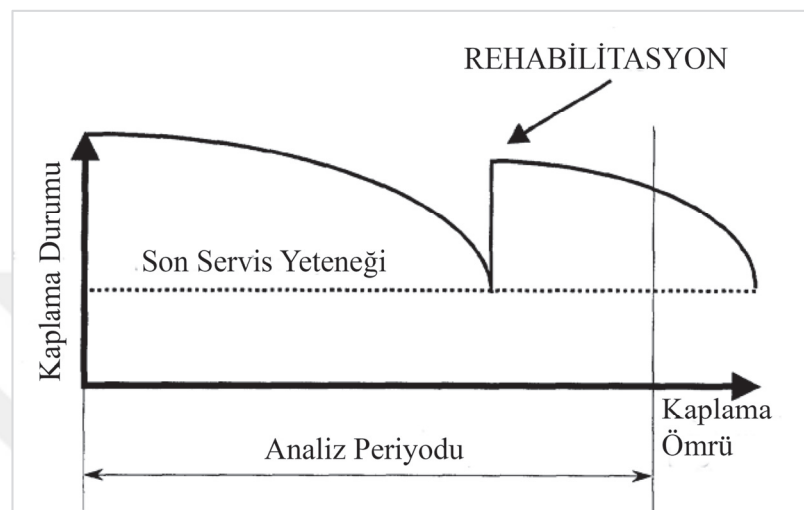
Son yarımda kaplama tipi seçimi hakkında çok şey yazılmış, bu amaçla rehberler geliştirilmiş ve politikalar belirlenmiştir. Kaplama tipi seçimi prosedürleri, trafik, yapı malzemesi, hava durumu, kaplama performansı, maliyet tahmini, sürdürülebilirlik gibi anlayış ve faktörlerin ele alındığı kapsamlı yaklaşımları içermektedir. Ancak unutulmamalıdır ki, kaplama tipi seçimi, kaplama üretiminde yer alan endüstriler arasında sağlıklı ve sürekli bir rekabet varsa anlamlı olacaktır.

Son olarak, kaplama tipi seçiminin adil ve anlamlı olabilmesi için mukayesenin şeffaf ve rekabetçi bir pazar alanı bağlamında yapılması gereklidir. Bu bağlamda ortaya çıkacak olan rekabet anlayışı, yoldan hizmet bekleyen kişilere, yol idaresine ve otoyol işletmecilerine önemli fırsatlar sunabilecektir.

4.2. Kaplama Analiz Periyodu ve Performansı

Eşdeğerlik için yaşam döngüsü stratejileri geliştirildikten sonra, her bir alternatifin yaşam döngüsü maliyeti belirlenmeli ve ardından karşılaştırılmalıdır. Burada, kaplama performansı ve analiz periyodu için gerçekçi veriler kullanılması önemlidir. Yıllık reel iskonto oranları kullanılmalı ve farklı malzemeler için enflasyon oranlarına ilişkin gerçek veya göreceli fiyat değişiklikleri göz önüne alınmalıdır.

Analiz periyodu, maliyetlerin değerlendirildiği zaman dilimini ifade etmektedir. Yaşam döngüsü maliyeti analiz periyodu, tasarım stratejileri ile ilişkili uzun vadeli maliyet farklılıklarını yansıtacak kadar yeterli ve her alternatif için en az bir rehabilitasyon faaliyeti içerecek kadar da uzun olmalıdır (Walls ve Smith, 1998). Şekil 4.3'te örnek bir kaplama tasarımlı için öngörülen analiz süresi görülmektedir.



Şekil 4.3. Bir kaplama tasarımlı için analiz süresi (Walls ve Smith, 1998)

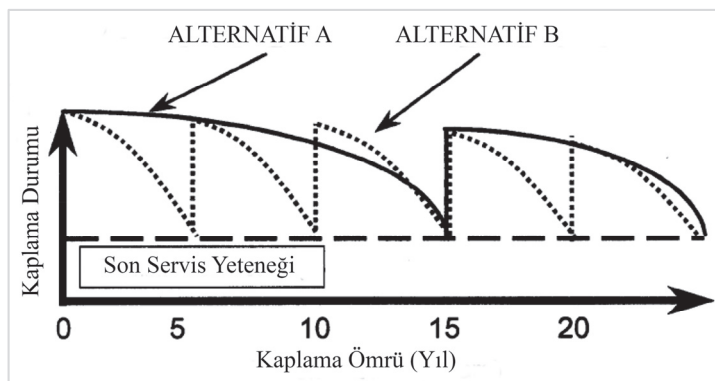
Walls ve Smith (1998)'de yayınlanmış olan nihai yaşam döngüsü maliyet analizi bildirgesine göre, rehabilitasyon ve yeniden yapım projeleri dahil olmak üzere tüm kaplama projeleri için en az 35 yıllık bir analiz periyodu önerilmektedir. Bazı rehabilitasyon alternatiflerinde, yeniden yapımı kadar belli bir süre (10 yıl) dikkate alındığında, daha kısa analiz periyodlarının uygun olabileceği belirtilmektedir. Tavsiye edilen asgari 35 yıllık analiz periyodundan sapma miktarları kısa sürelerde olmak koşuluyla, faaliyetlerin basitleştirilmesine olanak tanınmaktadır (Walls ve Smith, 1998). AASHTO (1993), kaplama tipine göre analiz periyodunun seçiminde birtakım öneriler sunmaktadır (Tablo 4.2).

Tablo 4.2. Tavsiye edilen analiz periyodları (AASHTO, 1993)

Üst yapı Tipi	Analiz Periyodu (Yıl)
Yüksek Hacimli Kent Yolları	30-50
Yüksek Hacimli Kırsal Yollar	20-50
Düşük Hacimli Kaplamalı Yollar	15-25
Düşük Hacimli Sathi Kaplamalı Yollar	10-20

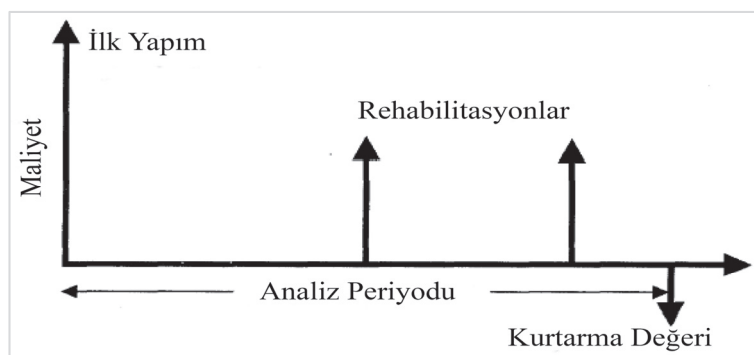
Uzun vadeli kamu projelerinde analiz periyoduna karar verilmesinde bir diğer yaklaşım, "dalgalı zaman dilimi" kullanımıdır (Ozbay ve diğ., 2003). Bu yöntemde, bugünün şartlarına göre indirgenen maliyetlerin ve kazanımların önemsiz hale gelmesi veya genişletilmiş eşigin altına düşmesi ve gerçek maliyetlerin gelecekte belirlenmesi gibi bir yol izlenir. Dolayısıyla kullanılan iskonto oranı, dalgalı zaman periyodunun kapsamını belirlemedeki en önemli faktördür. Bir tasarımcı, analiz süresinin uzunluğunun belirlenmesine ek olarak, bir başlangıç noktası olacak şekilde temel bir yıl seçmelidir (Zimmerman ve diğ., 2000). Mevcut değer analizinde temel yıl, yaşam döngüsü maliyetlerinin tamamının bir araya getirilmesi ve karşılaşılmasına amacıyla indirgendiği zamanı temsil eder. Herhangi bir temel yıl seçilebilmesine karşın, taban çizgisi; tasarım süresi, inşaatın tamamlandığı süre veya yolun açıldığı bir nokta şeklinde tanımlanabilir. Literatüre göre en gerçekçi temel maliyetler, tasarım süresi boyunca elde edilmiş bir noktadan elde edilmektedir. Çünkü gerçekçi analizler, güncel müteahhit teklifleri veya mevcut diğer yapı yaklaşıkları maliyetleri kullanılarak yapılmaktadır. Bu sayede gelecekteki maliyetlerin projeksiyonları bu yaklaşımıla genellikle daha doğru sonuçlar doğurmaktadır. Son yıllarda yapılan çalışmalarda, yaşam döngüsü sürelerinin en az 50 yıl veya daha fazla zaman dilimlerinde kabul edilmesinin makul olabileceği belirtilmiştir (Haas ve diğ., 2006).

Rehabilitasyon zamanlamaları oldukça belirsizdir ve yaşam döngüsü maliyetleri sonuçları üzerinde büyük etkiye sahiptir. Şekil 4.4, iki farklı rehabilitasyon alternatifinin performans eğrilerini göstermektedir. Alternatif A, 15 yıllık döngüde uygulanan uzun vadeli bir stratejiyi, Alternatif B ise 5 yıllık bir döngüde gerçekleşecek olan minimal müdahaleleri ifade etmektedir (Walls ve Smith, 1998). Şekilden de anlaşılacağı üzere, performans seviyeleri farklı rehabilitasyon stratejileri için değişmektedir. Kaplama performansındaki bu dalgalanma araç işletme maliyetlerinde farklılıklar yaratmaktadır. Rehabilitasyon faaliyetlerine girdi belirleme ve kaplamaların beklenen ömrünü belirleme konusunda kapsamlı araştırmalar yapılmıştır (Cross ve Parsons, 2002; Gharaibeh ve Darter, 2003). Yeniden yapılandırma ve rehabilitasyonun proje süresi, kullanıcı maliyetlerinin hesaplanmasında önemli bir faktördür (Lindley ve Clark, 2003; Lee ve diğ., 2005).



Şekil 4.4. Performans eğrileri (Walls ve Smith, 1998)

Analiz süresinin sonunda faydalı ömre sahip olan faktörlerin “bakiye” ve “kurtarma” değerleri hesaplanmalıdır (Ozbay ve dig., 2003). Kurtarma değerinin iki bileşeni vardır. Bunlardan birincisi, kaplamanın geri kazanılmasından elde edilen net değere atıfta bulunan kalıntı değeridir (salvage value) (Walls ve Smith, 1998). Diğer bileşen, bakım yapılabılır ömrü, yani analiz periyodunun sonunda servis sağlayabilen bir kaplama için kalan ömrü ifade eder. Hesaplama döneminin sonunda kalan kaplama ömründe farklılıklar varsa, analiz edilebilir عمر çözümlemede hesaba katılmalıdır. Örneğin, Alternatif A'nın kalan ömrü 10 yıl ve Alternatif B'nin ömrünün 5 yıl olması halinde, ömr devri maliyet analizi sürecinde kurtarma değerinin dikkate alınmaması, Alternatif B'nin haksız yere aleyhine sonuçlanması neden olabilir. Walls ve Smith (1998)'e göre kullanılabılır kaplama ömrünün hesabında son rehabilitasyon maliyetinin, analiz periyodunun sonunda kalan tasarrum ömrü yüzdesiyle çarpılmasıyla elde edileceği belirtilmiştir. Şekil 4.5'te tipik bir kaplama için uzun dönemde yapılan farklı rehabilitasyon maliyetleri ve analiz periyodunun sonunda kalan kurtarma değeri gösterilmektedir.



Şekil 4.5. Harcama akımı şeması (Walls ve Smith, 1998)

Bu tarz diyagramlar ilk yapım, rehabilitasyon faaliyetleri ve bazı durumlarda kurtarma değeri zamanlamalarını görselleştirmeye yardımcı olurlar. Tipik olarak maliyetler yukarı yönde, kurtarma değeri gibi fayda maliyetler ise aşağı yönde gösterilir. İskonto oranı, yaşam döngüsü maliyetinde önemli bir faktördür ve sonuçlar üzerinde önemli etkiler doğurabilmektedir. Uzun vadeli kamu yatırımlarını analiz ederken iskonto, farklı zamanlarda ortaya çıkan maliyetleri karşılaştırmada önemli bir unsurdur (Ozbay ve diğ., 2003). Zamanın parasal bir değeri olduğu için, gelecekte harcanan bir parasal değer, mevcut parasal değerden daha düşük değerdedir. Bu nedenle farklı zaman ve noktalarda karşılaşılan maliyet ve faydalar, ortak bir noktada karşılaşılan maliyet ve faydalara dönüştürülmelidir. Walls ve Smith (1998), tarihsel eğilimleri uzun süreler boyunca yansıtan bir iskonto oranının kullanılmasını önermektedir. Yönetim ve bütçe ofisleri tarafından belirlenen iskonto oranları, yol yapım otoritelerince yaygın olarak kullanılmaktadır. Araştırmacılar uzun bir süre boyunca toplanan verilerde, gerçek zamanlı paranın iskonto değerinin yaklaşık olarak %4 düzeyinde olduğunu belirtmektedirler. Birçok devlet kurumu bu tavsiyeye uymakta ve analizlerinde %4 iskonto oranının kullanılmasını şart koşmaktadır.

Yaşam döngüsü maliyetleri oluşturulduktan sonra, tercih tarama matrisi gibi bir etki faktörü oluşturulur. Böyle bir matristeki ekonomik ve ekonomik olmayan faktörlerin ayrıntılı bir tartışması TRB (2011) raporunda sunulmaktadır. Bununla birlikte, endüstri rekabetinin bu aşamada yeterince dikkate alınması ve açıklanması kritik önem taşımaktadır. Bazı durumlarda (örneğin kaplama sanayileri arasında rekabet olmadığı durumlarda) endüstriler arasında rekabetin teşvik edilmesi konusunda daha geniş ve kapsamlı bir hedef kabul edilmişse, yüklenici en düşük yaşam döngüsü maliyetine sahip olan bir alternatif seçebilir. Böyle bir durumda, yüklenicinin daha büyük finansal hedefleri yönetmesi gerekmektedir. Yüklenicilerin sektörler arası rekabetten fayda sağlayıp sağlamayacağı burada kilit bir rol üstlenmektedir. Rekabetin yeterli olduğu durumlarda en düşük yaşam döngüsü maliyeti seçenekleri, uygun alternatifler olarak düşünülür. Her ne kadar diğer ekonomik göstergelerin de göz önüne alınması gerekse de, endüstriler arasında rekabet kadar hiçbir önemi ve etkili değildir (Wathne, 2014).

4.3. Yaşam Döngüsü Maliyet Analizinin Mukayeseli Bir Değerlendirmesi

Beton yollar KGM tarafından yeterince benimsenmemiş olmasına rağmen, Belediyeler tarafından sürekli artan bir ivmeye yapılmaya devam etmektedir. Bu vesileyle hem kaplama türleri için daha reel maliyetler elde edilmiş, hem de iki endüstri arasındaki rekabet sayesinde daha verimli sonuçlar ortaya çıkmaya başlamıştır.

TÇMB (2017) tarafından, yerel belediyelerce yapılan kamu yatırımlarında SSB yolun ilk yapım maliyeti açısından kilitli parke taşı ile yaklaşık aynı maliyette (24 TL/m^2), asfalt yoldan %38 daha ekonomik ve sathi kaplamadan %44 daha pahalı bir uygulama olduğu bildirilmiştir. Bu analizlerde kaplama maliyeti mukayesesi için, her iki karışım içeriğinde agrega ortak olduğundan en önemli malzeme kaleminin bağlayıcının türü olduğu belirtilmiştir. Ham petrolün rafine edilmesi ile elde edilen bitüm, çimentoya göre uzun periyotlarda dalgalı bir mali tablo sergilemekte, bu da asfalt fiyatlarındaki değişkenliği artırmaktadır. Ülkemizde bu iki endüstri arasında rekabetin olgunlaşmaması ve görece asfalt endüstrisinin sektöré hakim olması nedeniyle kaplamalara ait uzun dönem performans özellikleri ve rehabilitasyon faaliyetlerini içerir ekonomik göstergeler yeterince tartışılamamaktadır.

Çalışmanın bu bölümünde SSB test yolu için ilk yapım maliyet analizi verildikten sonra asfalt kaplamalı yol ile mukayeseli bir değerlendirmesi yapılmış, bu sayede literatürdeki bu eksikliğe katkı sağlanması amaçlanmıştır. İskonto oranının Walls ve Smith (1998)'e uygun olarak %4 alındığı yaşam döngüsü maliyet analizlerinde, her iki kaplama için analiz periyodu AASHTO (1993)'e uygun 30 yıl ve hizmet ömrü 20 yıl olarak kabul edilmiştir. Analiz periyodu içerisinde iki kaplama türü için rutin bakım, periyodik bakım ve rehabilitasyon olmak üzere 3 kategoride bir onarım planlaması yapılmış, yapım ve onarım maliyetlerinin oluşturulmasında KGM birim fiyatları baz alınmıştır. Gelecekte yapılması planlanan onarım maliyetlerinin güncel değerlere dönüştürülmesinde Denklem (4.1), kalıntı değerinin hesaplanması ise Denklem (4.2) kullanılmıştır;

$$PW = F [1 / (1 + i)^n] \quad (4.1)$$

$$SV = C \times (RL / DL) \quad (4.2)$$

Burada,

PW : Güncel maliyet (TL)

F : Gelecekteki maliyet (TL)

i : İskonto oranı (%4)

n : Analiz başlangıcından itibaren geçen yıl

SV : Kalıntı değeri (TL)

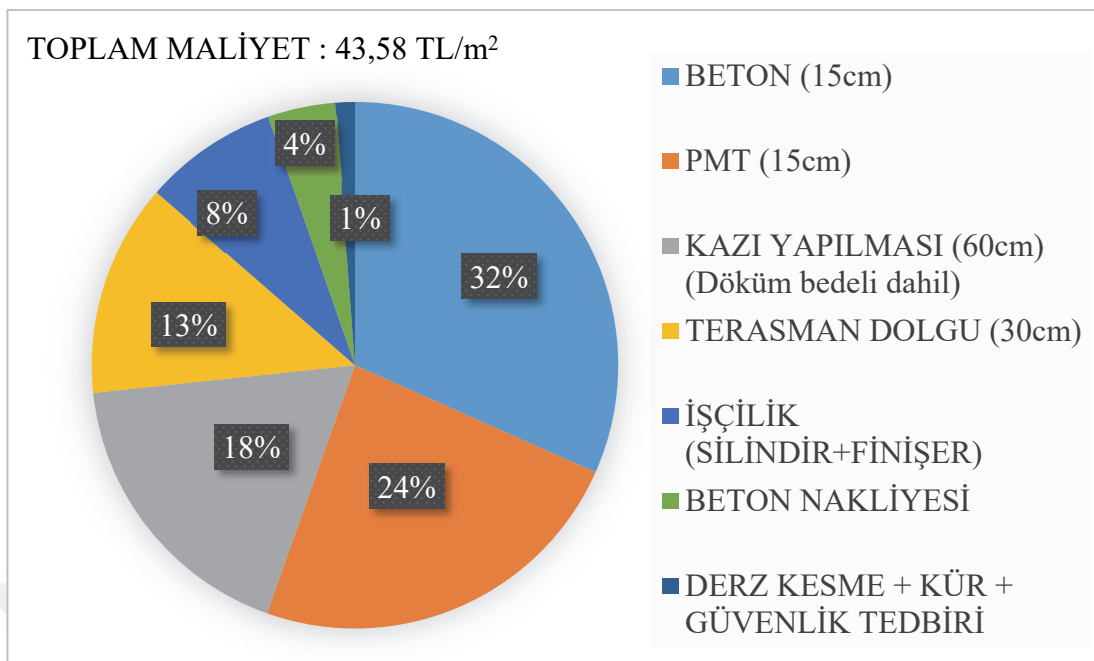
C : Son onarım maliyeti (TL)

RL : Analiz süresi sonunda kalan ömür (yıl)

DL : Son onarım faaliyeti ile beklenen (kazanılan) ömür (yıl)

4.3.1. İlk yapım maliyet mukayesesi

KBB bütçesiyle gerçekleştirilen SSB test yolu projesi $43,58 \text{ TL/m}^2$ maliyet ile tamamlanmıştır. İmalat kalemlerinin maliyetlere olan etkisi, yüzde cinsinden Şekil 4.6'da verilmiştir. Bu grafiğe göre, toplam maliyetin %32'si ile beton ve %24'ü ile Plentmiks Temel (PMT) imalatı en yüksek iki maliyet kalemi olarak ortaya çıkmaktadır. Yapımda donatı ve kalıp kullanılmaması kaplamaların ekonomik olmasındaki en önemli faktörleri oluşturmaktadır. Ayrıca geleneksel beton kaplamalar ile kıyaslandığında, yolun daha erken trafiğe açılması, donatı ve kalıp kullanılmaması ve birim zamanda daha hızlı üretimin yapılması gibi ekonomik faydaların bu tabloya yansımadığını da belirtmekte fayda vardır. KBB tarafından son 2 yıl içerisinde yapılan sathi, SSB ve asfalt yol kaplamalarının ilk yapım maliyet analizleri Tablo 4.3'te verilmiştir. Bu analizlere göre, ilk defa uygulaması yapılan SSB test yoluun ilk yapım maliyetinin, asfalt yoldan %39,4 daha ekonomik ve sathi kaplamadan % 19,5 daha pahalı olduğu anlaşılmaktadır.



Şekil 4.6. SSB test yolu maliyetinin iş kalemlerine göre dağılımı

Tablo 4.3. Son iki yılda yapılan yollar için ilk yapım maliyet analizi

SATHİ KAPLAMA			
İMALAT TÜRÜ	MİKTAR	BİRİM FİYAT (TL)	MALİYET (TL/m ²)
KAZI YAPILMASI (Döküm bedeli dahil)	0,60 m ³	13	7,80
TERASMAN DOLGU	0,30 m ³	19	5,70
ALTTEMEL (20cm)	0,20 m ³	28	5,60
PMT (15cm)	0,35 ton	30	10,35
İKİ TABAKA ASTARLI SATHİ KAPLAMA YAPILMASI	1,00 m ²	7	7,00
GÜVENLİK TEDBİRİ	1,00 m	0,015	0,02
TOPLAM			36,47
SSB (SİLİNDİRLE SIKIŞTIRILMIŞ BETON)			
İMALAT TÜRÜ	MİKTAR	BİRİM FİYAT (TL)	MALİYET (TL/m ²)
KAZI YAPILMASI (Döküm bedeli dahil)	0,60 m ³	13	7,80
TERASMAN DOLGU	0,30 m ³	19	5,70
PMT (15cm)	0,35 ton	30	10,35
BETON (C30)	0,15 m ³	92	13,80
BETON NAKLİYESİ	0,15 m ³	12	1,80
İŞÇİLİK (SİLİNDİR+FİNİŞER)	0,36 ton	10	3,60
DERZ KESME	1,00 m	0,5	0,50
KÜRLEME (ARAZÖZ İLE)	1,00 m	0,01	0,01
GÜVENLİK TEDBİRİ	1,00 m	0,015	0,02
TOPLAM			43,58
ASFALT			
İMALAT TÜRÜ	MİKTAR	BİRİM FİYAT (TL)	MALİYET (TL/m ²)
KAZI YAPILMASI (Döküm bedeli dahil)	0,60 m ³	13	7,80
TERASMAN DOLGU	0,30 m ³	19	5,70
ALTTEMEL (20cm)	0,20 m ³	28	5,60
PMT (15cm)	0,35 ton	30	10,35
BİNDER (9cm)	0,216 ton	116	25,06
AŞINMA (6cm)	0,144 ton	121	17,42
GÜVENLİK TEDBİRİ	1,00 m	0,015	0,02
TOPLAM			71,95

4.3.2. Yaşam döngüsü maliyet analizi

Eşdeğer fiyatlandırmaların yapılabilmesi için yaşam döngüsü içerisinde gelecekteki bakım ve onarımlara ayrılacak bütçelerin bugünün koşullarında bilinmesi gerekmektedir. İlk yapım maliyetine ek olarak, asfalt ve beton kaplama için bakım ve onarım planlaması yapılmış, analiz süresi içerisinde birim alanda gerçekleşmesi muhtemel faaliyetler yüzde cinsinden ifade edilmiştir (Tablo 4.4). Onarımlar için kullanılan birim fiyat tarif ve analizleri EK D, Tablo D.2-4'te verilmiştir.

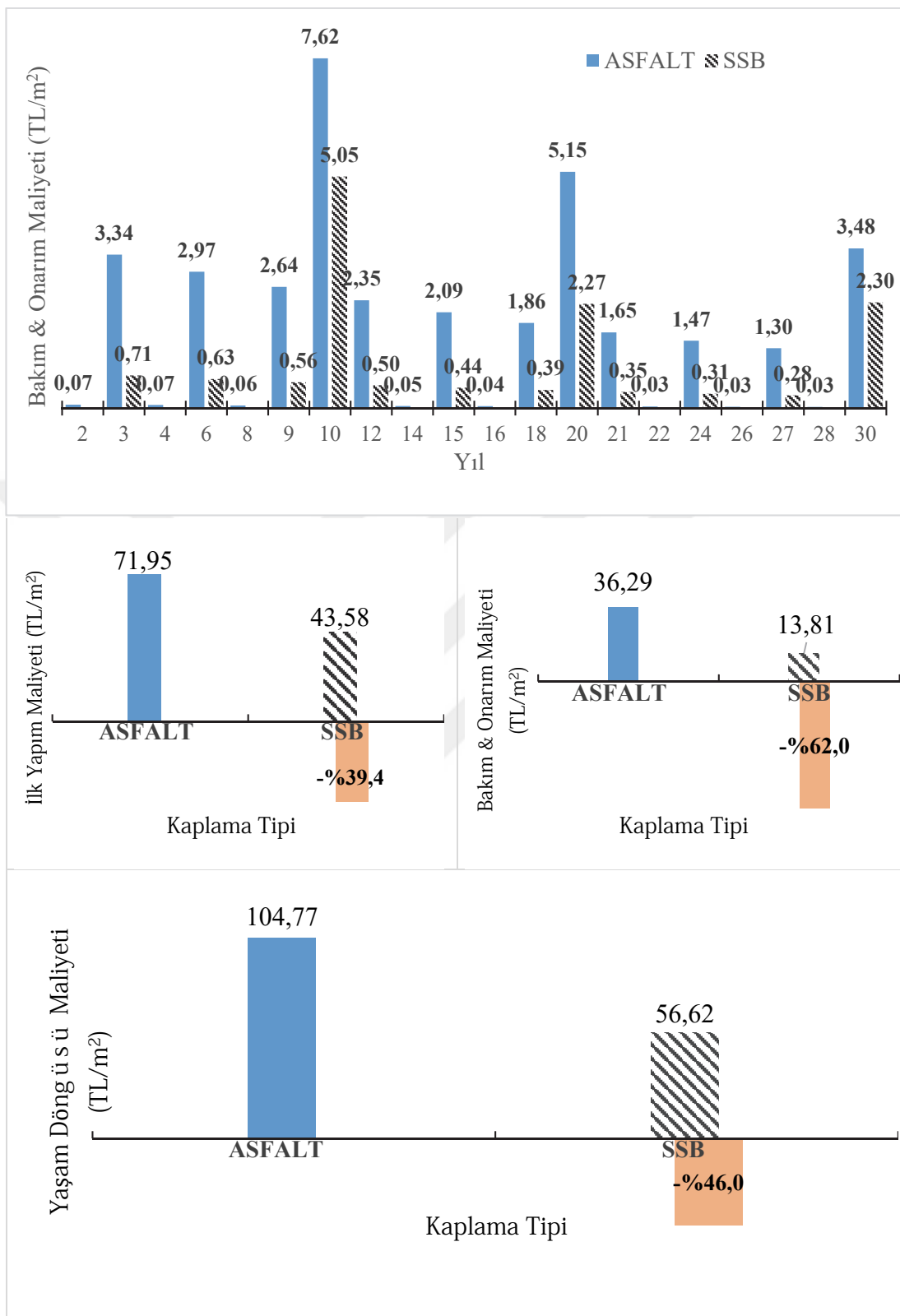
Tablo 4.4. Analiz süresi içerisinde planlanan bakım ve onarım stratejisi

FAALİYET TİPİ	FAALİYET PERİYODU	GERÇEKLEŞME ORANI (%)	BOZULMA TİPİ VE ONRARIM METODU	BİRİM FİYAT (TL/m ²)
SSB (SİLİNDİRLE SIKIŞTIRILMIŞ BETON)				
Rutin Bakım	Yılda 1 defa	50	Çatlak Dolgusu (Bitüm veya Epoksy Reçine)	1,60
			Yapışal Olmayan Düşük ve Orta Düzey Çatlaklar	
			Derz Bölgelerinde Kısıtlı Bozulmalar	
Periyodik Bakım	10 yılda 1 defa	15	Taze Beton İle Bölgesel Onarım	49,79
			Derz Bölgelerinde Kabarma (blowups)	
			Derz Bölgelerinde Pompaj Etkisi	
			Çanaklaşma (patch)	
			Cılalanmış Agrega	
			Pullanma (popouts)	
			Yüzey Soyulması (scaling)	
			Kavlanması, Yüzey Dökülmesi (spalling)	
			10 mm'den Büyük Boyuna ve Enine Çatlaklar	
			Köşe Çatlakları	
Rehabilitasyon (ONARIM)	20 yılda 1 defa	10	Tam Derinlikli Yeni Yüzey Kaplaması	49,79
			Blokların Oturması veya Ayrılması	
			Durabilite (D) Çatlakları	
			Harita Çatlakları	
			Yatay veya Düşey Yönde Faylanma	
ASFALT				
Rutin Bakım	2 yılda 1 defa	5	Çatlak Dolgusu (Bitüm)	1,60
			Enine Çatlak	
			Boyuna Çatlak	
			Blok Çatlak	
			Yansıma Çatlığı	
Periyodik Bakım	3 yılda 1 defa	5	Asfalt Yama	75,20
			Timsah Sırtı Çatlak	
			Kusma veya Tekerlek İzinde Oturma	
			Cukurlar (Pothole)	
			Ötelenme (Shoving)	
			İnce Yüzey Kaplaması	
			Cılalanmış Agrega	
Rehabilitasyon (ONARIM)	10 yılda 1 defa	15	Sökülme veya Çanaklaşma	75,20
			Tam Derinlikli Yeni Yüzey Kaplaması	
			İleri Düzey Yapışal Bozulmalar	

Bakım ve onarım stratejisi belirlendikten sonra, 30 yıllık analiz periyodu için kaplama tiplerinde yıllara göre oluşacak olan harcamaların yaşam döngüsü maliyet analizi yapılarak Tablo 4.5'te verilmiştir. Faaliyetler için yapılan harcamaların yıllara göre değişimi ve iki kaplama arasındaki ilk yapım, bakım onarım ve yaşam döngüsü maliyet mukayesesini gösterir grafikler ise Şekil 4.7'de topluca verilmiştir.

Tablo 4.5. Yaşam döngüsü maliyet analizi

YIL	FAALİYET TİPİ	BİRİM FİYAT (TL/m ²)	GERÇEKLEŞME ORANI (%)	GELECEKTEKİ MALİYET (F) (TL/m ²)	GÜNCEL MALİYET (PW) (TL/m ²)
SSB (SİLİNDİRLE SIKIŞTIRILMIŞ BETON)					
0	YAKLAŞIK MALİYET			43,58	43,58
3	Rutin Bakım	1,60	50	0,80	0,71
6	Rutin Bakım	1,60	50	0,80	0,63
9	Rutin Bakım	1,60	50	0,80	0,56
10	Per. Bakım	49,79	15	7,47	5,05
12	Rutin Bakım	1,60	50	0,80	0,50
15	Rutin Bakım	1,60	50	0,80	0,44
18	Rutin Bakım	1,60	50	0,80	0,39
20	ONARIM	49,79	10	4,97	2,27
21	Rutin Bakım	1,60	50	0,80	0,35
24	Rutin Bakım	1,60	50	0,80	0,31
27	Rutin Bakım	1,60	50	0,80	0,28
30	Per. Bakım	49,79	15	7,47	2,30
Kurtarma Değeri (SV)				-2,49	-0,77
YAŞAM DÖNGÜSÜ MALİYETİ (TL/m²)				56,62	
ASFALT					
0	YAKLAŞIK MALİYET			71,95	71,95
2	Rutin Bakım	1,60	5	0,08	0,07
3	Per. Bakım	75,20	5	3,76	3,34
4	Rutin Bakım	1,60	5	0,08	0,07
6	Per. Bakım	75,20	5	3,76	2,97
8	Rutin Bakım	1,60	5	0,08	0,06
9	Per. Bakım	75,20	5	3,76	2,64
10	ONARIM	75,20	15	11,28	7,62
12	Per. Bakım	75,20	5	3,76	2,35
14	Rutin Bakım	1,60	5	0,08	0,05
15	Per. Bakım	75,20	5	3,76	2,09
16	Rutin Bakım	1,60	5	0,08	0,04
18	Per. Bakım	75,20	5	3,76	1,86
20	ONARIM	75,20	15	11,28	5,15
21	Per. Bakım	75,20	5	3,76	1,65
22	Rutin Bakım	1,60	5	0,08	0,03
24	Per. Bakım	75,20	5	3,76	1,47
26	Rutin Bakım	1,60	5	0,08	0,03
27	Per. Bakım	75,20	5	3,76	1,30
28	Rutin Bakım	1,60	5	0,08	0,03
30	ONARIM	75,20	15	11,28	3,48
Kurtarma Değeri (SV)				-11,28	-3,48
YAŞAM DÖNGÜSÜ MALİYETİ (TL/m²)				104,77	



Şekil 4.7. Yaşam döngüsü maliyetinin kaplama tipine göre mukayesesı

Kaplama için kurtarma değeri (SV) fayda maliyet olarak tanımlandığından, yaşam döngüsü maliyet analizinde negatif değer olarak atanmış ve Denklem (4.2) yardımıyla aşağıdaki gibi hesaplanmıştır:

$$SV_{SSB} = 4,97 \times (10/20) = 2,49 \text{ TL/m}^2$$

$$SV_{ASFALT} = 11,28 \times (10/10) = 11,28 \text{ TL/m}^2$$

İlk yapım maliyeti açısından SSB yol, asfalt yola nazaran %39,4 daha ekonomik bir kaplama tipi olmakla birlikte, servis süresi boyunca da %62 oranında bir bakım onarım ekonomikliği sağlamaktadır. Yaşam döngüsü maliyeti açısından ise, SSB yolu asfalt yoldan %46 oranında daha ekonomik bir kaplama alternatifi olduğu görülmektedir (Şekil 4.7). Maliyet farklarının zaman içerisinde bu denli artmasında, asfalt yolu bakım onarım faaliyetlerinin daha sık periyotlarda gerçekleşmesi, ilk ciddi onarım faaliyetinin asfaltta 10. ve 20. yılda yapılmasına karşın, SSB kaplamada bu faaliyetin sadece 20. yılda gerçekleşmesi ve asfalt bakım malzemesinin SSB bakım malzemesinden daha pahalı olması etkili olmuştur.

Gerçekleşen bu bakım onarım faaliyetlerinin KBB özelinde dikkate alınması ve özellikle altyapısı tamamlanmış kırsal bölgelerde kaplama tercihlerinin SSB olarak belirlenmesi ile ciddi oranlardaki bu bakım onarım bütçelerinin başka kaynaklara aktarılması mümkün olabilecektir. Zira KBB tarafından 2019 yılı sonuna kadar 300 adet cadde ve sokak düzenleme, 29 adet kavşak ve yol projesinin tamamlanacağıının hedeflendiği 5 yıllık stratejik planda, yaklaşık 1,6 milyon TL olan beş yıllık ödeneğin yarısının, içerisinde ciddi miktarlarda asfalt kaplama imalatı olan bu iki iş kalemine ayrıldığı görülmektedir (Ek D, Tablo D.5). Ulaşım hizmetleri hedeflerinin imalat kalemleri bazında gösterildiği başka bir çalışmada ise, bu 5 yılın sonunda 250.000 ton asfalt yama malzemesinin üretileceği öngörmektedir (Ek D, Tablo D.6), (KBB, 2017).

KBB bütçesiyle gerçekleştirilen SSB test yolu, iyi tasarlanmış rehabilitasyon stratejileri sayesinde bu bakım onarım bütçelerinin daha efektif bir şekilde kullanılabileceğini göstermiştir.

5. SONUÇLAR VE ÖNERİLER

Yol ağı ve ulaşım araçları, ekonomik kalkınma ve büyümeye sürecine önemli katkılarda bulunmasının yanında önemli sosyal faydalar da sağlamaktadır. İyi tasarlanmış olmasına rağmen kötü inşa edilmiş yollar, hareketliliği kısıtlayabilir, araç işletim maliyetlerini ve kaza oranlarını önemli ölçüde artırabilirler. Dolayısıyla güvenli ve konforlu bir ulaşım ağı sağlamaının ekonomik ve sosyal getirisinin yanında kıt kamu kaynaklarıyla sürdürülebilir yol ağının sürekli üst seviyede hizmet sağlayabilmesi, gelişmekte olan ülkeler için hayatı bir önem taşımaktadır.

Yollar veya ulaşım sistemleri birçok ülkedeki en önemli kamu varlıklarını arasında yer almaktadır. Örneğin sadece KBB'nin 5 yıllık stratejik planda ulaşırma hizmetlerine ayırmış olduğu bütçenin yaklaşık 1,6 milyar TL düzeyinde olması, Türkiye ölçüğünde bu sektör için ayrılan bütçe göstergelerini tahmin etmeyi kolaylaştıracaktır. Yol yapım veya iyileştirme faaliyetleri, hastane, okul, kamusal alan veya çalışma bölgelerine daha iyi erişim yoluyla kullanıcılarına konfor, hız ve güvenlik gibi çoğu zaman para ile ifade edilemeyen kolaylıklar sunmaktadır. Karayolu ulaşırma politikalarında bu faydaların sürdürülebilir olabilmesi için, iyi planlanmış rehabilitasyon faaliyetlerinin de ulaşım süreçlerinin bir parçası gibi kabul edilmesi gerekmektedir. Yapılan birçok araştırma ve deneyimlerde yol bakımında operasyonel faaliyetlerin ertelenmesi durumunda, doğrudan veya dolaylı olarak daha yüksek düzeylerde maliyetlerin ortaya çıktığı tespit edilmiştir. Türkiye'de karayolu ağının büyük bir kısmını asfalt kaplamalı yollar oluşturmaktadır. Beton yollara göre daha sık rehabilitasyon periyodu gerektiren asfalt kaplamalı yollar için Kocaeli ili özelinde KBB tarafından yıllık ortalama 20 milyon TL düzeyinde bir bütçe asfalt yama için ayrılmaktadır.

SSB teknolojisi büyük ölçüde baraj yapımında kullanılmakla birlikte ülkemizdeki yol yapım uygulamalarında kullanımını gün geçikçe artmaktadır. SSB, son zamanlarda yerel yönetimler tarafından benimsenmiş ve 2017 verilerine göre şimdije kadar yaklaşık 225 km uzunlığında kent içi ve kırsal bölgelerde uygulamalar yapılmıştır.

SSB numune üretimi ve sonuçların değerlendirilmesi konusunda standart bir test prosedürünün olmaması ve SSB saha uygulamalarından elde edilen deneysel çalışmaların sınırlı sayıda olması, literatürdeki bu araştırma sonuçlarının birbirleri ile mukayese edilmesi süreçlerinde birtakım zorluk ve çelişkilerin ortayamasına neden olmuştur.

Bu çalışmanın hedeflerinden biri, laboratuvar çalışmalarındaki bu uyuşmazlıkların gerçek bir saha uygulaması yapılarak belirginleştirilmesine katkıda bulunmaktadır. Ayrıca SSB karışımında geri dönüşümlü agrega kullanımının mekanik ve ekonomik göstergeler üzerindeki etkilerinin belirlenmesi ve Kocaeli ili özelinde karayolu yapımı süreçlerinde kaplama tipine göre ortaya çıkan fayda/maliyet süreçlerinin yaşam döngüsü maliyet analizleri yolu ile tespit edilmesi, çalışmada hedeflenen diğer konuları oluşturmaktadır.

Çalışmadan elde edilen sonuçlara göre;

- Agrega ağırlığının %15 ve %20'si oranında RAP kullanılması durumunda, RAP yüzeyindeki asfalt filmi nedeniyle mekanik özellikler üzerinde azaltıcı etkilerin geliştiği tespit edilmiştir. RAP içerikli SSB karışımları ile yapılan birçok çalışmada, bu karışımların sadece granüler temel veya alttemel düzeyinde kullanılabileceği bildirilmiştir. Bu çalışmada ise ekonomik göstergelerin birbirine yakın olması istenen durumlarda, karışım içerisinde %15 oranında 19-4,75 mm boyutunda RAP kullanılması halinde, mekanik özelliklerde bir azalma gerçekleşse bile, BYŞ (2016)'e göre 35 MPa düzeyinde bir beton için yeterli basınç ve çekme gerilmeleri ile 7 ve 28 günlük basınç dayanımları arasında yeterli dayanım gelişmesinin elde edilebileceği görülmüştür. RAP'in iyi derecelendirilmesi durumunda, uygun basınç ve çekme dayanımlarının sağlanabileceği ve SSB üstyapısında kaplama tabakalarında da ağırlıkça %20 düzeyine kadar kullanılabileceği saptanmıştır.
- Farklı zemin koşullarında tekrarlı dingil yüklerinin kaplama tabakasına etki ettiirildiği bir KENSLABS uygulamasına göre ise, 1 km x 6,5 m yolda K karışımları ile aynı performans limiti baz alındığında, %20 oranına kadar RAP kullanımı (karışım içerisindeki agrega maliyetini düşürdüğünden) ortalama 3900 TL'lik bir kazanç elde edilebileceğini göstermiştir.
- Kuruma rötresinde K karışımlarında 112. gün sonunda boy kısalması %0,050 (500 microstrain), %15 ve %20 RAP içerikli karışımlarda ise %0,060 (600 microstrain) düzeyinde tespit edilmiştir. Ağırlık kayıpları ise bütün karışımlarda %2 olarak

kaydedilmiştir. RAP'lı karışımlarda kuruma rötresi miktarının bir miktar fazla çıkması, RAP içeriğinde bitümle kaplı yüzeylerin bir rezervuar oluşturması, bu sayede de büzülme esnasında çimento hamurunun daha kolay deformasyon yapabileceği alanların oluşması ile açıklanabilmektedir.

- Karışımlarda UPV değerleri 4600-4900 m/s arasında değişmektedir. RAP içeriğindeki bitümle kaplı agrega yüzeyinin karışım içeriğindeki boşlukları artırması nedeniyle UPV değerlerinin azaldığı saptamıştır.
- ASTM C666'a uygun 230 lt kapasiteli bir derin dondurucunun kullanıldığı bir donma/çözülme deneyinde, bütün karışımlarda 300 döngü sonunda ortalama %73 düzeyinde bir Durabilite Faktörü tespit edilmiştir. Literatürdeki diğer çalışmalarla kıyaslandığında Durabilite Faktörü üzerindeki değişkenlikte, numune üretme konusunda farklı sıkıştırma prosedürlerinin uygulanması ve değişken boyutlarda numuneler kullanılmasının etkili olduğu belirlenmiştir. Test sonuçları, RAP içerikli malzemelerin SSB karışım içeriğinde ağırlıkça %20 düzeyine kadar kullanılması durumunda, donma/çözülme direnci açısından önemli bir farklılık ortaya çıkmadığını göstermiştir. Donma/çözülme olayının eğilme dayanımı üzerindeki etkisi incelediğinde ise, eğilme dayanımı için K karışımlarında yaklaşık %7, RAP içerikli karışımlarda ise %17-22 düzeyinde bir azaltıcı etki saptanmıştır.

Sertleşmiş betonda mekanik ve geçirimlilik özelliklerinin karşılaştırılabilmesi amacıyla saha ve laboratuvar gibi iki farklı ortamdan elde edilen numunelerin mukayeseli analizi yapılmıştır. Analiz sonuçlarına göre;

- UPV açısından şerit ve eksen bölgelerinden alınan numunelerde Laboratuvara üretilen numunelere kıyasla, yaklaşık olarak %8,2 oranında azaltıcı bir etki tespit edilmiştir. Burada araziden alınan örneklerin daha boşluklu bir yapıya sahip olduğu anlaşılmaktadır. Eksen ve şerit bölgelerinde ise anlamlı bir farklılık olmadığı görülmektedir. Benzer ilişki yoğunluk üzerindeki %2,3 oranındaki azaltıcı etki ile de görülmüştür.
- Laboratuvar ortamında üretilen SSB numunelerinin ilk kılcallık hızının $0,0067 \text{ mm/s}^{0,5}$ ile kaplama gövdesinden alınan numunelere kıyasla %280-307 oranında daha düşük olduğu tespit edilmiştir. Numunelerdeki zamana bağlı doygunluk dereceleri arttıkça 1. gün sonundan itibaren bu seviyeler azalma eğilimine geçmiştir. Laboratuvara elde edilen SSB numunelerinin geleneksel betona göre daha düşük

kılcallık özelliği gösterdiği, ancak kür koşullarının ve sıkıştırma parametrelerinin arazi koşulları ile değişmesi sonucunda sahadan elde edilen SSB numunelerinde ciddi oranlarda kılcallık artışları gözlemlenebileceği tespit edilmiştir.

➤ Sahadan alınan ve laboratuvara üretilen numunelerde doğal halde kütlece su emme oranının %1,73 ile %4,07 arasında değiştiği belirlenmiştir. Sertleşmiş betonda bu seviyelerdeki su emme oranlarının durabilite açısından “iyi” sayılabilecek bir düzeyde olduğu saptanmıştır. Porozitenin ise %6,17 ile %12,86 arasında değiştiği tespit edilmiştir. Bu sonuçlar ile SSB karışıntılarında geçirimlilik özelliklerinin araştırıldığı diğer çalışmalarla benzer sonuçlar elde edildiği saptanmıştır. Sahadan alınan numunelerde laboratuvara üretilenlere kıyasla %85-86 daha fazla geçirgen boşluk tespit edilmiştir. Burada iki farklı numune gurubunda farklı sıkıştırma tekniğinin kullanılması ve tek tabakada farklı kalınlıklarda malzeme sıkıştırılmasının etkili olduğu anlaşılmıştır. Porozitenin artmasıyla yoğunluk düşmekte ($R^2=0,76$), ilk kılcallık hızı ise artmaktadır ($R^2=0,62$). Porozitenin artmasıyla boşluklardaki su hareketi hızlanmıştır. Geçirgen boşlukların zamanla suyla dolması süreci ile ikinci kılcallık hızında porozite ile olan bu ilişkinin kaybolduğu gözlenmiştir.

➤ Kaplama gövdesinden alınan numunelerde ortalama basınç dayanımında 36 MPa (en düşük 31,3 MPa) ve ortalama yarmada çekme dayanımında 3,4 MPa (en düşük 2,8 MPa) düzeyinin tespit edilmesi ile BYŞ (2016)'ya göre C30 sınıfı bir beton için uygun seviyelerin elde edildiği belirlenmiştir. Kaplamadan alınan numunelerin laboratuvara üretilen numunelerle kıyaslanması durumunda, basınç dayanımında eksen bölgelerinde %32 ve şerit bölgelerinde %19 düzeyinde azaltıcı bir etki tespit edilmiştir. Bu oran yarmada çekme dayanımında sırasıyla %30 ve %9,5 seviyesindedir. Test yolundan alınan numunelere ait deney sonuçlarının daha düşük olmasında, iki örnek arasında kür koşulları, sıkıştırma enerjisi, sıkıştırma tipi ve tek seferde sıkıştırılan malzeme miktarlarının farklı olmasının etkili olduğu anlaşılmaktadır. Eksen bölgelerinden alınan numunelerin dayanım mertebeinin şerit bölgelerinden alınanlardan daha düşük olması, iki fazda yapılan şerit imalatları arasında oluşan zaman farkından dolayı meydana gelen soğuk derz ve buna dayalı yapısal süreksizliklerle açıklanabilir. Soğuk derze bağlı düşey faylanma, imalat zaman farkları ve farklı kompaksiyon enerjisinin bu duruma neden olduğu anlaşılmaktadır.

➤ Böhme aşınma deneyi sonuçlarına göre, kaplamadan alınan numunelerde aşınan hacim miktarı 49 cm^2 'lik yüzeyde 21,60 ile 26,40 cm^3 arasında değişmektedir.

Laboratuvar ortamında üretilen ve yüzeyleri kesilerek test edilen numunelerde ise 2. Sınıf aşınma direnci, $18,13 \text{ cm}^3$ ile sağlanmış ve test yolunda %25-34 arasında değişen oranlarda daha yüksek aşınma kayıplarının yaşandığı tespit edilmiştir. Kaplamalarda arazöz ile kürleme dışında başka bir metot uygulandığı takdirde (sisleme, telis bezi serme, kimyasal püskürtme vb.) yüzeyde daha sert bir doku oluşması, bu vesileyle de aşınma direncinin artabileceği bu karşılaşturma deneyi sonucunda saptanmıştır.

Son aşamada Kocaeli İl’inde ilk defa uygulamaya koyulan 2,2 km’lik SSB yol için yapılan yaşam döngüsü maliyet analizi sonucunda ise aşağıdaki buldular ele edilmiştir;

- KBB bütçesiyle gerçekleştirilen SSB test yolu projesi $43,58 \text{ TL/m}^2$ maliyet ile tamamlanmıştır. İlk yapım maliyeti açısından SSB yol, asfalt yola nazaran %39,4 daha ekonomik bir kaplama tipi olmakla birlikte, servis süresi boyunca da %62 oranında bir bakım onarım ekonomikliği sağlamaktadır. Yaşam döngüsü maliyeti açısından ise, SSB yolun asfalt yoldan %46 oranında daha ekonomik bir kaplama alternatifi olduğu görülmektedir.

- Maliyet farklarının zaman içerisinde bu denli artmasında, asfalt yolun bakım onarım faaliyetlerinin daha sık periyotlarda gerçekleşmesi, ilk ciddi onarım faaliyetinin asfaltta 10. ve 20. yılda yapılmasına karşın, SSB kaplamada bu faaliyetin sadece 20. yılda gerçekleşmesi ve asfalt bakım malzemesinin SSB bakım malzemesinden daha pahalı olması etkili olmuştur. Gerçekleşen bu bakım onarım faaliyetlerinin KBB özelinde dikkate alınması ve özellikle altyapısı tamamlanmış kırsal bölgelerde kaplama tercihlerinin SSB olarak belirlenmesi ile ciddi oranlardaki bakım ve onarım bütçelerinin başka kaynaklara aktarılmasının mümkün olabileceği saptanmıştır. KBB bütçesiyle gerçekleştirilen SSB test yolu, iyi tasarlanmış rehabilitasyon stratejileri sayesinde bakım ve onarım bütçelerinin daha efektif bir şekilde kullanılabileceğini, bu sayede de ciddi boyutlarda kamu yararının sağlanabileceğini göstermiştir.

SSB yolun yapımından kısa bir süre sonra otomobil, küçük kamyonet gibi hafif araçlar düşük hızlarda seyahat edebilmişlerdir. Buna karşın, trafik emniyeti açısından yüzey pürüzlüğünün sağlanabilmesi için bazı noktalarda yüzey işleme (grinding) gerekebileceği tespit edilmiştir. İyi bir aderansın sağlanabilmesi için, eğer soğuk derz yapılmayacaksı, yanyana yapılan şeritler 1 saat içinde serilip sıkıştırılmalıdır. Ayrıca düşük su içeriği nedeniyle sıcak havalarda buharlaşmadaki su kaybına bağlı olarak ilave katkıların kullanılması gibi ek önlemlere ihtiyaç duyulabilir.

Beton üreticileri, Türkiye'de görece yeni bir uygulama olması ve karışım tasarıımı aşamasında çeşitli belirsizlikler bulundurması nedeniyle SSB üretimine karşı mesafeli bir duruş sergilemektedirler. Örneğin, karışım tasarıminda hangi yasal prosedür ve ulusal şartnamenin baz alınacağı konusunda bilgi ve doküman eksikliği vardır. Kırsal bölgelere 1 saat içerisinde malzemenin nakledilmesi hususunda garantörlük verilmesi, kuru karışım nedeniyle santral üretim kapasitesinin düşmesi ve sıcak aylarda buharlaşma riskinin fazla olması SSB üretimine karar verme sürecini etkilemektedir.

Kalite kontrol süreçlerinde SSB karışımı için “G” Belgesi şartlarının henüz olgunlaşmaması, teknik ve yapım şartnamesi ile birim fiyat kalemlerinin imalat kalemleriyle birebir uyuşmaması, asfalt operatör ve işçilerinin SSB karışımına karşı önyargıları ve tecrübe eksikliği nedeniyle yeterli özeni göstermemesi, kürleme metodolojisi konusundaki belirsizlikler, sınır hattı problemi nedeniyle oluşan zayıflar, asfalt yolla kıyaslandığında daha kalın tabakalarda serildiği için birim boy bazında daha az imalat ve daha fazla finişer şerit değişikliği, gün sonu, gün başı imalatlarında soğuk derzlerdeki artış, buna bağlı olarak seyahat konforunun düşmesi gibi hususlar imalat sırasında ve sonrasında karşılaşılan problemlere örnek olarak verilebilir.

Laboratuvar ve saha çalışmaları sonucunda ise araziden alınan numunelerin Laboratuvara üretilenlerden düşük mekanik göstergelerde, daha yüksek geçirimlilik özelliklerinin olabileceğini göstermiştir. Bu bakımdan şartname hazırlayıcılar, karışım tasarımı ve uygulaması konusunda geleneksel beton için kullandıkları güvenlik katsayılarını konu SSB olduğunda daha büyük tutmalıdır. Ayrıca RAP'in saha uygulaması için gerekli yasal mevzuatların çıkartılması ve RAP'in nakliyesi, uygun boyutlarda elenmesi gibi konularda yüklenicilere teşviklerin sunulması, hem çevrenin korunması hem de bu çalışma sonucunda ortaya çıkan fayda maliyetlerin etkisinin artmasına vesile olacaktır.

KAYNAKLAR

AASHO, An Informational Guide on Project Procedures: A Guide for The Review of Certain Administrative, Inspection, and Documentation Practices in Use by State Highway Departments with Particular Attention to Contract Construction, Pavement Type Selection, and Right of Way Acquisition, *American Association of State Highway Officials*, Washington DC., 1960.

AASHTO T238, Standard Method of Test for Density of Soil and Soil-Aggregate In-Place by Nuclear Methods (Shallow Depth), *American Association of State Highway and Transportation Officials*, Washington DC., 2013.

AASHTO T27, Sieve Analysis of Fine and Coarse Aggregates, *American Association of State Highway and Transportation Officials*, Washington DC., 2013.

AASHTO T97, Standard Method of Test for Flexural Strength of Concrete (Using Simple Beam with Third-Point Loading), *American Association of State Highway and Transportation Officials*, Washington DC., 2013.

AASHTO, Guide for Design of Pavement Structures, *American Association of State Highway and Transportation Officials*, Washington DC., 1993.

Abut Y., Cankaya T., Beton Yollar: Kocaeli Büyükşehir Belediyesi Örneği, *Hazır Beton Dergisi*, 2016, **133**, 77-83.

ACI Committee 201, Guide to Durable Concrete, *American Concrete Institute*, Report 201.2R-16, 13-17, 2016.

ACI Committee 207, Report on Roller-Compacted Mass Concrete, *American Concrete Institute*, Report 207.5R, 25-32, 2011.

ACI Committee 309, Behavior of Fresh Concrete During Vibration, *American Concrete Institute*, Report 309.1R, 36-53, 1981.

Andersson R., Swedish Experience with RCC, *Concr. Intnl.*, 1987, **9**, 18-24.

Arulrajah A., Disfani M., Horpibulsuk S., Suksiripattanapong C., Prongmanee N., Physical Properties and Shear Strength Responses of Recycled Construction and Demolition Materials in Unbound Pavement Base/Subbase Applications, *Construction and Building Materials*, 2014, **58**, 245–257.

ASTM C1170 / C1170M, Standard Test Method for Determining Consistency and Density of Roller-Compacted Concrete Using a Vibrating Table, *American Society for Testing and Materials*, West Conshohocken-PA, 2017.

ASTM C1260, Standard Test Method for Potential Alkali Reactivity of Aggregates (Mortar-Bar Method), *American Society for Testing and Materials*, West Conshohocken-PA, 2017.

ASTM C1435, Standard Practice for Molding Roller-Compacted Concrete in Cylinder Molds Using a Vibrating Hammer, *American Society for Testing and Materials*, West Conshohocken-PA, 2017.

ASTM C157, Standard Test Method for Length Change of Hardened Hydraulic-Cement Mortar and Concrete, *American Society for Testing and Materials*, West Conshohocken-PA, 2017.

ASTM C1585, Standard Test Method for Measurement of Rate of Absorption of Water by Hydraulic-Cement Concretes, *American Society for Testing and Materials*, West Conshohocken-PA, 2017.

ASTM C469, Standard Test Method for Static Modulus of Elasticity and Poisson's Ratio of Concrete in Compression, *American Society for Testing and Materials*, West Conshohocken-PA, 2017.

ASTM C490, Standard Practice for Use of Apparatus for the Determination of Length Change of Hardened Cement Paste, Mortar and Concrete, *American Society for Testing and Materials*, West Conshohocken-PA, 2017.

ASTM C597, Standard Test Method for Pulse Velocity Through Concrete, *American Society for Testing and Materials*, West Conshohocken-PA, 2017.

ASTM C642, Standard Test Method for Density, Absorption, and Voids in Hardened Concrete, *American Society for Testing and Materials*, West Conshohocken-PA, 2017.

ASTM C666, Standard Test Method for Resistance of Concrete to Rapid Freezing and Thawing, *American Society for Testing and Materials*, West Conshohocken-PA, 2017.

ASTM C78 / C78M, Standard Test Method for Flexural Strength of Concrete (Using Simple Beam with Third-Point Loading), *American Society for Testing and Materials*, West Conshohocken-PA, 2017.

ASTM D1557, Standard Test Methods for Laboratory Compaction Characteristics of Soil Using Modified Effort (56,000 ft-lbf/ft³ (2,700 kN-m/m³)), *American Society for Testing and Materials*, West Conshohocken-PA, 2017.

ASTM D698, Standard Test Methods for Laboratory Compaction Characteristics of Soil Using Standard Effort (12 400 ft-lbf/ft³ (600 kN-m/m³)), *American Society for Testing and Materials*, West Conshohocken-PA, 2017.

Bennert T., Papp Jr W.J., Maher A., Gucunski N., Utilization of Construction and Demolition Debris Under Traffic-Type Loading in Base and Subbase Applications, *Transportation Research Record*, *Journal of the Transportation Research Board*, 2000, **1714**, 33–39.

Bilodeau K., Sauzéat C., Di Benedetto H., Olard F., Bonneau D., Laboratory and In Situ Investigations of Steel Fiber Reinforced Compacted Concrete Containing Reclaimed Asphalt Pavement, *90th Annual Meeting of the Transportation Research Board*, Washington DC., USA, 23-27 January 2011.

Bilodeau K., Sauzéat C., Di Benedetto H., Olard F., Bonneau D., Roller Compacted Concrete for Road Base Layer with RAP and Steel Fibers: Viscous Properties and Description of Experimental Sites, Proc., *10th International Conference on Concrete Pavements*, Quebec City, Quebec, Canada, 8-12 July, 2012.

BS 812-105, Testing Aggregates: Methods for Determination of Particle Shape, Flakiness Index, *British Standard*, London, 1989.

BYŞ-2016, Beton Yol Kaplamaları Teknik Şartnamesi, *Karayolları Genel Müdürlüğü*, Ankara, 2016.

CAN/CSA-A23.2-8C-14, Flexural Strength of Concrete (Using a Simple Beam with Third Point Loading), *Canadian Standards Association*, Toronto, 2014.

CEB Committee, Diagnosis and Assessment of Concrete Structures (State of Art Report), *Comité Euro-international du Béton (CEB)*, 192, 5-83, 1989.

Courard L., Michel F., Delhez P., Use of Concrete Road Recycled Aggregates for Roller Compacted Concrete, *Construction and Building Materials*, 2010, **24**, 390–395.

Cross S.A., Parsons R.L., Evaluation of Expenditures on Rural Interstate Pavements in Kansas, *81th Annual TRB Meeting*, Washington DC, USA, 13-17 January 2002.

Damrongwiriyupap N., Liang Y.C., Xi Y., Application of Roller Compacted Concrete in Colorado's Roadways, *Colorado Department of Transportation (CDOT)*, CDOT-2012-11, 8-17, 2012.

Del Rey I., Ayuso J., Barbudo A., Galvin A.P., Agrela F., de Brito J., Feasibility Study of Cement-Treated 0–8 mm Recycled Aggregates from Construction and Demolition Waste as Road Base Layer, *Road Materials and Pavement Design*, DOI:10.1080/14680629.2015.1108221.

Delagrange A., Marchand J., Pigeon M., Boisvert J., Deicer Salt Scaling Resistance of Roller Compacted Concrete Pavements, *ACI M.J.*, 1997, **94**, 164-169.

Delatte N., Amer N., Storey C., Improved Management of RCC Pavement Technology, *The University of Alabama, Department of Civil and Environmental Engineering*, UTCA-01231, 11-19, 2003.

Delatte N., Simplified Design of Roller-Compacted Concrete Composite Pavement, *Transportation Research Record: Journal of the Transportation Research Board*, DOI:10.3141/1896-06.

Demirel A., Kocaeli İlinde Ana Toplu Taşıma Sisteminin Seçimi İçin Alternatifleri Karşılaştırmalı Analizi, Doktora Tezi, Kocaeli Üniversitesi, Fen Bilimleri Enstitüsü, Kocaeli, 2015, 398884.

Dias W.P.S., Influence of Drying on Concrete Sorptivity, *Mag. of Concr. Res.*, 2004, **56**, 537-543.

Dolch W.L., *Concrete Admixtures Handbook Properties Science and Technology*, 2nd ed., Noyes Publication, Ottawa, 1995.

EN 1097-2, Tests for Mechanical and Physical Properties of Aggregates - Part 2: Methods for The Determination of Resistance to Fragmentation, *European Standard*, Brussels, 2010.

EN 1097-6, Test for Mechanical and Physical Properties of Aggregates – Part 6: Determination of Particle Density and Water Absorption, *European Standard*, Brussels, 2007.

EN 1097-8, Tests for Mechanical and Physical Properties of Aggregates - Part 8: Determination of The Polished Stone Value, *European Standard*, Brussels, 2009.

EN 12390-3, Concrete Testing-Hardened Concrete – Part 3: Compressive Strength Test Samples, *European Standard*, Brussels, 2010.

EN 12390-6, Concrete Testing-Hardened Concrete – Part 3: Split Tensile Strength Test Samples, *European Standard*, Brussels, 2010.

EN 12390-6, Concrete Testing-Hardened Concrete – Part 4: Flexural Strength Test Samples, *European Standard*, Brussels, 2010.

EN 1338, Concrete Paving Blocks, Requirements and Test Methods, *European Standard*, Brussels, 2003.

EN 1367-2, Tests for Thermal and Weathering Properties of Aggregates - Part 2: Magnesium Sulfate Test, *European Standard*, Brussels, 2009.

EN 197-1, Cement, Part1: Composition, Specifications and Conformity Criteria for Common Cements, *European Standard*, Brussels, 2010.

EN 933-9, Tests for Geometrical Properties of Aggregates - Part 9: Assessment of Fines, Methylene Blue Test, *European Standard*, Brussels, 2013.

Fentress B., Slab Construction Practice Compared by Wear Tests, *ACI Journal*, 1973, **7**, 486-491.

Ferrebee E.C., Brand A.S., Kachwalla A.S., Roesler J.R., Gancarz D.J., Pforr J.E., Fracture Properties of Roller-Compacted Concrete with Virgin and Recycled Aggregates, *Transportation Research Record: Journal of the Transportation Research Board*, DOI:10.3141/2441-17.

Ghafoori N., Cai Y., Laboratory Made Roller Compacted Concretes Containing Dry Bottom Ash: Part II- Long Term Durability, *ACI M.J.*, 1998, **95**, 244-251.

Gharaibeh N.G., Darter M., Probabilistic Analysis of Highway Pavement Life for Illinois, *Transportation Research Record: Journal of the Transportation Research Board*, DOI:10.3141/1823-13.

Haas R., Tighe S., Falls L.C., Determining the Return on Long Life Pavement Investments, *85th Annual TRB Meeting*, Washington DC., USA, 22-26 January 2006.

Hansen K.D., Reinhardt W.G., *Roller Compacted Concrete Dams*, 3rd ed., McGraw-Hill, New York, 1991.

Harrington D., Abdo F., Adaska W., Hazaree C., Guide for Roller Compacted Concrete Pavements, *National Concrete Pavement Technology Center, Institute for Transportation, Iowa State University*, 1700.7(8-72), 3-81, 2010.

Hazaree C.V., Transport Properties and Freeze-Thaw Resistance of Roller Compacted Concrete (RCC) for Pavement Applications, Retrospective Theses and Dissertations, Iowa State University, Iowa, 2007.

Huang Y.H., *Pavement Analysis and Design*, 2nd ed., Pearson-Prentice Hall, New Jersey, 1993.

Hutchinson R.L., Ragan S.A., Pittman D.W., Heavy Duty Pavements, *Concr. Intnl.*, 1987, **9**, 55-61.

IS 13311-1, Method of Non-Destructive Testing of Concrete Part 1: Ultrasonic Pulse Velocity, *Bureau of Indian Standards*, New Delhi, 1992.

Jingfu K., Chuncui H., Zhenli Z., Strength and Shrinkage Behaviors of Roller Compacted Concrete with Rubber Additives, *Materials and Structures*, 2009, **42**(8), 1117-1124.

Jittbodee K., Somnuk T., Vibration Consistency Prediction Model for Roller Compacted Concrete, *ACI Mater.*, 2003, **100**(1), 3-13.

Keçeci A., Türkiye'de Karayolu Taşımacılığı, *Uluslararası Ekonomik Sorunlar*, 2006, **20**, 16-20.

Kenis W.J., Predictive Design Procedures VESYS Users Manual, *Federal Highway Administration*, RD-77-154, 7-19, 1978.

Kettle R., Sadegzadeh M., The Influence of Construction Procedures on Abrasion Resistance, *ACI SP-100 Concrete Durability*, 1987, **2**, 1385-1410.

Khayat K.H., Libre N.A., Roller Compacted Concrete: Field Evaluation and Mixture Optimization, *Missouri University of Science and Technology*, NUTC R363, 9-37, 2014.

Khunthiongkeaw J., Tangtermsirkul S., Vibration Consistency Prediction Model For Roller Compacted Concrete, *ACI M.J.*, 2003, **100**, 3-13.

Kocaeli Büyükşehir Belediyesi (KBB), 2010-2016 Yılları Faaliyet Raporları, *Mali Hizmetler Dairesi Başkanlığı, Bütçe ve Stratejik Yönetim Şube Müdürlüğü*, 1-98, 2016.

Kocaeli Büyükşehir Belediyesi (KBB), 2015-2019 Stratejik Planı, *Mali Hizmetler Dairesi Başkanlığı, Bütçe ve Stratejik Yönetim Şube Müdürlüğü*, 44-91, 2016.

Kocaeli Büyükşehir Belediyesi (KBB), 2017 Mali Yılı Performans Programı, *Mali Hizmetler Dairesi Başkanlığı, Bütçe ve Stratejik Yönetim Şube Müdürlüğü*, 33-180, 2017.

Kokubu K., Cabrera J.G., Ueno A., Compaction Properties of Roller Compacted Concrete, *Cement and Concrete Composites*, 1996, **18**, 109-117.

Kokubu K., Ueno A., Kondoh T., Studies on Compactibility and Its Tests Method of Extremely Dry Concrete Used For Roller Compacted Concrete Pavements, *Fifth Intnl. Conference on Concrete Pavement Design and Rehabilitation*, Indiana, USA, 20-22 April 1993.

Kokubu K., Ueno A., Mix Design of Extremely Dry Concrete Evaluated by Consolidation Effort, *Concrete Library of JSCE*, 1996, **28**, 129-141.

KTŞ-2013, Karayolu Teknik Şartnamesi, *Karayolları Genel Müdürlüğü*, Ankara, 2013.

Kuzu T., Hara J., Kokubu K., Study on Resistance to Freezing and Thawing of Roller-Compacted Concrete, *Proceedings of JCI*, 1990, **12**(1), 697-702.

Lee E., Harvey J., Samadian M., Knowledge-Based Scheduling Analysis Software for Highway Rehabilitation and Reconstruction Projects, *Transportation Research Record: Journal of the Transportation Research Board*, DOI:10.3141/1907-03.

Lindley J.K., Clark P.R., Adjustments to Pavement Life-Cycle Cost Analysis Procedures, *University Transportation Center for Alabama*, UTCA-02409, 13-45, 2003.

Liu T.C., Performance of Roller Compacted Concrete-Corps of Engineers Experience, Durability of Concrete, *ACI Special Publication SP-126*, 1991, **1**, 155-167.

Liu T.C., Tatro S.B., Performance of Roller Compacted Concrete Dams, *Proceedings of International Symposium on Roller Compacted Concrete*, 1995, **2**, 1189-1201.

Lopez-Uceda A., Agrela F., Cabrera M., Ayuso J., López M., Mechanical Performance of Roller Compacted Concrete with Recycled Concrete Aggregates, *Road Materials and Pavement Design*, DOI:10.1080/14680629.2016.1232659.

Lowe J., Roller Compacted Concrete Dams - An Overview, *Proceedings of RCC Specialty Conference*, 1988, **1**, 1-20.

Marchand J., Boisvert J., Tremblay S., Maltais J., Pigeon M., Air Entrainment in No-Slump Mixes, *Concr. Intnl.*, 1998, **20**, 38-44.

Marchand J., Hornain H., Diamond S., Pigeon M., Guiraud H., The Microstructure of Dry Concrete Products, *Cem. Concr. Res.*, 1996, **26**, 427-438.

Marchand J., Pigeon M., Isabelle H.L., Boisvert J., Freeze-Thaw Durability and Deicer Salt Scaling Resistance of Roller Compacted Concrete Pavements, *ACI Special Publication*, 1990, **122**, 217-236.

Mardani-Aghabeglou A., Andiç-Çakır Ö., Ramyar K., Freeze-Thaw Resistance and Transport Properties of High-Volume Fly Ash Roller Compacted Concrete Designed by Maximum Density Method, *Cement & Concrete Composites*, 2013, **37**, 259–266.

Mehta P.K., Monteiro P.J.M., *Concrete: Microstructure, Properties, and Materials*, 3rd ed., McGraw-Hill, New York, 2006.

Modarres A., Hosseini Z., Mechanical Properties of Roller Compacted Concrete Containing Rice Husk Ash With Original and Recycled Asphalt Pavement Material, *Materials and Design*, 2014, **64**, 227–236.

Nanni A., Meamarian N., Laboratory Consolidation Methods Applied To Compacted Concrete For Pavements, *ASCE Journal of Materials in Civil Engineering*, 1993, **5**, 137-143.

Neville A., *Concrete Technology*, 2nd ed., Longman, UK, 2010.

Nguyen M.L., Balay J.M., Sauzéat C., Di Benedetto H., Bilodeau K., Olard F., Ficherolle B., Accelerated Pavement Testing Experiment of Pavement Made of Fiber-Reinforced Roller-Compacted Concrete, *Advances in Pavement Design Through Full-Scale Accelerated Pavement Testing*, DOI:10.1201/b13000-40.

Ozbay K., Parker N.A., Jawad D., Hussain S., Guidelines for Life Cycle Cost Analysis, *Federal Highway Administration*, NJ-2003-012, 17-55, 2003.

Özcan S., Silindirle Sıkıştırılmış Betonun Farklı Yastık Karışımı ile Yapışma Verimliliği, Yüksek Lisans Tezi, ODTÜ, Fen Bilimleri Enstitüsü, Ankara, 2008, 238414.

Öztürk A., Yıldız D., Silindirle Sıkıştırılmış Beton Baraj Teknolojisi ve Türkiye'deki Uygulamaları, *Türkiye Mühendislik Haberleri*, 1998, **393**, 39-46.

Packard R.G., Tayabji S.D., New PCA Thickness Design Procedure for Concrete Highway and Street Pavements, *Third International Conference on Concrete Pavement Design and Rehabilitation*, Indiana, USA, 23-25 April 1985.

Pei-wei G., Sheng-xing W., Ping-hua L., Zhong-ru W., Ming-shu T., The Characteristics of Air Void and Frost Resistance of RCC with Fly Ash and Expansive Agent, *Constr Build Mater*, 2006, **20**(8), 586–90.

Perez P., Agrela F., Herrador R., Ordonez J., Application of Cement-Treated Recycled Materials in The Construction of A Section of Road in Malaga, Spain, *Construction and Building Materials*, 2013, **44**, 593–599.

Pigeon M., Marchand J., Frost Resistance of Roller Compacted Concrete, *Concrete International*, 1996, **18**, 22-26.

Pigeon M., Pleau R., *Durability of Concrete In Cold Climates, Modern Concrete Technology* 4, 1st ed., E&FN SPON, UK, 1995.

Piggott R.W., Roller Compacted Concrete Pavements: A Study of Long Term Performance, *Portland Cement Association*, PCA-2261, 15-56, 1999.

Pittman D.W., Anderton G.L., The Use of Roller-Compacted Concrete Pavements in The United States, *Sixth International Conference on Maintenance and Rehabilitation of Pavements and Technological Control*, Torino, Italy, 8-10 July 2009.

Pittman D.W., Development of a Design Procedure for Roller-Compacted Concrete (RCC) Pavements, PhD Dissertation, University of Texas at Austin, Texas, 1993.

Pittman D.W., Ragan S.A., Drying Shrinkage of Roller Compacted Concrete for Pavement Applications, *ACI M.J.*, 1998, **95**, 19-26.

Poole T.S., Guide for Curing of Portland Cement Concrete Pavements - Final Report, *Federal Highway Administration*, FHWA-RD-02-099, 25-32, 2005.

Portland Cement Association (PCA), Guide Specification for Construction of Roller Compacted Concrete Pavements, *Portland Cement Association*, IS009, 1-14, 2004.

Portland Cement Association (PCA), Roller-Compacted Concrete for Embankment Armoring and Spillway Projects Guide for Developing RCC Specifications, *Portland Cement Association*, IS00, 12-13, 2000.

Portland Cement Association (PCA), Roller-Compacted Concrete Pavements for Highways and Streets, *Portland Cement Association*, IS328, 22-35, 2005.

Portland Cement Association (PCA), Structural Design for Roller-Compacted Concrete for Industrial Pavements, *Concrete Information*, *Portland Cement Association*, IS233.01, 25-34, 1987.

Ragan S.A., Evaluation of The Frost Resistance of Roller Compacted Concrete Pavements, *US Army Corps of Engineers*, SL-86-16, 17-22, 1986.

Reeves G.N., Yates, L.B. Jr., Simplified Design and Construction Control for Roller Compacted Concrete, *A Symposium of ASCE Convention*, Colorado, USA, 1-2 May 1985.

Ryall M.J., *Bridge Management*, 1st ed., Butterworth - Heinemann, Boston, 2001.

Sachet T., Albuquerque M.F.C., Balbo J.T., Sansone C.E., Investigation of Resistance and Fracture Parameters for Compacted Concrete with Incorporation of Reclaimed Asphalt Pavement, *International Journal of Pavements*, 2011, **10**(1-3), 83–93.

Sachet T., Balbo J.T., Bonsembiante F.T., Rendering the Loss of Strength in Dry Concrete with Addition of Milled Asphalt Through Microscopic Analysis, *Structures and Materials Journal*, 2013, **6**(6), 933–954.

Sağlık A., Güngör A.G., *Karayolları Esnek Üstyapılar Projelendirme Rehberi*, 2. Baskı, Karayolları Genel Müdürlüğü, Ankara, 2008.

Settari C., Debieb F., Kadri E.H., Boukendakdj O., Assessing the Effects of Recycled Asphalt Pavement Materials on the Performance of Roller Compacted Concrete, *Construction and Building Materials*, 2015, **101**, 617–621.

Şengün E., Alam B., Sevin H.L., Aytaç A.H., Yaman İ.O., Silindirle Sıkıştırılmış Beton (SSB) Yolların Saha ve Laboratuvar Mekanik Performansının Karşılaştırılması, *Hazır Beton Kongresi ve Beton, Agrega, İnşaat Teknolojileri ve Ekipmanları Fuarı*, İstanbul, Türkiye, 13-14 Nisan 2017.

Tasdemir C., Combined Effect of Mineral Admixtures and Curing Conditions on the Sorptivity Coefficient of Concrete, *Cement and Concrete Research*, 2003, **33**(10), 1637-1642.

Transportation Research Board (TRB), Guide for Pavement-Type Selection, *The National Academies Press*, NCHRP-703, 56-70, 2011.

Türkiye Çimento Müstahsilleri Birliği (TÇMB), Cari Açığın İlacı Silindirle Sıkıştırılmış Beton Yollar, *TÇMB Eğitim Müdürlüğü*, 1-3, 2017.

U.S. Army Corps of Engineers (USACE), Roller Compacted Concrete Pavement Design and Construction, Engineer Technical Letter, *Department of the Army*, 1110-3-475, 12-26, 1995.

U.S. Army Corps of Engineers (USACE), Roller-Compacted Concrete, *Department of the Army*, 1110-2-2006, 1-12, 2000.

URL-1: <http://ecolanes.shef.ac.uk/>, (Ziyaret tarihi: 8 Mart 2017).

URL-2: <http://www.havaturkiye.com/>, (Ziyaret tarihi: 8 Mart 2017).

Walls J., Smith M.R., Life-Cycle Cost Analysis in Pavement Design—Interim Technical Bulletin, *Federal Highway Administration*, FHWA-SA-98-079, 9-32, 1998.

Wathne L., Pavement Type Selection: What Is The Ideal Process? *12th International Symposium on Concrete Roads*, Prague, Czech Republic, 23–26 September 2014.

Whiting D., Air Contents and Air Void Characteristics of Low-Slump Dense Concretes, *ACI M.J.*, 1985, **82**, 716-723.

Xuan D.X., Houben L.J.M., Molenaar A.A.A., Shui Z.H., Mixture Optimization of Cement Treated Demolition Waste with Recycled Masonry and Concrete, *Materials and Structures*, 2012, **45**, 143–151.

Yaman İ.Ö., Ceylan H., Silindirle Sıkıştırılmış Beton Yollar, *Hazır Beton Kongresi ve Beton, Agrega, İnşaat Teknolojileri ve Ekipmanları Fuarı*, İstanbul, Türkiye, 21-23 Şubat 2013.

Zimmerman K.A., Smith K.D., Grogg M.G., Applying Economic Concepts from Life-Cycle Cost Analysis to Pavement Management Analysis, *Transportation Research Record: Journal of the Transportation Research Board*, DOI:10.3141/1699-08.





Ek – A



Şekil A.1. KENPAVE program arayüzü

General Information of SLABSINP	
TITLE	TEXTYENI
Type of foundation (0=liquid, 1=solid, 2=layer)	(NFOUND) 1
Damage analysis (0=no, 1=PCA criteria, 2=user specified)	(NDAMA) 1
Number of periods per year	(NPY) 1
Number of load groups	(NLG) 1
Number of slab layers	(NLAYER) 1
Bond between two slab layers (0=unbonded, 1=bonded)	(NBOND) 0
Number of slabs	(NSLAB) 1
Number of joints	(NJOINT) 0
Nodal number for checking convergence	(NNCK) 80
Number of nodes for stress printout	(NPRINT) 3
Number of nodes on X axis of symmetry	(NSX) 8
Number of nodes on Y axis of symmetry	(NSY) 8
More detailed printout (0=no, 1=yes)	(MDPO) 1
Number of nodes with different thicknesses of slab layer 1	(NAT1) 0
Number of nodes with different thicknesses of slab layer 2	(NAT2) 0
System of units (0=English, 1=SI)	(NUNIT) 1
Default options are shown by the black dots. If not true, please click the other button.	
<input checked="" type="radio"/> with uniform load <input type="radio"/> without uniform load	
<input type="radio"/> with temperature gradient and/or checking contact <input checked="" type="radio"/> without temperature gradient and/or checking contact	
<input type="radio"/> with concentrated load <input checked="" type="radio"/> without concentrated load	
<input type="button" value="Print"/> <input type="button" value="Data Set 1"/> <input type="button" value="OK"/>	
(1) This form appears when the 'General' menu on the Main Menu of SLABSINP is clicked. To read this textbox more easily with more lines in sight, you may want to resize this form by moving it up and dragging the bottom boundary down. If you want to use the PgDn key to scroll down the page, you must click this textbox first to make it active, as indicated by the blinking cursor. When creating a new file, this form must be entered	

Şekil A.2. Genel bilgi ekranı

Curling and Contact Conditions

Number of nodes not in contact	(NOTCON)	0
Number of nodes with initial gaps	(NGAP)	0
Input of gaps from previous problem (1=yes, 0=no)	(INPUT)	0
Temperature curling (1=yes, 0=no)	(NTEMP)	0
Weight of slabs (1=yes, 0=no)	(NWT)	0
Maximum number of cycles for checking contact	(NCYCLE)	1
Temperature differential between top and bottom in C	(TEMP)	0
Coefficient of thermal expansion per C	(CT)	0.000009
Tolerance for iteration	(DEL)	0.001
Maximum allowable deflection in cm	(FMAX)	2.54

(1) This form appears when the 'Curling' menu on the Main Menu of SLABSLINP is clicked. You can override the default by typing in a new value. You can use the Tab key to move the cursor from one textbox to the next or just click on the box before typing. The use of click has the advantage that you don't have to delete the default before typing in the data you want. If you want to use the PgDn key to read the remaining text, instead of the scrollbar, please click this textbox to make it active.

(2) NOTCON (total number of nodes assumed initially not in contact): A maximum of 120 nodes can be specified. If NCYCLE = 1, these nodes will never be in contact. If NCYCLE > 1 and NFOUND = 0, these nodes may or may not be in contact depending on the calculated results. However, for solid

Şekil A.3. Kırılma etkisi ve diğer fiziksel koşulların belirlenmesi

X Coordinates of Grid for Slab No. 1

Unit	cm
Sequence	X
1	0
2	12.5
3	25
4	37.5
5	50
6	75
7	100
8	150

(1) This form appears when the slab button on the X Coordinates of Each Slab is clicked. The number of X coordinates on this form is equal to NX, as specified in the 'Arrange' menu. This form is different from the one used for General Information in that a dotted rectangle, instead of the cursor, is used to indicate the active cell. If the dotted rectangle is not at the location for input, you can use the arrow key to move the dotted rectangle to the cell you want to input, or more conveniently by clicking the cell you want. After you type in the data, the dotted rectangle will be changed into a three dimensional box and you must press the Enter key to make it effective. you can also use the up and down arrow keys to make

Use <Ctrl>- to delete a line, <Ctrl>-<Ins> to insert a line, and to clear a cell.

Şekil A.4. X ekseni göre simetri noktaları

Y Coordinates of Grid for Slab No. 1

Unit	cm
Sequence	Y
1	0
2	12.5
3	25
4	37.5
5	50
6	75
7	100
8	150

(1) This form appears when the slab button on the Y Coordinates of Each Slab is clicked. The number of Y coordinates on this form is equal to NY, as specified in the 'Arrange' menu. This form is different from the one used for General Information in that a dotted rectangle, instead of the cursor, is used to indicate the active cell. If the dotted rectangle is not at the location for input, you can use the arrow key to move the dotted rectangle to the cell you want to input, or more conveniently by clicking the cell you want. After you type in the data, the dotted rectangle will be changed into a three dimensional box and you must press the Enter key to make it effective. You can also use the up and down arrow keys to make

[Print](#) [Data Set 1](#)

Use <Ctrl>- to delete a line, <Ctrl>-<Ins> to insert a line, and to clear a cell.

[OK](#)

Şekil A.5. Y eksene göre simetri noktaları

Thickness, Poisson's Ratio, Young's Modulus, and Unit Weight of Concrete

Unit	cm	kPa	
Layer No.	T	PR	YM
1	12.5	.241	2.91E+07

(1) This form appears when the 'Properties' menu on the Slab Information is clicked. The slab may have two layers, one for a concrete surface course and the other for a concrete base course. If there is only one layer of concrete, or NLAYER = 1, layer 2 will not be shown. After typing in the data, press the 'Enter' key to make it effective.

(2) T (thickness of each slab layer): If the thickness is not uniform, this is the thickness for the uniform part, while the nodal number and thickness for the non-uniform part will be read later.

(3) PR (Poisson's ratio of each slab layer).

(4) YM (Young's modulus of each slab layer).

(5) GAMA (unit weight of each layer): This unit weight is used to compute the nodal forces when NWT = 1. This column for GAMA will not be shown when NWT = 0.

[Print](#) [OK](#) [Data Set 1](#)

Şekil A.6. Rijit plak özellikleri (kalınlık, Poisson oranı, elastisite modülü)

Loaded Areas for Load Group No. 1

Use <Ctrl>- to delete a line, <Ctrl>-<Ins> to insert a line, and to clear a cell.

Unit	cm	cm	cm	cm	kPa	
Load Sequence	LS	XL1	XL2	YL1	YL2	QQ
1	1	0	13.47	0	13.47	552

(1) This auxiliary form appears automatically when NUDL of a given line is typed on the main form. For an existing file, you can enter this auxiliary form by double clicking the given line on the main form.
(2) LS (slab number on which the load is applied).
(3) XL1 (left limit of loaded area in x local coordinate).
(4) XL2 (right limit of loaded area in x local coordinate).
(5) YL1 (lower limit of loaded area in y local coordinate).
(6) YL2 (upper limit of loaded area in y local coordinate).
(7) QQ (tire contact pressure of each loaded area).
(8) After typing the data in a cell, be sure to press the Enter or

Şekil A.7. Dingil yükü konsantrasyonu ve büyüklüğünün belirlenmesi

Nodes for Printout

Sequence	NP
1	1
2	9
3	17

(1) This form appears when the 'Node Printout' menu on the Other Optional Information is clicked. The number of lines, or nodes, is equal to NP specified in the 'General' menu.
(2) NP (nodal number at which stresses are computed and printed): For damage analysis with NPRINT = 3, the nodal number of these three points will be computed automatically by the computer, if the finite element mesh is similar to that shown in Example SLA4. Based on the stresses at these three points, the program will determine whether the axle loading is single, tandem or tridem and apply the analysis methods illustrated in Figures 3.3 and 3.4, p. 99.
(3) After typing in the data, be sure

Use <Ctrl>- to delete a line, <Ctrl>-<Ins> to insert a line, and to clear a cell.

Şekil A.8. Referans alınan noktalar

Nodes on X Axis of Symmetry

Sequence	NODSX
1	1
2	9
3	17
4	25
5	33
6	41
7	49
8	57

(1) This form appears when the 'Node X ^ Symmetry' menu on the Other Optional Information is clicked. The number of lines, or nodes, is equal to NSX specified in the 'General' menu.

(2) NODSX (nodal number on the x axis of symmetry): If the x axis of symmetry is along a joint, use any one of the node on the x axis.

(3) After typing the data in the cell, be sure to press the Enter or arrow key to make it effective.

(4) You can delete a line, or one node, by first clicking anywhere on the line to make it active and then press the <Ctrl>- keys. The NSX in the 'General' menu will be automatically reduced by 1.

[Print](#)

[Data Set 1](#)

Use <Ctrl>- to delete a line, <Ctrl>-<Ins> to insert a line, and to clear a cell.

[OK](#)

Sekil A.9. X eksene göre simetri alınan noktalar

Nodes on Y Axis of Symmetry

Sequence	NODSY
1	1
2	2
3	3
4	4
5	5
6	6
7	7
8	8

(1) This form appears when the 'Node Y ^ Symmetry' menu on the Other Optional Information is clicked. The number of lines, or nodes, is equal to NSY specified in the 'General' menu.

(2) NODSY (nodal number on the y axis of symmetry): If the y axis of symmetry is along a joint, use any one of the node on the y axis.

(3) After typing the data in the cell, be sure to press the Enter or arrow key to make it effective.

(4) You can delete a line, or one node, by first clicking anywhere on the line to make it active and then press the <Ctrl>- keys. The NSY in the 'General' menu will be automatically reduced by 1.

[Print](#)

[Data Set 1](#)

Use <Ctrl>- to delete a line, <Ctrl>-<Ins> to insert a line, and to clear a cell.

[OK](#)

Sekil A.10. Y eksene göre simetri noktaları

Solid Foundation

Young's modulus of subgrade in kPa	(YMS)	138000
Poisson's ratio of subgrade	(PRS)	0.4

(1) This form appears when NFOUND = 1 and the 'Foundation' menu on the Main Menu of SLABSINP is clicked. There are only two entries on this form.
 (2) You can delete the default by the Del key and then type in the textbox. To move the cursor to the next textbox, use the Tab key or just click on the textbox before typing in the value of PRS.
 (3) If you want to print this text, you can click the print button below at the left corner.
 (4) after completion, click 'OK' to return to the Main Menu of SLABSINP

Data Set 0

Şekil A.11. Zemin koşullarının belirlenmesi

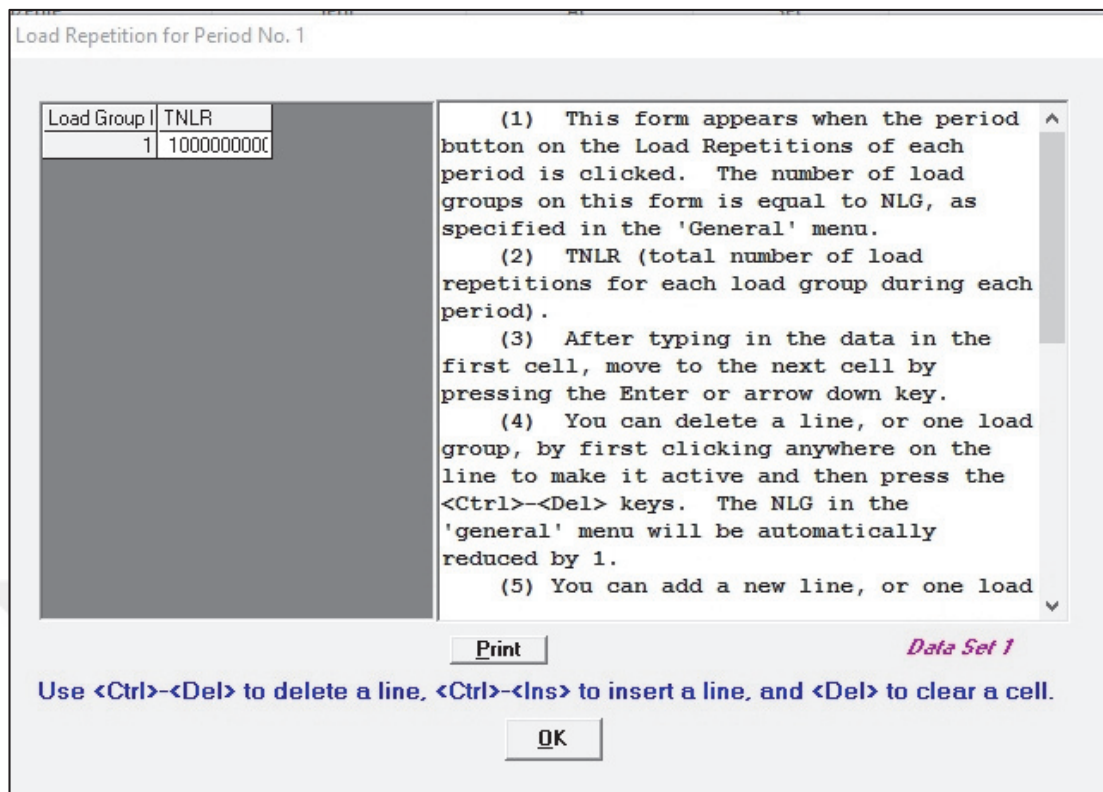
Strength and Fatigue Coefficients of Each Slab Layer

Unit	kPa
Layer No.	PMR
1	5410

(1) This form appears when the 'Fatigue Properties' menu on the Damage Analysis is clicked. The slab may have two layers, one for a concrete surface course and the other for a concrete base course. If there is only one layer of concrete, or NLAYER = 1, layer 2 will not be shown. After typing in the data, press the 'Enter' key to make it effective.
 (2) PMR (modulus of rupture of pavement slab)
 (3) F1 (fatigue coefficient): This is the intercept of log of allowable number of repetitions vs stress ratio curve, i.e. the log of allowable number of load repetitions when the stress ratio is 0. This column disappears when NDAMA = 1.
 (4) F2 (fatigue exponent): This is the slope of log number of allowable number of repetitions versus stress ratio curve. This column

Data Set 1

Şekil A.12. Rijit plak için eğilme mukavemeti



Şekil A.13. Sonsuz büyüklükte dingil yükü etkisi

BETON2

INPUT FILE NAME -E:\ROLLER COMPACTED CONCRETE PAVEMENT\paper\BETON2.TXT

NUMBER OF PROBLEMS TO BE SOLVED = 1

TITLE -TEXTYENI

TYPE OF FOUNDATION (NFOUND)	=	1
TYPE OF DAMAGE ANALYSIS (NDAMA)	=	1
NUMBER OF PERIODS PER YEAR (NPY)	=	1
NUMBER OF LOAD GROUPS (NLG)	=	1
TOTAL NUMBER OF SLABS (NSLAB)	=	1
TOTAL NUMBER OF JOINTS (NJOINT)	=	0

ARRANGEMENT OF SLABS

SLAB NO.	NO. NODES (NX) IN X DIRECTION	NO. NODES (NY) IN Y DIRECTION	JOINT NO. AT FOUR SIDES (JONO)			
			LEFT	RIGHT	BOTTOM	TOP
1	8	8	0	0	0	0

NUMBER OF LAYERS (NLAYER)-----	= 1
NODAL NUMBER USED TO CHECK CONVERGENCE (NNCK)-----	= 80
NUMBER OF NODES NOT IN CONTACT (NOTCON)-----	= 0
NUMBER OF GAPS (NGAP)-----	= 0
NUMBER OF POINTS FOR PRINTOUT (NPRINT)-----	= 3
CODE FOR INPUT OF GAPS OR PRECOMPRESSIONS (INPUT)- -----	= 0
BOND BETWEEN TWO LAYERS (NBOND)-----	= 0
CONDITION OF WARPING (NTEMP)-----	= 0
CODE INDICATING WHETHER SLAB WEIGHT IS CONSIDERED (NWT)-----	= 0
MAX NO. OF CYCLES FOR CHECKING CONTACT (NCYCLE)-----	= 1
NUMBER OF ADDITIONAL THICKNESSES FOR SLAB LAYER 1 (NAT1)-----	= 0
NUMBER OF ADDITIONAL THICKNESSES FOR SLAB LAYER 2 (NAT2)-----	= 0
NUMBER OF POINTS ON X AXIS OF SYMMETRY (NSX)-----	= 8
NUMBER OF POINTS ON Y AXIS OF SYMMETRY (NSY)-----	= 8
MORE DETAILED PRINTOUT FOR EACH CONTACT CYCLE (MDPO)-----	= 1
TOLERANCE FOR ITERATIONS (DEL)-----	= 0.001
MAXIMUM ALLOWABLE VERTICAL DISPLACEMENT (FMAX)-----	= 2.54

SYSTEM OF UNITS (NUNIT)----- 1

Length in cm, force in kN, stress in kPa, unit weight in kN/m³
subgrade and dowel K value in MN/m³, and temperature in C

MODULUS OF RUPTURE OF LAYER 1 (PMR(1))-----	= 5410
MODULUS OF RUPTURE OF LAYER 2 (PMR(2))-----	= 0

FOR SLAB NO. 1 COORDINATES OF FINITE ELEMENT GRID ARE:

X = 0 12.5 25 37.5 50 75 100 150
Y = 0 12.5 25 37.5 50 75 100 150

LAYER NO.	THICKNESS (T)	POISSON'S RATIO (PR)	YOUNG'S MODULUS (YM)
1	12.50000	0.24100	2.910E+07

Sayfa 1

Şekil A.14. Analiz çıktısı (1)

BETON2

NO. OF LOADED AREAS (NUDL) FOR EACH LOAD GROUP ARE: 1

NO. OF NODAL FORCES (NCNF) AND MOMENTS (NCMX AND NCMY) ARE: 0 0 0

FOR LOAD GROUP NO. 1 LOADS ARE APPLIED AS FOLLOWS:

SLAB NO.	X COORDINATES (XL1)	(XL2)	Y COORDINATES (YL1)	(YL2)	INTENSITY (QQ)
1	0.00000	13.47000	0.00000	13.47000	552.00000

NODES FOR STRESS PRINTOUT (NP) ARE: 1 9 17

NODES ON X AXIS OF SYMMETRY (NODSX) ARE: 1 9 17 25 33 41 49 57

NODES ON Y AXIS OF SYMMETRY (NODSY) ARE: 1 2 3 4 5 6 7 8

FOUNDATION ADJUSTMENT FACTOR (FSAF) FOR EACH PERIOD ARE: 1

YOUNG'S MODULUS OF FOUNDATION (YMS) = 138000

POISSON'S RATIO OF FOUNDATION (PRS) = 0.4

SLAB NO., INITIAL NODAL NUMBER(INITNP), LAST NODAL NUMBER(LASTNP),
INITIAL ELEMENT NO.(INITEN), AND LAST ELEMENT NO.(LASTEN) ARE:

1 1 64 1 49

LOADS ARE APPLIED ON THE ELEMENT NO.(NE) WITH COORDINATES(XDA AND YDA)

1	-1.000	1.000	-1.000	1.000	0.055
2	-1.000	1.000	-1.000	-0.845	0.055
8	-1.000	-0.845	-1.000	1.000	0.055
9	-1.000	-0.845	-1.000	-0.845	0.055

FOR PERIOD 1 TOTAL NO. OF LOAD REPETITIONS (TNLR) FOR EACH LOAD GROUP ARE:

1E+09

THE GLOBAL COORDINATES (XO AND YO) OF EACH NODE ARE:

1	0.000	0.000	2	0.000	12.500	3	0.000	25.000
4	0.000	37.500	5	0.000	50.000	6	0.000	75.000
7	0.000	100.000	8	0.000	150.000	9	12.500	0.000
10	12.500	12.500	11	12.500	25.000	12	12.500	37.500
13	12.500	50.000	14	12.500	75.000	15	12.500	100.000
16	12.500	150.000	17	25.000	0.000	18	25.000	12.500
19	25.000	25.000	20	25.000	37.500	21	25.000	50.000
22	25.000	75.000	23	25.000	100.000	24	25.000	150.000
25	37.500	0.000	26	37.500	12.500	27	37.500	25.000
28	37.500	37.500	29	37.500	50.000	30	37.500	75.000
31	37.500	100.000	32	37.500	150.000	33	50.000	0.000
34	50.000	12.500	35	50.000	25.000	36	50.000	37.500
37	50.000	50.000	38	50.000	75.000	39	50.000	100.000
40	50.000	150.000	41	75.000	0.000	42	75.000	12.500
43	75.000	25.000	44	75.000	37.500	45	75.000	50.000
46	75.000	75.000	47	75.000	100.000	48	75.000	150.000
49	100.000	0.000	50	100.000	12.500	51	100.000	25.000
52	100.000	37.500	53	100.000	50.000	54	100.000	75.000
55	100.000	100.000	56	100.000	150.000	57	150.000	0.000
58	150.000	12.500	59	150.000	25.000	60	150.000	37.500

Sayfa 2

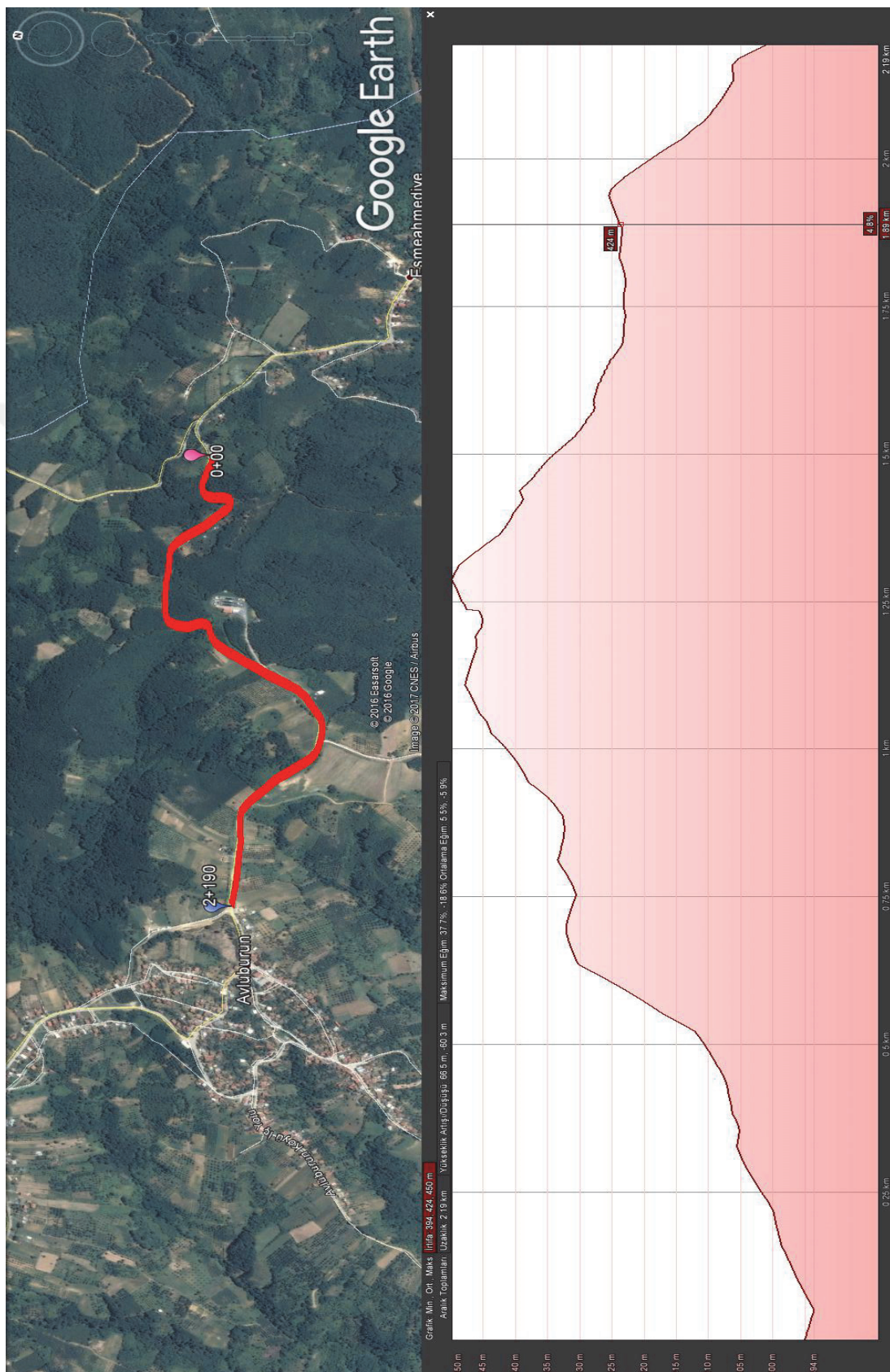
Şekil A.15. Analiz çıktısı (2)

BETON2								
61	150.000	50.000	62	150.000	75.000	63	150.000	100.000
64	150.000	150.000						
HALF BAND WIDTH (NB) = 192								
PERIOD 1 LOAD GROUP 1 AND CYCLE NO. 1								
NODE	ROTAT.X	ROTAT.Y	NODE	ROTAT.X	ROTAT.Y	NODE	RORAT.X	ROTAT.Y
1	3.758E-19	-3.758E-19	2	1.072E-04	-6.461E-19	3	1.631E-04	-4.416E-19
4	1.746E-04	-2.892E-19	5	1.673E-04	-2.635E-19	6	1.365E-04	-1.917E-19
7	1.021E-04	-1.235E-19	8	7.186E-05	-4.907E-20	9	6.460E-19	-1.072E-04
10	9.641E-05	-9.644E-05	11	1.507E-04	-7.397E-05	12	1.656E-04	-5.415E-05
13	1.610E-04	-3.967E-05	14	1.332E-04	-2.161E-05	15	1.004E-04	-1.204E-05
16	7.103E-05	-3.316E-06	17	4.415E-19	-1.631E-04	18	7.394E-05	-1.508E-04
19	1.229E-04	-1.229E-04	20	1.432E-04	-9.464E-05	21	1.444E-04	-7.156E-05
22	1.239E-04	-4.043E-05	23	9.541E-05	-2.296E-05	24	6.862E-05	-6.475E-06
25	2.890E-19	-1.746E-04	26	5.412E-05	-1.657E-04	27	9.458E-05	-1.433E-04
28	1.164E-04	-1.164E-04	29	1.225E-04	-9.165E-05	30	1.105E-04	-5.450E-05
31	8.792E-05	-3.193E-05	32	6.482E-05	-9.268E-06	33	2.633E-19	-1.674E-04
34	3.964E-05	-1.611E-04	35	7.151E-05	-1.445E-04	36	9.158E-05	-1.226E-04
37	1.002E-04	-1.003E-04	38	9.535E-05	-6.306E-05	39	7.879E-05	-3.834E-05
40	5.993E-05	-1.166E-05	41	1.914E-19	-1.366E-04	42	2.158E-05	-1.332E-04
43	4.038E-05	-1.239E-04	44	5.443E-05	-1.106E-04	45	6.298E-05	-9.542E-05
46	6.614E-05	-6.621E-05	47	5.929E-05	-4.357E-05	48	4.863E-05	-1.548E-05
49	1.231E-19	-1.021E-04	50	1.201E-05	-1.004E-04	51	2.292E-05	-9.545E-05
52	3.186E-05	-8.796E-05	53	3.827E-05	-7.883E-05	54	4.350E-05	-5.934E-05
55	4.210E-05	-4.215E-05	56	3.750E-05	-1.771E-05	57	4.882E-20	-7.187E-05
58	3.293E-06	-7.105E-05	59	6.432E-06	-6.863E-05	60	9.211E-06	-6.484E-05
61	1.160E-05	-5.994E-05	62	1.542E-05	-4.865E-05	63	1.767E-05	-3.753E-05
64	1.845E-05	-1.847E-05						
NODE	LAYER	STRESS X	STRESS Y	STRESS XY	MAX.SHEAR	MAJOR	MINOR	
1	1	-2430.408	-2430.049	0.000	0.180	-2430.049	-2430.408	
9	1	-1759.722	-2046.241	0.000	143.260	-1759.722	-2046.241	
17	1	-662.940	-1343.073	0.000	340.067	-662.940	-1343.073	
MAXIMUM STRESS (SMAX) IN LAYER 1 IS -2430.408 (NODE 1)								
FOR PERIOD 1 LOAD GROUP 1 CRACKING INDEX (CI) FOR LAYER 1 IS .00000E+00								
FOR LAYER 1 SUM OF CRACKING INDEX (SUMCI) = .00000E+00								
DESIGN LIFE (DL) IN YEARS = 1000.00								

Sayfa 3

Şekil A.16. Analiz çıktısı (3)

Ek - B



Şekil B.1: Yolun boy profili

Ek – C



Şekil C.1. PMT tabakası (15 cm)



Şekil C.2. Taşıyıcı tırdağı SSB malzemesinin finişere nakli



Şekil C.3. Malzemenin ilk şeride finişerle serilmesi (1. faz)



Şekil C.4. Taze betonda yüzey görünümü



Şekil C.5. Vibrasyon sistemli düz çelik bandajlı silindirle sıkıştırma



Şekil C.6. Lastik (pnömatik) tekerlekli silindirle sıkıştırma işlemi



Şekil C.7. Eksende kaplama tabakası kalınlık kontrolü



Şekil C.8. Malzemenin ikinci şeride finişerle serilmesi (2. faz)



Şekil C.9. Malzemenin ikinci şeride finişerle serilmesi (2. faz)



Şekil C.10. Şerit ek yerlerinin 4 tonluk silindirle düzeltilmesi



Şekil C.11. Son silindiraj (mix-type compaction)



Şekil C.12. Nükleer cihaz ile kuru birim ağırlık ve nem muhtevası ölçümü



Şekil C.13. Arazöz ile su kürü uygulaması



Şekil C.14. Derz uygulaması



Prof.Dr.İ.Ozgür YAMAN / 09.12.2016

Şekil C.15. Kaplama yüzey dokusunda görsel inceleme



Şekil C.16. Yolun yüzey dokusu



Şekil C.17. Proje tip kesite göre "V" tipi kanal yapılması



Şekil C.18. Yolun kuşbakışı görüntüsü



Şekil C.19. Kar küremeden sonra yol güzergâhının görünümü

Ek – D

Tablo D.1. Numunelerde zamana bağlı su işleme derinlikleri

s ^{0,5}	Numune Ağırlıkları (g)								
	1	2	3	4	5	6	7	8	K
0	1324,98	1333,89	1397,93	1430,31	1361,79	1361,91	1428,21	1411,52	1438,45
8	1328,51	1338,74	1410,26	1432,70	1363,53	1367,25	1430,97	1413,65	1439,51
17	1330,01	1368,37	1425,91	1434,08	1366,26	1370,73	1433,27	1415,60	1440,17
24	1330,95	1375,29	1430,73	1434,68	1368,53	1373,05	1434,71	1416,98	1440,52
35	1331,75	1382,05	1436,94	1435,82	1371,85	1375,57	1436,31	1418,67	1441,37
42	1332,98	1384,10	1438,89	1436,56	1374,29	1377,17	1436,95	1419,86	1441,52
60	1334,75	1387,31	1441,80	1437,90	1379,97	1380,69	1439,29	1422,73	1442,38
85	1336,75	1390,31	1444,58	1439,21	1388,08	1384,83	1441,91	1426,47	1443,56
104	1338,46	1392,68	1447,11	1440,31	1393,66	1387,45	1443,45	1429,05	1443,69
120	1339,72	1393,56	1448,80	1441,17	1398,02	1389,41	1444,67	1431,26	1444,22
134	1340,77	1394,01	1450,11	1441,68	1398,77	1391,07	1445,65	1433,10	1444,58
147	1341,93	1394,17	1450,80	1442,21	1398,93	1392,87	1446,83	1435,03	1444,91
304	1350,39	1395,03	1453,39	1446,46	1399,21	1405,73	1455,21	1450,89	1448,81
440	1354,45	1395,65	1454,23	1449,57	1399,61	1413,23	1460,51	1460,82	1451,32
518	1357,32	1396,52	1455,00	1451,59	1399,86	1415,91	1464,03	1461,95	1453,05
657	1358,56	1396,61	1455,21	1452,82	1400,03	1418,73	1467,23	1465,01	1455,17
726	1359,05	1396,85	1455,57	1453,41	1400,20	1424,01	1468,69	1467,60	1455,95
789	1360,60	1397,01	1455,74	1454,61	1400,35	1424,31	1470,79	1467,90	1456,83
831	1360,90	1397,36	1456,11	1455,25	1400,49	1427,17	1471,55	1468,27	1457,22
Zamana Bağlı Hesaplanan Su İşleme Derinlikleri (I, mm)									
8	0,5552	0,7628	1,9391	0,3759	0,2736	0,8398	0,4341	0,2736	0,1884
17	0,7911	5,4227	4,4004	0,5929	0,7022	1,3871	0,7958	0,7022	0,3058
24	0,9389	6,5110	5,1584	0,6873	1,0592	1,7520	1,0223	1,0592	0,3680
35	1,0647	7,5741	6,1351	0,8666	1,5813	2,1483	1,2739	1,5813	0,5191
42	1,2582	7,8965	6,4418	0,9829	1,9659	2,3999	1,3745	1,9659	0,5458
60	1,5365	8,4014	6,8994	1,1937	2,8584	2,9535	1,7425	2,8584	0,6987
85	1,8511	8,8732	7,3366	1,3997	4,1346	3,6046	2,1546	4,1346	0,9084
104	2,1200	9,2459	7,7345	1,5727	5,0122	4,0167	2,3968	5,0122	0,9316
120	2,3182	9,3843	8,0003	1,7079	5,6979	4,3249	2,5887	5,6979	1,0258
134	2,4833	9,4551	8,2063	1,7882	5,8158	4,5860	2,7428	5,8158	1,0898
147	2,6657	9,4802	8,3149	1,8715	5,8410	4,8691	2,9284	5,8410	1,1484
304	3,9962	9,6155	8,7222	2,5399	5,8842	6,8916	4,2463	5,8842	1,8418
440	4,6347	9,7130	8,8543	3,0290	5,9479	8,0711	5,0798	5,9479	2,2880
518	5,0861	9,8498	8,9754	3,3467	5,9865	8,4926	5,6334	5,9865	2,5956
657	5,2811	9,8640	9,0084	3,5401	6,0132	8,9361	6,1367	6,0132	2,9724
726	5,3582	9,9017	9,0650	3,6329	6,0399	9,7665	6,3663	6,0399	3,1111
789	5,6020	9,9269	9,0918	3,8217	6,0635	9,8136	6,6965	6,0635	3,2676
831	5,6491	9,9819	9,1500	3,9223	6,0863	10,2634	6,8161	6,0863	3,3369

Tablo D.2. Beton kaplamada onarımı ait birim fiyat analizi

Analiz Format No: 1	İNŞAAT İŞ KALEMLERİ BİRİM FİYAT ANALİZLERİ				
İş Kalemi / İş Grubu No: KGM/70.042- AN-2	Beton Kaplamalı Yollarda Kaplama Bakımı Yapılması (15 cm kalınlığında)				Ölçü Birimi m ²
Poz No:	GİRDİLER	Ölçü	Miktarı	Birim Fiyatı	Tutarı
KGM/18.185	PATLAYICI MADDE KULLANMADAN DEMİRLİ VE DEMİRSİZ BETON İNŞAATIN YIKILMASI	m ³	0,05	26,44	1,32
KGM/21.011	DÜZ YÜZEYLİ BETON VE BETONARME KALIBI	m ²	0,13	23,50	3,06
Y.16.050/16	Beton santralinde üretilen veya satın alınan ve beton pompasıyla basılan, C 30/37 basınç dayanım sınıfında beton dökülmesi (beton nakli dâhil) satıhaların el ile tokmaklanarak sıkıştırılması karşılığı	m ³	0,15	151,63	22,74
01.502	Erbab işçi	sa	0,75	8,45	6,34
KGM/60.006	YOL BAKIM VE ONARIMLARINDA GEÇİCİ TRAFİK İŞARETLEMESİ İÇİN MALZEME TEMİNİ, İŞARETLEME YAPILMASI VE EMNİYET TEDBİRLERİNİN ALINMASI	gün	0,01	352,03	3,52
NAKLİYE	F = AxKx(0,0007xM+0,01)xG				2,85
	A: Zorluk Katsayısı = 1				
	G: Taşınan Malzemenin Yoğunluğu = 0,375 ton/m ³				
	K: Taşıt Katsayısı = 245				
	M: Taşıma Mesafesi = 30 km				
Karsız Toplam					39,83
%25 Kar ve Genel Giderler					9,96
Toplam Tutar (TL/m²)					49,79

Tablo D.3. Asfalt yama yapılması işçiliğine ait birim fiyat analizi

Analiz Format No: 1	İNŞAAT İŞ KALEMLERİ BİRİM FİYAT ANALİZLERİ				
İş Kalemi /İş Grubu No:	Sıcak Karışım Kaplamalı Yollarda Asfalt Yaması Yapılması İşçiliği			Ölçü Birimi: m ³	
KGM/70.031	GİRDİLER	Ölçü Birimi	Miktarı	Birim Fiyatı	Tutarı
	Yama yapılacak asfalt zeminin sökülmesi, temizlenmesi, süpürülmesi, astarlanması, rodmiks malzemesi ile doldurulması ve sıkıştırılması karşılığı:				
01.501	Düz işçi (inşaat işçişi)	sa	7	7,95	55,65
01.409	Formen	sa	1	15,95	15,95
03.540	Her cins Titreşimli Darbeli Motorlu Kompaktörün 1 saatlik ücreti	sa	1	37,66	37,66
03.517	Kompresör'ün bir saatlik ücreti	sa	1	98,90	98,90
KGM/03.538/2	Kamyonun 1 Saatlik Ücreti	sa	1	82,40	82,40
03.538/1	Arasöz (pick-up) 1 saatlik ücreti	sa	1	46,38	46,38
Karsız Toplam					336,94
%25 Kar ve Genel Giderler					84,24
Toplam Tutar (TL/m³)					421,18
Tarifi:					
Karayolu Bakım El Kitabı ve KTŞ'nin ilgili kısımlarındaki esaslar ve şartlar dahilinde, sıcak karışım kaplamalı yollarda asfalt yaması yapılması işçiliği (bitümlü sıcak karışım, yapıştırıcı ve distribütör idareden verilecektir).					
Birim Fiyata Dahil Olan Masraflar:					
Makine, ekip ve ekipmanın iş başında temini, yama yapılacak asfalt zeminin kare ya da dikdörtgen şeklinde tebeşirle çizilmesi, çizgi üzerinden kesilmesi, kazma ve kürek gibi aletlerle gevşetilerek sökülmesi, temizlenmesi, varsa kompresörle tozunun uçurulması, bitümlü sıcak karışımın ve yapıştırıcının yüklenmesi, boşaltılması, distribütörde yapıştırıcının ısıtılması ve temizlenen zemine ve yama cidarına püskürtülmesi, yama alanının bitümlü sıcak karışım ile doldurulması, doldurulan malzemenin tırmık ve gelberi ile düzeltilmesi, kompaktör ya da bakım silindiri ile sıkıştırılması, yama etrafındaki serbest malzemenin süpürülerek temizlenmesi, yama yapılacak alandan çıkan malzemenin çevre kirliliğine sebep olmayacak şekilde çalışma alanından uzaklaştırılması ile aşağıda "Birim Fiyata Dâhil Olmayan Masraflar" başlığı altında sayılanlar dışında kalan diğer bütün işlerin yapılması için gerekli olan her türlü işçilik, malzeme, makine, alet ve araç giderleri ile yüklenici karı ve genel masraflar.					
Birim Fiyata Dâhil Olmayan Masraflar: Bitümlü sıcak karışımın taşınması.					
Ölçü: Kullanılan asfalt yama malzemesinin metreküp cinsinden miktarıdır.					

Şekil D.4. Asfalt yama malzemesi temini ve nakliyesine ait birim fiyat analizi

Analiz Format No: 1	İNŞAAT İŞ KALEMLERİ BİRİM FİYAT ANALİZLERİ					
İş Kalemi /İş Grubu No:	Asfalt Betonu Binder Tabakası Malzemelerinin Temini (Kırılmış ve Elenmiş Ocak Taşı İle) Bitüm Bedeli Dahil			Ölçü Birimi: ton		
KGM/6300-Özel	Poz No:	GİRDİLER	Ölçü Birimi	Miktarı	Birim Fiyatı	Tutarı
KGM/4102/B	OCAK TAŞINDAN KONKASÖRLE KIRILMIŞ VE ELENMİŞ 25 MM (1") VE 19 MM (3/4") LİK AGREGA HAZIRLANMASI	TON	0,306	14,85	4,54	
KGM/4105/B	OCAK TAŞINDAN KONKASÖRLE KIRILMIŞ VE ELENMİŞ 12.5 MM (1/2") VE 9,5 MM (3/8") LİK AGREGA HAZIRLANMASI	TON	0,259	16,83	4,36	
KGM/4107/B	OCAK TAŞINDAN KIRILMIŞ VE ELENMİŞ 4,75 MM (NO.4) VE DAHA KÜÇÜK AGREGA HAZIRLANMASI	TON	0,392	17,81	6,98	
KGM/4365	SARNIÇLI VAGON,TANKER, KAMYON VE ROLEY TANK GİBİ KAPLARLA TAŞINAN BİTÜMLÜ MALZEMENİN DEPOLANMASI	TON	0,043	2,15	0,09	
KGM/4358	KATI BİTÜMLÜ MALZEMENİN SARNIÇ VEYA TANKLarda EMİŞ DERECESİNE KADAR ISITILMASI	TON	0,043	30,28	1,30	
KGM/4366	BİTÜMLÜ MALZEMENİN ASFALT POMPASI İLE BİR KAPTAN DİĞER BİR KABA AKTARILMASI	TON	0,086	1,07	0,09	
Nak-07.006	BSK Nakli (10 km)	TON	1	4,17	4,17	
04.610/1A	Dökme Asfalt (İzmit Rafinerisi)	KG	1,09	43	46,90	
Karsız Toplam						68,43
%25 Kar ve Genel Giderler						17,11
Toplam Tutar (TL/ton)						85,54
Poz No:	BSK NAKLİYE ANALİZİ	Ölçü Birimi	Miktarı	Birim Fiyatı	Tutarı	
	F = A x K x (0,0007 x M+0,01) x G					4,17
A	A: Zorluk Katsayısı = 1					
G	G: Taşınan Malzemenin Yoğunluğu = 1 ton/m ³					
K	K: Taşıt Katsayısı = 245					
M	M: Taşıma Mesafesi = 10 km					
Karsız Toplam						4,17

Tablo D.5. Bazı ulaşım hizmetleri için hedeflenen bütçe dağılımı (KBB, 2016)

Ulaşım Hizmetleri	Ödenek (TL)						(%)
	2015	2016	2017	2018	2019	TOPLAM	
Cadde ve sokak (300 adet)	56.000.000	103.300.000	103.900.000	150.000.000	40.000.000	453.200.000	28,4
Kavşak ve yol (29 adet)	50.000.000	60.000.000	70.000.000	70.000.000	80.000.000	330.000.000	20,7
Toplu taşıma araçlarının yenilemesi	173.066.500	22.969.150	25.266.065	27.792.672	30.569.938	279.664.325	17,5
Raylı sistem projesi (6 adet)	74.500.000	78.000.000	43.500.000	26.000.000	25.000.000	247.000.000	15,5
Sinyalize kavşak (100 adet)	26.000.000	16.000.000	16.000.000	18.000.000	19.000.000	95.000.000	5,9
Ulaşım projeleri ve trafik dolaşım planları	14.500.000	16.000.000	18.000.000	18.500.000	23.500.000	90.500.000	5,7
Deniz ulaşımında arıza nedeniyle iptal edilen seferler %1'e düşürülecektir.	12.000.000	12.600.000	13.230.000	13.891.500	14.586.075	66.307.575	4,2
Otopark projesi (4 adet)	0	5.000.000	15.000.000	0	0	20.000.000	1,3
Bisiklet yolu (30 km)	1.750.000	1.925.000	2.117.500	2.329.250	2.562.175	10.683.925	0,7
Toplu ulaşım hizmetleri	2.536.165	743.665	345.782	358.110	371.671	4.355.393	0,3
Trafik zabıta hizmetleri	250.000	150.000	30.000	25.000	25.000	480.000	0,03
TOPLAM	410.602.665	316.687.815	307.389.347	326.896.532	235.614.859	1.597.191.218	100,0

Tablo D.6. Yol yapım ve bazı ulaşım hizmetleri için hedeflenen işler (KBB, 2016)

Hedeflenen İş	2019 Yılı Hedefi
Trafik dolaşım planlaması	12 Adet
Projesi yapılan transfer merkezi	3 Adet
Toplu taşıma sistemi güzergâh uzunluğu	50 km
Geometrik düzenleme projesi yapılan kavşak	100 Adet
KUAP önerilerine göre projelendirilen karayolu koridoru	100 km
Yol, kavşak, köprü uygulama projeleri	175 km
Karayolu köprülü kavşak imalatları	7 Adet
Kent merkezlerinde yol ve kavşak imalatları	7 Adet
Karayolu imalatları	5 Adet
Eş düzey kavşak düzenleme	10 Adet
Cadde ve sokak düzenleme projesi	300 Adet
Bakım onarım ve yapımı yapılan yollar	600 km
Üretilen asfalt	600.000 ton
Üretilen asfalt yama	250.000 ton
Sathi kaplama	35 km
Beton kaplama	400 km

KİŞİSEL YAYIN VE ESERLER

Abut Y., Cankaya T., Beton Yollar – Kocaeli Büyükşehir Belediyesi Örneği, *Hazır Beton Dergisi*, 2016, **133**, 77-83.

Abut Y., Düşük Hacimli Yollarda Donatısız Beton Üstiyapılar İçin Bir Dizayn Kataloğu Önerisi, *Hazır Beton Kongresi ve Beton, Agrega, İnşaat Teknolojileri ve Ekipmanları Fuarı*, İstanbul, Türkiye, 13-15 Nisan 2017.

Abut Y., Elektrikli Ark Ocağı Cürüfu'nun Bitümlü Sıcak Karışımında Kullanılabilirliği, *6. Ulusal Asfalt Sempozyumu*, Ankara, Türkiye, 11 Kasım 2013.

Abut Y., Yıldırım S.T., Structural Design and Economic Evaluation of Roller Compacted Concrete Pavement with Recycled Aggregates, *World Multidisciplinary Civil Engineering-Architecture-Urban Planning Symposium (WMCAUS)*, Prague, Czech Republic, 12-16 June 2017.

Bozbey İ., Kamal N. A., **Abut Y.**, Effects of Soil Pulverisation Level and Freeze and Thaw Cycles on Fly-Ash- And Lime-Stabilised High Plasticity Clay: Implications on Pavement Design and Performance, *Road Materials and Pavement Design*, DOI:10.1080/14680629.2016.1207553.

ÖZGEÇMİŞ

1982'de Van'da doğdu. 2006 yılında Erciyes Üniversitesi, Yozgat Mühendislik Mimarlık Fakültesi, İnşaat Mühendisliği Bölümü'nden İnşaat Mühendisi olarak mezun oldu. 2008-2010 yılları arasında, Sakarya Üniversitesi, Fen Bilimleri Enstitüsü, İnşaat Mühendisliği Yapı Ana Bilim Dalında yüksek lisans öğrenimini tamamladı. 2007 yılında, Kocaeli Büyükşehir Belediyesi, Ulaşım Dairesi Başkanlığı'na bağlı Yapı Malzemeleri Laboratuvarında, Laboratuvar Şefi olarak başladığı görevine halen devam etmektedir. 2012 yılından bu yana, 4708 Sayılı Yapı Denetimi Hakkında Kanun'a istinaden, Çevre ve Şehircilik Bakanlığı'ncı zemin ve yapı malzemeleri deney süreçlerinde Laboratuvar Denetçi Mühendisi olarak yetkilendirilmiştir. Başta beton ve asfalt olmak üzere, yapı malzemelerinin mekanik ve fiziksel özellikleri, malzeme kalite kontrolü, üstyapı tasarımları ve optimizasyonu konularında laboratuvar ve saha çalışmalarını sürdürmektedir.